



TUGAS AKHIR – RC14-1501

**DESAIN STRUKTUR GEDUNG CONDO TOWER SUPER
BLOCK TUNJUNGAN PLAZA 6 SURABAYA DENGAN
ANALISA GEMPA *TIME HISTORY***

RENDY SURYA PUTRA

3113100136

Dosen Pembimbing I

Prof. Dr. Ir. I Gusti Putu Raka, DEA

Dosen Pembimbing II

Tavio, Prof. ST. MT. PH.D

JURUSAN TEKNIK SIPIL

Fakultas Teknik Sipil dan Perencanaan

Institut Teknologi Sepuluh Nopember

Surabaya 2017



TUGAS AKHIR – RC14-1501

**DESAIN STRUKTUR GEDUNG CONDO TOWER SUPER
BLOCK TUNJUNGAN PLAZA 6 SURABAYA DENGAN
ANALISA GEMPA *TIME HISTORY***

RENDY SURYA PUTRA
3113100136

Dosen Pembimbing I
Prof. Dr. Ir. I Gusti Putu Raka, DEA
Dosen Pembimbing II
Tavio, Prof. ST. MT. PH.D

JURUSAN TEKNIK SIPIL
Fakultas Teknik Sipil dan Perencanaan
Institut Teknologi Sepuluh Nopember
Surabaya 2017



THESIS – RC14-1501

**CONDO TOWER SUPER BLOCK TUNJUNGAN PLAZA 6
SURABAYA STRUCTURE BUILDING DESIGN USING TIME
HISTORY EARTHQUAKE ANALYSIS**

RENDY SURYA PUTRA
3113100136

Supervisor I
Prof. Dr. Ir. I Gusti Putu Raka, DEA
Supervisor II
Tavio, Prof. ST. MT. PH.D

DEPARTMENT OF CIVIL ENGINEERING
Faculty of Civil Engineering and Planning
Institut Teknologi Sepuluh Nopember
Surabaya 2017

**DESAIN STRUKTUR GEDUNG CONDO TOWER SUPER
BLOCK TUNJUNGAN PLAZA 6 SURABAYA DENGAN
ANALISA GEMPA TIME HISTORY**

TUGAS AKHIR

Diajukan Untuk Memenuhi Salah Satu Syarat
Memperoleh Gelar Sarjana Teknik
pada

Bidang Studi Struktur
Program Studi S-1 Jurusan Teknik Sipil
Fakultas Teknik Sipil dan Perencanaan
Institut Teknologi Sepuluh Nopember

Oleh:
RENDY SURYA PUTRA

NRP. 3113 100 136

Disetujui oleh Pembimbing Tugas Akhir:

Dr. Ir. IGP Raka, DEA (Pembimbing I)

Tomin, Prof. ST. MT. PHD (Pembimbing II)

SURABAYA
Januari, 2017

ABSTRAK

DESAIN STRUKTUR GEDUNG CONDO TOWER SUPER BLOCK TUNJUNGAN PLAZA 6 SURABAYA DENGAN ANALISA GEMPA TIME *HISTORY*

Nama Mahasiswa : Rendy Surya Putra
NRP : 3113100136
Jurusan : Teknik Sipil Fakultas Teknik Sipil
dan Perencanaan Institut Teknologi
Sepuluh Nopember
Dosen Pembimbing : Prof. Dr. Ir. I G. P. Raka, DEA
Tavio, Prof .ST. MT. Ph.D

Abstrak

Suatu gedung dapat digolongkan menjadi gedung tingkat tinggi apabila struktur gedung secara arsitektural mempunyai ketinggian dimulai dari 35 dan 100 m ataupun lebih. Pada umumnya para perencana gedung cenderung untuk menggunakan analisa statik linear, dimana juga disebut sebagai “first order analysis” atau analisa tingkat satu, untuk memperhitungan gaya – gaya dalam seperti bending moment, shear forces dan displacement yang nantinya akan digunakan sebagai desain struktur. First order analysis atau analisa tingkat satu menggunakan asumsi sifat defleksi yang kecil dimana gaya – gaya yang dihasilkan , seperti momen , shear forces dan displacement tidak menerima efek tambahan akibat perpindahan struktur yang dikarenakan beban vertical yang sebelumnya tidak bekerja karena beban lateral belum ada. P-delta merupakan efek nonlinear (second order) yang bekerja

pada setiap struktur dimana elemen – elemenya bergantung pada beban aksial.

Bangunan kondo *tower* yang terletak di Surabaya ini akan direncanakan dan dianalisa secara linear untuk memperoleh gaya – gaya dalamnya juga akan dianalisa menggunakan analisa nonlinear atau analisa P-delta karena gedung kondo tower ini termasuk dalam jajaran gedung tingkat tinggi (high rise building), yang harus dipertimbangkan secara matang sehingga tingkat serviceability serta safety dapat terjamin. Pada tugas akhir ini akan dilakukan perbandingan gaya dalam antara hasil struktur dengan P-delta maupun tanpa P-delta.

Pada bangunan kondo tower yang dianalisa secara linear didapatkan bending momen pada kolom C8 lantai 14 sebagai tinjauannya untuk load combination $1.2D+1.3Qx+0.123D$ sebesar -414.897 kN-m dan untuk shear forcesnya untuk load combination yang sama sebesar -173.504 kN sedangkan untuk kondo tower yang dianalisa secara nonlinear atau analisa P-delta pada letak tinjauan yang sama yaitu kolom C8 lantai 14 dengan load combination yang sama pula didapatkan bending moment sebesar -419.149 kN-m dan untuk shear forcesnya sebesar -236.495 kN. Dapat dilihat terdapat perbedaan sebesar 1.02 % untuk bending momentnya sedangkan pada shear forcesnya terdapat perbedaan sebesar 15.36%. Dapat disimpulkan bahwa pengaruh P-delta harus diperhatikan apabila terdapat perbedaan lebih dari 10%. Pada tugas akhir ini juga dilakukan control stabilitas struktur ditinjau dengan P-delta , dari hasil analisa koefisien stabilitas arah X didapatkan sebesar 0.126 dan untuk koefisien stabilitas arah Y didapatkan sebesar 0.144, pada persyaratan disebutkan bahwa koefisien stabilitas tersebut tidak boleh melebihi koefisien stabilitas maksimum setelah dilakukan perhitungan yaitu 0.1 , dapat ditarik kesimpulan bahwa struktur gedung kurang stabil sehingga dibutuhkan re-desain atau desain ulang dengan menambah

kekakuan struktur melalui pembesaran penampang ataupun penambahan shear wall.

Kata Kunci : Analisa P-delta, High Rise Building, Stabilitas

(Halaman ini sengaja dikosongkan)

ABSTRACT

CONDO TOWER SUPER BLOCK TUNJUNGAN PLAZA 6 SURABAYA STRUCTURE BUILDING DESIGN USING TIME HISTORY EARTHQUAKE ANALYSIS

Student Name : Rendy Surya Putra
NRP : 3113100136
Department : Civil Engineering
Civil Engineering and Planning
Faculty Institut Teknologi Sepuluh
Nopember
Supervisor : Prof. Dr. Ir. I G. P. Raka, DEA
Tavio, Prof .ST. MT. Ph.D

ABSTRACT

A building can be categorized into high rise building if the building structure architecturally has height start from 35 to 100m or more. Generally building designer tend to use static linear analysis, or can be called “first order analysis”, to calculate the internal forces in example bending moment, shear forces and displacement that will be used to design the structure. First order analysis is using a small assumption on deflection that the internal forces produced in example momen, shear forces, and displacement don’t get an extra effect affected by the structure displacement caused by vertical load that doesn’t work before, because lateral load is not yet occur. P-delta is an nonlinear effect (second order) that work in evert single structure where its element depends on axial loads.

This Condo tower that located in Surabaya, will be design using static linear to get the internal forces and will be analyzed using nonlinear or P-delta analysis because this building category is high rise building, that has to be seriously design so that the serviceability and the safety is really okay and safe. In this final assignment will be comparing the internal forces between linear and P-delta analysis.

In this condo tower structure that analyzed using static linear is generating bending momen in C8 column in 14th floor as the observation for $1.2D+1.3Qx+0.123D$ load combination is -414.897 kN-m and for the shear forces for $1.2D+1.3Qx+0.123D$ load combination is -173.504 kN while in the condo tower that analyzed using nonlinearity or P-delta analysis on the same observation point that is in C8 column and on the same load combination the bending momen is -419.149 kN-m and for the shear forces is -236.495 kN. It can be observed that there is 1.02% differentiation for the bending moment and 15.36% for shear forces. It can be concluded that P-delta effect must be considered if there is more than 10% gap. In this final assignment will control the structure stability as well with P-delta, from the analysis of stability coefficient in X direction the result is 0.126 and for stability coefficient in Y direction the result is 0.144, the requirement state that the maximum stability coefficient obtained from the calculation is 0.1, it can be concluded that the building structure is unstable so it needs to be re-design to increase the structure stiffness through the section enlargement or addition of shearwall.

Kata Kunci : P-delta analysis, High Rise Building, Stability

KATA PENGANTAR

Puji syukur kehadiran Tuhan Yang Maha Kuasa karena dengan rahmat dan kesempatan yang telah dilimpahkan, penulis dapat menyelesaikan Tugas Akhir yang berjudul “Desain Struktur Gedung Condo Tower Super Block Tunjungan Plaza 6 Surabaya Dengan Analisa Gempa *Time History*” tugas akhir ini disusun sebagai persyaratan kelulusan pada program studi Teknik Sipil Tingkat Sarjana Fakultas Teknik Sipil dan Perencanaan Institut Teknologi Sepuluh Nopember.

Dalam Penyusunan Tugas Akhir ini penulis banyak mendapatkan saran, dorongan, bimbingan serta keterangan – keterangan dari berbagai pihak yang merupakan pengalaman yang tidak dapat diukur secara materi, namun dapat membuka mata penulis bahwa sesungguhnya pengalaman dan pengetahuan tersebut adalah guru yang terbaik bagi penulis. Oleh karena itu dengan segala hormat dan kerendahan hati perkenankanlah penulis mengucapkan terima kasih kepada :

1. Tuhan Yesus Kristus yang selalu menjaga dan memberkati penulis selama penyusunan Tugas Akhir.
2. Orang Tua dan Kakak – Kakak yang selalu mendukung penulis dan mendoakan.
3. Bapak Prof. Dr. Ir. I G. P. Raka, DEA dan Bapak Tavio, Prof. ST. MT. Ph.D, selaku Dosen pembimbing Tugas Akhir, dan juga sebagai motivator.
4. Sahabat dari SMA yang selalu memberi semangat dan membantu dalam penyelesaian tugas akhir ini.
5. SMITS family dengan saran - saran dan motivasi yang membangun.
6. Teman – teman warga Sipil ITS yang telah memberikan motivasi kepada penulis serta semua orang yang tidak penulis sebutkan satu per satu di sini.

Dalam penyusunan tugas akhir ini, penulis menyadari masih terdapat banyak kekurangan yang dibuat baik sengaja maupun tidak sengaja, dikarenakan keterbatasan ilmu pengatuan,wawasan dan teknologi serta pengalaman yang penulis miliki. Untuk itu penulis mohon maaf atas segala kekurangan tersebut , penulis juga tidak menutup diri terhadap segala saran dan kritik serta masukan yang bersifat konstruktif bagi diri penulis. Akhir kata semoga tugas akhir ini dapat bermanfaat bagi penulis sendiri, institusi pendidikan dan masyarakat luas. Amin.

Surabaya, Januari 2017

Penulis

DAFTAR ISI

ABSTRAK	i
ABSTRACT	v
KATA PENGANTAR.....	vii
DAFTAR GAMBAR.....	xv
DAFTAR TABEL	xxi
BAB I PENDAHULUAN	1
1.1 Latar Belakang Penulisan	1
1.2 Perumusan Masalah	5
1.3 Batasan Masalah	5
1.4 Tujuan Penulisan.....	6
1.5 Manfaat Penulisan.....	6
BAB II TINJAUAN PUSTAKA	7
2.1 Daktilitas Struktur Bangunan.....	7
2.2 Dinding Geser	7
2.3 Momen Sekunder Kolom Bergoyang (Sway)...	8
2.4 Time History	9
2.5 Redaman	10
2.6 Konsep Dasar Efek P-Delta	11
2.7 Kurva Tegangan – Regangan Material	12
2.7.1 Kurva Tegangan – Regangan Beton	12
2.7.2 Kurva Tegangan – Regangan Tulangan.....	14
BAB III METODOLOGI	17

3.1	Prosedur Penggerjaan TA.....	17
3.1.1	Studi Literatur.....	17
3.1.2	Pengumpulan Data	17
3.1.3	Preliminary Design.....	20
3.1.4	Pembebanan.....	21
3.1.5	Analisa Gempa Respons Spektrum	23
3.1.6	Analisa Struktur Menggunakan P-Delta.....	28
3.2	Penyajian Laporan Dan Format Penggambaran	29
3.3	Flowchart Penyusunan Tugas Akhir	30
	BAB IV PRELIMINARY DESIGN	33
4.1	Data Perencanaan	33
4.2	Desain Dimensi Balok.....	34
4.3	Desain Dimensi Plat Lantai	36
4.3.1	Perencanaan Pelat.....	43
4.3.2	Pembebanan Pelat.....	44
4.3.3	Penulangan Pelat	45
4.4	Desain Dimensi Kolom	51
4.5	Desain Dimensi Dinding Geser	54
	BAB V PERENCANAAN STRUKTUR.....	57
5.1	Pemodelan Struktur	57
5.2	Pembebanan.....	57
5.2.1	Beban Mati	58
5.2.2	Beban Hidup.....	59

5.2.3	Beban Gempa.....	60
5.2.4	Kombinasi Pembebanan	77
5.3	Kontrol Hasil Analisa Struktur	79
5.3.1	Kontrol Akhir Base Reaction.....	79
5.3.2	Jumlah Respon Ragam.....	81
5.3.3	Kontrol Sistem Ganda.....	82
5.3.4	Kontrol Simpangan (Drift).....	84
5.4	Perencanaan Balok.....	87
5.4.1	Penulangan Lentur Balok B5A7	87
5.4.2	Penulangan Torsi	101
5.4.3	Penulangan Geser	103
5.4.4	Penghentian Tulangan Negatif.....	107
5.4.5	Panjang Penyaluran Tulangan.....	108
5.4.6	Hasil Rekap Penulangan Balok.....	108
5.5	Perencanaan Kolom	111
5.5.1	Perencanaan Kolom C8 Lt 14 - 30.....	111
5.5.1.1	Data Perencanaan	111
5.5.1.2	Cek Syarat Komponen Struktur Penahan Gempa	113
5.5.1.3	Tulangan Longitudinal Penahan Lentur	113
5.5.1.4	Persyaratan Strong Column – Weak Beam	116
5.5.1.5	Tulangan Transversal Untuk Pengekangan	120

5.5.1.6	Tulangan Transversal untuk beban geser	121
5.5.1.7	Sambungan lewatan	126
5.5.1.8	Hubungan Balok – Kolom	127
5.5.2	Perencanaan Kolom C16 Lt 14 - 30	129
5.5.2.1	Data Perencanaan	129
5.5.2.2	Cek Syarat Komponen Struktur Penahan Gempa	131
5.5.2.3	Tulangan Longitudinal Penahan Lentur.	131
5.5.2.4	Persyaratan Strong Column – Weak Beam	133
5.5.2.5	Tulangan Transversal Untuk Pengekangan	138
5.5.2.6	Tulangan Transversal untuk beban geser	139
5.5.2.7	Sambungan lewatan	143
5.5.2.8	Hubungan Balok – Kolom	144
5.6	Perencanaan Shear Wall	147
5.6.1	Data Perencanaan Shear Wall P1	147
5.6.2	Kontrol Kapasitas Bebabn Aksial Dinding Geser	147
5.6.3	Kontrol Dimensi Penampang Terhadap Gaya Geser	149
5.6.4	Perhitungan Jumlah Lapis Tulangan yang Dibutuhkan	150

5.6.5 Perhitungan Kuat Geser yang Disumbangkan Beton	150
5.6.6 Perhitungan Tulangan Transversal Dan Longitudinal.....	152
5.6.7 Kuat Geser Nominal Dinding Geser	155
5.6.8 Kontrol dan Desain elemen pembatas	156
BAB VI ANALISA P-DELTA.....	159
6.1 Prosedur Analisa P-Delta.....	159
6.2 Analisa P-Delta	159
6.2.1 Perbandingan Beda Gaya Dalam Kolom Tiap Lantainya	167
6.2.2 Hasil Story Plot Dari ETABS	178
6.3 Koefisien Kestabilan.....	183
6.3.1 Analisa Koefisien Kestabilan.....	184
6.4 Hasil Analisa Koefisien Kestabilan	192
BAB VII KESIMPULAN DAN SARAN	195
DAFTAR PUSTAKA.....	197

(Halaman ini sengaja dikosongkan)

DAFTAR GAMBAR

Gambar 1. 1 Hunian Condominium Surabaya	2
Gambar 1. 2 Lokasi <i>Condo Tower Tunjungan Plaza 6</i> Surabaya	2
Gambar 2. 1 Defleksi Lateral (Δ) akibat beban gravitasi (P) ..	8
Gambar 2. 2 Pemodelan Hysterisis Bi-liniear	11
Gambar 2. 3 Konfigurasi Awal Sebelum Berdeformasi.....	11
Gambar 2. 4 Konfigurasi Akhir Setelah Berdeformasi	12
Gambar 2. 5 Kurva Tegangan-Regangan Beton	14
Gambar 2. 6 Kurva Tegangan-Regangan Baja Tulangan.....	15
Gambar 3. 1 Denah Condo Tower Tunjungan Plaza 6 Surabaya	19
Gambar 3. 2 <i>Accelerogram</i> Gempa Cerro Prieto Arah X	22
Gambar 3. 3 <i>Accelerogram</i> Gempa Cerro Prieto Arah Y	22
Gambar 3. 4 S_s , Gempa Maksimum yang Dipertimbangkan risiko-tertarget (MCE_R)	23
Gambar 3. 5 S_1 , Gempa Maksimum yang Dipertimbangkan risiko-tertarget (MCE_R)	24
Gambar 3. 6 PGA, Gempa Maksimum yang dipertimbangkan rata – rata geometrik (MCE_G)	25
Gambar 3. 7 C_{RS} , Koefisien Risiko Terpetakan,Perioda Respons Spektral 0.2 s	26
Gambar 4. 1 Denah Tipikal balok,kolom dan shearwall	34
Gambar 4. 2 Gambar Plat Lantai Type-A	36
Gambar 4. 3 Balok As A14 Joint 6j-6k	37

Gambar 4. 4 Balok As A14' Joint 6j-6k	39
Gambar 4. 5 Balok As 6k Joint A14-A14'	40
Gambar 4. 6 Balok As 6j Joint A14-A14'	42
Gambar 5. 1 Pemodelan Struktur Gedung Pada Program ETABS	57
Gambar 5. 2 Grafik respons spektrum Desain	65
Gambar 5. 3 Momen 1.4D balok B5A7.....	88
Gambar 5. 4 Momen 1.2D+1.6L balok B5A7	88
Gambar 5. 5 Momen 1.2D+1.3Qx+0.1213D balok B5A7	89
Gambar 5. 6 Momen 1.2D+1.3Qx-0.1213D balok B5A7	89
Gambar 5. 7 Momen 1.2D+1.3Qy+0.1213D balok B5A7	90
Gambar 5. 8 Momen 1.2D+1.3Qy-0.1213D balok B5A7	90
Gambar 5. 9 Momen Envelope balok B5A7	91
Gambar 5. 10 Diagram Interaksi P-M Kolom Atas.....	114
Gambar 5. 11 Diagram Interaksi P-M Kolom Bawah	115
Gambar 5. 12 Lebar efektif plat yang disertakan balok.....	117
Gambar 5. 13 Penampang tumpuan balok G5A7	118
Gambar 5. 14 Output Diagram Interaksi P-M Kolom Atas..	119
Gambar 5. 15 Output Diagram Interaksi P-M Kolom Bawah ..	119
Gambar 5. 16 Diagram Interaksi P-M Kolom Atas $f_s=1.25f_y$	123
Gambar 5. 17 Diagram Interaksi P-M Kolom Desain $f_s=1.25f_y$	124
Gambar 5. 18 Detail Penulangan Kolom C8 1300x600	129
Gambar 5. 19 Diagram Interaksi P-M Kolom Atas	132
Gambar 5. 20 Diagram Interaksi P-M Kolom Bawah	132
Gambar 5. 21 Penampang Tumpuan Balok G57	134
Gambar 5. 22 Penampang Tumpuan Balok G57	135
Gambar 5. 23 Output Diagram Interaksi P-M Kolom Atas..	137

Gambar 5. 24 Output Diagram Interaksi P-M Kolom Bawah	137
Gambar 5. 25 Diagram Interaksi P-M Kolom Atas $fs=1.25fy$	140
Gambar 5. 26 Diagram Interaksi P-M Kolom Desain Bawah $fs=1.25fy$	141
Gambar 5. 27 Detail Penulangan Kolom C16 800 x 800	146
Gambar 5. 28 Diagram Interaksi P-M Shear Wall	155
Gambar 5. 29 Besaran <i>Joint Displacement</i> Dinding Geser..	157
Gambar 6. 1 Grafik Defleksi X Perbandingan P-Delta Dengan Tanpa P-Delta Tiap <i>Load Combinationnya</i>	160
Gambar 6. 2 Grafik Defleksi Y Perbandingan P-Delta Dengan Tanpa P-Delta Tiap <i>Load Combinationnya</i>	161
Gambar 6. 3 Grafik Bending Moment B63 Perbandingan P-Delta Dengan Tanpa P-Delta Tiap <i>Load Combinationnya</i> ..	162
Gambar 6. 4 Grafik Shear Forces B63 Perbandingan P-Delta Dengan Tanpa P-Delta <i>Tiap Load Combinationnya</i>	163
Gambar 6. 5 Grafik Bending Momen B63 Perbandingan P-Delta Dengan Tanpa P-Delta Tiap <i>Load Combinationnya</i> ..	164
Gambar 6. 6 Grafik Shear Forces C8 Perbandingan P-Delta Dengan Tanpa P-Delta Tiap <i>Load Combinationnya</i>	166
Gambar 6. 7 Grafik Bending Momen C8 FL 24 Perbandingan P-Delta Dengan Tanpa P-Delta Tiap <i>Load Combinationnya</i> ..	168
Gambar 6. 8 Grafik Shear Forces C8 FL 24 Perbandingan P-Delta Dengan Tanpa P-Delta Tiap <i>Load Combinationnya</i> ..	169
Gambar 6. 9 Grafik Bending Momen C8 FL 34 Perbandingan P-Delta Dengan Tanpa P-Delta Tiap <i>Load Combinationnya</i> ..	170

Gambar 6. 10 Grafik Shear Forces C8 FL 34 Perbandingan P-Delta Dengan Tanpa P-Delta Tiap <i>Load Combinationnya</i>	171
Gambar 6. 11 Grafik Bending Momen C8 FL 44 Perbandingan P-Delta Dengan Tanpa P-Delta Tiap <i>Load Combinationnya</i>	172
Gambar 6. 12 Grafik Shear Forces C8 FL 44 Perbandingan P-Delta Dengan Tanpa P-Delta Tiap <i>Load Combinationnya</i>	173
Gambar 6. 13 Grafik Bending Momen C8 FL LR Perbandingan P-Delta Dengan Tanpa P-Delta Tiap <i>Load Combinationnya</i>	174
Gambar 6. 14 Grafik Shear Forces C8 FL LR Perbandingan P-Delta Dengan Tanpa P-Delta Tiap <i>Load Combinationnya</i>	175
Gambar 6. 15 Grafik Bending Moment Kolom C8 Tiap <i>Load Combination</i> Tiap Lantainya	175
Gambar 6. 16 Grafik Shear Forces Kolom C8 Tiap <i>Load Combination</i> Tiap Lantainya	176
Gambar 6. 17 Grafik Pertambahan Bending Momen Kolom C8 Tiap Lantainya	177
Gambar 6. 18 Grafik Pertambahan Shear Forces Kolom C8 Tiap Lantainya	177
Gambar 6. 19 Auto Lateral Load Pada Diaphragm Tiap Story	178
Gambar 6. 20 Maximum displacement Tanpa P-Delta Load Case Envelope	179
Gambar 6. 21 Maximum Displacement Dengan P-Delta Load Case Envelope	179
Gambar 6. 22 Story Shears Load Case Envelope Tanpa P-Delta	181

Gambar 6. 23 Story Shears Load Case Envelope Dengan P-Delta 181

(Halaman ini sengaja dikosongkan)

DAFTAR TABEL

Tabel 4. 1 Penentuan Dimensi Balok Beton Bertulang.....	35
Tabel 4. 2 Beban Mati Lantai 52.....	52
Tabel 4. 3 Beban Mati Atap Lantai UR.....	52
Tabel 4. 4 Beban Mati Atap Lantai LR	53
Tabel 5. 1 Penentuan Kategori Resiko bangunan.....	61
Tabel 5. 2Penentuan faktor keutamaan gempa.....	61
Tabel 5. 3 Penentuan kategori desain seismik.....	63
Tabel 5. 4 Nilai Periode Fundamental (T) dan Percepatan Respon Spektra (Sa).....	64
Tabel 5. 5 Berat Sendiri Struktur	66
Tabel 5. 6 Beban Mati Tambahan dan Beban Hidup Pada Tiap Lantai.....	68
Tabel 5. 7 Penentuan Koefisien Ct dan x	71
Tabel 5. 8 Distribusi Gaya Gempa Fi Pada Tiap Lantai	73
Tabel 5. 9 Nilai Beban Gempa Statik Ekivalen.....	75
Tabel 5. 10 Nilai Akhir <i>Base Reaction</i>	79
Tabel 5. 11 Kontrol Akhir <i>Base Reaction</i>	80
Tabel 5. 12 Faktor Skala Gaya Gempa	80
Tabel 5. 13 Kontrol <i>Base Reaction</i>	81
Tabel 5. 14 Jumlah Respon Ragam.....	81
Tabel 5. 15 Kontrol Sistem Ganda	82
Tabel 5. 16 Kontrol Simpangan Arah X dan Y	85
Tabel 5. 17 Hasil Rekap Penulangan Lentur Balok	108

Tabel 5. 18 Hasil Rekap Penulangan Geser Balok	109
Tabel 5. 19 Hasil Rekap Penulangan Torsi Balok.....	110
Tabel 5. 20 Momen dan Gaya Aksial Kolom.....	112
Tabel 5. 21 Momen dan Gaya Aksial Kolom.....	130
Tabel 6. 1 Tabel Perbandingan Defleksi Arah X Pada Atap	160
Tabel 6. 2 Tabel Perbandingan Defleksi Arah Y Pada Atap	161
Tabel 6. 3 Tabel perbandingan Bending Moment B63.....	162
Tabel 6. 4 Tabel Perbandingan Shear Forces B63.....	163
Tabel 6. 5 Tabel Perbandingan Bending Moment C8	164
Tabel 6. 6 Tabel Perbandingan Shear Forces C8.....	165
Tabel 6. 7 Tabel Perbandingan Bending Momen C8 Fl 24 ..	167
Tabel 6. 8 Tabel Perbandingan Shear Forces C8 Fl 24	168
Tabel 6. 9 Tabel Perbandingan Bending Momen C8 Fl 34 ..	169
Tabel 6. 10 Tabel perbandingan Shear Forces C8 Fl 34.....	170
Tabel 6. 11 Tabel Perbandingan Bending Momen C8 Fl 44	171
Tabel 6. 12 Tabel Perbandingan Shear Forces C8 Fl 44	172
Tabel 6. 13 Tabel Perbandingan Bending Momen C8 Fl LR	173
Tabel 6. 14 Tabel Perbandingan Shear Forces C8 Fl LR	174
Tabel 6. 15 Faktor Pembesaran Pada Tabel 9 SNI 1726:2012	183
Tabel 6. 16 Tabel Story Data	184
Tabel 6. 17 Tabel Perhitungan Koefisien Kestabilan (Θ) Arah X	186

Tabel 6. 18 Tabel Perhitungan Koefisien Kestabilan (θ) Arah Y	189
--	-----

(Halaman ini sengaja dikosongkan)

BAB I

PENDAHULUAN

1.1 Latar Belakang Penulisan

Surabaya merupakan kota metropolitan terbesar kedua di Indonesia setelah ibu kota Jakarta. Kota pahlawan ini mengalami perkembangan pesat ditunjukan dengan peningkatan pertumbuhan penduduk dan perubahan peruntukan lahan yang semakin cepat. Hal ini terjadi karena pertumbuhan ekonomi di Surabaya yang tinggi, sehingga menjadi daya tarik tersendiri bagi masyarakat sekitar Surabaya. Akibatnya, jumlah penduduk yang menetap di wilayah Surabaya meningkat.

Seiring dengan meningkatnya jumlah penduduk, maka akan berpengaruh juga terhadap meningkatnya kebutuhan penduduk akan hunian. Pembangunan di Surabaya saat ini sangat gencar dilakukan di mana – mana, terutama di daerah pusat kota dan pusat perbelanjaan. Salah satu jenis hunian yang saat ini sedang *up to date* adalah condominium (Lihat **Gambar 1.1**).

Banyak didirikan condo tower di Surabaya salah satu contohnya adalah kondo tower Tunjungan Plaza 6. Dengan adanya kondo ini yang berada pada lokasi yang strategis diharapkan dapat memenuhi kebutuhan masyarakat akan hunian. (Lihat **Gambar 1.2**).



Gambar 1. 1 Hunian Condominium Surabaya



**Gambar 1. 2 Lokasi Condo Tower Tunjungan Plaza 6
Surabaya**

Kekuatan struktur dari sebuah bangunan menjadi syarat mutlak bangunan tersebut supaya jika sebuah bencana alam seperti gempa bumi terjadi, bangunan tersebut tidak mengalami keruntuhan yang menyebabkan jatuhnya korban jiwa maupun kerugian materi. Oleh karena itu sangatlah perlu dilakukannya suatu analisa perilaku terhadap kondo *tower* sebagai *high rise building*.

Dalam perencanaan struktur gedung kondo *tower* ini, jaminan adanya kekuatan dan ketabilan dalam segala kondisi pembebanan yang mungkin terjadi, merupakan hal paling mendasar yang perlu diperhatikan. Akibat ada beban, struktur yang dibebani akan mengalami perubahan bentuk (deformasi). Pada struktur stabil, deformasi yang diakibatkan oleh beban umumnya relatif kecil dan gaya internal yang timbul di dalam struktur akan mempunyai kecenderungan mengembalikan struktur ke bentuk semula apabila beban dihilangkan. Pada struktur gedung labil, deformasi yang terjadi cenderung terus bertambah selama struktur tersebut dibebani, sehingga struktur rawan terjadi *collapse*.

Kolom merupakan elemen struktur yang paling penting dalam suatu sistem struktur portal bangunan, sebab kolom berfungsi meneruskan beban – beban yang terjadi pada struktur ke tanah melalui pondasi. Oleh karena itu, kegagalan kolom merupakan lokasi kritis yang dapat mengakibatkan keruntuhan komponen struktur lain dan lebih lanjut dapat menyebabkan keruntuhan total struktur.

Pada kolom, bekerja gaya aksial (P) karena beban sendiri dan gaya lateral yang dapat terjadi karena adanya beban gempa atau angin. Akibat gaya lateral, kolom akan mengalami defleksi lateral (δ), dengan demikian gaya aksial yang bekerja bergeser terhadap titik awal dalam arah lateral. Pada keadaan demikian, kolom akan mendapat momen lentur tambahan (momen sekunder). Kondisi struktur yang seperti ini disebut sebagai efek P - δ .

Dalam Tugas Akhir ini dilakukan perencanaan kondo *tower* Tunjungan Plaza 6 Surabaya menggunakan analisa gempa *Time history*.

1.2 Perumusan Masalah

Dari uraian latar belakang tersebut maka untuk perencanaan ulang kondo *tower* Tunjungan Plaza 6 Surabaya, beberapa hal yang akan ditinjau adalah :

1. Bagaimana merencanakan dan analisa dimensi struktur primer dan sekunder kondo *tower* Tunjungan Plaza 6 Surabaya menggunakan metode SNI 03-2847-2013.
2. Beban apa saja yang bekerja pada struktur .
3. Bagaimana menghitung beban gempa dengan metode *time history* .
4. Bagaimana Perbandingan gaya dalam struktur gedung dengan pengaruh P-delta dan tanpa pengaruh P-delta.
5. Bagaimana menganalisa gaya dalam struktur.
6. Bagaimana menuangkan hasil perhitungan detail kedalam gambar.

1.3 Batasan Masalah

Batasan masalah dalam Tugas Akhir ini adalah :

1. Perencanaan ini tidak menghitung analisa biaya, manajemen konstruksi, pondasi, maupun segi arsitektural.
2. Perhitungan mekanika struktur untuk mendapatkan gaya – gaya dalam menggunakan bantuan program bantu ETABS.
3. Perencanaan elemen struktur yang ditinjau adalah struktur atas meliputi pelat ,balok, kolom dan dinding geser.
4. Perancangan elemen struktur menggunakan beton bertulang yang analisanya berpedoman pada tata cara perhitungan struktur beton untuk bangunan gedung SNI 2847-2013.
5. Analisa pembebanan menggunakan beban mati dan beban hidup sesuai dengan peraturan pembebanan untuk gedung pada SNI 1727-2013.

6. Analisa pembebanan menggunakan beban gempa sesuai dengan peraturan pembebanan untuk gedung pada SNI 1726-2012.

1.4 Tujuan Penulisan

Adapun tujuan dari penulisan Tugas akhir ini adalah sebagai berikut:

1. Merencanakan dan menganalisa dimensi struktur primer dan sekunder kondo *tower* Tunjungan Plaza 6 Surabaya menggunakan metode SNI 2847-2013.
2. Menentukan beban apa saja yang bekerja pada struktur .
3. Menganalisa beban gempa dengan metode *time history*.
4. Membandingkan gaya dalam struktur gedung dengan pengaruh P-delta dan tanpa pengaruh P-delta.
5. Menganalisa gaya dalam struktur.
6. Menuangkan hasil perhitungan ke dalam gambar.

1.5 Manfaat Penulisan

Manfaat yang ingin diperoleh dari Tugas Akhir ini adalah keterampilan penulis dalam analisa dimensi struktur primer maupun sekunder, beban apa saja yang bekerja, beban gempa, penulangan serta gaya dalam dari *high rise building* dalam hal ini adalah kondo *tower*, serta analisa P-delta sebagai ilmu pengetahuan tambahan bagi pembaca Tugas Akhir ini.

BAB II

TINJAUAN PUSTAKA

2.1 Daktilitas Struktur Bangunan

Daktilitas merupakan kemampuan suatu struktur gedung untuk mengalami simpangan pasca-elastik yang besar secara berulang kali dan bolak-balik akibat beban gempa diatas beban gempa yang menyebabkan terjadinya peleahan pertama, sambil mempertahankan kekuatan dan kekakuan yang cukup, sehingga struktur gedung tersebut tetap berdiri, walaupun sudah berada dalam kondisi diambang keruntuhan.

2.2 Dinding Geser

Bangunan tinggi tahan gempa umumnya menggunakan elemen – elemen struktur kaku berupa dinding geser untuk menahan kombinasi gaya geser, momen dan gaya aksial yang timbul akibat beban gempa. Dengan adanya dinding geser yang kaku pada bangunan, sebagian besar beban gempa akan terserap oleh dinding geser tersebut.

Dinding geser adalah struktur vertical yang digunakan pada bangunan tingkat tinggi. Fungsi utama dari dinding geser adalah menahan beban lateral seperti beban gempa dan angin. Berdasarkan letak dan fungsinya, dinding geser dapat diklasifikasikan dalam 3 jenis, yaitu:

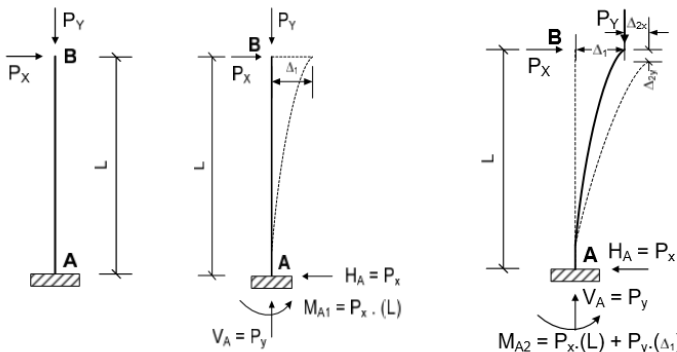
- *Bearing walls* adalah dinding geser yang juga mendukung sebagian besar beban gravitasi. Tembok – tembok ini juga menggunakan dinding partisi antar apartemen yang berdekatan.
- *Frame walls* adalah dinding geser yang menahan beban lateral, dimana beban gravitasi berasal dari frame beton

bertulang. Tembok – tembok ini dibangun diantar baris kolom.

- *Core walls* adalah dinding geser yang terletak di dalam wilayah inti pusat gedung yang biasanya diisi tangga atau poros lift. Dinding yang terletak dikawasan inti pusat memiliki fungsi ganda dan dianggap menjadi pilihan paling ekonomis.

2.3 Momen Sekunder Kolom Bergoyang (Sway)

Pada kenyataan elemen kolom yang mengalami gaya lateral (gempa, angin) akan mengalami pembesaran momen akibat defleksi lateral. Besarnya momen tambahan merupakan fungsi dari beban gravitas(P) dan defleksi lateral (Δ) , perilaku structural tersebut biasa disebut dengan p-delta efek ($P-\Delta$) yang merupakan pengaruh global portal kolom. Besarnya defleksi lateral dilakukan secara bertahap dan berulang/iterasi, nilai perbandingan defleksi lateral awal (Δ_1) dengan defleksi lateral akhir harus lebih kecil dari 2.5 untuk menghindari ketidak stabilan kolom portal akibat beban gravitasi.

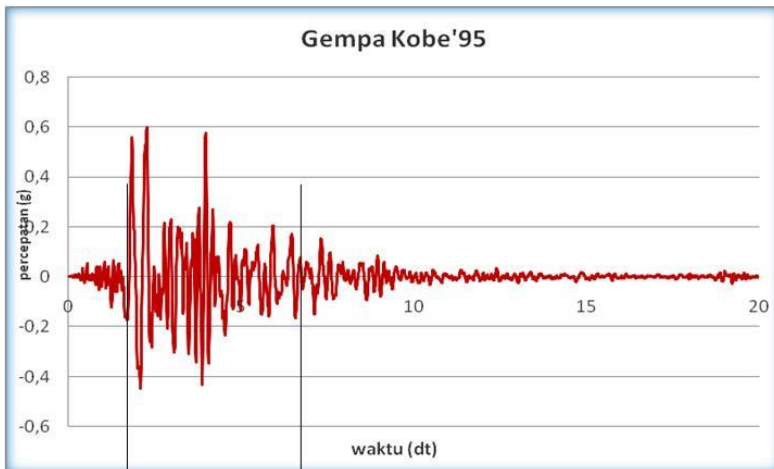


Gambar 2. 1 Defleksi Lateral (Δ) akibat beban gravitasi (P)

2.4 Time History

Untuk mengkaji perilaku pasca-elastik struktur bangunan gedung terhadap pengaruh gempa rentga, harus dilakukan *Nonlinear Time History Analysis* (NLTHA), dimana respons spectrum percepatan muka tanah asli dari gempa daerah yang ditinjau harus diskalakan terhadap respons spectrum salah satu gempa besar yang pernah terjadi, sehingga didapatkan nilai skala faktor. Penskalaan pada metode NLTHA merupakan proses penyesuaian *time history* gempa kuat dengan respon spectrum wilayah gempa pada lokasi bangunan yang akan ditinjau.

Sebagai contoh accelerogram dari sebuah gempa besar yang pernah terjadi yaitu gempa Kobe, Jepang tahun 1995 yang ditunjukkan oleh **Gambar 2.3**.



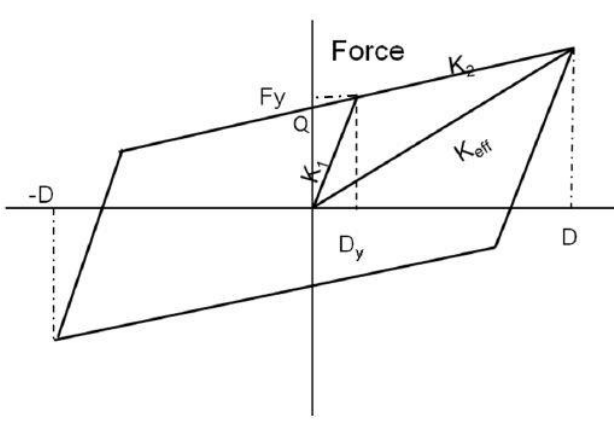
Gambar 2. 2 Accelerogram Gempa Kobe , Jepang 1995

2.5 Redaman

Peristiwa pelepasan energi oleh struktur akibat adanya gerakan antar molekul didalam material, gesekan alat penyambung maupun system pendukung, gesekan dengan udara dan yang terakhir bias juga akibat adanya sendi plastis. Redaman akan mengurangi respon struktur karena berfungsi untuk melepas energi. Sistem redaman yang dimaksud adalah bagaimana suatu system struktur mempunyai kemampuan dalam menyerap energi.

Pada umumnya perencanaan konvesional bangunan tahan gempa dengan memperhitungkan besaran gaya gempa dari kurva respon spektra elastis. Gaya gempa elastis dapat direduksi dengan faktor R untuk memperhitungkan dissipasi energy melalui deformasi inelastic yang terjadi pada struktur. Deformasi inelastic ini diarahkan pada bagian komponen struktur tertentu untuk mengabsorb energy pada peristiwa gempa kuat, dan biasanya direncanakan pada bagian balok yang dekat dengan sambungan balok-kolom, sehingga menyebabkan kerusakan yang parah pada komponen – komponen struktur tersebut. Disamping itu, akibat beban gempa yang bekerja secara siklik akan mengakibatkan terjadinya degradasi perilaku hysterisis loop komponen struktur meskipun telah dirancang dengan pendekatan yang cukup baik.

Perilaku hubungan gaya dan perpindahan pada slider isolator seperti ditunjukan pada **Gambar 2.4**. Dalam analisa struktur, slider isolator dapat dimodelkan sebagai model linier atau bi-linier. Untuk analisis linier digunakan kekakuan efektif K_{eff} , sedangkan untuk analisis nonlinier ada tiga parameter yang menentukan karakteristik dari slider isolator, yaitu : Kekakuan awal K_1 , kekakuan pasca leleh K_2 , dan perpindahan leleh D_y . (Teruna dan Singarimbun,2010)

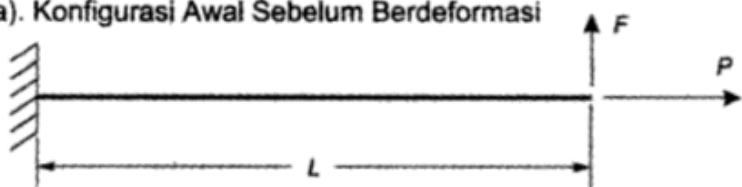


Gambar 2. 2 Pemodelan Hysterisis Bi-linier

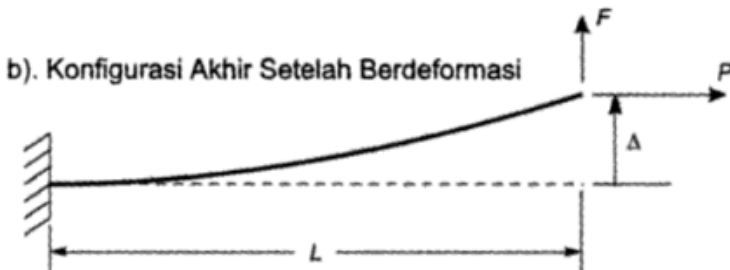
(sumber : Teruna dan Singarimbun 2010)

2.6 Konsep Dasar Efek P-Delta

a). Konfigurasi Awal Sebelum Berdeformasi



Gambar 2. 3 Konfigurasi Awal Sebelum Berdeformasi



Gambar 2. 4 Konfigurasi Akhir Setelah Berdeformasi

Balok kantilever diberi beban aksial P dan gaya transversal F di ujungnya ditunjukkan pada Gambar 2.4. Gaya aksial balok sama dengan P . Pada konfigurasi awal sebelum berdeformasi , momen tumpuannya $M = F \cdot L$, dan berkurang sampai nol (0) di ujung balok. Jika ditinjau kondisi berdeformasi, maka ada tambahan momen akibat gaya P dan eksentrisitas akibat deformasi transversal Δ dari beban F . Momen tidak lagi bervariasi linear sepanjang balok, tetapi bergantung pada bentuk lendutan yang dihasilkan gaya F tadi. Pada perhitungan P - Δ yang menyebabkan momen tambahan, hanya eksentrisitas akibat deformasi transversal saja yang dihitung agar tidak perlu iterasi berlebihan,teknik ini biasa disebut sebagai second order analysis.

2.7 Kurva Tegangan – Regangan Material

Proses pembentukan secara metalurgi merupakan proses deformasi plastis. Deformasi plastis ini artinya adalah apabila bahan mengalami pembebahan sewatu terjadinya proses pembentukan, dimana setelah beban dilepaskan maka diharapkan pelat tidak kembali kekeadaan semula. Bahan yang mengalami proses pembentukan ini mengalami peregangan atau penyutuan.

2.7.1 Kurva Tegangan – Regangan Beton

Model tegangan – regangan (**Gambar 2.7**) yang digunakan dalam memodelkan perilaku material beton dapat dibagi

dalam dua kategori, yaitu beton normal dan, beton mutu tinggi ($f'_c > 40$ Mpa). Perilaku kedua tipe material beton tersebut terutama terletak pada nilai daktilitasnya. Beton normal akan memiliki nilai daktilitas lebih besar daripada beton mutu tinggi (beton mutu tinggi lebih getas).

Sebagai akibatnya persamaan yang digunakan dalam memodelkan tegangan-regangan untuk kedua tipe beton tersebut juga berbeda. Beton normal, persamaan yang digunakan untuk memodelkan perilaku beton normal adalah persamaan Hognestad.

$$f_c = f'_c \times \left(\frac{2\epsilon_c}{\epsilon_{c'}} - \left(\frac{\epsilon_c}{\epsilon_{c'}} \right)^2 \right)$$

Dimana :

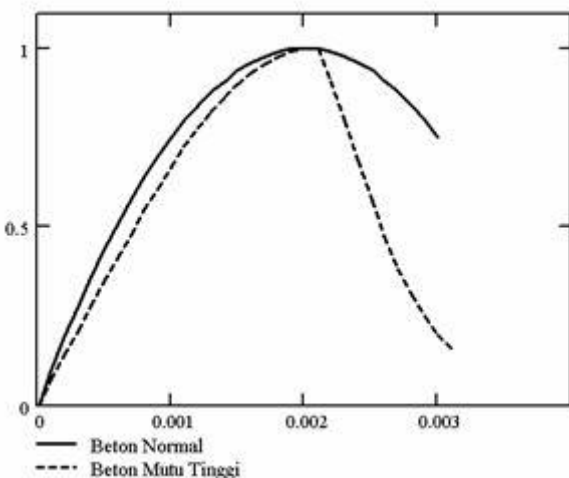
F_c = tegangan pada beton (Mpa)

E_c = regangan pada beton

F'_c = kuat tekan beton uniaksial

$\epsilon_{c'}$ = regangan pada saat beton mencapai f'_c

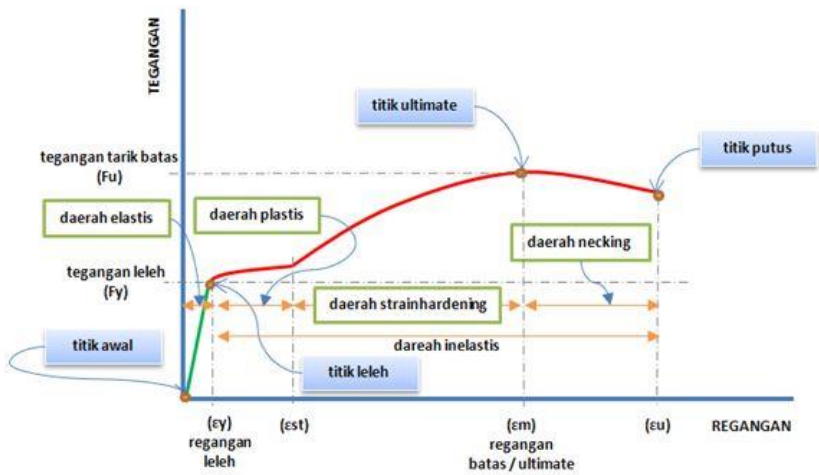
$$E_c' = \frac{f'_c}{E_c}$$



Gambar 2. 5 Kurva Tegangan-Regangan Beton

2.7.2 Kurva Tegangan – Regangan Tulangan

Perilaku material baja tulangan dinyatakan dalam bentuk kurva hubungan tegangan-regangan seperti ditunjukkan pada **Gambar 2.8**.



Gambar 2. 6 Kurva Tegangan-Regangan Baja Tulangan

(Halaman ini sengaja dikosongkan)

BAB III

METODOLOGI

3.1 Prosedur Penggerjaan TA

3.1.1 Studi Literatur

Studi literatur adalah mencari referensi teori yang relevan dengan kasus atau permasalahan yang ditemukan. Referensi tersebut berisikan:

- Perencanaan bangunan gedung bertingkat
- Analisa gempa dengan metode NLTHA
- Pedoman peraturan bangunan gedung dan gempa

Referensi ini dapat dicari dari buku, jurnal, dan artikel laporan penelitian. Output dari studi literature ini adalah terkoleksinya referensi relevan dengan perumusan masalah.

Tujuannya adalah untuk memperkuat permasalahan serta sebagai dasar teori dalam melakukan perencanaan dan juga menjadi dasar untuk melakukan studi kembali di kemudian hari.

3.1.2 Pengumpulan Data

Dalam pelaksanaan dan penyusunan laporan Tugas Akhir menggunakan dua jenis data yang dijadikan bahan acuan, yaitu:

- Data Primer
- Data Sekunder

Namun data yang digunakan dalam penyusunan laporan Tugas Akhir ini menggunakan Data sekunder. Data sekunder merupakan data pendukung yang dipakai dalam proses pembuatan dan penyusunan laporan Tugas Akhir ini. Data sekunder ini tidak didapatkan melalui pengamatan langsung di lapangan. Yang termasuk dalam klasifikasi data sekunder ini antara lain adalah

literatur – literatur penunjang, grafik , table, dan denah yang berkaitan erat dengan proses perencanaan struktur gedung Condo Tower Super Block Tunjungan Plaza 6 Surabaya.

- Data Teknis

Data teknis merupakan data yang berhubungan langsung dengan perencanaan struktur gedung condo tower seperti bahan bangunan yang digunakan, beban rencana yang bekerja dan sebagainya.

- Struktur utama

Kolom : $f'c = 45 \text{ MPa}$

Shear wall : $f'c = 50 \text{ MPa}$

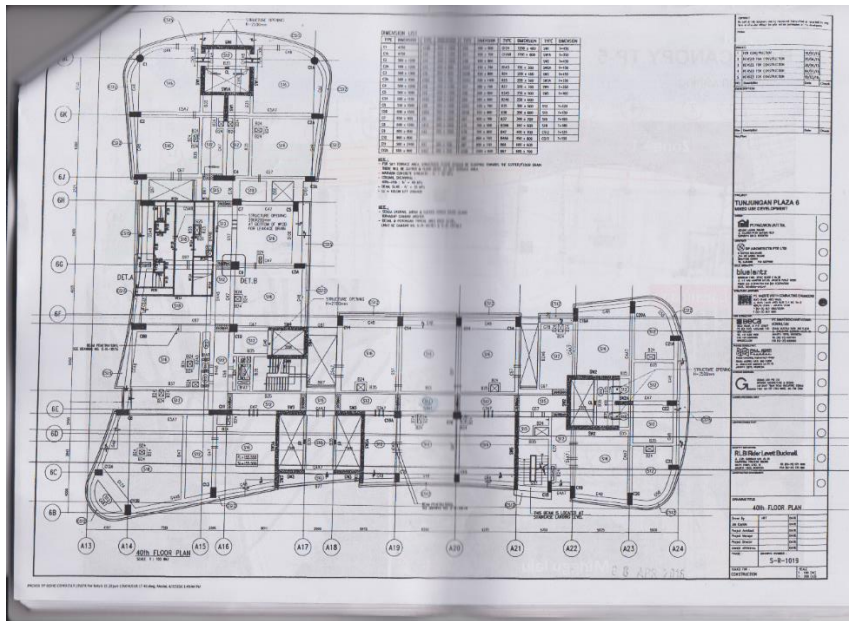
Balok : $f'c = 40 \text{ MPa}$

Pelat : $f'c = 40 \text{ MPa}$

Tulangan : $f_y = 420 \text{ MPa}$

- Data Non Teknis

Data non teknis merupakan data yang berfungsi sebagai penunjang dan perencanaan, seperti kondisi dan letak lokasi proyek serta gambar denah seperti pada **Gambar 3.1** berikut.



**Gambar 3. 1 Denah Condo Tower Tunjungan Plaza 6
Surabaya**

- Data Proyek

Nama Proyek : Perencanaan Struktur Gedung Condo Tower Super Block Tunjungan Plaza 6 Surabaya.

Fungsi Bangunan : Hunian dan Tempat tinggal.

Jumlah Lantai : 53 Lantai.

Lokasi : Jl. Basuki Rahmat No.8 – 12, Tegalsari, Surabaya, Jawa Timur.

Struktur Bangunan : Konstruksi Rangka Beton Bertulang.

Struktur Atap : Konstruksi Pelat Beton Bertulang.

Bahan Bangunan : Struktur Beton.

3.1.3 Preliminary Design

Sesuai dengan SNI 2847-2013 bahwa asumsi awal dari perencanaan tebal pelat menggunakan $h_{min} = 12$ cm untuk pelat lantai sedangkan $h_{min} = 10$ cm untuk pelat atap.

Untuk mendapatkan hasil design yang optimum,maka preliminary design balok menggunakan rumus :

$$h = \frac{l}{12}, b = \frac{2}{3} h$$

Pada perencanaan kolom, beban yang bekerja pada kolom hanya beban aksial, maka perkiraan ukuran kolom dengan pengikat sengkang, adalah sebagai berikut :

$$A_g \geq \frac{P_U}{0.2x(f'c + fy x\rho)}$$

Sedangkan rasio tulangan : $0.001 \leq \rho \leq 0.06$, dengan asumsi $\rho = 0.01$ (perkiraan nilai rasio tulangan yang ekonomis) sehingga dimensi kolom yang dibutuhkan = $\sqrt{A_g}$ mm.

Dalam perencanaan dinding geser harus didesain sebagai Dinding Struktur Beton Khusus (DSBK). Untuk ketebalan struktur dinding geser ditetapkan sebesar 25 cm. Sedangkan pemakaian struktur batas (*Boundary system*) tergantung hasil analisa gaya – gaya dalam yang dihasilkan program bantu ETABS dengan berpedoman SNI.

3.1.4 Pembebanan

Pembebanan untuk gedung mengikuti peraturan yang telah ada yakni pada SNI 1727-2013. Bangunan gedung diperhitungkan untuk memikul beban – beban sebagai berikut :

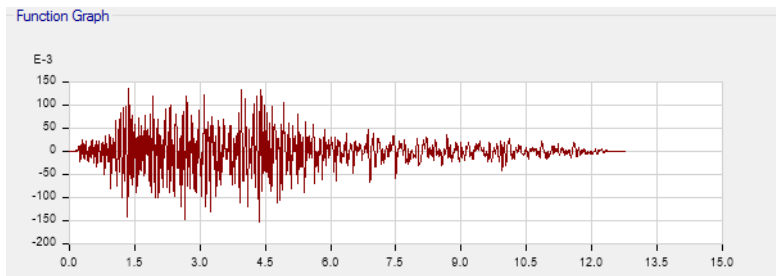
Beban mati adalah berat seluruh bahan konstruksi bangunan gedung yang terpasang, termasuk dinding, lantai, atap, plafon, tangga, dinding partisi tetap, *finishing*, kladding gedung dan komponen arsitektural dan struktural lainnya serta peralatan layan terpasang lain termasuk berat keran (SNI 1727-2013 Ps 3.1), sebagai contohnya antara lain :

Beton Bertulang	: 2400 kg/m ³
Finishing lantai	: 21 kg/m ²
Penutup lantai (ubin)	: 24 kg/m ²
Pasangan dinding ½ bata	: 250 kg/m ²

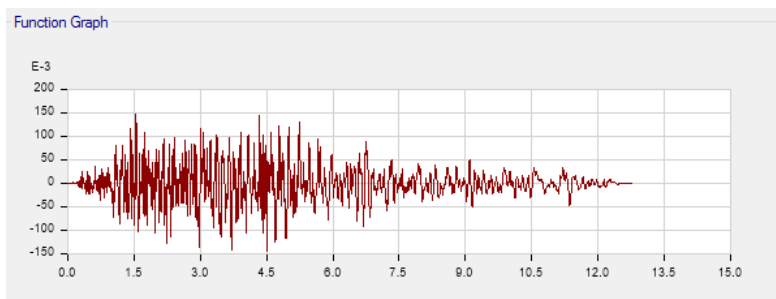
Beban hidup yang digunakan dalam perencanaan gedung atau hunian haruslah beban maksimum yang diharapkan terjadi akibat hunian dan penggunaan bangunan gedung contohnya antara lain :

Lantai apartment	: 250 kg/m ²
Tangga dan Bordes	: 300 kg/m ²
Plat atap	: 100 kg/m ²
Parkiran	: 400 kg/m ²

Beban gempa yang digunakan untuk menghitung tulangan balok, kolom dan shearwall menggunakan dinamik respons spectrum dan ketika dianalisa dengan menggunakan metode NLTHA, menggunakan gempa *time history* Cerro Prieto seperti ditunjukan pada **Gambar 3.2** dan **Gambar 3.3**.



Gambar 3. 2 Accelerogram Gempa Cerro Prieto Arah X

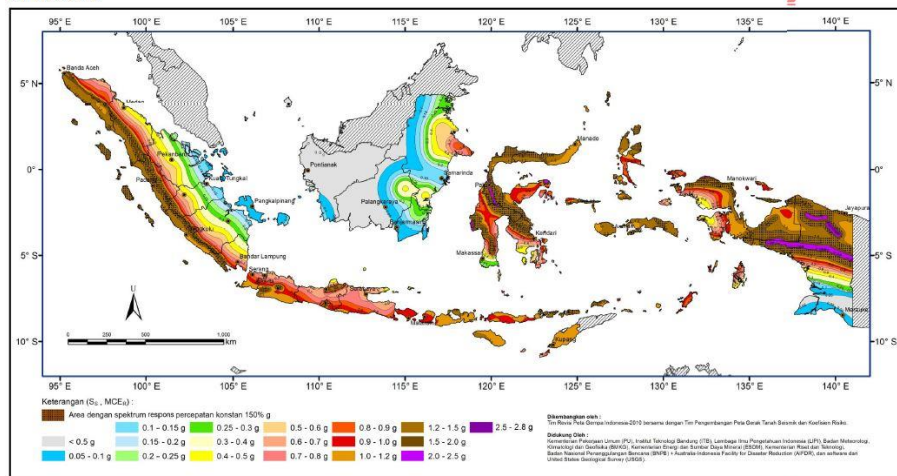


Gambar 3. 3 Accelerogram Gempa Cerro Prieto Arah Y

3.1.5 Analisa Gempa Respons Spektrum

Dari peta – peta gerak tanah seismik dan koefisien risiko telah didapatkan parameter – parameter gerak tanah S_s dan S_1 , kelas situs SE serta koefisien risiko C_{RS} dan C_{RI} dari lokasi yang ditinjau yaitu Surabaya, yang ditunjukkan pada **Gambar 3.4** sampai dengan **Gambar 3.8** berikut :

SNI 1726:2012

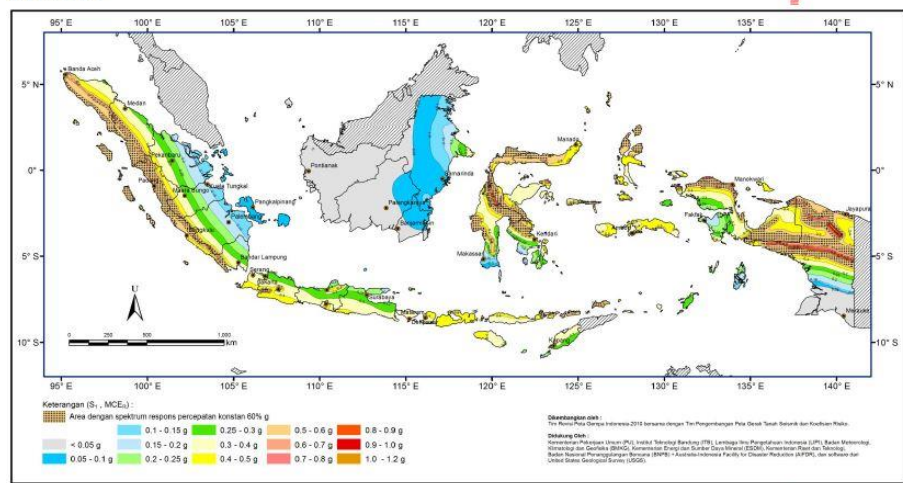


Gambar 3. 4 S_s, Gempa Maksimum yang Dipertimbangkan risiko-tertarget (MCE_R)

(Sumber: SNI 1726-2012)

Didapat S_s dari lokasi Surabaya yaitu sebesar: 0.6 – 0.7g

SNI 1726:2012

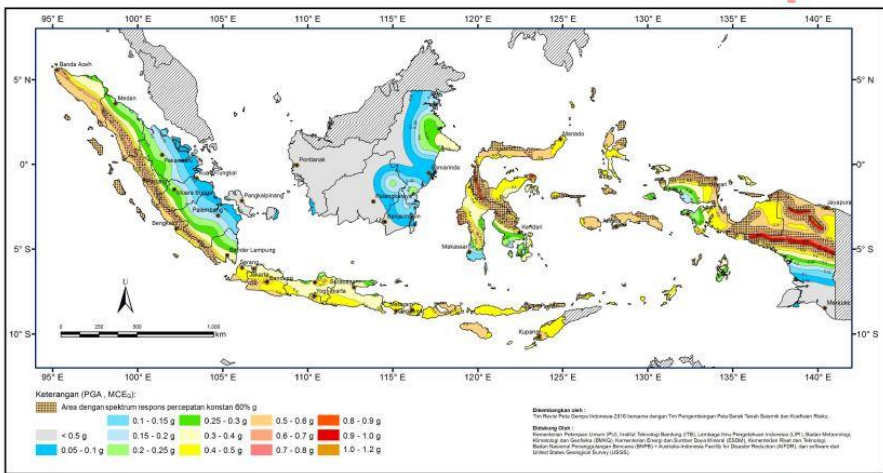


Gambar 3. 5 S₁, Gempa Maksimum yang Dipertimbangkan risiko-tertarget (MCE_R)

(sumber: SNI 1726-2012)

Didapat S₁ dari lokasi Surabaya yaitu sebesar: 0.2 – 0.25g

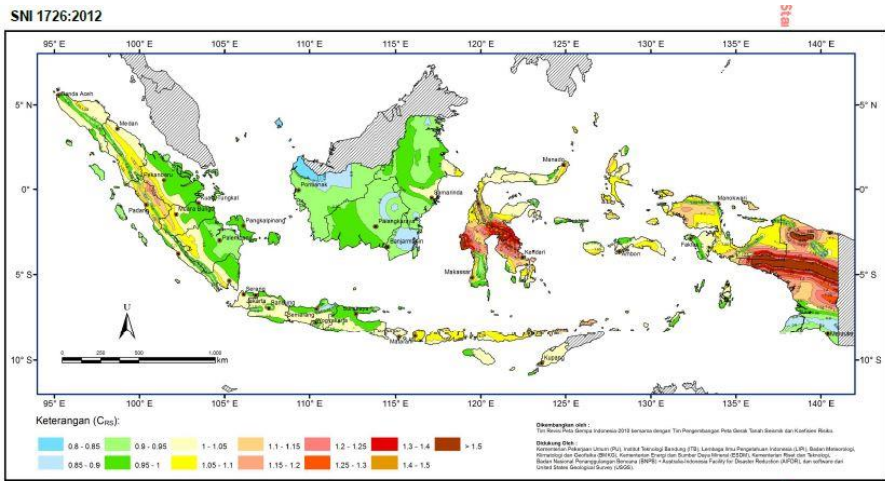
SNI 1726:2012



Gambar 3. 6 PGA, Gempa Maksimum yang dipertimbangkan rata – rata geometrik (MCE_G)

(sumber: SNI 1726-2012)

Didapat PGA dari lokasi Surabaya sebesar : 0.3 – 0.4g

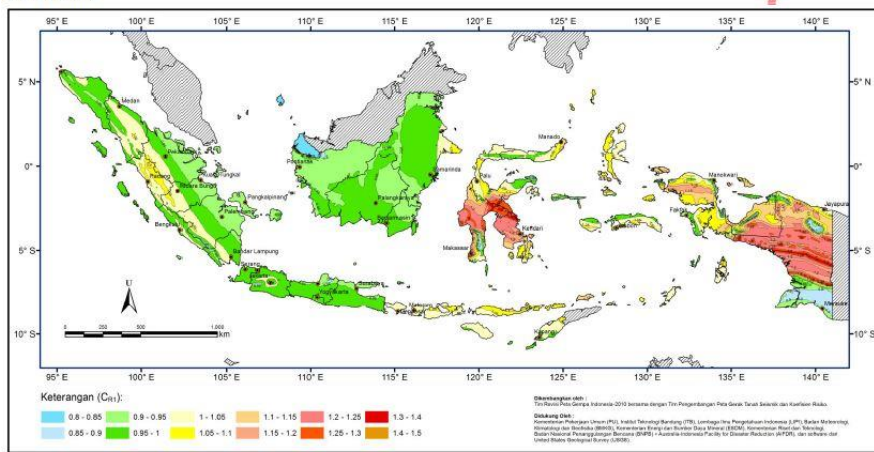


Gambar 3. 7 C_{RS} , Koefisien Risiko Terpetakan, Perioda Respons Spektral 0.2 s

(sumber: SNI 1726-2012)

Didapat C_{RS} dari lokasi Surabaya sebesar: 0.95 - 1

SNI 1726:2012



Gambar 3. 8 C_{R1} , Koefisien Risiko Terpetakan, Perioda Respons Spektral 0.1 s

Didapat C_{R1} dari lokasi Surabaya sebesar: 0.95 – 1

Jadi dapat disimpulkan bahwa untuk analisa respons spectral data – data yang digunakan adalah :

$$S_S = 0.6 - 0.7g$$

$$S_1 = 0.2 - 0.25g$$

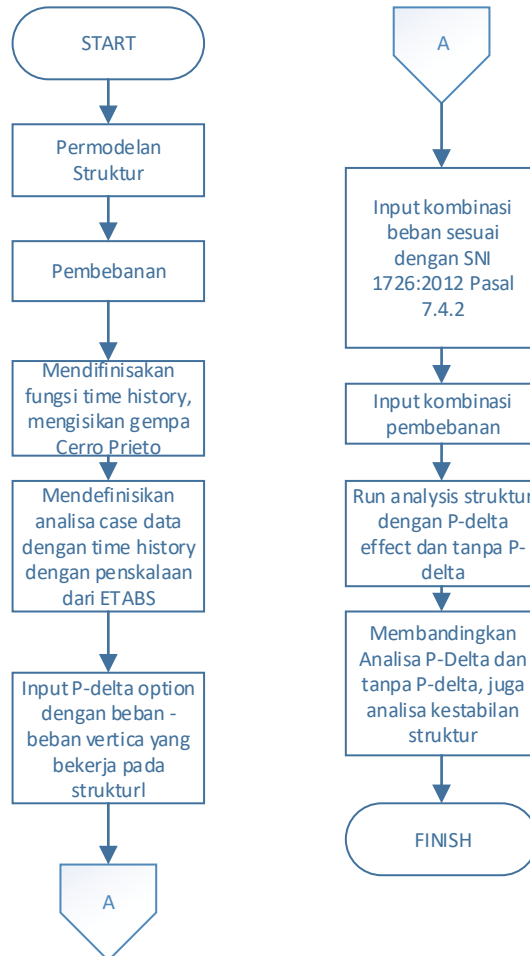
$$PGA = 0.3 - 0.4g$$

$$C_{RS} = 0.95 - 1$$

$$C_{R1} = 0.95 - 1$$

3.1.6 Analisa Struktur Menggunakan P-Delta

Berikut akan dilampirkan tahapan analisa dengan ETABS:



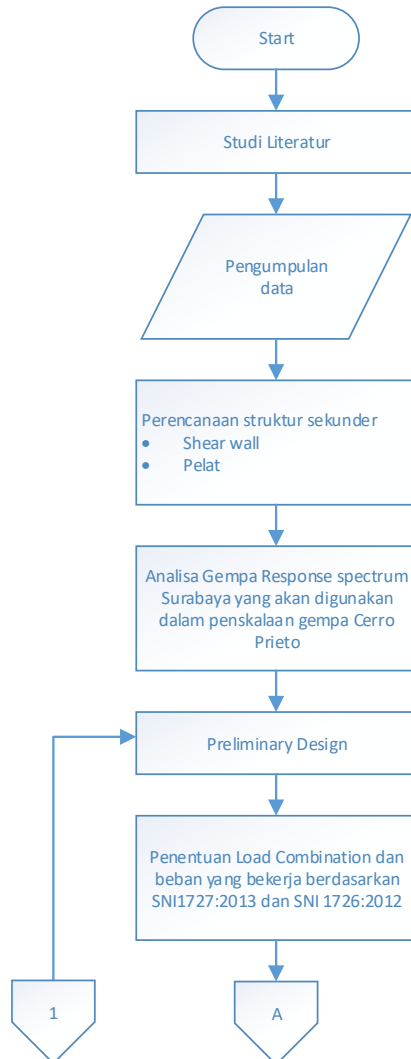
Gambar 3. 9 Flow Chart Analisa struktur menggunakan P-Delta

3.2 Penyajian Laporan Dan Format Penggambaran

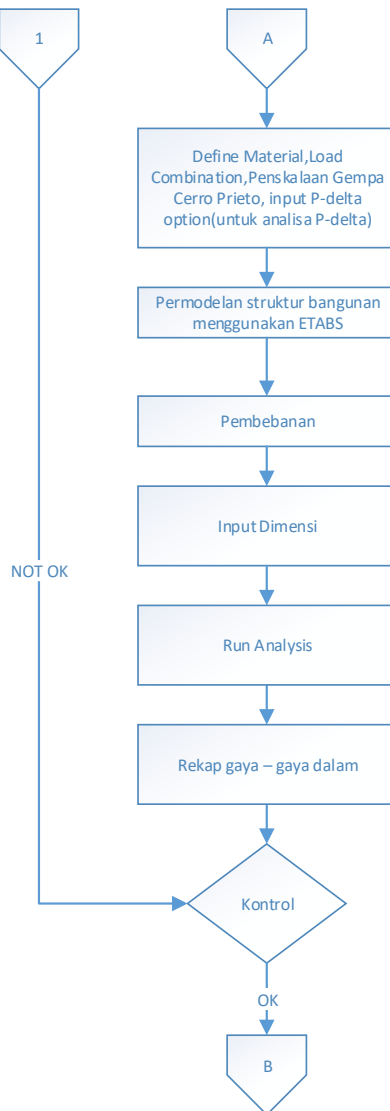
Penyajian Laporan Tugas Akhir ini disesuaikan dengan pedoman pembuatan laporan Tugas Akhir yang diterbitkan oleh Jurusan Teknik Sipil Institut Teknologi Sepuluh Nopember yang terdiri dari sistematika penulisan, penggunaan bahasa dan bentuk laporan.

Sedangkan format penggambaran disesuaikan dengan peraturan dan tata cara menggambar teknik struktur bangunan dengan menggunakan program *AutoCAD* 2015.

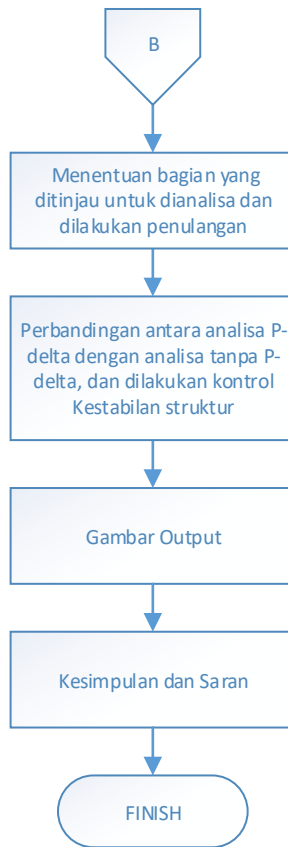
3.3 Flowchart Penyusunan Tugas Akhir



Gambar 3. 10 Diagram Alir Penyusunan Tugas Akhir



Gambar 3. 11 Diagram Alir Penyusunan Tugas Akhir



Gambar 3. 12 Diagram Alir Penyusunan Tugas Akhir

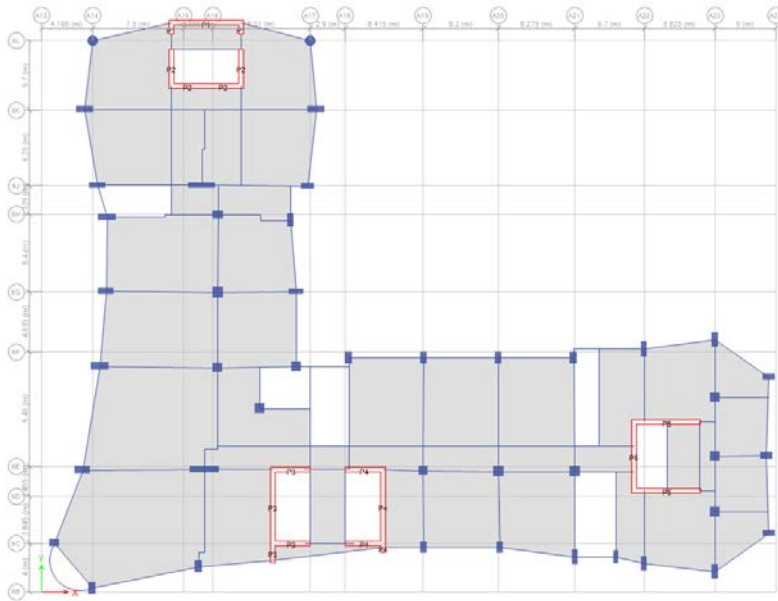
BAB IV

PRELIMINARY DESIGN

4.1 Data Perencanaan

Kriteria desain mengenai mutu dan bahan struktur gedung yang akan dipakai seperti dijelaskan pada keterangan dibawah ini :

Tiper Bangunan	: Apartment (Hunian)
Lokasi	: Kota Surabaya
Jumlah Lantai	: 53 Lantai
Tinggi Bangunan	: 196.2 m
Kelas Situs	: Tanah Sedang
Sistem Struktur	: Sistem Ganda (dual system)
Mutu Besi	: 420 MPa
Mutu Beton	: 40, 45 MPa



Gambar 4. 1 Denah Tipikal balok,kolom dan shearwall

4.2 Desain Dimensi Balok

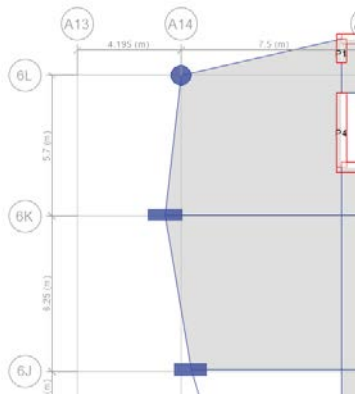
Balok adalah komponen struktur yang berfungsi menahan lentur, dimana terdapat balok primer dan balok sekunder. Sesuai dengan SNI 2847:2013 Pasal 9.5.2.2 tinggi minimu balok $h_{min} = \frac{1}{16} L$. Untuk f_y selain 420 Mpa, nilainya harus dikalikan dengan $[0.4 + (\frac{f_y}{700})]$ sehingga $h_{min} (\frac{1}{16} L) \cdot [0.4 + (\frac{f_y}{700})]$. Desain awal dimensi balok(tinggi minimum balok) untuk berbagai variasi bentang seperti ditunjukan pada tabel berikut.

Tabel 4. 1 Penentuan Dimensi Balok Beton Bertulang

Kode	Bentang	Formula (h,b)		Dimensi
G37	6400	400.00	h	700
		266.67	b	300
G3A7	6250	390.63	h	700
		260.42	b	350
G46	4850	303.13	h	600
		202.08	b	400
G47	6200	387.50	h	700
		258.33	b	400
G4A7	8544	534.00	h	700
		356.00	b	450
G4A8	7960	497.50	h	800
		331.67	b	450
G57	3750	234.38	h	700
		156.25	b	500
G58	9450	590.63	h	800
		393.75	b	500
G5A7	7500	468.75	h	700
		312.50	b	550
G67	4200	262.50	h	700
		175.00	b	600
G68	6368	398.00	h	800
		265.33	b	600
G76	2325	145.31	h	600
		96.88	b	700
G78	5700	356.25	h	800
		237.50	b	700
G87	2900	181.25	h	700
		120.83	b	800

4.3 Desain Dimensi Plat Lantai

Perhitungan tebal rencana plat lantai type A dengan dimensi seperti pada gambar



Gambar 4. 2 Gambar Plat Lantai Type-A

$$Ly = 7000 \text{ mm}$$

$$Lx = 6000 \text{ mm}$$

$$Ln = 7000 - \left(\frac{400}{2} + \frac{500}{2} \right) = 6550 \text{ mm}$$

$$Sn = 6000 - \left(\frac{550}{2} + \frac{550}{2} \right) = 5450 \text{ mm}$$

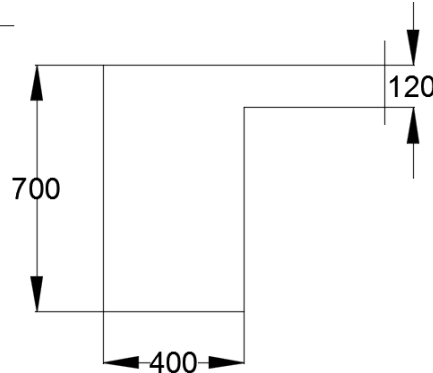
$$\beta = \frac{Ln}{Sn} = \frac{6550}{5450} = 1.2 \rightarrow \text{2 way slab}$$

Direncanakan :

- Tebal plat lantai : 120 mm
- $f'c$: 40 MPa
- fy : 420 MPa

Balok As A14 Joint 6j – 6k

Dimensi potongan balok As A14 joint 6j-6k seperti pada gambar



Gambar 4. 3 Balok As A14 Joint 6j-6k

Menentukan lebar efektif flens seperti pada SNI 2847:2013
Pasal 13.2.4

$$be = bw + hw \leq bw + 4hf$$

- $be = bw + hw$

$$be = 400 + (700 - 120) = 980 \text{ mm}$$

- $be = bw + 4hf$

$$be = 400 + 4 \cdot 120 = 880 \text{ mm}$$

Diambil be terkecil = 880 mm

$$k = \frac{1 + \left(\frac{be}{bw} - 1\right) \left(\frac{t}{h}\right) \left[4 - 6 \left(\frac{t}{h}\right) + 4 \left(\frac{t}{h}\right)^2 + \left(\frac{be}{bw} - 1\right) \left(\frac{t}{h}\right)^3\right]}{1 + \left(\frac{be}{bw} - 1\right) \left(\frac{t}{h}\right)}$$

$$k = \frac{1 + \left(\frac{880}{400} - 1\right) \left(\frac{120}{700}\right) \left[4 - 6 \left(\frac{120}{700}\right) + 4 \left(\frac{120}{700}\right)^2 + \left(\frac{880}{400} - 1\right) \left(\frac{120}{700}\right)^3\right]}{1 + \left(\frac{880}{400} - 1\right) \left(\frac{120}{700}\right)}$$

$$k = 1.8855$$

Momen Inersia Penampang :

$$I_b = k \frac{bw h^3}{12} = 1.8855 \frac{400 \cdot 700^3}{12} = 21557794590 \text{ mm}^4$$

Momen Inersia Lanjut Pelat :

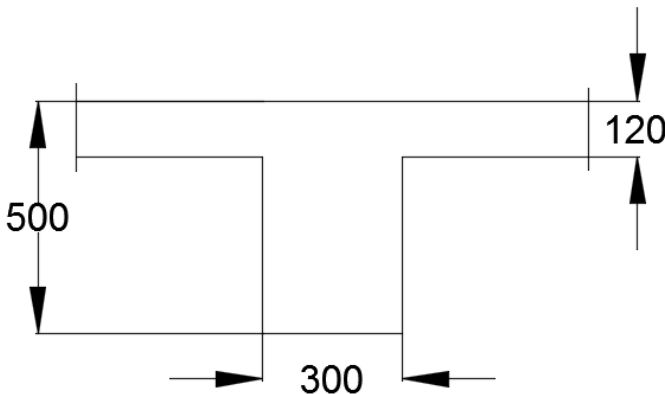
$$I_p = 0.5 \frac{bp t^3}{12} = 0.5 \frac{6000 \cdot 120^3}{12} = 432000000 \text{ mm}^4$$

Rasio Kekakuan Balok Terhadap Plat :

$$\alpha_1 = \frac{I_b}{I_p} = \frac{21557794590}{432000000} = 49.9$$

Balok As A14' Joint 6j-6k

Dimensi potongan balok As A14' joint 6j-6k seperti pada gambar



Gambar 4. 4 Balok As A14' Joint 6j-6k

Menentukan lebar efektif flens seperti pada SNI 2847:2013
Pasal 13.2.4

$$be = bw + hw \leq bw + 4hf$$

$$\text{-- } be = bw + hw$$

$$be = 300 + (500 - 120) = 680 \text{ mm}$$

$$\text{-- } be = bw + 4hf$$

$$be = 300 + 4*120 = 780 \text{ mm}$$

Diambil be terkecil = 680 mm

$$k = \frac{1 + \left(\frac{be}{bw} - 1\right) \left(\frac{t}{h}\right) \left[4 - 6\left(\frac{t}{h}\right) + 4\left(\frac{t}{h}\right)^2 + \left(\frac{be}{bw} - 1\right) \left(\frac{t}{h}\right)^3\right]}{1 + \left(\frac{be}{bw} - 1\right) \left(\frac{t}{h}\right)}$$

$$k = \frac{1 + \left(\frac{680}{300} - 1\right) \left(\frac{120}{500}\right) \left[4 - 6\left(\frac{120}{500}\right) + 4\left(\frac{120}{500}\right)^2 + \left(\frac{680}{300} - 1\right) \left(\frac{120}{500}\right)^3\right]}{1 + \left(\frac{680}{300} - 1\right) \left(\frac{120}{500}\right)}$$

$$k = 2.157$$

Momen Inersia Penampang :

$$I_b = k \frac{bw h^3}{12} = k \frac{300 \cdot 700^3}{12} = 6742514880 \text{ mm}^4$$

Momen Inersia Lanjut Pelat :

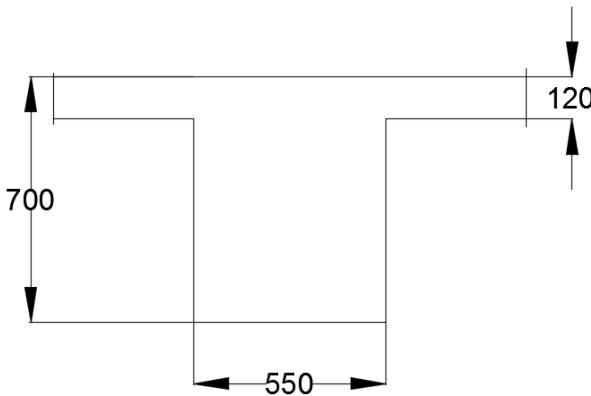
$$I_p = 0.5 \frac{bp t^3}{12} = 0.5 \frac{6000 \cdot 2 \cdot 120^3}{12} = 864000000 \text{ mm}^4$$

Rasio Kekakuan Balok Terhadap Plat :

$$\alpha_1 = \frac{I_b}{I_p} = \frac{6742514880}{864000000} = 7.8038$$

Balok As 6k Joint A14 – A14'

Dimensi potongan balok As 6k joint A14 – A14' seperti pada gambar



Gambar 4. 5 Balok As 6k Joint A14-A14'

Menentukan lebar efektif flens seperti pada SNI 2847:2013 Pasal 13.2.4

$$be = bw + hw \leq bw + 4hf$$

- $be = bw + hw$

$$be = 550 + (700 - 120) = 1130 \text{ mm}$$

- $be = bw + 4hf$

$$be = 550 + 4*120 = 1030 \text{ mm}$$

Diambil be terkecil = 1030

$$k = \frac{1 + \left(\frac{be}{bw} - 1\right) \left(\frac{t}{h}\right) \left[4 - 6\left(\frac{t}{h}\right) + 4\left(\frac{t}{h}\right)^2 + \left(\frac{be}{bw} - 1\right) \left(\frac{t}{h}\right)^3\right]}{1 + \left(\frac{be}{bw} - 1\right) \left(\frac{t}{h}\right)}$$

$$k = \frac{1 + \left(\frac{1030}{550} - 1\right) \left(\frac{120}{700}\right) \left[4 - 6\left(\frac{120}{700}\right) + 4\left(\frac{120}{700}\right)^2 + \left(\frac{1030}{550} - 1\right) \left(\frac{120}{700}\right)^3\right]}{1 + \left(\frac{1030}{700} - 1\right) \left(\frac{120}{700}\right)}$$

$$k = 1.64$$

Momen Inersia Penampang :

$$I_b = k \frac{bw h^3}{12} = k \frac{550 700^3}{12} = 25840608793 \text{ mm}^4$$

Momen Inersia Lanjut Pelat :

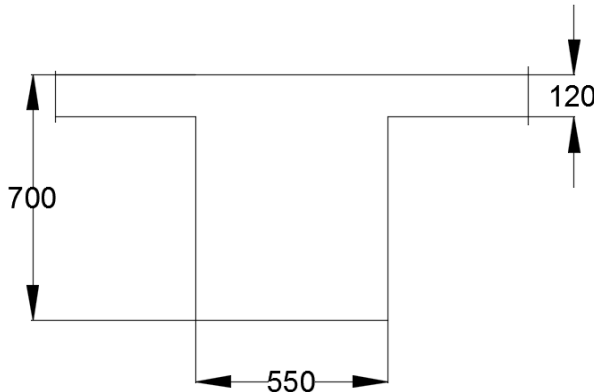
$$I_p = 0.5 \frac{bp t^3}{12} = 0.5 \frac{7000*2 120^3}{12} = 1008000000 \text{ mm}^4$$

Rasio Kekakuan Balok Terhadap Plat :

$$\alpha_1 = \frac{I_b}{I_p} = 25.635$$

Balok As 6j Joint A14-A14'

Dimensi potongan balok As 6j joint A14-A14' seperti pada gambar



Gambar 4. 6 Balok As 6j Joint A14-A14'

Menentukan lebar efektif flens seperti pada SNI 2847:2013
Pasal 13.2.4

$$be = bw + hw \leq bw + 4hf$$

$$- \quad be = bw + hw$$

$$be = 550 + (700 - 120) = 1130 \text{ mm}$$

$$- \quad be = bw + 4hf$$

$$be = 550 + 4*120 = 1030 \text{ mm}$$

Diambil be terkecil = 1030 mm

$$k = \frac{1 + \left(\frac{be}{bw} - 1\right) \left(\frac{t}{h}\right) \left[4 - 6\left(\frac{t}{h}\right) + 4\left(\frac{t}{h}\right)^2 + \left(\frac{be}{bw} - 1\right) \left(\frac{t}{h}\right)^3\right]}{1 + \left(\frac{be}{bw} - 1\right) \left(\frac{t}{h}\right)}$$

$$k = \frac{1 + \left(\frac{1030}{550} - 1\right) \left(\frac{120}{700}\right) \left[4 - 6\left(\frac{120}{700}\right) + 4\left(\frac{120}{700}\right)^2 + \left(\frac{1030}{550} - 1\right) \left(\frac{120}{700}\right)^3\right]}{1 + \left(\frac{1030}{700} - 1\right) \left(\frac{120}{700}\right)}$$

$$k = 1.643$$

Momen Inersia Penampang :

$$I_b = k \frac{bw h^3}{12} = k \frac{550 \cdot 700^3}{12} = 25840608793 \text{ mm}^4$$

Momen Inersia Lanjut Pelat :

$$I_p = 0.5 \frac{bp t^3}{12} = 0.5 \frac{7000*2 \cdot 120^3}{12} = 1008000000 \text{ mm}^4$$

Rasio Kekakuan Balok Terhadap Plat :

$$\alpha_1 = \frac{I_b}{I_p} = 25.635$$

Dari perhitungan diatas didapatkan nilai α_m adalah :

$$\alpha_m = \frac{1}{n} (\alpha_{1+} \alpha_{2+} \alpha_{3+} \alpha_{4+} \dots)$$

$$\alpha_m = \frac{1}{4} (49.9 + 7.80383 + 25.6355 + 25.6355) = 27.24429$$

Karena $\alpha_m > 2$ maka berdasarkan SNI 2847:2013 Pasal 9.5.3.3 digunaan persamaan berikut dan tidak boleh kurang dari 90mm :

$$h = \frac{\ln(0.8 + \frac{f_y}{1400})}{36 + 9\beta} \geq 90$$

$$h = \frac{6550(0.8 + \frac{420}{1400})}{36 + 9 \cdot 1.2} = 118.859 \text{ mm} \rightarrow 120 \text{ mm}$$

4.3.1 Perencanaan Pelat

Data perencanaan pelat berikut digunakan dalam perhitungan penulangan pelat yang dibagi menjadi dua yaitu penulangan plat lantai dan plat atap :

- Mutu Beton : 40 MPa
- Mutu Baja : 420 MPa
- Tebal Plat atap : 120 mm

- Tebal Plat Lantai : 120 mm
- Diameter tulangan rencana : 10 cm

4.3.2 Pembebanan Pelat

Pembebanan Pelat dibagi menjadi dua yaitu pembebanan pelat atap dan pembebanan pelat lantai seperti pada uraian berikut ini :

1. Pelat atap

Beban yang bekerja pada pelat atap adalah beban hidup dan beban mati dengan besar beban :

- Beban mati

$$\text{Pelat atap} = 0.12 \cdot 2400 = 288 \text{ kg/m}^2$$

$$\text{Penggantung} = 7 \text{ kg/m}^2$$

$$\text{Plafond} = 11 \text{ kg/m}^2$$

$$\text{Spesi}(t=2\text{cm}) = 2 \times 21 = 42 \text{ kg/m}^2$$

$$\text{Aspal}(t=1\text{cm}) = 14 \text{ kg/m}^2$$

$$\text{Plumbing dan ducting} = 15 \text{ kg/m}^2$$

$$\text{Total} = 377 \text{ kg/m}^2$$

- Beban hidup

$$\text{Beban hidup atap datar} = 96 \text{ kg/m}^2$$

$$\text{Beban air hujan} = 20 \text{ kg/m}^2$$

$$\text{Total} = 116 \text{ kg/m}^2$$

$$\text{Kombinasi} = 1.2 D + 1.6 L$$

$$= 1.2 \cdot 377 + 1.6 \cdot 116$$

$$= 638 \text{ kg/m}^2$$

2. Pelat Lantai

Beban yang bekerja pada pelat lantai adalah beban hidup dan beban mati dengan besar beban :

- Beban mati

$$\text{Pelat atap} = 0.12 \cdot 2400 = 288 \text{ kg/m}^2$$

$$\text{Penggantung} = 7 \text{ kg/m}^2$$

$$\text{Plafond} = 11 \text{ kg/m}^2$$

$$\text{Spesi}(t=2\text{cm}) = 2 \times 21 = 42 \text{ kg/m}^2$$

$$\text{Tegel}(t=1\text{cm}) = 24 \text{ kg/m}^2$$

$$\begin{aligned}
 \text{Plumbing dan ducting} &= 30 \text{ kg/m}^2 \\
 \text{Total} &= 402 \text{ kg/m}^2 \\
 - \quad \text{Beban hidup} & \\
 \text{Beban hidup lantai} &= 287 \text{ kg/m}^2 \\
 \\
 \text{Kombinasi} &= 1.2 D + 1.6 L \\
 &= 1.2 \cdot 402 + 1.6 \cdot 287 \\
 &= 941.6 \text{ kg/m}^2
 \end{aligned}$$

4.3.3 Penulangan Pelat

Akan dihitung penulangan pelat lantai dan pelat atap :

Perhitungan penulangan pelat atap type A tumpuan dan lapangan arah X

$$dx = 120 - 20 - 0.5 \cdot 10 = 95 \text{ mm}$$

$$dy = 120 - 20 - 10 - 0.5 \cdot 10 = 85 \text{ mm}$$

$$Lx = 6000 - \left(\frac{550}{2} - \frac{550}{2} \right) = 5450 \text{ mm}$$

$$Ly = 7000 - \left(\frac{400}{2} - \frac{500}{2} \right) = 6550 \text{ mm}$$

$$Qu = 638 \text{ kg/m}^2$$

Dengan menggunakan momen pada PBI 1971 tabel 13.3.1 didapat persamaan momen sebagai berikut :

$$Mlx = 0.001 \cdot qu \cdot Lx^2 \cdot X$$

$$Mtx = -0.001 \cdot qu \cdot Lx^2 \cdot X$$

$$Mly = 0.001 \cdot qu \cdot Lx^2 \cdot X$$

$$Mty = -0.001 \cdot qu \cdot Lx^2 \cdot X$$

Dimana :

$$Mlx = \text{Momen lapangan arah x}$$

M_{ly} = Momen lapangan arah y

M_{tx} = Momen tumpuan arah x

M_{ty} = Momen tumpuan arah y

X = nilai konstanta Ly/Lx

$$\beta = \frac{Ly}{Lx} = 1.2$$

dari table PBI didapatkan M_{lx} (+) = 28 dan M_{tx} (-) = 64 , dipakai X = 64

$$M_{lx} = -M_{tx}$$

$$= 0.001 \cdot qu. Lx^2 \cdot X = 0.001 \cdot 638 \cdot (5450/1000)^2 \cdot 64$$

$$= 1212.81 \text{ kg-m} = 12128124.8 \text{ N-mm}$$

$$- \quad \rho_{\min} = \frac{0.25 \sqrt{f'c}}{fy} \leq \frac{1.4}{fy}$$

$$= \frac{0.25 \sqrt{40}}{420} \leq \frac{1.4}{420}$$

$$= 0.003764 \geq 0.003333$$

$$- \quad \rho_b = \frac{0.85x\beta_1xf'c}{420} \times \frac{600}{600+fy}$$

$$= \frac{0.85x0.8x40}{420} \times \frac{600}{600+420} = 0.038$$

$$- \quad \rho_{\max} = 0.75. \rho_b = 0.75 \times 0.038 = 0.02857$$

$$- \quad R_n = \frac{Mn}{0.75.b.dx^2} = \frac{12128124.8}{0.75.1000.95^2} = 1.79$$

$$- \quad m = \frac{fy}{0.85 f'c} = \frac{420}{0.85 40} = 12.353$$

$$- \quad \rho_{\text{perlu}} = \frac{1}{m} \left(1 - \sqrt{1 - \frac{2 m R_n}{fy}} \right)$$

$$= \frac{1}{12.353} \left(1 - \sqrt{1 - \frac{2 \cdot 12.353 \cdot 1.79}{420}} \right) = 0.004384905$$

$$- \quad \rho_{\max} > \rho_{\text{perlu}} > \rho_{\min}$$

0.02857 > 0.00438 > 0.003333 → pakai $\rho_{\text{perlu}} = 0.00438$

- $As \text{ perlu} = \rho \cdot b \cdot d = 0.00438 \cdot 1000 \cdot 75 = 416.565 \text{ mm}^2$
- $n \text{ tul} = \frac{As \text{ perlu}}{0.25 \cdot \pi \cdot d^2} = \frac{416.565}{0.25 \cdot 3.14 \cdot 10^2} = 5.3 \text{ buah}$
Pakai $n = 6$ buah
- $S = 1000/6 = 166.67 \text{ mm}$
 $S < 450 \text{ mm (SNI 2857:2013 Pasal 7.6.5)}$
Pakai $S = 150\text{mm}$

Maka digunakan tulangan lentur D10-150 mm

Perhitungan penulangan pelat atap type A tumpuan dan lapangan arah Y

$$\beta = \frac{Ly}{Lx} = 1.2$$

dari table PBI didapatkan $M_{ulx} (+) = 20$ dan $M_{utx} (-) = 56$, dipakai $X = 56$

$$M_{ly} = -M_{ty}$$

$$\begin{aligned} &= 0.001 \cdot qu. Ly^2 \cdot X = 0.001 \cdot 638 \cdot (6550/1000)^2 \cdot 56 \\ &= 1080.161 \text{ kg-m} = 10801611.5 \text{ N-mm} \end{aligned}$$

- $\rho_{min} = \frac{0.25 \sqrt{f'c}}{fy} \leq \frac{1.4}{fy}$
 $= \frac{0.25 \sqrt{40}}{420} \leq \frac{1.4}{420}$
 $= 0.003764 \geq 0.003333$
- $\rho_b = \frac{0.85x\beta_1xf'c}{420} \times \frac{600}{600+fy}$
 $= \frac{0.85x0.8x40}{420} \times \frac{600}{600+420} = 0.038$
- $\rho_{max} = 0.75 \cdot \rho_b = 0.75 \times 0.038 = 0.02857$
- $R_n = \frac{Mn}{0.75 \cdot b \cdot dx^2} = \frac{10801611.5}{0.75 \cdot 1000 \cdot 95^2} = 1.59$
- $m = \frac{fy}{0.85 f'c} = \frac{420}{0.85 40} = 12.353$

- $\rho_{\text{perlu}} = \frac{1}{m} \left(1 - \sqrt{1 - \frac{2 m R n_s}{f_y}} \right)$
 $= \frac{1}{12.353} \left(1 - \sqrt{1 - \frac{2 \cdot 12.353 \cdot 1.59}{420}} \right) = 0.00389315$
- $\rho_{\max} > \rho_{\text{perlu}} > \rho_{\min}$
 $0.02857 > 0.00438 > 0.003333 \rightarrow \text{pakai } \rho_{\text{perlu}} = 0.0038931$
- $A_s \text{ perlu} = \rho \cdot b \cdot d = 0.00389 \cdot 1000 \cdot 75 = 369.849 \text{ mm}^2$
- $n_{\text{tul}} = \frac{A_s \text{ perlu}}{0.25 \cdot \pi \cdot d^2} = \frac{369.849}{0.25 \cdot 3.14 \cdot 10^2} = 4.7 \text{ buah}$
Pakai $n = 5$ buah
- $S = 1000/5 = 200 \text{ mm}$
 $S < 450 \text{ mm (SNI 2857:2013 Pasal 7.6.5)}$
Pakai $S = 200 \text{ mm}$

Maka digunakan tulangan lentur D10-200mm

Perhitungan penulangan pelat Lantai type A tumpuan dan lapangan arah X

$$dx = 120 - 20 - 0.5 \cdot 10 = 95 \text{ mm}$$

$$dy = 120 - 20 - 10 - 0.5 \cdot 10 = 85 \text{ mm}$$

$$L_x = 6000 - \left(\frac{550}{2} - \frac{550}{2} \right) = 5450 \text{ mm}$$

$$L_y = 7000 - \left(\frac{400}{2} - \frac{500}{2} \right) = 6550 \text{ mm}$$

$$Qu = 941.6 \text{ kg/m}^2$$

Dengan menggunakan momen pada PBI 1971 tabel 13.3.1 didapat persamaan momen sebagai berikut :

$$M_{lx} = 0.001 \cdot qu \cdot Lx^2 \cdot X$$

$$M_{tx} = -0.001 \cdot qu \cdot Lx^2 \cdot X$$

$$M_{ly} = 0.001 \cdot qu. Lx^2 \cdot X$$

$$M_{ty} = -0.001 \cdot qu. Lx^2 \cdot X$$

Dimana :

$$M_{lx} = \text{Momen lapangan arah x}$$

$$M_{ly} = \text{Momen lapangan arah y}$$

$$M_{tx} = \text{Momen tumpuan arah x}$$

$$M_{ty} = \text{Momen tumpuan arah y}$$

$$X = \text{nilai konstanta } Ly/Lx$$

$$\beta = \frac{Ly}{Lx} = 1.2$$

dari table PBI didapatkan $M_{lx} (+) = 28$ dan $M_{tx} (-) = 64$, dipakai $X = 64$

$$M_{lx} = -M_{tx}$$

$$= 0.001 \cdot qu. Lx^2 \cdot X = 0.001 \cdot 638 \cdot (5450/1000)^2 \cdot 64$$

$$= 1789.944 \text{ kg-m} = 17899439.36 \text{ N-mm}$$

$$- \quad \rho_{min} = \frac{0.25 \sqrt{f'c}}{fy} \leq \frac{1.4}{fy}$$

$$= \frac{0.25 \sqrt{40}}{420} \leq \frac{1.4}{420}$$

$$= 0.003764 \geq 0.003333$$

$$- \quad \rho_b = \frac{0.85x\beta_1xf'c}{420} \times \frac{600}{600+fy}$$

$$= \frac{0.85x0.8x40}{420} \times \frac{600}{600+420} = 0.038$$

$$- \quad \rho_{max} = 0.75. \rho_b = 0.75 \times 0.038 = 0.02857$$

$$- \quad R_n = \frac{Mn}{0.75.b.dx^2} = \frac{17899439.36}{0.75.1000.95^2} = 2.644$$

$$- \quad m = \frac{fy}{0.85 f'c} = \frac{420}{0.85 40} = 12.353$$

- $\rho_{\text{perlu}} = \frac{1}{m} \left(1 - \sqrt{1 - \frac{2 m R n_s}{f_y}} \right)$
 $= \frac{1}{12.353} \left(1 - \sqrt{1 - \frac{2 \cdot 12.353 \cdot 2.644}{420}} \right) = 0.0065622$
- $\rho_{\max} > \rho_{\text{perlu}} > \rho_{\min}$
 $0.02857 > 0.0065622 > 0.003333 \rightarrow \text{pakai } \rho_{\text{perlu}} = 0.0065622$
- $A_s \text{ perlu} = \rho \cdot b \cdot d = 0.006562 \cdot 1000 \cdot 75 = 623.411 \text{ mm}^2$
- $n_{\text{tul}} = \frac{A_s \text{ perlu}}{0.25 \cdot \pi \cdot d^2} = \frac{623.411}{0.25 \cdot 3.14 \cdot 10^2} = 7.9 \text{ buah}$
 Pakai $n = 8$ buah
- $S = 1000/8 = 125 \text{ mm}$
 $S < 450 \text{ mm (SNI 2857:2013 Pasal 7.6.5)}$
 Pakai $S = 125 \text{ mm}$

Maka digunakan tulangan lentur D10-125 mm

Perhitungan penulangan pelat Lantai type A tumpuan dan lapangan arah Y

$$\beta = \frac{Ly}{Lx} = 1.2$$

dari table PBI didapatkan $M_{ulx} (+) = 20$ dan $M_{ulx} (-) = 56$, dipakai $X = 56$

$$M_{ly} = -M_{ty}$$

$$= 0.001 \cdot q_u \cdot Ly^2 \cdot X = 0.001 \cdot 638 \cdot (6550/1000)^2 \cdot 56 \\ = 1594.168818 \text{ kg-m} = 15941688.18 \text{ N-mm}$$

$$- \quad \rho_{\min} = \frac{0.25 \sqrt{f'c}}{f_y} \leq \frac{1.4}{f_y}$$
 $= \frac{0.25 \sqrt{40}}{420} \leq \frac{1.4}{420}$
 $= 0.003764 \geq 0.003333$

- $\rho_b = \frac{0.85x\beta_1 x f' c}{420} \times \frac{600}{600+f_y}$
 $= \frac{0.85x0.8x40}{420} \times \frac{600}{600+420} = 0.038$
- $\rho_{max} = 0.75$. $\rho_b = 0.75 \times 0.038 = 0.02857$
- $R_n = \frac{Mn}{0.75.b.dx^2} = \frac{15941688.18}{0.75.1000.95^2} = 2.35$
- $m = \frac{f_y}{0.85 f' c} = \frac{420}{0.85 40} = 12.353$
- $\rho_{perlu} = \frac{1}{m} \left(1 - \sqrt{1 - \frac{2 m R_n}{f_y}} \right)$
 $= \frac{1}{12.353} \left(1 - \sqrt{1 - \frac{2 \cdot 12.353 \cdot 2.35}{420}} \right) = 0.00581655$
- $\rho_{max} > \rho_{perlu} > \rho_{min}$
 $0.02857 > 0.00581655 > 0.003333 \rightarrow$ pakai $\rho_{perlu} = 0.00581655$
- $As \text{ perlu} = \rho \cdot b \cdot d = 0.00581655 \cdot 1000 \cdot 75 = 552.573 \text{ mm}^2$
- $n \text{ tul} = \frac{As \text{ perlu}}{0.25 \cdot \pi \cdot d^2} = \frac{552.573}{0.25 \cdot 3.14 \cdot 10^2} = 7.03 \text{ buah}$
Pakai $n = 8$ buah
- $S = 1000/8 = 125 \text{ mm}$
 $S < 450 \text{ mm (SNI 2857:2013 Pasal 7.6.5)}$
Pakai $S = 125 \text{ mm}$

Maka digunakan tulangan lentur D10-125mm

4.4 Desain Dimensi Kolom

Menurut SNI 2847:2013 Pasal 10.8 kolom harus direncanakan untuk memikul beban aksial terfaktor yang bekerja pada semua lantai atau atap dan momen maksimum dari beban terfaktor pada satu bentang terdekat dari lantai atau atap yang ditinjau.

Direncanakan

Tebal plat lantai : 120 mm

Dimensi Tributary : 9.8m x 7m

Luas Tributary (A_t) : 68.6 m²

Beban hidup (L_0) : 1.92 kN/m²

K_{LL} : 4

A. Preliminary dimensi kolom

Beban Mati

- Beban Mati Lantai

Tabel 4. 2 Beban Mati Lantai 52

Jenis	Dimensi		Panjang	Massa jenis	Jumlah	Beban mati
Balok	0.5	0.62	10.3	24.00	1.00	76.632
Balok	0.6	0.52	7	24.00	1.00	52.416
Balok	0.5	0.52	10	24.00	1.00	62.4
Balok	0.3	0.62	4.5	24.00	1.00	20.088
Plat lantai	9.8	7	0.18	24.00	1.00	296.352
penggantung		9.8	7	0.10	1.00	6.86
plafond		9.8	7	0.07	1.00	4.802
mekanikal		9.8	7	0.19	1.00	13.034
Keramik + Spesi		9.8	7	1.10	1.00	75.46
lantai LR						1102.194
Total				=		1710.238

- Beban Mati Atap

Tabel 4. 3 Beban Mati Atap Lantai UR

Jenis	Dimensi		Panjang	Massa jenis	Jumlah	Beban mati
Balok G57	0.5	0.62	7	24.00	1.00	52.08
Balok G67	0.6	0.52	9.8	24.00	1.00	73.3824
Balok G57	0.5	0.52	7	24.00	1.00	43.68
Balok 37	0.3	0.62	9.8	24.00	1.00	43.7472
Plat lantai	9.8	7	0.18	24.00	1.00	296.352
penggantung		9.8	7	0.10	1.00	6.86
plafond		9.8	7	0.07	1.00	4.802
mekanikal		9.8	7	0.40	1.00	27.44

Jenis	Dimensi	Panjang	Massa jenis	Jumlah	Beban mati
waterproofing	9.8	7	0.05	1.00	3.43
					0
Total			=		551.7736

Tabel 4. 4 Beban Mati Atap Lantai LR

Jenis	Dimensi	Panjang	Massa jenis	Jumlah	Beban mati
Balok G57	0.5 0.62	10.3	24.00	1.00	76.632
Balok G67	0.6 0.52	7	24.00	1.00	52.416
Balok G57	0.5 0.52	10	24.00	1.00	62.4
Balok 37	0.3 0.62	4.5	24.00	1.00	20.088
Plat lantai	9.8 7	0.18	24.00	1.00	296.352
penggantung		9.8 7	0.10	1.00	6.86
plafond		9.8 7	0.07	1.00	4.802
mekanikal		9.8 7	0.40	1.00	27.44
waterproofing		9.8 7	0.05	1.00	3.43
Lantai UR					551.7736
Total			=		1102.1936

Beban Hidup

Menurut SNI1727:2013 Pasal 4.8 komponen struktur yang memiliki nilai $K_{LLA_T} \geq 37.16 \text{ m}^2$ diijinkan untuk dirancang dengan beban hidup tereduksi.

$$A_T = 68.6 \text{ m}^2$$

$$K_{LL} A_T = 4 \times 68.6 = 274.4 \text{ m}^2$$

$274.4 \text{ m}^2 > 37.16 \text{ m}^2 \rightarrow$ Maka beban hidup boleh direduksi

274.5

- Reduksi beban hidup plat lantai

$$L = L_0 \left(0.25 + \frac{4.57}{\sqrt{K_{LL} A_T}} \right) \geq 0.4 L_0$$

$$L = 1.92 \left(0.25 + \frac{4.57}{\sqrt{274.5}} \right) \geq 0.4 L_0$$

$$L = 1.01 \text{ kN/m}^2 \geq 0.77 \text{ kN/m}^2$$

- Maka total beban hidup plat lantai adalah :
 $1.1 \times 274.4 = 301.84 \text{ kN}$
- Reduksi beban hidup plat lantai atap
 $R_1 = 0.6$ (untuk $A_T < 55.74 \text{ m}^2$)
 $R_2 = 1$ ($F < 4$)
 $L_r = L_0 R_1 R_2 = 0.96 \times 0.6 \times 1 = 0.576 \text{ kN/m}^2$
Syarat : $0.58 \leq L_r \leq 0.96$
Maka $L_r = 0.58 \text{ kN/m}^2$
 - Kombinasi Beban
 $Q_u = 1.4 D = 2394.3332 \text{ kN}$
 $Q_u = 1.2 D + 1.6 L = 2535.2296 \text{ kN} \rightarrow \text{Pakai}$
 - Dimensi Kolom
Mutu Beton : 45 MPa
Dimensi $\rightarrow A = \frac{P}{0.75 \times f'c} = \frac{2535229}{0.75 \times 45} = 75117.91 \text{ mm}^2$
Dimensi perencana = 1300 mm x 600 mm

4.5 Desain Dimensi Dinding Geser

Menurut SNI 2847:2013 Pasal 14.5.3.1, ketebalan dinding pendukung tidak boleh kurang dari 1/25 tinggi atau panjang bentang tertumpu, yang lebih pendek, atau kurang dari 100mm.

Direncanakan :

- Tebal dinding geser = 500 mm
- Panjang bentang = 5550 mm
- Tinggi = 3800 mm

$$50 \text{ cm} \geq H/25$$

$$50 \text{ cm} \geq 380/25$$

$$50 \text{ cm} \geq 15.2 \text{ cm}$$

$$50 \text{ cm} \geq L/25$$

$$50 \text{ cm} \geq 555/25$$

$50 \text{ cm} \geq 22.2 \text{ cm}$

Tidak boleh kurang dari 100 mm

Jadi , tebal shearwall sebesar 50 cm telah memenuhi syarat SNI 2847:2013 Pasal 14.5.3.1

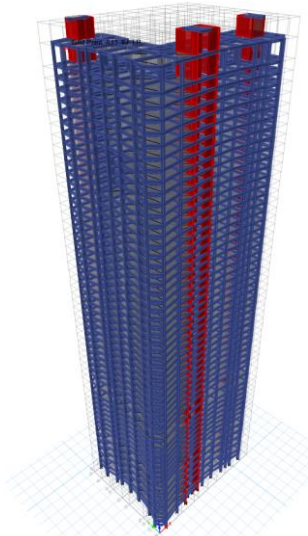
(Halaman ini sengaja dikosongkan)

BAB V

PERENCANAAN STRUKTUR

5.1 Pemodelan Struktur

Sesuai dengan syarat dalam tugas akhir ini yaitu menunjau struktur yang memakai sistem ganda dengan denah tidak simetris. Sistem ganda merupakan struktur yang memiliki rangka ruang pemikul beban gravitasi secara lengkap. Beban lateral dipikul dinding geser dan rangka pemikul momen. Rangka pemikul momen ini harus secara tersendiri sanggup memikul sedikitnya 25% dari beban dasar geser nominal.



Gambar 5. 1 Pemodelan Struktur Gedung Pada Program ETABS

5.2 Pembebanan

Untuk melakukan analisis struktur dengan program bantu analisis struktur seperti ETABS, perlu dilakukan perhitungan beban yang hasilnya akan digunakan sebagai data input ke dalam program. Beban – beban yang diinput tersebut meliputi beban mati, beban hidup dan beban gempa.

5.2.1 Beban Mati

Beban mati terdiri dari berat sendiri elemen struktur dan berat sendiri tambahan. Berat sendiri dari elemen struktur (*Self Weight*) dihitung secara otomatis oleh program bantu analisis struktur. Sementara untuk berat sendiri tambahan (*Superimposed Dead Load*) terdiri atas beban merata pada pelat serta beban akibat dinding. Sesuai dengan SNI 1727:2013 dengan perincian sebagai berikut :

➔ Beban Mati Lantai Atap

- Waterproofing : 0.05 kN/m^2
- Mekanikal : 0.19 kN/m^2
- Penggantung Plafond : 0.10 kN/m^2
- Plafond (Gypsum tb. 9mm)
- $@0.008 \text{ kN/m}^2$: 0.072 kN/m^2

➔ Beban Mati Lantai

- Keramik (19mm) + Spesi (25mm) : 1.10 kN/m^2
- Mekanikal : 0.19 kN/m^2
- Penggantung Plafond : 0.10 kN/m^2
- Plafond : 0.072 kN/m^2

➔ Beban Dinding

Beban dinding adalah berat pasangan bata ringan yang bekerja merata pada balok yang memikul dinding diatasnya sebesar :

- Lantai LG : 3.34 kN/m^2
- Lantai UG : 2.816 kN/m^2
- Lantai 1 : 4.796 kN/m^2
- Lantai 2-4th floor : 3.96 kN/m^2
- Lantai 5th floor : 4.444 kN/m^2
- Lantai 6-12th floor : 2.728 kN/m^2
- Lantai 13th floor : 4.488 kN/m^2
- Lantai 14th floor : 4.224 kN/m^2
- Lantai 15-51st floor : 2.904 kN/m^2
- Lantai 52nd floor : 5.368 kN/m^2
- Lantai LR : 4.752 kN/m^2

5.2.2 Beban Hidup

➔ Beban hidup lantai atap

- Beban hidup atap datar : 0.96 kN/m^2
- Taman (Lt 40) : 4.79 kN/m^2

➔ Beban hidup Lantai

- Ruang pribadi & koridor : 1.92 kN/m^2
- Hunian Kebakaran : 4.79 kN/m^2
- Gymnasium (Lt 14) : 4.79 kN/m^2
- Kolam Renang (Lt 14) : 3.59 kN/m^2

5.2.3 Beban Gempa

Desain beban gempa berdasar pada peraturan gempa yang terbaru yaitu SNI 1726:2012. Berdasarkan konfigurasi struktur gedung, analisis gempa akan menggunakan gempa dinamik. Namun diperlukan pula analisis gempa statik yang digunakan sebagai kontrol untuk memenuhi persyaratan pada SNI 1726:2012 Pasal 7.9.4 dimana disebutkan bahwa nilai akhir V_{dinamik} harus lebih besar sama dengan 85% V_{statik} . Oleh karena itu diperlukan analisis terhadap gempa dinamik dan gempa statik.

A. Analisa Gempa Dinamik

Analisa dinamik pada tugas akhir ini menggunakan metode *Time History* namun juga membutuhkan metode respon spektrum guna dilakukan penskalaan *Time History* terhadap target respons menggunakan program bantu etabs. Prosedur penentuan spektrum desain mengacu pada SNI 1726:2012 seperti yang dijelaskan berikut ini :

1. Menentukan kategori resiko bangunan

Penentuan kategori resiko bagunan disesuaikan dengan fungsi dari bangunan itu sendiri. Dalam tugas akhir ini fungsi bangunan yang ditinjau adalah sebagai Apartment sehingga didapatkan kategori resiko termasuk dalam kategori resiko II seperti yang ditunjukkan pada tabel 5.1.

Tabel 5. 1 Penentuan Kategori Resiko bangunan

Jenis pemanfaatan	Kategori risiko
Gedung dan non gedung yang memiliki risiko rendah terhadap jiwa manusia pada saat terjadi kegagalan, termasuk, tapi tidak dibatasi untuk, antara lain: - Fasilitas pertanian, perkebunan, perternakan, dan perikanan - Fasilitas sementara - Gudang penyimpanan - Rumah jaga dan struktur kecil lainnya	I
Semua gedung dan struktur lain, kecuali yang termasuk dalam kategori risiko I,III,IV, termasuk, tapi tidak dibatasi untuk: - Perumahan - Rumah toko dan rumah kantor - Pasar - Gedung perkantoran - Gedung apartemen/ rumah susun - Pusat perbelanjaan/ mall - Bangunan industri - Fasilitas manufaktur - Pabrik	II

2. *Menentukan faktor keutamaan gempa (I_e)*

Faktor keutamaan gempa didapatkan berdasarkan kategori resiko yang telah didapatkan pada langkah sebelumnya, sehingga didapatkan faktor keutamaan gempa seperti pada tabel 5.2.

Tabel 5. 2Penentuan faktor keutamaan gempa

Kategori risiko	Faktor keutamaan gempa, I_e
I atau II	1,0
III	1,25
IV	1,50

3. *Menentukan parameter percepatan tanah (S_s dan S_1)*

Nilai parameter percepatan gempa didapat dari peta zonasi gempa pada Gambar 3.8 dan Gambar 3.9 untuk Kota Surabaya didapat nilai $S_s = 0.65$ g dan $S_1 = 0.225$ g

4. *Menentukan klasifikasi situs*

Menurut SNI 1726:2012 Pasal 5.3 untuk menentukan klasifikasi situs dapat ditentukan salah

satunya dengan menentukan nilai N berdasarkan data hasil SPT. Setelah diperhitungakan pada tugas akhir ini untuk daerah Surabaya klasifikasi situs termasuk kedalam Tanah sedang (SD)

5. *Menentukan koefisien lokasi F_a dan F_v*

Berdasarkan SNI 1726:2012 Pasal 6.2 koefisien situs F_a dan F_v ditentukan berdasarkan tabel 4 dan 5 pada SNI 1726:2012.

- Menentukan F_a

Berdasarkan interpolasi data pada tabel 4 pada SNI 1726:2012 serta dengan parameter S_s dimana termasu klasifikasi situs tanah sedang (SD) didapatkan $F_a = 1.4$

- Menentukan F_v

Berdasarkan interpolasi pada tabel 5 pada SNI 1726:2012 serta parameter S_1 dengan klasifikasi situs tanah sedang (SD) didaptkan $F_v = 3.1$

6. *Menghitung nilai S_{MS} dan S_{M1}*

Berdasarkan SNI 1726:2012 Pasal 6.2 untuk menentukan parameter spektrum respons percepatan pada periode pendek (S_{MS}) dan periode 1 detik (S_{M1}) yang disesuaikan dengan pengaruh klasifikasi situs ditentukan dengan rumus :

$$S_{MS} = F_a \times S_s = 1.4 \times 0.65 = 0.91 \text{ g}$$

$$S_{M1} = F_v \times S_1 = 3.1 \times 0.225 = 0.6975 \text{ g}$$

7. *Menentukan parameter percepatan spectrum Desain*

$$S_{DS} = \frac{2}{3} S_{MS} = \frac{2}{3} 0.91 = 0.6067 \text{ g}$$

$$S_{D1} = \frac{2}{3} S_{M1} = \frac{2}{3} 0.6975 = 0.465 \text{ g}$$

8. *Menentukan Kategori desain seismik*

Berdasarkan tabel 6 dan tabel 7 pada SNI 1726:2012 serta menggunakan parameter yang telah didapatkan pada perhitungan sebelumnya maka, gedung termasuk pada kategori desain seismik D. Pemilihan kategori desain tersebut diperlihatkan pada Tabel 5.3.

Tabel 5. 3 Penentuan kategori desain seismik

Nilai S_{DS}	Kategori risiko	
	I atau II atau III	IV
$S_{DS} < 0,167$	A	A
$0,167 \leq S_{DS} < 0,33$	B	C
$0,33 \leq S_{DS} < 0,50$	C	D
$0,50 \leq S_{DS}$	D	D

Nilai S_{D1}	Kategori risiko	
	I atau II atau III	IV
$S_{D1} < 0,167$	A	A
$0,067 \leq S_{D1} < 0,133$	B	C
$0,133 \leq S_{D1} < 0,20$	C	D
$0,20 \leq S_{D1}$	D	D

9. *Menentukan sistem penahan gempa*

Berdasarkan tabel 9 pada SNI 1726:2012 sistem struktur gedung akan menggunakan tipe D3 yaitu sistem ganda dengan sistem rangka pemikul momen khusus. Sehingga didapatkan data untuk desain struktur yaitu :

$$R^a = 7 \text{ (Koefisien modifikasi respon)}$$

$$\Omega_o^g = 2.5 \text{ (Faktor kuat lebih sistem)}$$

$$C_b^d = 5.5 \text{ (Faktor pembesaran defleksi)}$$

10. Merencanakan model respons spektrum

- Batasan Periode

$$T_0 = \frac{0.2 S_{D1}}{S_{DS}} = \frac{0.2 \times 0.465}{0.6067} = 0.153 \text{ s}$$

$$T_S = \frac{S_{D1}}{S_{DS}} = \frac{0.465}{0.6067} = 0.766 \text{ s}$$

- Respon Spektrum percepatan desain saat $T < T_0$

$$S_a = S_{DS} (0.4 + 0.6 \frac{T}{T_0})$$

- Spectrum percepatan desain saat $T_0 \leq T \leq T_S$

$$S_a = S_{DS} = 0.6067$$

- Spectrum percepatan desain saat $T \geq T_S$

$$S_a = \frac{S_{D1}}{T}$$

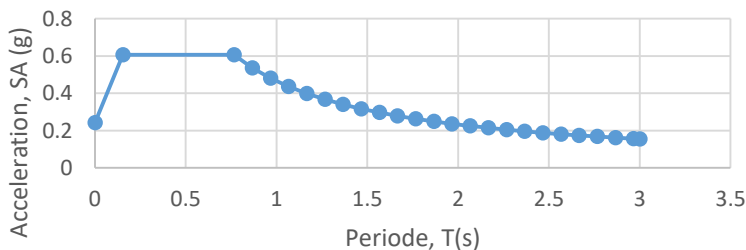
Parameter – parameter yang telah dihitung diatas dan perhitungan desain spektrum dengan interval data sebesar 0.1 detik diperlihatkan pada tabel 5.4 dimana hasil yang sama juga bisa diperoleh dari website www.puskim.pu.go.id.

Tabel 5. 4 Nilai Periode Fundamental (T) dan Percepatan Respon Spektra (Sa)

Sa	T	0,279112	1,666
0,24268	0	0,263307	1,766
0,6067	0,153	0,249196	1,866
0,6067	0,766	0,236521	1,966
0,536952	0,866	0,225073	2,066
0,481366	0,966	0,214681	2,166
0,43621	1,066	0,205207	2,266
0,398799	1,166	0,196534	2,366
0,367299	1,266	0,188564	2,466
0,34041	1,366	0,181216	2,566
0,31719	1,466	0,174419	2,666
0,296935	1,566	0,168113	2,766

		0,162247	2,866
		0,156777	2,966
		0,155	3

Response spectra SNI 1726:2012 Kota Surabaya (Tanah Sedang)



Gambar 5. 2 Grafik respon spektrum Desain

Nilai respon spektrum tersebut harus dikalikan dengan suatu faktor skala (scale factor) yang besarnya adalah ,

$$SF = \frac{g \times I}{R}$$

Dimana :

g = Percepatan gravitasi (9.81 m/s^2)

I = Faktor keutamaan gempa berdasarkan kategori resiko gempa (1) , SNI 1726:2012 tabel 2

R = Koefisien modifikasi respon (7) SNI 1726:2012 tabel 9

Mengacu pada SNI 1726:2012 pasal 7.5.4 pengaruh beban gempa harus disimulasikan sebagai gempa dengan kombinasi arah pembebanan orthogonal. Sehingga didapatkan mode beban yang didistribusikan 100% kearah x dan 30% kearah y jika ditinjau dari sumbu x dan sebaliknya.

- 100% beban gempa
 $SF = 100\% \frac{9.81 \times 1}{7} = 1.4014$
- 30% beban gempa
 $SF = 30\% \frac{9.81 \times 1}{7} = 0.4671$

B. Analisa Gempa Statik

1. Menghitung berat struktur

Perhitungan berat struktur perlantai meliputi berat sendiri struktur, berat akibat beban mati tambahan dan berat akibat beban hidup

- Berat sendiri (self weight)
 Berat sendiri struktur gedung (self weight) yang terdiri dari berat struktur pelat, balok, kolom, dan shearwall pada masaing – masing lantai ditampilkan pada tabel 5.5 berikut ini :

Tabel 5. 5 Berat Sendiri Struktur

Lantai	Berat (kN)	Lantai	Berat (kN)
UR	4071,67	25	12652,47
LR	16139,88	24	12652,47
51	12652,47	23	12652,47
50	12652,47	22	12652,47
49	12652,47	21	12652,47
48	12652,47	20	12652,47
47	12652,47	19	12652,47
46	12652,47	18	12652,47
45	12652,47	17	12652,47

Lantai	Berat (kN)	Lantai	Berat (kN)
44	12064,17	16	12652,47
43	12064,17	15	12652,47
42	12064,17	14	14632,3
41	12064,17	13	15028,27
40	12652,47	12	12388,5
39	12652,47	11	12388,5
38	12652,47	10	12256,51
37	12652,47	9	12388,5
36	12652,47	8	12388,5
35	12652,47	7	12388,5
34	12652,47	6	12388,5
33	12652,47	5	14962,27
32	12652,47	4	14236,33
31	12652,47	3	14236,33
30	12652,47	2	14236,33
29	12652,47	1	15490,22
28	12652,47	UG	12520,49
27	12652,47	LG	13312,42
26	12652,47		

- Berat akibat beban mati tambahan dan beban hidup (*Live Load*)

Beban mati tambahan sesuai dengan sub bab 5.2.1 dimana perhitungannya ditampilkan pada tabel 5.6.

Beban hidup berdasarkan SNI 1727:2012 tabel 4-1 beban hidup apartment/hotel pada plat lantai digunakan sebesar 1.92 kN/m². Berdasarkan SNI 1727:2012 pasal 4.8 reduksi beban hidup dalam peninjauan gempa diperbolehkan untuk direduksi

sebesar 0,5 sehingga total beban hidup untuk masing – masing lantai diperlihatkan pada tabel 5.6.

Tabel 5. 6 Beban Mati Tambahan dan Beban Hidup Pada Tiap Lantai

Lantai	Area	Beban hidup	Hidup 50%	Hidup	Mati	Total
UR	45,22	0,58	0,29	13,1138	4090,301	4103,415
LR	1243,6	1,01	0,505	628,018	16139,88	16767,89
51	1243,6	1,01	0,505	628,018	14470,62	15098,64
50	1243,6	1,01	0,505	628,018	14470,62	15098,64
49	1243,6	1,01	0,505	628,018	14470,62	15098,64
48	1243,6	1,01	0,505	628,018	14470,62	15098,64
47	1243,6	1,01	0,505	628,018	14470,62	15098,64
46	1243,6	1,01	0,505	628,018	14470,62	15098,64
45	1243,6	1,01	0,505	628,018	14470,62	15098,64
44	1127,82	1,01	0,505	569,5491	14470,62	15040,17
43	1127,82	1,01	0,505	569,5491	14470,62	15040,17
42	1127,82	1,01	0,505	569,5491	14470,62	15040,17
41	1127,82	1,01	0,505	569,5491	14470,62	15040,17
40	1243,6	1,01	0,505	628,018	14470,62	15098,64
39	1243,6	1,01	0,505	628,018	14470,62	15098,64
38	1243,6	1,01	0,505	628,018	14470,62	15098,64
37	1243,6	1,01	0,505	628,018	14470,62	15098,64
36	1243,6	1,01	0,505	628,018	14470,62	15098,64
35	1243,6	1,01	0,505	628,018	14470,62	15098,64
34	1243,6	1,01	0,505	628,018	14470,62	15098,64
33	1243,6	1,01	0,505	628,018	14470,62	15098,64

Lantai	Area	Beban hidup	Hidup 50%	Hidup	Mati	Total
32	1243,6	1,01	0,505	628,018	14470,62	15098,64
31	1243,6	1,01	0,505	628,018	14470,62	15098,64
30	1243,6	1,01	0,505	628,018	14470,62	15098,64
29	1243,6	1,01	0,505	628,018	14470,62	15098,64
28	1243,6	1,01	0,505	628,018	14470,62	15098,64
27	1243,6	1,01	0,505	628,018	14470,62	15098,64
26	1243,6	1,01	0,505	628,018	14470,62	15098,64
25	1243,6	1,01	0,505	628,018	14470,62	15098,64
24	1243,6	1,01	0,505	628,018	14470,62	15098,64
23	1243,6	1,01	0,505	628,018	14470,62	15098,64
22	1243,6	1,01	0,505	628,018	14470,62	15098,64
21	1243,6	1,01	0,505	628,018	14470,62	15098,64
20	1243,6	1,01	0,505	628,018	14470,62	15098,64
19	1243,6	1,01	0,505	628,018	14470,62	15098,64
18	1243,6	1,01	0,505	628,018	14470,62	15098,64
17	1243,6	1,01	0,505	628,018	14470,62	15098,64
16	1243,6	1,01	0,505	628,018	14470,62	15098,64
15	1243,6	1,01	0,505	628,018	14470,62	15098,64
14	1243,6	1,01	0,505	628,018	16450,44	17078,46
13	1243,6	1,01	0,505	628,018	16846,41	17474,43
12	1243,6	1,01	0,505	628,018	14206,64	14834,66
11	1243,6	1,01	0,505	628,018	14206,64	14834,66
10	1243,6	1,01	0,505	628,018	14074,65	14702,67
9	1243,6	1,01	0,505	628,018	14206,64	14834,66
8	1243,6	1,01	0,505	628,018	14206,64	14834,66

Lantai	Area	Beban hidup	Hidup 50%	Hidup	Mati	Total
7	1243,6	1,01	0,505	628,018	14206,64	14834,66
6	1243,6	1,01	0,505	628,018	14206,64	14834,66
5	1243,6	1,01	0,505	628,018	16780,41	17408,43
4	1243,6	1,01	0,505	628,018	16054,48	16682,5
3	1243,6	1,01	0,505	628,018	16054,48	16682,5
2	1243,6	1,01	0,505	628,018	16054,48	16682,5
1	1243,6	1,01	0,505	628,018	17308,37	17936,39
UG	1243,6	1,01	0,505	628,018	14338,63	14966,65
LG	1243,6	1,01	0,505	628,018	15130,56	15758,58
					Total	833668

2. *Menentukan periode getar struktur*

Dari hasil analisa struktur menggunakan ETABS didapat nilai T (periode getar fundamental struktur) = 7.78 s

3. *Menentukan perkiraan periode alama fundamental*
 Berdasarkan SNI 1726:2012 Pasal 7.8.2 penentuan perkiraan periode alami fundamental (T_a) ditentukan dengan parameter C_t dan x ditunjukkan pada tabel 5.7 , serta h_n merupakan total tinggi bangunan.

Tabel 5. 7 Penentuan Koefisien C_t dan x

Tipe struktur	C_t	x
Sistem rangka pemikul momen di mana rangka memikul 100 persen gaya gempa yang disyaratkan dan tidak dilingkupi atau dihubungkan dengan komponen yang lebih kaku dan akan mencegah rangka dari defleksi jika dikenai gaya gempa:		
Rangka baja pemikul momen	0,0724 ^a	0,8
Rangka beton pemikul momen	0,0466 ^a	0,9
Rangka baja dengan bresing eksentris	0,0731 ^a	0,75
Rangka baja dengan bresing terkekang terhadap tekuk	0,0731 ^a	0,75
Semua sistem struktur lainnya	0,0488 ^a	0,75

$$T_a = C_t h_n^x = 0,0488 \times 196,2^{0,75} = 2,55 \text{ s}$$

4. *Perhitungan batas atas periode struktur*

Batas atas periode struktur didapatkan dengan mengalikan nilai periode fundamental perkiraan dengan koefisien C_u . Berdasarkan nilai S_{D1} yang didapat dari perhitungan sebelumnya.

$$T = C_u \times T_a \rightarrow C_u = 1,4 \text{ (tabel 14 SNI 1726:2012)}$$

$$\text{Maka } T = 1,4 \times 2,55 = 3,58 \text{ s}$$

- Jika $T_c > C_u \times T_a$ maka digunakan $T = C_u \times T_a$
 - Jika $T_a < T_c < C_u \times T_a$ maka digunakan $T = T_c$
 - Jika $T_c < T_a$ maka digunakan $T = T_a$
- Dimana :
- T_a = Periode fundamental pendekatan
 C_u = Koefisien untuk batas atas
 T_c = Periode struktur yang dihitung dengan program analisis program computer

Dari hasil analisa program bantu ETABS didapatkan $T_c = 7.78 \text{ s}$, dan pada perhitungan sebelumnya didapatkan periode batas atas sebesar $C_u \times T_a = 3.58 \text{ s}$. Karena $T_c > C_u \times T_a$ maka periode fundamental struktur yang digunakan adalah $T = 3.58 \text{ s}$

5. *Perhitungan koefisien respons seismik*

$$\begin{aligned} S_{DS} &= 0.6067 & S_{DI} &= 0.465 \\ R &= 7 & I &= 1 \end{aligned}$$

Menurut SNI 1726:2012 Pasal 7.8.1.1 koefisien respon seismik (C_s) ditentukan dengan perumusan berikut :

$$C_s = \frac{S_{DS}}{R/I} = \frac{0.6067}{7/1} = 0.08 \text{ dan } C_s \text{ tidak lebih dari :}$$

$$C_{s1} = \frac{S_{DS}}{T^{R/I}} = \frac{0.6067}{3.58^{7/1}} = 0.0242 \geq 0.01$$

C_s tidak kurang dari :

$$C_{s2} = 0.044 \quad S_{DS} \times I = 0.026 \geq 0.01$$

Maka ambil nilai $C_s = 0.026$

6. *Menghitung gaya geser seismik*

Berdasarkan SNI 1726:2012 Pasal 7.8.1 penentuan gaya dasar seismik (V) dihitung berdasarkan persamaan 21 pada SNI 1726.2012. Sebagaimana ditunjukkan pula pada rumus dibawah ini :

$$\begin{aligned} V &= C_s \times W = 0.026 \times 833668 \text{ kN} \\ &= 21675.3678 \text{ kN} \end{aligned}$$

7. *Distribusi gaya gempa*

Gaya gempa lateral yang timbul pada tiap tingkat harus ditentukan berdasarkan persamaan dibawah ini :

$$F_x = C_{vx} V \text{ dimana :}$$

$$C_{vx} = \frac{w \times h_x^k}{\sum_{i=1}^n w_i h_i^k}$$

Untuk $T < 0.5s$: $k = 1$
 $T > 2.5s$: $k = 2$
 $0.5s < T < 2.5s$: $k = \text{interpolasi antara dua nilai diatas.}$

$T = 3,58 \text{ s}$, maka nilai k adalah : 2

Besarnya distribusi gaya geser akibat beban gempa dapat dilihat pada tabel 5.8.

Tabel 5. 8 Distribusi Gaya Gempa F_i Pada Tiap Lantai

Lantai	Hi	wi	wxhx^k	Cvx	F_i (kN)
UR	196,1	4103,415	157797675,5	0,014914	323,2767
LR	190,7	16767,89	609789478,6	0,057635	1249,263
51	184,6	15098,64	514518621,1	0,04863	1054,083
50	181,3	15098,64	496287471,6	0,046907	1016,733
49	178	15098,64	478385170,4	0,045215	980,0574
48	174,7	15098,64	460811717,4	0,043554	944,0551
47	171,4	15098,64	443567112,7	0,041924	908,7264
46	168,1	15098,64	426651356,3	0,040326	874,0715
45	164,8	15098,64	410064448,2	0,038758	840,0902
44	161,5	15040,17	392281387,9	0,037077	803,6585
43	158,2	15040,17	376413861,6	0,035577	771,151
42	154,9	15040,17	360873910,2	0,034109	739,3146
41	151,6	15040,17	345661533,6	0,032671	708,1494
40	148,3	15098,64	332062631,9	0,031385	680,2896
39	145	15098,64	317448813,5	0,030004	650,3506
38	141,7	15098,64	303163843,4	0,028654	621,0853
37	138,4	15098,64	289207721,5	0,027335	592,4936
36	135,1	15098,64	275580448	0,026047	564,5757
35	131,8	15098,64	262282022,7	0,02479	537,3315
34	128,5	15098,64	249312445,7	0,023564	510,7611
33	125,2	15098,64	236671717	0,022369	484,8643
32	121,9	15098,64	224359836,5	0,021206	459,6412
31	118,6	15098,64	212376804,4	0,020073	435,0918

Lantai	Hi	wi	wxhx^k	Cvx	Fi (kN)
30	115,3	15098,64	200722620,5	0,018972	411,2161
29	112	15098,64	189397285	0,017901	388,0141
28	108,7	15098,64	178400797,7	0,016862	365,4859
27	105,4	15098,64	167733158,7	0,015854	343,6313
26	102,1	15098,64	157394367,9	0,014876	322,4505
25	98,8	15098,64	147384425,5	0,01393	301,9433
24	95,5	15098,64	137703331,3	0,013015	282,1099
23	92,2	15098,64	128351085,5	0,012131	262,9501
22	88,9	15098,64	119327687,9	0,011278	244,4641
21	85,6	15098,64	110633138,6	0,010457	226,6517
20	82,3	15098,64	102267437,5	0,009666	209,5131
19	79	15098,64	94230584,78	0,008906	193,0482
18	75,7	15098,64	86522580,32	0,008178	177,257
17	72,4	15098,64	79143424,14	0,00748	162,1394
16	69,1	15098,64	72093116,25	0,006814	147,6956
15	65,8	15098,64	65371656,64	0,006179	133,9255
14	62,5	17078,46	66712739,06	0,006305	136,673
13	57,7	17474,43	58177433,07	0,005499	119,1869
12	52,6	14834,66	41043940,58	0,003879	84,08584
11	49,5	14834,66	36348622,72	0,003436	74,46664
10	46,4	14702,67	31654261,48	0,002992	64,84941
9	43,4	14834,66	27941969,93	0,002641	57,24411
8	40,3	14834,66	24092821,01	0,002277	49,35844
7	37,2	14834,66	20528794,23	0,00194	42,0569
6	34,1	14834,66	17249889,6	0,00163	35,33948
5	31	17408,43	16729503,25	0,001581	34,27337
4	25,95	16682,5	11234034,51	0,001062	23,01493
3	21,45	16682,5	7675658,116	0,000725	15,72496

Lantai	Hi	wi	wxhx^k	Cvx	Fi (kN)
2	16,95	16682,5	4792922,807	0,000453	9,819158
1	12,45	17936,39	2780184,624	0,000263	5,695705
UG	7	14966,65	733365,7079	6,93E-05	1,502431
LG	3,8	15758,58	227553,8591	2,15E-05	0,466185
Total		833668	10580170422	1	21675,37

Untuk nilai beban gempa statik ekivalennya tiap lantai dapat dilihat dari tabel 5.9.

Tabel 5. 9 Nilai Beban Gempa Statik Ekivalen

Lantai	Statik X		Statik Y	
	100%Fx	30%Fy	100%Fy	30%Fx
UR	323,2767	96,98301	323,2767	96,98301217
LR	1249,263	374,7788	1249,263	374,7787806
51	1054,083	316,225	1054,083	316,224973
50	1016,733	305,02	1016,733	305,0200437
49	980,0574	294,0172	980,0574	294,0172258
48	944,0551	283,2165	944,0551	283,2165191
47	908,7264	272,6179	908,7264	272,6179238
46	874,0715	262,2214	874,0715	262,2214398
45	840,0902	252,0271	840,0902	252,0270671
44	803,6585	241,0975	803,6585	241,0975351
43	771,151	231,3453	771,151	231,3452971
42	739,3146	221,7944	739,3146	221,7943877
41	708,1494	212,4448	708,1494	212,4448069
40	680,2896	204,0869	680,2896	204,0868736
39	650,3506	195,1052	650,3506	195,1051689
38	621,0853	186,3256	621,0853	186,3255755

	Statik X		Statik Y	
Lantai	100%Fx	30%Fy	100%Fy	30%Fx
37	592,4936	177,7481	592,4936	177,7480934
36	564,5757	169,3727	564,5757	169,3727227
35	537,3315	161,1995	537,3315	161,1994632
34	510,7611	153,2283	510,7611	153,2283151
33	484,8643	145,4593	484,8643	145,4592783
32	459,6412	137,8924	459,6412	137,8923529
31	435,0918	130,5275	435,0918	130,5275387
30	411,2161	123,3648	411,2161	123,3648359
29	388,0141	116,4042	388,0141	116,4042444
28	365,4859	109,6458	365,4859	109,6457642
27	343,6313	103,0894	343,6313	103,0893954
26	322,4505	96,73514	322,4505	96,73513788
25	301,9433	90,58299	301,9433	90,58299168
24	282,1099	84,63296	282,1099	84,6329568
23	262,9501	78,88503	262,9501	78,88503325
22	244,4641	73,33922	244,4641	73,33922102
21	226,6517	67,99552	226,6517	67,99552012
20	209,5131	62,85393	209,5131	62,85393054
19	193,0482	57,91445	193,0482	57,91445228
18	177,257	53,17709	177,257	53,17708535
17	162,1394	48,64183	162,1394	48,64182974
16	147,6956	44,30869	147,6956	44,30868545
15	133,9255	40,17765	133,9255	40,17765249
14	136,673	41,00189	136,673	41,00188651
13	119,1869	35,75606	119,1869	35,75605711
12	84,08584	25,22575	84,08584	25,22575174
11	74,46664	22,33999	74,46664	22,3399927

	Statik X		Statik Y	
Lantai	100%Fx	30%Fy	100%Fy	30%Fx
10	64,84941	19,45482	64,84941	19,4548216
9	57,24411	17,17323	57,24411	17,17323402
8	49,35844	14,80753	49,35844	14,80753341
7	42,0569	12,61707	42,0569	12,61706989
6	35,33948	10,60184	35,33948	10,60184345
5	34,27337	10,28201	34,27337	10,28201215
4	23,01493	6,904478	23,01493	6,904477535
3	15,72496	4,717487	15,72496	4,717486755
2	9,819158	2,945747	9,819158	2,94574739
1	5,695705	1,708711	5,695705	1,70871135
UG	1,502431	0,450729	1,502431	0,45072917
LG	0,466185	0,139855	0,466185	0,13985541
	21675,37	6502,61	21675,37	6502,610341

5.2.4 Kombinasi Pembebatan

Kombinasi pembebatan yang ditetapkan pada bangunan ini dibuat berdasarkan kombinasi dasar pada SNI 1726:2012 Pasal 4.2.2 sebagai berikut:

1. 1,4D
2. 1.2D + 1.6L + 0.5(L_r atau R)
3. 1.2D + 1.6(L_r atau R) + 1 (L atau 0.5W)
4. 1.2D + 1W + L + 0.5 (L_R atau R)
5. 1.2D + 1E + L
6. 0.9D + 1E

Keterangan :

D : Beban Mati (tambahan dan sendiri)

L : Beban Hidup

L_r atau R : Beban Hujan

E : Beban Gempa

W : Beban Angin

Berdasarkan SNI 1726:2012 Pasal 7.4.2 pengaruh beban gempa E harus ditentukan sesuai dengan berikut :

- Untuk penggunaan dalam kombinasi beban 5

$$E = E_h + E_v$$

$$E_h = \rho Q_E \text{ dan } E_v = 0.2 S_{DS} D$$

$$\text{Sehingga, } E = \rho Q_E + 0.2 S_{DS} D$$

- Untuk penggunaan dalam kombinasi beban 6

$$E = E_h - E_v$$

$$E = \rho Q_E - 0.2 S_{DS} D$$

Keterangan :

E_h : Pengaruh beban gempa horizontal

E_v : Pengaruh beban gempa vertical

ρ : Faktor redundansi

Q_E : Pengaruh gaya gempa horizontal dari V atau F_p

S_{DS} : Parameter percepatan spektrum respons desain

D : Pengaruh beban mati

Berdasarkan Pasal 7.3.4.2 pada perhitungan pengaruh beban gempa horizontal digunakan faktor redundansi, ρ , sebesar 1.3 (Kategori desain seismik D), dan S_{DS} yang didapat sebesar 0.6067 sehingga :

- Pengaruh beban gempa untuk penggunaan dalam kombinasi 5

$$E = 1.3 Q_E + 0.2 \times 0.6067 D = 1.3 Q_E + 0.1213 D$$
- Pengaruh beban gempa untuk penggunaan dalam kombinasi 6

$E = 1.3 Q_E - 0.2 \times 0.6067 D = 1.3 Q_E - 0.1213D$
 Berdasarkan ketentuan ini kombinasi pembebanan yang digunakan adalah :

1. 1.4D
2. 1.2D + 1.6L
3. 1.2D+1.3THx+0.1213D+L
4. 1.2D-1.3THx+0.1213D+L
5. 1.2D+1.3THy+0.1213D+L
6. 1.2D-1.3THy+0.1213D+L
7. 0.9D+1.3THx-0.1213D
8. 0.9D-1.3THx-0.1213D
9. 0.9D+1.3THy-0.1213D
10. 0.9D-1.3THy-0.1213D

Keterangan :

- D = Beban mati
- L = Beban hidup
- Th x = Time history 100% arah x, 30% arah y
- Th y = Time history 100% y , 30% arah x

5.3 Kontrol Hasil Analisa Struktur

Berdasarkan SNI 1726:2012, hasil analisis struktur harus dikontrol melalui suatu batasan tertentu. Hal tersebut dilakukan untuk meninjau kelayakan struktur dalam memikul beban – beban yang bekerja. Kontrol – kontrol tersebut antara lain :

5.3.1 Kontrol Akhir Base Reaction

Berdasarkan SNI 1726:2012 Pasall 7.9.4, nilai akhir V_{dinamik} harus lebih besar sama dengan 85% V_{statik} . Maka persyaratan tersebut dapat dinyatakan $V_{\text{dinamik}} \geq 0.85 V_{\text{statik}}$.

Tabel 5. 10 Nilai Akhir Base Reaction

Kontrol base reaction		
Load case	Fx (kN)	Fy(kN)
Thmax	14663,25	46851,95
Thmin	13699,31	14337,66
Statik x	20174,77	6052,43
Statik y	6052,43	20174,77

Maka didapatkan kontrol akhir base reaction terhadap $0.85V_{\text{statik}}$ seperti diperlihatkan pada Tabel 5.11.

Tabel 5. 11 Kontrol Akhir Base Reaction

	Fx	Fy	
V dinamik	14663,25		NOT OK
0.85 Vstatik	17148,55		
V dinamik		46851,95	OK
0.85 Vstatik		17148,55	

Sebagaimana yang diperlihatkan pada Tabel 5.11 karena kontrol akhir tidak memenuhi persyaratan $V_{\text{dinamik}} \geq 0.85V_{\text{statik}}$. Maka spektra respon desain pada analisis struktur harus dikalikan faktor skala yang ditentukan dengan $0.85 V_{\text{statik}} / V_{\text{dinamik}}$ pada masing – masing arah, sehingga persyaratan $V_{\text{dinamik}} \geq 0.85 V_{\text{statik}}$ terpenuhi. Besarnya faktor skala tersebut diperlihatkan pada Tabel 5.12.

Tabel 5. 12 Faktor Skala Gaya Gempa

	Fx	Fy		Faktor skala
V dinamik	14663,25		NOT OK	1,393087334
0.85 Vstatik	17148,55			
V dinamik		46851,95	OK	-
0.85 Vstatik		17148,55		

Setelah diperoleh faktor skala masing – masing arah pembebanan, selanjutnya dilakukan analisis ulang dengan mengalikan faktor skala yang diperoleh diatas pada scale factor respons spectra. Kemudian diperoleh hasil yang diperlihatkan pada Tabel 5.13.

Tabel 5. 13 Kontrol Base Reaction

loadcase	fx	
Thmax	20427,18	46851,95

Berdasarkan Tabel 5.13 diatas setelah dilakukan analisis ulang maka gempa dinamik telah memenuhi persyaratan pada SNI 1726:2012 Pasal 7.9.4

5.3.2 Jumlah Respon Ragam

Berdasarkan SNI 1726:2012 Pasal 7.9.1 bahwa analisis harus menyertakan jumlah ragam yang cukup untuk mendapatkan partisipasi massa ragam terkombinasi paling sedikit 90% dari massa actual dalam masing – masing arah horizontal orthogonal dari respon yang ditinjau oleh model. Berdasarkan uraian tersebut didapatkan hasil jumlah respon yang diperlihatkan pada Tabel 5.5 dibawah ini :

Tabel 5. 14 Jumlah Respon Ragam

Mode	Sum UX	Sum UY
1	0,4892	0,7057
2	0,5195	0,7123
3	0,7402	0,7224
4	0,7451	0,849

5	0,8451	0,8569
6	0,8725	0,8591
7	0,8727	0,8976
8	0,9142	0,8986
9	0,9154	0,9076
10	0,9161	0,9231
11	0,935	0,9241
12	0,9351	0,932

Berdasarkan Tabel 5.14 diatas menunjukan bahwa pada mode shape 9 , syarat partisipasi massa telah terpenuhi.

5.3.3 Kontrol Sistem Ganda

Berdasarkan SNI 1726:2012 Pasal 7.2.5.1, untuk sistem ganda, rangka pemikul momen harus didesain secara tersendiri mampu menahan sedikitnya 25% beban lateral.

Kemampuan dari dinding geser dan rangka pemikul momen dalam menyerap beban lateral akibat gempa dapat dilihat pada tabel 5.15.

Tabel 5. 15 Kontrol Sistem Ganda

Portal		Shear Wall	
Fx	Fy	Fx	Fy
43,1662	180,9254	556,7404	48,6331
45,8976	146,4885	763,7361	1305,651
100,9387	182,8351	880,1103	42,6294
83,6241	222,4057	522,7156	1413,112
52,6309	131,0857	572,6328	1684,219

Portal		Shear Wall	
Fx	Fy	Fx	Fy
262,0651	186,0491	414,0177	1373,336
120,1169	294,4267	810,7785	35,3787
351,5556	238,297	755,0754	35,4642
26,9164	393,9828	529,315	2021,223
120,7522	210,3973	14,3006	1768,548
75,0019	331,1263	1042,2	54,2087
166,4855	184,33	24,2313	1628,957
138,5076	295,1992	644,7867	1555,969
72,3	303,6916	546,3016	49,2542
54,4067	222,5023	690,5204	1029,866
102,5047	260,8995	229,7631	68,0509
387,7209	221,7059	570,7774	893,8601
48,1106	201,7295	11,833	927,1726
65,5226	312,0029	32,8531	272,8042
52,116	243,2356	551,305	669,2393
58,327	142,2108	65,3894	257,6492
71,3593	174,1274	1231,59	737,0743
61,3668	206,7619	10,4352	878,7089
150,4223	206,823	11471,41	18751,01
60,4407	210,9387		
99,8267	255,3675		
45,9901	162,6243		
58,4257	358,2383		
54,2741	344,9633		
79,701	103,4017		
80,6936	115,9429		
72,2339	97,9679		

Portal		Shear Wall	
Fx	Fy	Fx	Fy
43,4382	340,0492		
55,2222	292,7785		
35,1164	175,1469		
92,5098	213,501		
8,7517	28,2716		
3,0292	4,343		
78,395	12,1375		
45,2213	10,707		
59,865	11,7419		
85,344	20,2189		
50,681	20,1155		
3820,975	8271,695		
Kontrol			
Portal	Shearwall		
24,98613	75,01387		
30,61017	69,38983		

Berdasarkan Tabel 5.6 terlihat bahwa presentase dari SRPM untuk beban lateral nilainya lebih besar dari 25%, sehingga konfigurasi struktur gedung telah memenuhi syarat sebagai struktur sistem ganda.

5.3.4 Kontrol Simpangan (Drift)

Simpangan antar tingkat merupakan selisih nilai perpindahan elastis yang diperbesar pada suatu tingkat dengan nilai perpindahan elastis yang diperbesar pada tingkat dibawahnya. Nilai drift dari tiap

lantainya didapatkan melalui output dari program bantu yang ditunjukan pada tabel 5.16.

Syarat untuk simpangan antar lantai ijin pada SNI 1726:2012 Pasal 7.12.1, $\Delta s = 0.02 h_{sx}$, dengan h_{sx} adalah tinggi antar tingkat.

Tabel 5. 16 Kontrol Simpangan Arah X dan Y

Kontrol Simpangan		X		Y		Tinggi	Syarat	X	Y
Lantai	H	Drift(m)	Drift(mm)	Drift(m)	Drift(mm)			Ket	Ket
UR	196,1	0,002958	2,958	0,003081	3,081	5,4	108	OK	OK
LR	190,7	0,002995	2,995	0,002995	2,995	6,1	122	OK	OK
51	184,6	0,003018	3,018	0,003226	3,226	3,3	66	OK	OK
50	181,3	0,003045	3,045	0,003201	3,201	3,3	66	OK	OK
49	178	0,003078	3,078	0,003182	3,182	3,3	66	OK	OK
48	174,7	0,003112	3,112	0,00317	3,17	3,3	66	OK	OK
47	171,4	0,003145	3,145	0,003164	3,164	3,3	66	OK	OK
46	168,1	0,003177	3,177	0,003168	3,168	3,3	66	OK	OK
45	164,8	0,003203	3,203	0,003181	3,181	3,3	66	OK	OK
44	161,5	0,003223	3,223	0,003365	3,365	3,3	66	OK	OK
43	158,2	0,003236	3,236	0,003865	3,865	3,3	66	OK	OK
42	154,9	0,003242	3,242	0,003643	3,643	3,3	66	OK	OK
41	151,6	0,003242	3,242	0,0034	3,4	3,3	66	OK	OK
40	148,3	0,003233	3,233	0,003483	3,483	3,3	66	OK	OK
39	145	0,003217	3,217	0,003642	3,642	3,3	66	OK	OK
38	141,7	0,003193	3,193	0,003811	3,811	3,3	66	OK	OK
37	138,4	0,003163	3,163	0,003981	3,981	3,3	66	OK	OK
36	135,1	0,003158	3,158	0,004156	4,156	3,3	66	OK	OK
35	131,8	0,003159	3,159	0,004336	4,336	3,3	66	OK	OK
34	128,5	0,003197	3,197	0,004521	4,521	3,3	66	OK	OK
33	125,2	0,00323	3,23	0,004709	4,709	3,3	66	OK	OK

Kontrol Simpangan		X		Y		Tinggi	Syarat	X	Y
Lantai	H	Drift(m)	Drift(mm)	Drift(m)	Drift(mm)			Ket	Ket
32	121,9	0,00328	3,28	0,004902	4,902	3,3	66	OK	OK
31	118,6	0,00333	3,33	0,005097	5,097	3,3	66	OK	OK
30	115,3	0,003374	3,374	0,005296	5,296	3,3	66	OK	OK
29	112	0,003409	3,409	0,005497	5,497	3,3	66	OK	OK
28	108,7	0,003435	3,435	0,005701	5,701	3,3	66	OK	OK
27	105,4	0,003452	3,452	0,005907	5,907	3,3	66	OK	OK
26	102,1	0,003469	3,469	0,006114	6,114	3,3	66	OK	OK
25	98,8	0,003487	3,487	0,006324	6,324	3,3	66	OK	OK
24	95,5	0,003495	3,495	0,006536	6,536	3,3	66	OK	OK
23	92,2	0,003495	3,495	0,006748	6,748	3,3	66	OK	OK
22	88,9	0,003485	3,485	0,006961	6,961	3,3	66	OK	OK
21	85,6	0,003466	3,466	0,007174	7,174	3,3	66	OK	OK
20	82,3	0,003437	3,437	0,007385	7,385	3,3	66	OK	OK
19	79	0,003418	3,418	0,007174	7,174	3,3	66	OK	OK
18	75,7	0,0034	3,4	0,007798	7,798	3,3	66	OK	OK
17	72,4	0,003374	3,374	0,007985	7,985	3,3	66	OK	OK
16	69,1	0,003341	3,341	0,008107	8,107	3,3	66	OK	OK
15	65,8	0,003322	3,322	0,008189	8,189	3,3	66	OK	OK
14	62,5	0,003317	3,317	0,009227	9,227	4,8	96	OK	OK
13	57,7	0,003273	3,273	0,009568	9,568	5,1	102	OK	OK
12	52,6	0,0032	3,2	0,008448	8,448	3,1	62	OK	OK
11	49,5	0,003157	3,157	0,008575	8,575	3,1	62	OK	OK
10	46,4	0,003123	3,123	0,00856	8,56	3	60	OK	OK
9	43,4	0,00309	3,09	0,008627	8,627	3,1	62	OK	OK
8	40,3	0,003045	3,045	0,008539	8,539	3,1	62	OK	OK
7	37,2	0,002991	2,991	0,008336	8,336	3,1	62	OK	OK
6	34,1	0,002922	2,922	0,008078	8,078	3,1	62	OK	OK

Kontrol Simpangan		X		Y		Tinggi	Syarat	X	Y
Lantai	H	Drift(m)	Drift(mm)	Drift(m)	Drift(mm)			Ket	Ket
5	31	0,002827	2,827	0,009	9	5,05	101	OK	OK
4	25,95	0,002609	2,609	0,008074	8,074	4,5	90	OK	OK
3	21,45	0,002336	2,336	0,007319	7,319	4,5	90	OK	OK
2	16,95	0,00198	1,98	0,006357	6,357	4,5	90	OK	OK
1	12,45	0,001526	1,526	0,005386	5,386	5,45	109	OK	OK
UG	7	0,000975	0,975	0,003186	3,186	3,2	64	OK	OK
LG	3,8	0,000507	0,507	0,00177	1,77	3,8	76	OK	OK

5.4 Perencanaan Balok

Balok merupakan salah satu komponen rangka pada sistem rangka pemikul momen dimana selain bertugas menerima beban gravitasi, balok juga menerima beban akibat gaya gempa yang terjadi.

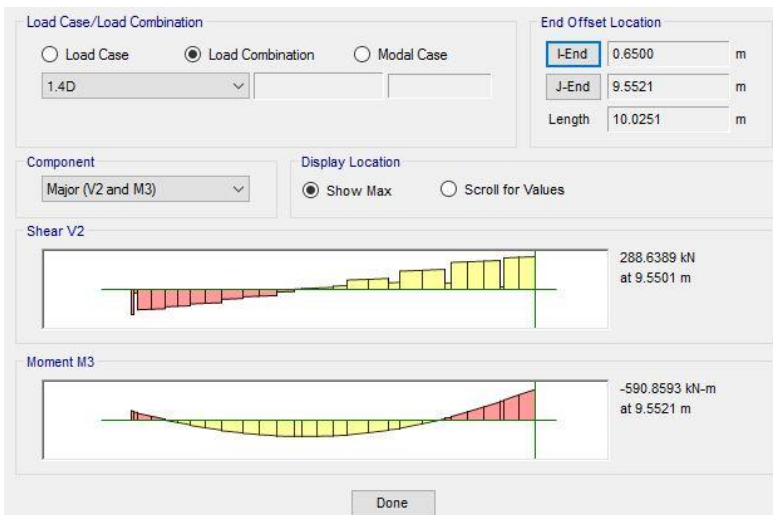
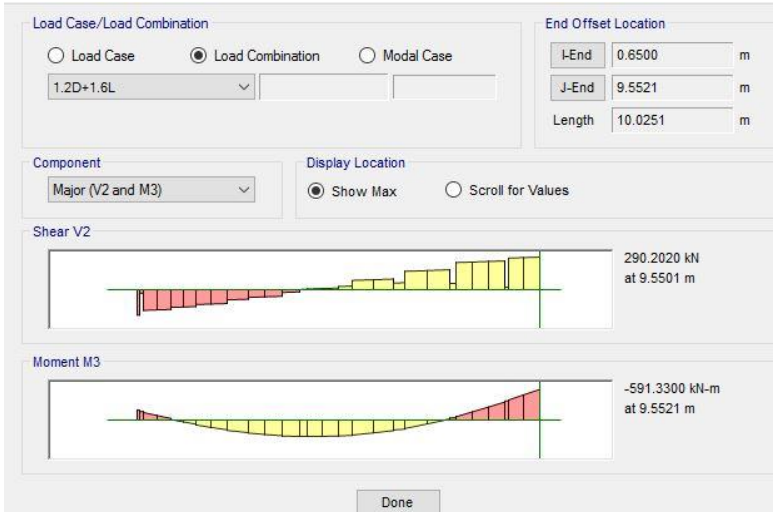
Dalam tugas akhir ini balok diambil beberapa contoh dikarenakan banyaknya variasi tipe balok yang ada dalam tugas akhir ini juga untuk mempercepat penggerjaan tugas akhir ini.

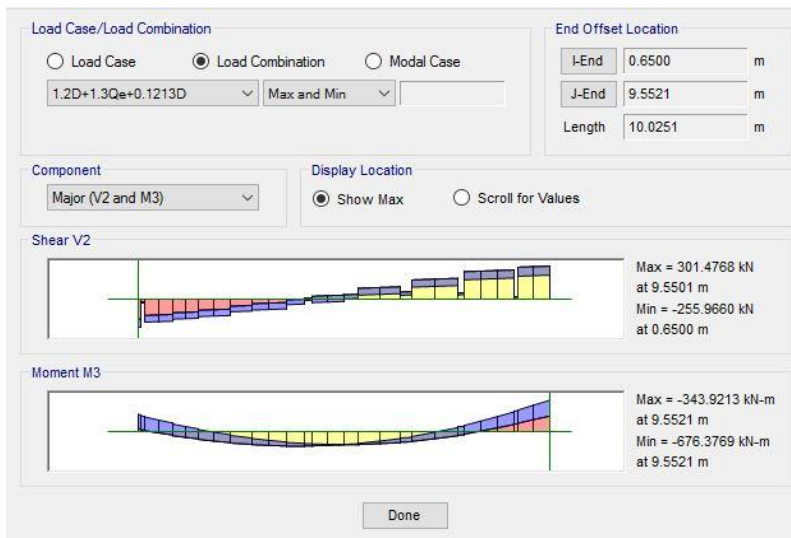
Perencanaan penulangan balok mengacu pada SNI 2847:2013 pasal 21 mengenai ketentuan khusus untuk perencanaan gempa.

5.4.1 Penulangan Lentur Balok B5A7

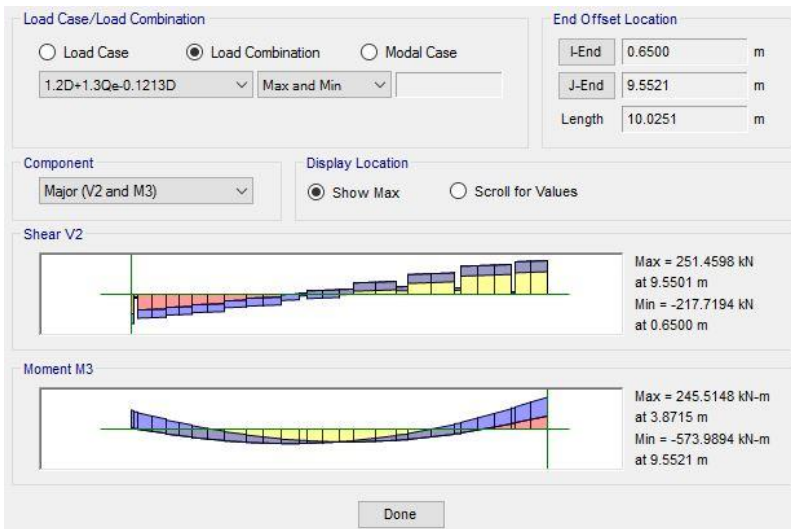
Dari hasil analisa strukur program ETABS , output dari momen envelope yang didapatkan ditunjukan pada gambar 5.3.

Berikut adalah momen tumpuan pada muka kolom dan momen ditengah bentang :

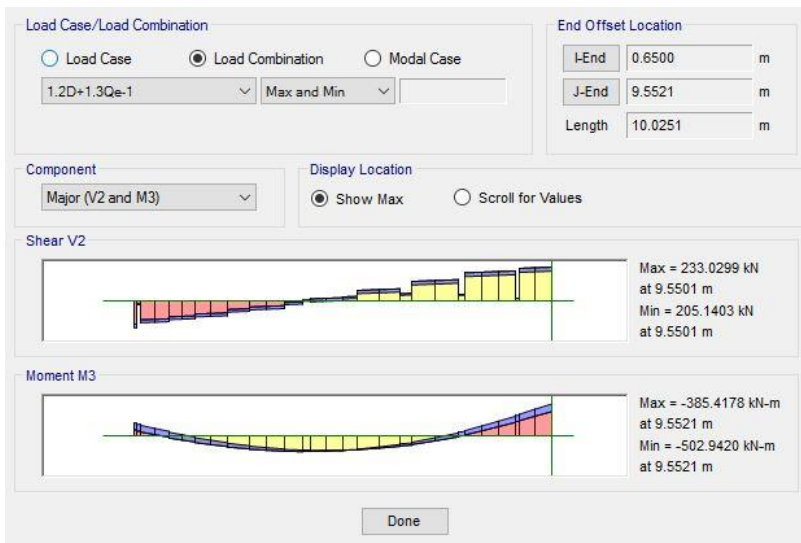
**Gambar 5. 3 Momen 1.4D balok B5A7****Gambar 5. 4 Momen 1.2D+1.6L balok B5A7**



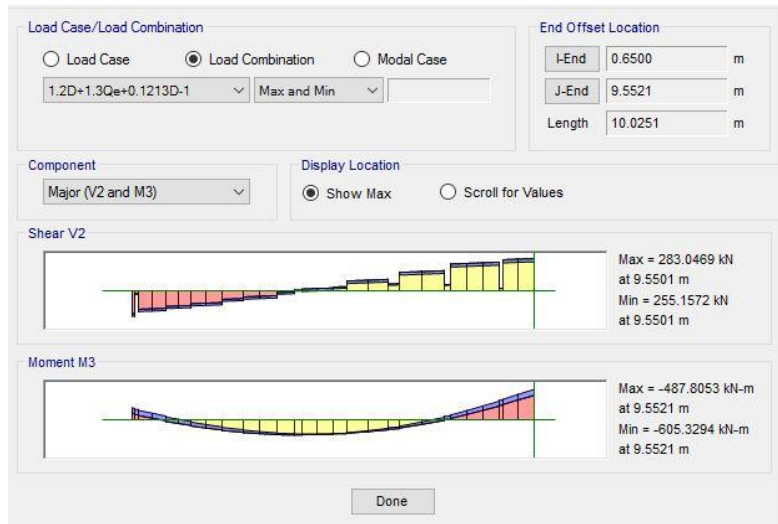
Gambar 5. 5 Momen 1.2D+1.3Qx+0.1213D balok B5A7



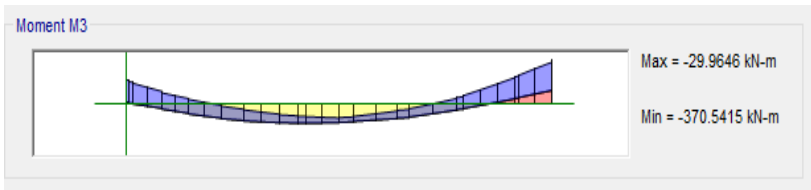
Gambar 5. 6 Momen 1.2D+1.3Qx-0.1213D balok B5A7



Gambar 5. 7 Momen 1.2D+1.3Qy+0.1213D balok B5A7



Gambar 5. 8 Momen 1.2D+1.3Qy-0.1213D balok B5A7



Gambar 5. 9 Momen Envelope balok B5A7

- Tumpuan kiri negatif : 370.5415 kN-m
- Tumpuan kiri positif : -29.9646 kN-m
- Tumpuan kanan negatif : 672.324 kN-m
- Tumpuan kanan positif : 295.6099 kN-m
- Lapangan : 289.4591 kN-m

Karena struktur gedung ini menggunakan sistem ganda yang merupakan perpaduan antar SRPMK dan dinding struktural khusus, maka sesuai dengan SNI 2847:2013 Pasal 21.5.1 dimana persyaratan yang perlu dipenuhi untuk komponen struktur pada sistem rangka yang memikul gaya akibat gempa dan direncanakan memikul lentur adalah :

- Gaya aksial tekan terfaktor pada komponen struktur tidak boleh melebihi $0.1 A_g f'c \rightarrow OK$
- Bentang bersih minimum $\geq 4d$
- Perbandingan lebar/tinggi balok >0.3 dan $b > 250\text{mm} = 550/700 = 0.78 > 0.3 \rightarrow OK$
- Lebar balok tidak boleh melebihi 1.75 lebar kolom $400\text{mm} < 1.75 \times 600 = 1050 \rightarrow OK$

Data Perencanaan :

- Lebar (b) = 550 mm
- Tinggi (h) = 700 mm
- Decking = 40 mm
- Ø tul. Utama = 25 mm
- Ø tul. Sengkang = 13 mm
- Mutu besi(fy) = 420 Mpa

- Mutu beton($f'c$) = 40 Mpa
- $d = h - \text{decking} - \text{sengkang} - \frac{1}{2} \phi_{lentur}$
 $= 700 - 40 - 13 - \frac{1}{2} \times 25 = 634.5 \text{ mm}$
- $d' = \text{decking} + \text{sengkang} + \frac{1}{2} \phi_{lentur}$
 $= 40 + 13 + \frac{1}{2} \times 25 = 65.6 \text{ mm}$

A. Penulangan Tumpuan Negatif

Asumsi awal penampang berada dalam kondisi tension controlled ($\phi=0.9$)

- $M_u = 672324000 \text{ Nmm}$
- $M_n = \frac{Mu}{\phi} = \frac{672324000}{0.9} = 747026666.7 \text{ Nmm}$
- Ambil harga $X \leq 0.75X_b$, dimana :
 $X_b = \frac{600}{600+fy} \times d = \frac{600}{600+420} \times 634.5 = 373.24 \text{ mm}$
 $X \leq 0.75 \times 373.24 = 279.93 \text{ mm} \rightarrow \text{direncanakan } X = 250 \text{ mm}$
- $A_{sc} = \frac{0.85 \beta_1 f' c \cdot b \cdot x}{f_y} = \frac{0.85 \cdot 0.8 \cdot 40 \cdot 550 \cdot 250}{420} = 8904.76 \text{ mm}^2$
- $M_{nc} = A_{sc} \times f_y \times \left(d - \frac{\beta_1 x}{2} \right)$
 $= 8904.76 \times 420 \times \left(634.5 - \frac{0.8 \times 250}{2} \right) = 1954260000 \text{ Nmm}$
- $M_n - M_{nc} = 747026666.7 - 1954260000 = -1207233333 \text{ Nmm}$
 $M_n - M_{nc} < 0 \rightarrow \text{tulangan tunggal}$
- $\rho_{min} = \frac{0.25 \sqrt{f'c}}{f_y} \leq \frac{1.4}{f_y}$
 $= \frac{0.25 \sqrt{40}}{420} \leq \frac{1.4}{420}$
 $= 0.003764 \geq 0.003333$
- $\rho_b = \frac{0.85 x \beta_1 x f' c}{420} \times \frac{600}{600+fy}$
 $= \frac{0.85 x 0.8 x 40}{420} \times \frac{600}{600+420} = 0.038$
- $\rho_{max} = 0.75$. $\rho_b = 0.75 \times 0.038 = 0.02857$

- $R_n = \frac{Mn}{b.d^2} = \frac{747026666.7}{550.634.5^2} = 3.373$
- $m = \frac{fy}{0.85 f'c} = \frac{420}{0.85 40} = 12.353$
- $\rho_{\text{perlu}} = \frac{1}{m} \left(1 - \sqrt{1 - \frac{2 m R_n}{f y}} \right)$
 $= \frac{1}{12.353} \left(1 - \sqrt{1 - \frac{2 \cdot 12.353 \cdot 3.373}{420}} \right) = 0.00847$
- $\rho_{\text{max}} > \rho_{\text{perlu}} > \rho_{\text{min}}$
 $0.02857 > 0.00847 > 0.003333 \rightarrow \text{pakai } \rho_{\text{perlu}} = 0.00847$
- Tulangan tumpuan atas :
 $A_s = \rho_{\text{perlu}} \cdot b \cdot d = 0.00847 \cdot 550 \cdot 634.5 = 2958.07 \text{ mm}^2$
 $\rightarrow \text{Pasang 7 D25 } (A_s = 3437.5 \text{ mm}^2)$
- Tulangan tumpuan bawah :
 $\rightarrow \text{Pasang 4 D25 } (A_s = 1965.2857 \text{ mm}^2)$

→ Kontrol Jarak tulangan

Menurut SNI 2847:2013 pasal 7.6.1, jarak minimum yang diisyaratkan antar dua batang tulangan adalah 25 mm.

$$S = \frac{bw - 2\text{decking} - 2\phi sengkang - n\phi tul.utama}{n-1} \geq 25mm$$

$$S = \frac{550 - 2.40 - 2.13 - 7.25}{7-1} = 44.833 \text{ mm} \geq 25 \text{ mm}$$

→ Tulangan dapat dipasang 1 baris

→ Kontrol Kekuatan

$$a = \frac{As.fy}{0.85xf'c \times b} = \frac{3437.5 \cdot 420}{0.85 \times 40 \times 550} = 77.205 \text{ mm}$$

$$M_{\text{nact}} = A_s \cdot f_y \cdot \left(d - \frac{a}{2} \right) = 3437.5 \cdot 420 \cdot (634.5 - \frac{77.205}{2})$$

$$= 860326378.7 \text{ Nmm} > M_n = 672324000 \text{ Nmm} \rightarrow \text{OK}$$

B. Penulangan Tumpuan Positif

- $M_u = 295609900 \text{ Nmm}$
- $M_n = \frac{Mu}{\emptyset} = \frac{295609900}{0.9} = 328455444 \text{ Nmm}$
- Ambil harga $X \leq 0.75X_b$, dimana :

$$X_b = \frac{600}{600+fy} xd = \frac{600}{600+420} x 634.5 = 373.24 \text{ mm}$$

$$X \leq 0.75 \cdot 373.24 = 279.93 \text{ mm} \rightarrow \text{direncanakan } X = 250 \text{ mm}$$
- $A_{sc} = \frac{0.85 \cdot \beta_1 \cdot f' c \cdot b \cdot x}{f_y} = \frac{0.85 \cdot 0.8 \cdot 40 \cdot 550 \cdot 250}{420} = 8904.76 \text{ mm}^2$
- $M_{nc} = A_{sc} \times f_y \times \left(d - \frac{\beta_1 \cdot x}{2}\right)$

$$= 8904.76 \times 420 \times \left(634.5 - \frac{0.8 \times 250}{2}\right) = 1954260000 \text{ Nmm}$$
- $M_n - M_{nc} = 328455444 - 1954260000 = -1625804556 \text{ Nmm}$
 $M_n - M_{nc} < 0 \rightarrow \text{tulangan tunggal}$
- $\rho_{min} = \frac{0.25 \sqrt{f'c}}{f_y} \leq \frac{1.4}{f_y}$

$$= \frac{0.25 \sqrt{40}}{420} \leq \frac{1.4}{420}$$

$$= 0.003764 \geq 0.003333$$
- $\rho_b = \frac{0.85x\beta_1xf'c}{420} \times \frac{600}{600+fy}$

$$= \frac{0.85x0.8x40}{420} \times \frac{600}{600+420} = 0.038$$
- $\rho_{max} = 0.75 \cdot \rho_b = 0.75 \times 0.038 = 0.02857$
- $R_n = \frac{Mn}{b.d^2} = \frac{328455444}{550.634.5^2} = 1.483$
- $m = \frac{f_y}{0.85 f'c} = \frac{420}{0.85 40} = 12.353$
- $\rho_{perlu} = \frac{1}{m} \left(1 - \sqrt{1 - \frac{2 m Rn}{f_y}}\right)$

$$= \frac{1}{12.353} \left(1 - \sqrt{1 - \frac{2 \cdot 12.353 \cdot 1.483}{420}}\right) = 0.00361$$
- $\rho_{max} > \rho_{perlu} > \rho_{min}$

$0.2857 > 0.00361 > 0.003333 \rightarrow$ pakai $\rho_{perlu} = 0.00361$

- Tulangan tumpuan bawah :
 $A_s = \rho_{perlu} \cdot b \cdot d = 0.00361 \cdot 550 \cdot 634.5 = 1260.65 \text{ mm}^2$
 \rightarrow Pasang 4 D25 ($A_s = 1964.2857 \text{ mm}^2$)
- Tulangan tumpuan atas :
 \rightarrow Pasang 3 D25 ($A_s = 1473.214 \text{ mm}^2$)

\rightarrow Kontrol Jarak tulangan

Menurut SNI 2847:2013 pasal 7.6.1, jarak minimum yang diisyaratkan antar dua batang tulangan adalah 25 mm.

$$S = \frac{bw - 2\text{decking} - 2\phi sengkang - n\phi \text{tul.utama}}{n-1} \geq 25\text{mm}$$

$$S = \frac{550 - 2.40 - 2.13 - 4.25}{4-1} = 114.667\text{mm} \geq 25\text{mm}$$

\rightarrow Tulangan dapat dipasang 1 baris

\rightarrow Kontrol Kekuatan

$$a = \frac{As \cdot fy}{0.85x f' c \times b} = \frac{1964.285.420}{0.85x 40 \times 550} = 44.117 \text{ mm}$$

$$M_{nact} = A_s \cdot fy \cdot \left(d - \frac{a}{2}\right) = 1964.285.420 \cdot (634.5 - \frac{44.117}{2})$$

$$= 505263970.6 \text{ Nmm} > M_n = 328455444.4 \text{ Nmm} \rightarrow \text{OK}$$

Rekapitulasi tulangan lentur tumpuan

- Akibat momen negatif
Tulangan atas : 7 D25 ($A_s = 3437.5 \text{ mm}^2$)
Tulangan bawah : 4 D25 ($A_s = 1964.285714 \text{ mm}^2$)
- Akibat momen positif
Tulangan atas : 3 D25 ($A_s = 1473.21429 \text{ mm}^2$)
Tulangan bawah : 4 D25 ($A_s = 1964.285714 \text{ mm}^2$)

- Jadi tulangan yang dipakai adalah yang terbesar dari kedua arah pembebahan gempa, yaitu :
 - Tulangan atas : 7 D25 ($A_s = 3437.5 \text{ mm}^2$)
 - Tulangan bawah : 4 D25 ($A_s = 1964.285714 \text{ mm}^2$)

Kontrol kekuatan dalam menahan momen negatif

- Momen ultimate, M_u = 672324000 Nmm
 - $M_n = \frac{Mu}{\phi} = \frac{672324000}{0.9}$ = 747026666.7Nmm
 - Decking, ts = 40 mm
 - Jarak ke as tul.Tarik, d' = 65.5 mm
 - Jarak ke as tul.Tekan, d'' = 65.5 mm
 - Tinggi efektif, d_{actual} = 634.5 mm
 - Tul. Tarik, 4 D25 $\rightarrow A_s$ = 1964.285mm²
 - Tul. Tekan, 7 D25 $\rightarrow A_s$ = 3437.5 mm²
 - $(0.85.f'c.b.\beta_1)X^2 + (A_s'.600 - A_s.fy)X - A_s'.d'' . 600 = 0$
 - $(0.85.f'c.b.\beta_1)$ a = 16830
 - $(A_s'.600 - A_s.fy)$ b = -444300
 - $A_s'.d'' . 600$ c = -135093750
 - $X_{1,2} = \frac{-b \pm \sqrt{b^2 - 4ac}}{2a}$ → X = 103.76 mm
- Mencari nilai fs' tulangan terpasang
- $fs' = \left(1 - \frac{d'}{x}\right) . 600 = \left(1 - \frac{65.5}{103.76}\right) . 600 = 221.241 \text{ MPa} < fy = 420 \text{ Mpa} \rightarrow \text{tul. Tidak leleh}$
 - $M_{n_{actual}} = 0.85 \times f'c \times b \times \beta_1 \times X \times \left(d - \frac{\beta_1 \cdot X}{2}\right) + A_s' \times fs' \times (d - d'') = 920478405.2 \text{ Nmm} > Mn = 672324000 \text{ Nmm} \rightarrow \text{OK}$
 - Cek kondisi penampang
 - $c = \frac{a}{\beta_1} = \frac{77.205}{0.8} = 96.507 \text{ mm}$
 - $0.375d_{act} = 0.375 \times 634.5 \text{ mm} = 237.9375 \text{ mm}$
 - $C < 0.375 d_{act} \rightarrow \text{penampang tension controlled (asumsi benar)}$

Kontrol kekuatan dalam menahan momen positif

- Momen ultimate, M_u = 295609900 Nmm
- $M_n = \frac{Mu}{\phi} = \frac{295609900}{0.9}$ = 328455444.4Nmm
- Decking, ts = 40 mm
- Jarak ke as tul.Tarik, d' = 65.5 mm
- Jarak ke as tul.Tekan, d'' = 64 mm
- Tinggi efektif, d_{actual} = 634.5 mm
- Tul. Tarik, 4 D25 → A_s = 1964.285mm²
- Tul. Tekan, 3 D25 → A_s = 1473.21 mm²
- $(0.85.f'c.b.\beta_1)X^2 + (As'.600 - A_s.fy)X - As'.d''.600 = 0$
- $(0.85.f'c.b.\beta_1)$ a = 14080
- $(As'.600 - A_s.fy)$ b = -444300
- $A_s'.d''.600$ c = -56571428.6
- $X_{1,2} = \frac{-b \pm \sqrt{b^2 - 4ac}}{2a}$ → X = 81.09 mm
Mencari nilai fs' tulangan terpasang
- $fs' = \left(1 - \frac{d'}{x}\right).600 = \left(1 - \frac{65.5}{81.09}\right).600 = 126.5 MPa < fy = 420 Mpa \rightarrow \text{tul. Tidak leleh}$
- $M_{n_{actual}} = 0.85xf'cxbx\beta_1x X x \left(d - \frac{\beta_1 X}{2}\right) + As'x fs'x(d - d'') = 730718747.8 Nmm > M_n = 672324000 Nmm \rightarrow \text{OK}$
Cek kondisi penampang
- $c = \frac{a}{\beta_1} = \frac{44.117}{0.8} = 55.14 mm$
- $0.375d_{act} = 0.375 \times 634.5 mm = 237.9375 mm$
 $c < 0.375 d_{act} \rightarrow \text{penampang tension controlled (asumsi benar)}$

Kontrol batas penulangan

Berdasarkan SNI 2847:2013 Pasal 21.5.2.1 jumlah tulangan tidak boleh kurang dari 1.4 bw . d/fy dan $\frac{0.25\sqrt{f'c}}{f_y} bw \cdot d$ serta rasio tulangan, ρ , tidak melebih 0.025.

- $1.4 \text{ bw} \frac{d}{f_y} = 1.4 \times 550 \times \frac{634.5}{420} = 1163.25 \text{ mm}^2 \rightarrow \text{OK}$
- $\frac{0.25\sqrt{f'y}}{f_y} \text{ bw} \cdot d = \frac{0.25\sqrt{40}}{420} 550.634.5 = 1313.757 \rightarrow \text{OK}$
- $\rho = \frac{As}{b \cdot d} = \frac{1473.214}{550.634.5} = 0.0042 < 0.025 \rightarrow \text{OK}$

Kontrol jarak tulangan

Berdasarkan SNI 2847:2013 Pasal 10.6.4 untuk membatasi retak akibat lentur pada balok, jarak tulangan yang berada paling dekat dengan permukaan tarik tidak boleh lebih dari : $380 \frac{280}{f_s} - 2.5c_c$ dan $300 \frac{280}{f_s}$, nilai f_s boleh diambil sebesar $\frac{2}{3} f_y$

- $c_c = \text{tebal selimut} + \text{Øsengkang} = 40+13=53 \text{ mm}$
- $f_s = \frac{2}{3} f_y = 280 \text{ Mpa}$
- $S = 380 \frac{280}{f_s} - 2.5c_c = 247.5 \text{ mm} > 65.5 \text{ mm} \rightarrow \text{OK}$
- $S = 300 \frac{280}{f_s} = 300 \text{ mm} > 65.5 \text{ mm} \rightarrow \text{OK}$

C. Penulangan Lapangan

Menurut SNI 2847:2013 Pasal 21.3.4.1 menyatakan bahwa baik nilai momen positif maupun negatif sepanjang balok tidak boleh kurang dari 25% nilai momen maks pada kedua tumpuan.

- $M_u = 289459100 \text{ Nmm} > \frac{1}{4} 672324000$
 $= 168081000 \text{ Nmm}$
- $M_n = \frac{Mu}{\phi} = \frac{289459100}{0.9} = 321621222.2 \text{ Nmm}$
- Ambil harga $X \leq 0.75X_b$, dimana :
 $X_b = \frac{600}{600+f_y} xd = \frac{600}{600+420} x 634.5 = 373.24 \text{ mm}$
 $X \leq 0.75 \cdot 373.24 = 279.93 \text{ mm} \rightarrow \text{direncanakan } X = 250 \text{ mm}$

- $A_{sc} = \frac{0.85 \cdot \beta_1 \cdot f'c \cdot b \cdot x}{f_y} = \frac{0.85 \cdot 0.8 \cdot 40 \cdot 550 \cdot 250}{420} = 8904.76 \text{ mm}^2$
- $M_{nc} = A_{sc} \times f_y \times \left(d - \frac{\beta_1 \cdot x}{2}\right)$
 $= 8904.76 \times 420 \times \left(634.5 - \frac{0.8 \times 250}{2}\right) = 1954260000 \text{ Nmm}$
- $M_n - M_{nc} = 321621222.2 - 1954260000 = -1632638778 \text{ Nmm}$
 $M_n - M_{nc} < 0 \rightarrow \text{tulangan tunggal}$
- $\rho_{min} = \frac{0.25 \sqrt{f'c}}{f_y} \leq \frac{1.4}{f_y}$
 $= \frac{0.25 \sqrt{40}}{420} \leq \frac{1.4}{420}$
 $= 0.003764 \geq 0.003333$
- $\rho_b = \frac{0.85x\beta_1xf'c}{420} \times \frac{600}{600+f_y}$
 $= \frac{0.85 \times 0.8 \times 40}{420} \times \frac{600}{600+420} = 0.038$
- $\rho_{max} = 0.75$. $\rho_b = 0.75 \times 0.038 = 0.02857$
- $R_n = \frac{Mn}{b \cdot d^2} = \frac{321621222.2}{550.634.5^2} = 1.4525$
- $m = \frac{f_y}{0.85 f'c} = \frac{420}{0.85 40} = 12.353$
- $\rho_{perlu} = \frac{1}{m} \left(1 - \sqrt{1 - \frac{2 m Rn}{f_y}}\right)$
 $= \frac{1}{12.353} \left(1 - \sqrt{1 - \frac{2 \cdot 12.353 \cdot 1.4525}{420}}\right) = 0.00353$
- $\rho_{max} > \rho_{perlu} > \rho_{min}$
 $0.2858 > 0.00353 > 0.003333 \rightarrow \text{pakai } \rho_{perlu} = 0.00353$
- Tulangan tumpuan bawah :
 $A_s = \rho_{perlu} \cdot b \cdot d = 0.00353 \cdot 550 \cdot 634.5 = 1233.82 \text{ mm}^2$
 $\rightarrow \text{Pasang 7 D25 (A}_s = 3437.5 \text{ mm}^2)$
- Tulangan tumpuan bawah :
 $\rightarrow \text{Pasang 4 D25 (A}_s = 1964.286 \text{ mm}^2)$

→ Kontrol Jarak tulangan

Menurut SNI 2847:2013 pasal 7.6.1, jarak minimum yang diisyaratkan antar dua batang tulangan adalah 25 mm.

$$S = \frac{bw - 2decking - 2\phi sengkang - n\phi tul.utama}{n-1} \geq 25mm$$

$$S = \frac{550 - 2.40 - 2.13 - 4.25}{4-1} = 114.667mm \geq 25mm$$

→ Tulangan dapat dipasang 1 baris

→ Kontrol Balok T

- $b_e = \frac{1}{4} L_B = \frac{1}{4} 7500 = 1875 \text{ mm}$

$$b_e = b_w + 8t = 550 + 8.120 = 1510 \text{ mm} \rightarrow \text{Menentukan}$$

$$b_e = 0.5 \cdot (L_b - b_w) = 0.5 \cdot (7500 - 550) = 3475 \text{ mm}$$

- $A_s = 3437.5 \text{ mm}^2$

$$a = \frac{As.fy}{0.85 f'c.be} = \frac{3437.5.420}{0.85.40.1510} = 28.12 \text{ mm}$$

- $x = \frac{a}{\beta} = \frac{28.12}{0.8} = 35.15 \text{ mm} \leq 120 \text{ mm}$

$x \leq t \rightarrow$ Termasuk balok T palsu sehingga perhitungan dilakukan dengan balok persegi

- $a = \frac{As.fy}{0.85 f'c.b} = \frac{3437.5.420}{0.85.40.550} = 77.205 \text{ mm}$

$$M_{nact} = A_s \cdot fy \cdot \left(d - \frac{a}{2}\right) = 3437.5 \cdot 420 \cdot \left(634.5 - \frac{77.205}{2}\right) \\ = 860326378.7 \text{ Nmm} > M_n = 747026666.7 \text{ Nmm} \rightarrow \text{OK}$$

- Cek kondisi penampang

$$c = \frac{a}{\beta} = \frac{77.205}{0.8} = 96.507 \text{ mm}$$

$$0.375d_{act} = 0.375 \times 634.5 \text{ mm} = 237.9375 \text{ mm}$$

$c < 0.375 d_{act} \rightarrow$ penampang tension controlled (asumsi benar)

→ Kontrol Rasio tulangan

- Kontrol sesuai SNI 2847:2013 Pasal 21.5.2.1

$$\rho_{\min} = \frac{bw \cdot d}{4 f_y} x \sqrt{f'c} = 1313.756 \text{ mm}^2$$

$$\rho_{\min} = \frac{1.4 \cdot bw \cdot d}{f_y} = 1163.25 \text{ mm}^2$$

Luas semua tulangan lebih dari $1313.756 \text{ mm}^2 \rightarrow \text{OK}$

5.4.2 Penulangan Torsi

Perhitungan tulangan torsi ini menggunakan balok yang sama yaitu balok G5A7 :

$$T_u = 25999400 \text{ Nmm}$$

$$V_u = 301164 \text{ N}$$

→ Perhitungan luas dan keliling penampang

- $A_{cp} = \text{Luas bruto penampang beton}$
 $= b \cdot h$
 $= 550 \cdot 700 = 385000 \text{ mm}^2$
- $P_{cp} = \text{Kelulung luar penampang beton}$
 $= 2.(b+h)$
 $= 2.(550+700) = 2500 \text{ mm}$
- $B_h = (b_{balok} - 2.\text{decking} - \varnothing_{geser})$
 $= 550 - 2.40 - 13 = 457 \text{ mm}$
- $h_h = (h_{balok} - 2.\text{decking} - \varnothing_{geser})$
 $= 700 - 2.40 - 13 = 607 \text{ mm}$
- $A_{oh} = \text{Luas penampang dibatasi tulangan sengkang}$
 $= b_h \times h_h$
 $= 457 \cdot 607 = 277399 \text{ mm}^2$
- $P_{oh} = \text{Keliling penampang dibatasi tulangan sengkang}$
 $= 2.(b_h + h_h)$
 $= 2128 \text{ mm}$

→ Keperluan Torsi

Berdasarkan SNI 2847:2013 Pasal 11.5.1 pengaruh torsi boleh diabaikan bila momen torsi terfaktor Tu kurang dari :

- $\varnothing \times 0.083 \times \lambda \times \sqrt{f'c} \times \frac{Acp^2}{Pcp}$
- $0.75 \times 0.083 \times 1 \times \sqrt{40} \times \frac{385000^2}{2500} = 23342685 \text{ Nmm}$
 $25999400 \text{ Nmm} > 23342685 \text{ Nmm} \rightarrow \text{Torsi diperhitungkan}$

→ Cek Penampang balok

$$\sqrt{\left(\frac{Vu}{bw \cdot d}\right)^2 + \left(\frac{Tu \times Poh}{1.7 \times Aoh^2}\right)^2} \leq \varnothing \left(\frac{Vc}{bw \times d} + 0.66\sqrt{f'c}\right)$$

$$Vc = 0.17 \sqrt{f'c} \times bw \times d \\ = 0.17 \sqrt{40} \times 550 \times 634.5 = 375208.9878 \text{ N}$$

$$\sqrt{\left(\frac{301164}{550 \cdot 634.5}\right)^2 + \left(\frac{25999400 \times 2128}{1.7 \times 277399^2}\right)^2} = 0.961$$

$$0.75 \left(\frac{375208.9878}{550 \times 634.5} + 0.66\sqrt{40}\right) = 3.93$$

$$\sqrt{\left(\frac{Vu}{bw \cdot d}\right)^2 + \left(\frac{Tu \times Poh}{1.7 \times Aoh^2}\right)^2} \leq \varnothing \left(\frac{Vc}{bw \times d} + 0.66\sqrt{f'c}\right) \rightarrow \text{OK}$$

→ Perhitungan Tulangan Transversal penahan torsi

Berdasarkan SNI 2847:2013 Pasal 11.5.3.6 dalam perhitungan tulangan transversal penahan torsi nilai A_o dapat diambil sama dengan $0.85 A_{oh}$ dan nilai $\theta = 45^\circ$, dimana $A_o = 0.85 A_{oh} = 235789.2 \text{ mm}^2$

$$T_n = \frac{2Ao \cdot At \cdot fyt}{s} \cot\theta$$

$$\frac{Tn}{\emptyset} = \frac{2Ao.At.fyt}{s} \cot\theta$$

$$\frac{At}{s} = \frac{Tu}{2Ao.fyt.\emptyset.\cot\theta}$$

$$\frac{At}{s} = \frac{25999400}{2235789.2.240.0.75.1} = 0.3062 \text{ mm}^2/\text{mm}$$

→ Perhitungan Tulangan longitudinal penahan torsi

$$A_l = \frac{At}{s} \cdot Poh \cdot \frac{fyt}{fy} \cdot \cot^2\theta = 0.175 \cdot 2128 \cdot \frac{240}{420} \cot^2 45^\circ \\ = 936.32 \text{ mm}^2$$

$$A_{lmin} = \frac{0.42 \cdot \sqrt{f'c} \cdot Acp}{fy} - \frac{At}{s} Poh \frac{fyt}{fy} \\ = \frac{0.42 \cdot \sqrt{40} \cdot 385000}{420} - 0.3602 \cdot 2128 \cdot \frac{240}{420} = 2062.5016 \text{ mm}^2$$

Jadi dipakai A_{lmin} , gunakan batang 6 D22 , $A_s = 2281.714 \text{ mm}^2$ dipasang masing – masing 2 pada setiap sisinya di sepanjang tumpuan maupun lapangan.

5.4.3 Penulangan Geser

Berdasarkan SNI 2847:2013 Pasal 21.5.3.2 syarat spasi maksimum tulangan geser balok yaitu :

- $s < d/4 = 634.5/4 = 158.625 \text{ mm}$
- $s < 6\emptyset (\text{longitudinal}) = 6 \times 25 = 150 \text{ mm}$
- $s < 150 \text{ mm}$
- Sengkang pertama harus dipasang tidak lebih dari 50mm dari muka tumpuan

Berdasarkan SNI 2847:2013 21.5.3.4 pada daerah lapangan syarat maksimum tulangan geser balok yaitu :

$$- \quad s < d/2 = 634.5/2 = 317.25 \text{ mm}$$

A. Penulangan Geser Tumpuan

Berdasarkan SNI 2847:2013 Pasal 21.5.4 bahwa gaya geser rencana V_e harus ditentukan dari peninjauan gaya statik pada bagian komponen struktur antara dua muka tumpuan. Momen – momen dengan tanda berlawanan sehubungan dengan kuat lentur maksimum, M_{pr} ditambah dengan gravitasi terfaktor di sepanjang bentangnya.

→ Momen ujung M_{pr}

M_{pr} adalah kapasitas momen berdasarkan perhitungan kuat lentur konvensional dengan menggunakan nilai reduksi $\phi = 1$ dan kuat lentur tulangan minimum sebesar $1.25 f_y$.

- Akibat Gempa ke kiri

$M_{pr \text{ negatif}} (M_{pr^-})$

$$\begin{aligned} M_{pr1} &= (A_s \cdot 1.25 f_y - A_s' \cdot 1.25 f_s') \cdot (d - \frac{a}{2}) + \\ &A_s' \cdot 1.25 f_s' \cdot (d' - d'') \\ &= (3437.5 \times 1.25 \times 420 - \end{aligned}$$

$$1964.286 \times 1.25 \times 221.241) \times 634.5 - \frac{77.205}{2}) +$$

$$1964.286 \times 1.25 \times 221.241 \times (634.5 - 65.5)$$

$$= 1113174401 \text{ Nmm}$$

$M_{pr \text{ positif}} (M_{pr^+})$

$$\begin{aligned} M_{pr4} &= (A_s \cdot 1.25 f_y - A_s' \cdot 1.25 f_s') \cdot (d - \frac{a}{2}) + \\ &A_s' \cdot 1.25 f_s' \cdot (d' - d'') \\ &= (1964.286 \times 1.25 \times 420 - \end{aligned}$$

$$3437.5 \times 1.25 \times 126.5) \times 634.5 - \frac{44.11}{2}) +$$

$$3437.5 \times 1.25 \times 126.5 \times (634.5 - 65.5)$$

$$= 1067053603 \text{ Nmm}$$

- Akibat Gempa ke kanan

M_{pr} negatif (M_{pr}^-)

$$\begin{aligned} M_{pr2} &= (- A_s \cdot 1.25 f_y - A_s' \cdot 1.25 f_s') \cdot (d - \frac{a}{2}) + \\ &A_s' \cdot 1.25 f_s' \cdot (d' - d'') \\ &= (3437.5 \times 1.25 \times 420 - \\ &1964.286 \times 1.25 \times 221.241) \times 634.5 - \frac{77.205}{2} + \\ &1964.286 \times 1.25 \times 221.241 \times (634.5 - 65.5) \\ &= 1113174401 \text{ Nmm} \end{aligned}$$

M_{pr} positif (M_{pr}^+)

$$\begin{aligned} M_{pr3} &= (- A_s \cdot 1.25 f_y - A_s' \cdot 1.25 f_s') \cdot (d - \frac{a}{2}) + \\ &A_s' \cdot 1.25 f_s' \cdot (d' - d'') \\ &= (1964.286 \times 1.25 \times 420 - \\ &3437.5 \times 1.25 \times 126.5) \times 634.5 - \frac{44.11}{2} + \\ &3437.5 \times 1.25 \times 126.5 \times (634.5 - 65.5) \\ &= 1067053603 \text{ Nmm} \end{aligned}$$

→ Gaya geser total pada muka tumpuan (s/d 2h)

Gaya geser akibat beban gravitasi :

$$V_G = 321164 \text{ N} \text{ (output ETABS 1.2D +1.6L)}$$

- Akibat Gempa ke kiri

$$\begin{aligned} V_{ekn} &= \frac{M_{pr1} + M_{pr4}}{Ln} - Vg \\ &= \frac{1113174401 + 1067053603}{6400} - 321164 \\ &= 39496.63 \text{ N} \end{aligned}$$

$$\begin{aligned} V_{ekr} &= \frac{M_{pr1} + M_{pr4}}{Ln} + Vg \\ &= \frac{1113174401 + 1067053603}{6400} + 321164 \\ &= 641824.6 \text{ N} \end{aligned}$$

- Akibat Gempa ke kanan

$$V_{ekr} = \frac{M_{pr2} + M_{pr3}}{Ln} - Vg$$

$$\begin{aligned}
 V_{ekn} &= \frac{1113174401+1067053603}{6400} - 321164 \\
 &= 39496.63 \text{ N} \\
 &= \frac{Mpr^2 + Mpr^3}{Ln} + Vg \\
 &= \frac{1113174401+1067053603}{6400} + 321164 \\
 &= 641824.6 \text{ N}
 \end{aligned}$$

Maka gaya geser total yang digunakan , $V_e = 641824.6 \text{ N}$

→ Perhitungan penulangan geser

Berdasarkan SNI 2847:2013 Pasal 21.5.3.2 kuat geser beton adalah $V_c = 0$ apabila :

- Gaya geser akibat gempa $> 0.5 \times$ gaya geser total $321164 > 0.5 \times 641824.6 = 320912.31$
 - Gaya aksial tekan $< A_g \times f'_c / 20$
Karena gaya aksial kecil sekali, maka persyaratan memenuhi sehingga $V_c = 0$
 - $\emptyset = 0.75$ (SNI 2847:2013 Pasal 9.3.2.3)
 - $V_s = \frac{Vc}{\emptyset} - Vc = \frac{641824.6}{0.75} - 0 = 855766.2 \text{ N}$
 - $\frac{Av}{s} = \frac{Vs}{fyt \cdot dact} = \frac{855766.2}{240 \cdot 634.5} = 3.21 \text{ mm}^2/\text{mm}$
Kebutuhan tulangan geser dan torsi
 - $\frac{Av}{s} + \frac{At}{s} = 3.21 + 0.3 = 3.51 \text{ mm}^2/\text{mm}$
Digunakan sengkang 2 kaki D13 $A_v = 265.57 \text{ mm}^2$
 $S = \frac{265.57}{3.51} = 75.5 \text{ mm}^2$
- Dipasang 2 D13-70 sepanjang $2h = 2.700 = 1400 \text{ mm}$ dari muka kolom, dimana tulangan geser pertama dipasang 5cm dari muka kolom.

B. Penulangan Geser Lapangan

Tulangan geser di luar sendi plastis $> 2h = 1400 \text{ mm}$

$V_{u,2h} = 203390.3 \text{ N}$ (output ETABS)

Untuk daera luar sendi plastis ini, kuat geser beton diperhitungkan sebesar :

$$\begin{aligned}V_c &= 0.17 \cdot \sqrt{f'c} \cdot b_w \cdot d \\&= 0.17 \cdot \sqrt{40} \cdot 550 \cdot 634.5 \\&= 375208.99 \text{ N}\end{aligned}$$

- $\emptyset = 0.75$ (SNI 2847:2013 Pasal 9.3.2.3)
- $V_s = \frac{Vu,2h}{\emptyset} - Vc = \frac{203390.3}{0.75} - 375208.99 = -104021.921 \text{ N}$
- $\frac{Av}{s} = \frac{Vs}{fy \cdot dact} = \frac{-104021.921}{240 \cdot 634.5} = -0.68 \text{ mm}^2/\text{mm}$
Kebutuhan tulangan geser dan torsi
- $\frac{Av}{s} + \frac{At}{s} = -0.68 + 0.3 = -0.38 \text{ mm}^2/\text{mm}$
Digunakan sengkang 2kaki D13 $A_v = 265.57 \text{ mm}^2$
 $S = \frac{265.57}{-0.38} = -704.8 \text{ mm}^2$
Digunakan 2 D13-300 pada daerah luar sendi plastis
 $>2h$

5.4.4 Penghitungan Tulangan Negatif

Berdasarkan SNI 2847:2013 Pasal 12.2.2 dan 12.2.3 ld adalah sebagai berikut dan tidak boleh kurang dari 300mm :

$$Db = 25 \text{ mm}$$

$$\psi_e = 1 (\text{situasi lainnya})$$

$$\psi_t = 1.3 (\text{tulangan tanpa pelapis})$$

$$\lambda = 1 (\text{beton Normal}) f'c = 40 \text{ Mpa}$$

$$\psi_s = 1 (\text{tulangan } > D25)$$

$$Ld = Db \times \frac{f_y \times \psi_t \times \psi_e}{1.7 \times \lambda \times \sqrt{f'c}} = 25 \times \frac{420 \times 1.3 \times 1}{1.7 \times 1 \times \sqrt{40}}$$

$$Ld = \left(\frac{f_y \cdot \psi_s \cdot \psi_t \cdot \psi_e}{1.1 \cdot \lambda \cdot \sqrt{f'c} \cdot \left(\frac{cb + Ktr}{db} \right)} \right) x db$$

c_b adalah nilai terkecil dari parameter dibawah ini :

$$c_1 = 40 + 13 + 25/2 = 65.5 \text{ mm}$$

$$c_2 = \frac{550 - 2.(40+13) - 25 \cdot 4}{(4-1) \cdot 2} = 35.667 \text{ mm}$$

Maka $c_b = 35.667 \text{ mm}$

$$\frac{35.667 + 0}{25} = 1.426 < 2.5$$

$$L_d = \left(\frac{420 \cdot 1 \cdot 1.3t \cdot 1}{1.1 \cdot 1 \cdot \sqrt{40} \cdot 1.426} \right) \times 25 = 1057.89 \text{ mm}$$

5.4.5 Panjang Penyaluran Tulangan

Berdasarkan SNI 2847:2013 Pasal 12.5.1, panjang penyaluran l_{dh} untuk tulangan tarik dengan kait standar 90° dalam beton berat normal yaitu :

$$L_{dh} > 8db = 8 \times 25 = 200 \text{ mm}$$

$$L_{dh} > 150 \text{ mm}$$

$$L_{dh} = \frac{0.24 \cdot f_y \cdot db}{\sqrt{f'c}} = \frac{0.24 \cdot 420 \cdot 25}{\sqrt{40}} = 398.447 \text{ mm}$$

Digunakan $l_{dh} = 400\text{mm}$ masuk kedalam kolom dengan panjang kait $12db = 300\text{mm}$.

5.4.6 Hasil Rekap Penulangan Balok

Tulangan Lentur pada lokasi yang ditinjau adalah sebagai berikut :

Tabel 5. 17 Hasil Rekap Penulangan Lentur Balok

Lokasi	Tumpuan	As	Lapangan	As
B63 Lt 15				
Atas	7	25	3437,5	4
Bawah	4	25	1964,286	7
B63 Lt 45				
				25
				1964,286
				3437,5

Atas	8	25	3928,571	4	25	1964,286
Bawah	3	25	1473,214	8	25	3928,571
Lokasi	Tumpuan		As		Lapangan	As
B82 Lt 15						
Atas	6	25	2946,429	4	25	1964,286
Bawah	6	25	2946,429	6	25	2946,429
B79 Lt 15						
Atas	9	25	4419,643	3	25	1473,214
Bawah	7	25	3437,5	9	25	4419,643
Lokasi	Tumpuan		As		Lapangan	As
B22 Lt 15						
Atas	3	22	1140,857	3	22	1140,857
Bawah	3	22	1140,857	3	22	1140,857
B112 Lt 15						
Atas	6	22	2281,714	4	22	1521,143
Bawah	4	22	1521,143	5	22	1901,429

Tulangan Geser pada lokasi yang ditinjau ditunjukkan pada table berikut :

Tabel 5. 18 Hasil Rekap Penulangan Geser Balok

Lokasi	Tumpuan	S	Lapangan	S
B63 Lt 15				
Geser	2	13	120	2
				13 150
B63 Lt 45				
Geser	3	13	120	2
				13 150

Lokasi	Tumpuan	S	Lapangan	S
B82 Lt 15				
Geser	5	13	120	3
				13 130
B79 Lt 15				
Geser	4	13	100	2
				13 200
Lokasi	Tumpuan	S	Lapangan	S
B22 Lt 15				
Geser	2	13	150	2
				13 200
B112 Lt 15				
Geser	2	13	120	2
				13 200

Tulangan Torsi pada lokasi yang ditinjau ditunjukkan pada table berikut :

Tabel 5. 19 Hasil Rekap Penulangan Torsi Balok

Lokasi	Lapangan	As
B82 Lt 15		
Torsi	4	16 804,5714
B63 Lt 15		
Torsi	4	25 1964.286

B79 Lt 15			
Torsi	4	25	1964,286
B22 Lt 15			
Torsi	4	22	1521,143
B112 Lt 15			
Torsi	4	22	1521,143

5.5 Perencanaan Kolom

Dalam perencanaan kolom pada tugas akhir ini, diambil beberapa contoh perhitungan kolom dimana terdapat kolom arah vertical juga kolom horizontal, yang nantinya juga berhubungan dengan balok yang sudah dihitung sebelumnya dan direkap untuk perhitungan hubungan balok dan kolom.

5.5.1 Perencanaan Kolom C8 Lt 14 - 30

5.5.1.1 Data Perencanaan

- Dimensi Kolom B = 1300 mm ; H = 600 mm
- Tinggi Kolom = 4800 mm
- Decking = 40 mm
- Ø tul. Utama = 25 mm
- Ø tul. Sengkang = 16 mm
- Mutu besi (fy) = 420 MPa
- Mutu Beton (f'c) = 45 MPa

Tabel 5. 20 Momen dan Gaya Aksial Kolom

Kolom bawah			
Kombinasi	P	M2	M3
1.4D	-18485.5	-50.6467	-267.692
1.2D+1.6L	-17714.6	-55.5708	-282.637
1.2D+1.3QeX+0.1213D Max	-16593.1	33.3731	-156.843
1.2D+1.3QeX+0.1213D Min	-18628.6	-200.148	-414.897
1.2D+1.3QeX-0.1213D Max	-13389.8	42.1495	-110.455
1.2D+1.3QeX-0.1213D Min	-15425.3	-368.509	-368.509
1.2D+1.3QeY-1 Max	-13892.5	53.0685	-164.199
1.2D+1.3QeY-1 Min	-14602.9	-290.807	-258.729
1.2D+1.3QeY+0.1213D-1 Max	-17095.8	44.2922	-210.586
1.2D+1.3QeY+0.1213D-1 Min	-17806.2	-299.583	-305.116

Kolom atas			
Kombinasi	P	M2	M3
1.4D	-18358.3	30.8015	140.7308
1.2D+1.6L	-17605.5	34.2305	150.423
1.2D+1.3QeX+0.1213D Max	-16473	132.8958	289.6019
1.2D+1.3QeX+0.1213D Min	-18508.5	-26.8983	32.7729
1.2D+1.3QeX-0.1213D Max	-13291.8	127.5584	265.2152
1.2D+1.3QeX-0.1213D Min	-15327.3	-32.2358	8.3863
1.2D+1.3QeY+0.1213D Max	-13794.4	197.6039	155.4386
1.2D+1.3QeY+0.1213D Min	-14504.9	-40.0416	73.1922
1.2D+1.3QeY+0.1213D-1 Max	-16975.7	202.9414	179.8253
1.2D+1.3QeY+0.1213D-1 Min	-17686.1	-34.7042	97.5788

5.5.1.2 Cek Syarat Komponen Struktur Penahan Gempa

Berdasarkan SNI 2847:2013 Pasal 21.6.1 gaya aksial terfaktor maksimum yang bekerja pada kolom harus melebihi $A_g f'_c/10$.

$$P_u = 18508.5 \text{ kN}$$

$$A_g f'_c/10 = \frac{780000.45}{10.1000} = 3510 \text{ kN}$$

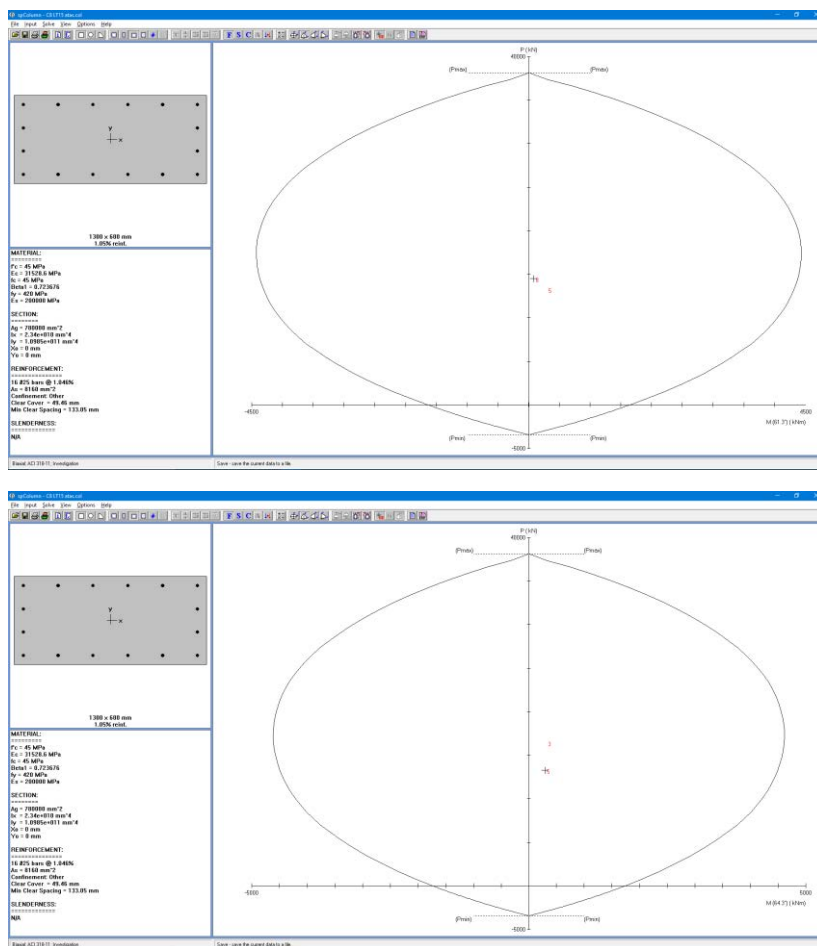
Berdasarkan SNI 2847:2013 Pasal 21.6.1.1 sisi terpendek penampang kolom tidak kurang dari 300 mm. Sisi terpendek kolom = 600 mm → memenuhi syarat

Berdasarkan SNI 2847:2013 Pasal 21.6.1.2 rasio dimensi penampang tidak kurang dari 0.4.

$$\frac{b}{h} = \frac{1300}{600} = 2.1667 \rightarrow \text{memenuhi syarat}$$

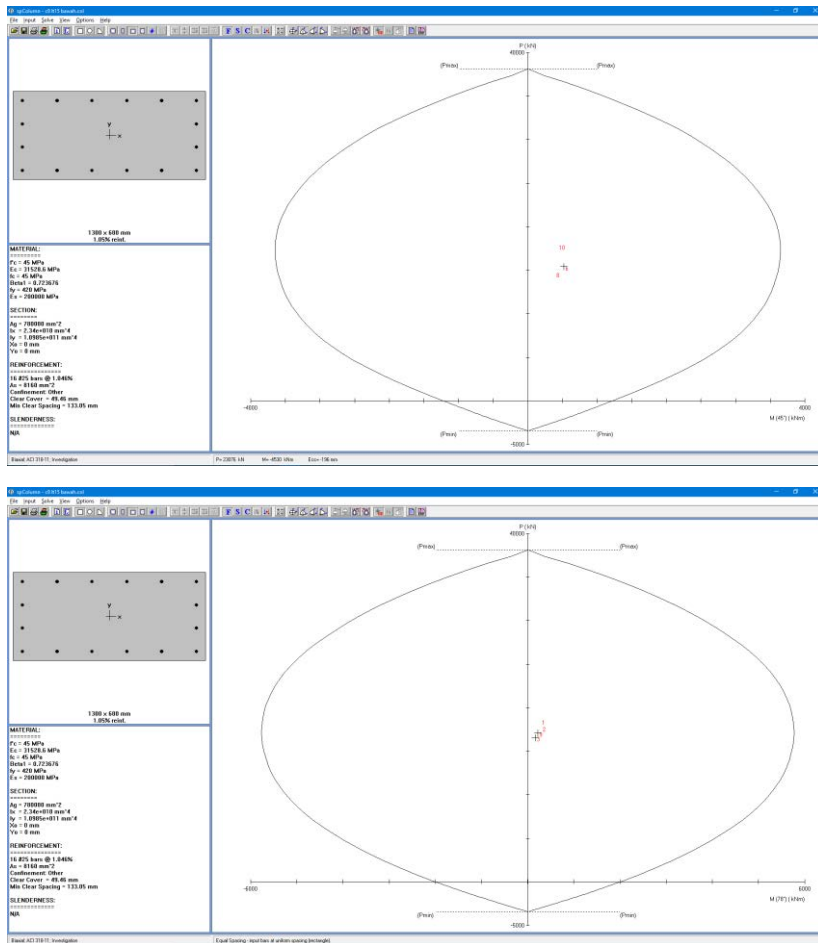
5.5.1.3 Tulangan Longitudinal Penahan Lentur

Berdasarkan SNI 2847:2013 Pasal 21.6.3.1 luas tulangan longitudinal penahan lentur tidak boleh kurang dari $0.01A_g$ atau lebih dari $0.06A_g$. Dengan menggunakan program bantu sp_column gaya – gaya yang bekerja pada kolom yang didapat dari program bantu ETABS diinput masuk dalam sp_column, sehingga didapatkan rasio tulangan lentur 1.05% atau 16 D25, seperti terlihat pada gambar 5.4 dan 5.5 diagram interaksi yang dibuat dengan program sp_column.



Gambar 5. 10 Diagram Interaksi P-M Kolom Atas

Dari kedua gambar diatas dapat dilihat bahwa symbol positif pada Diagram interaksi masih terdapat ditengah – tengah diagram, hal ini menunjukan bahwa penampang yang digunakan masih belum cukup efektif berdasarkan beban yang diterima oleh kolom.



Gambar 5.11 Diagram Interaksi P-M Kolom Bawah

Dari kedua gambar diatas dapat dilihat bahwa symbol positif pada Diagram interaksi masih terdapat ditengah – tengah diagram, hal

ini menunjukan bahwa penampang yang digunakan masih belum cukup efektif berdasarkan beban yang diterima oleh kolom.

- Kontrol Spasi Tulangan

Berdasarkan SNI 2847:2013 Pasal 7.6.1 spasi bersih minimum antar batang tulangan sejajar dalam suatu lapis harus sebesar d_b tetapi tidak kurang dari 25mm.

$$S_1 = \frac{b_{column-2decking-2\phi sengkang-n\phi tul.utama}}{n-1} \geq 25mm$$

$$= \frac{1300 - 2.40 - 2.16 - 6.25}{6-1} = 207.6 \geq 25mm$$

$$S_2 = \frac{h_{column-2decking-2\phi sengkang-n\phi tul.utama}}{n-1} \geq 25mm$$

$$= \frac{600 - 2.40 - 2.16 - 4.25}{4-1} = 129.33 \geq 25mm$$

→ Tulangan longitudinal dapat dipasang 1 baris

5.5.1.4 Persyaratan Strong Column – Weak Beam

Berdasarkan SNI 2847:2013 Pasal 21.6.2.2 persyaratan “strong column weak beam” harus dipenuhi dalam merancang komponen struktur yang menahan tekan (kolom) yaitu $\sum M_c \geq 1.2 \sum M_g$

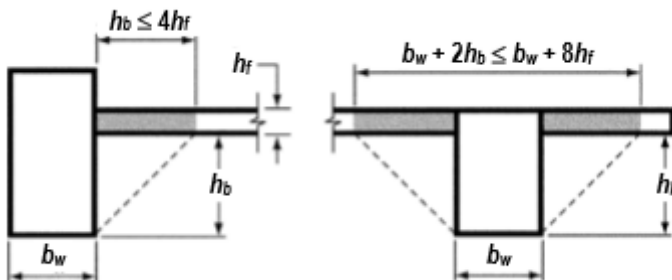
Dimana :

$\sum M_g$: Jumlah momen pada muka joint , yang berhubungan dengan kuat lentur nominal balok (termasuk pelat yang berada pada kondisi tension) yang merangka pada joint tersebut.

$\sum M_c$: Jumlah momen pada mka joint, yang berhubungan dengan kuat lentur nominal kolom yang merangka pada joint tersebut, yang dihitung untuk beban

aksial terfaktor konsisten dengan arah gaya lateral yang ditinjau, yang menghasilkan kuat lentur terendah.

Menghitung nilai $\sum M_g$



Gambar 5. 12 Lebar efektif plat yang disertakan balok

Pada kolom yang ditinjau hanya terdapat satu balok sehingga $\sum M_g$ adalah momen nominal dari balok G5A7.

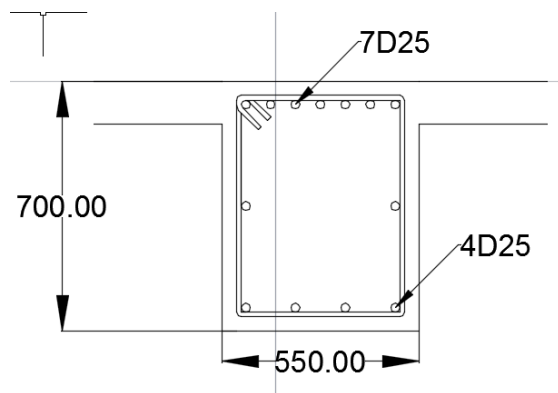
- M_g pada balok G5A7

Lebar efektif plat b_e

Berdasarkan SNI 2847:2013 Pasal 13.2.4 lebar efektif flens pelat yang disertakan dengan balok yaitu :

$$b_e = b_w + 2 h_w = 550 + 2.580 = 1710 \text{ mm} \rightarrow \text{menentukan}$$

$$b_e = b_w + 8h_f = 550 + 8.120 = 1510 \text{ mm}$$



Gambar 5. 13 Penampang tumpuan balok G5A7

Tinggi efektif aktual (d_{actual})

Baris	Jumlah	Diameter	Spasi	Luas	Jarak	Luas x Jarak
1	4	25	114,6667	1964,286	65,5	128660,7143
Jumlah				1964,286	65,5	128660,7143

- Letak titik berat tulangan (dari sisi luar beton) :

$$y = \frac{128660.7143}{1964.286} = 65.5 \text{ mm}$$

- Tinggi efektif aktual :

$$\begin{aligned} d_{actual} &= h - y \\ &= 700 - 65.5 = 634.5 \text{ mm} \end{aligned}$$

Luas Tulangan (A_s)

$$\begin{aligned} A_s \text{ tekan} &= A_{s \text{ tekan}} + A_{s \text{ pelat}} \\ &= 3437.5 + 2 \cdot \left(\frac{1710}{100} \right) \cdot 0.25 \cdot \pi \cdot 10^2 \cdot \frac{240}{420} \\ &= 6032.51 \text{ mm}^2 \end{aligned}$$

- Besar nilai M_g

$$M_{g1} = (A_s \times f_y - A_{s'} \times f'_s) \cdot (d - \frac{a}{2}) + A_{s'} \times f'_s \times (d - d')$$

$$M_{g1^-} = 981.60 \text{ kNm}$$

$$M_{g1^+} = 487.0477 \text{ kNm}$$

Menghitung Nilai $\sum M_c$

Nilai M_{nc} didapat dari diagram interaksi P-M dengan sp_column. Output dari diagram interaksi kolom atas ditunjukan pada gambar 5.5 sementara untuk diagram interaksi kolom bawah ditunjukan pada gambar 5.6. $\sum M_c$ adalah jumlah kuat nominal dari kolom dimuka sisi atas dan bawah HBK (Hubungan Balok Kolom) dari hasil penulangan terpasang akibat kombinasi beban bergaktor. Kuat momen harus dicek pada beban aksial maksimum yang memberikan kuat momen terendah.

Factored Loads and Moments with Corresponding Capacities:											
No.	Pu kN	Mux kNm	Muy kNm	PhiMnx kNm	PhiMny kNm	PhiMn/Mu NA	depth mm	Dt mm	depth mm	eps_t	Phi
1	18358.30	30.80	140.73	1232.92	5633.16	40.028	868	1182	0.00109	1.000	
2	17605.50	34.23	150.42	1270.89	5584.82	37.127	841	1174	0.00119	1.000	
3	16473.00	132.90	289.60	1964.86	4281.75	14.785	707	1010	0.00129	1.000	
4	18508.50	26.90	32.77	2473.42	3013.62	91.955	658	881	0.00101	1.000	
5	13291.80	127.56	265.22	1958.20	4071.42	15.351	631	998	0.00174	1.000	
6	15327.30	32.24	8.39	3005.64	781.93	93.239	414	628	0.00156	1.000	

*** End of output ***

Gambar 5. 14 Output Diagram Interaksi P-M Kolom Atas

Factored Loads and Moments with Corresponding Capacities:											
No.	Pu kN	Mux kNm	Muy kNm	PhiMnx kNm	PhiMny kNm	PhiMn/Mu NA	depth mm	Dt mm	depth mm	eps_t	Phi
1	18485.50	50.65	267.69	1100.94	5818.97	21.738	895	1217	0.00108	1.000	
2	17714.60	55.57	282.64	1138.02	5788.06	20.479	867	1208	0.00118	1.000	
3	16593.10	33.37	156.84	1207.21	5673.50	36.173	825	1192	0.00134	1.000	
4	18628.60	200.15	414.90	2013.26	4173.39	10.059	745	998	0.00102	1.000	
5	13389.80	42.15	110.46	1739.39	4558.17	41.267	670	1058	0.00174	1.000	
6	15425.30	368.51	368.51	2582.96	2582.96	7.009	560	830	0.00145	1.000	

*** End of output ***

Gambar 5. 15 Output Diagram Interaksi P-M Kolom Bawah

Kontrol syarat “strong column weak beam”

Dari gambar 5.3 dan 5.4 diketahui nilai M_n atas dan M_n bawah adalah 1232.92 kNm dan 1100.94 kNm.

$$\begin{aligned}\sum M_c &= M_c \text{ atas} + M_c \text{ bawah} \\ &= 1232.92 + 1100.94 = 2333.86 \text{ kNm}\end{aligned}$$

$$1.2 M_g = 1.2 \times 981.6 = 1177.92 \text{ kNm}$$

$\sum M_c \geq 1.2 \sum M_g \rightarrow$ Syarat “strong column weak beam” terpenuhi

5.5.1.5 Tulangan Transversal Untuk Pengekangan

Menentukan daerah pemasangan tulangan sengkang persegi(hoop). Berdasarkan SNI 2847:2013 Pasal 21.6.4.1 tulangan hoop diperlukan sepanjang l_o dari ujung – ujung kolom dengan l_o merupakan nilai terbesar dari :

- Tinggi komponen struktur di joint, $h = 600 \text{ mm}$
- $\frac{1}{6}$ bentang bersih komponen struktur L_n

$$\frac{1}{6} \cdot L_n = \frac{1}{6} \cdot 4800 - 700 = 683.33 \text{ mm}$$
- 450 mm

Menentukan spasi maksimum hoop, s_{max} , pada daerah sepanjang l_o dari ujung – ujung kolom. Berdasarkan SNI 2847:2013 Pasal 21.6.4.3 nilai s_{max} merupakan nilai terbesar dari :

- $b/4 = 1300/4 = 325 \text{ mm}$
- $6 d_b = 6 \cdot 25 = 150 \text{ mm}$
- s_o, s_o tidak melebihi 150mm dan tidak perlu diambil kurang dari 100mm.

$$s_o = 100 + \frac{350 - 0.5hsx}{3} = \frac{350 - 0.5(600 - (2.40) - (0.5 \cdot 16))}{3} = 131.33 \text{ mm} \rightarrow \text{digunakan } s = 100 \text{ mm.}$$

Menentukan luas tulangan confinement. Berdasarkan SNI 2847:2013 Pasal 21.6.4.4 untuk daerah sepanjang l_o dari ujung – ujung kolom total luas penampang hoop tidak boleh kurang dari salah satu yang terbesar antara :

- $A_{sh1} = 0.3 \cdot \frac{sbc.f'c}{fyt} \cdot \left(\frac{Ag}{Ach} - 1 \right)$ dan $A_{sh2} = \frac{sbc.f'c}{fyt} \cdot 0.09$
 - b_c = lebar penampang inti beton terkekang
 $= b - 2(ts + \frac{1}{2}ds) = 1300 - 2(40 + 0.5 \cdot 16) = 1204\text{mm}$
 - $A_{ch} = (b - 2ts) \cdot (h - 2ts) = (1300 - 2 \cdot 40) \cdot (600 - 2 \cdot 40) = 634400\text{ mm}^2$
 - $A_{sh1} = 0.3 \left(\frac{100.45}{420} \right) \cdot \left(\frac{780000}{634400} - 1 \right) = 888.1967\text{ mm}^2$
 - $A_{sh2} = \frac{100.45}{420} \cdot 0.09 \cdot 1204 = 1161\text{mm}^2$
 Digunakan 6 D16-100 mm $\rightarrow A_s = 1206.857\text{ mm}^2 > 1161\text{mm}^2 \rightarrow \text{OK}$
- Berdasarkan SNI 2847:2013 Pasal 21.6.4.5 untuk daerah sepanjang sisa tinggi kolom bersih (tinggi kolom total dikurang dengan l_o di masing-masing ujung kolom) diberi hoops dengan spasi minimum :
- $6d_b = 6 \cdot 25 = 150\text{mm}$
 - Dipakai 150mm
 - Digunakan hoop 6D16-150 mm

5.5.1.6 Tulangan Transversal untuk beban geser

Gaya geser desain yang digunakan untuk menentukan jarak dan luas tulangan transversal ditentukan dari nilai (1), tetapi tidak perlu lebih besar dari nilai (2) dan harus melebihi nilai (3).

1. $V_{e1} = \frac{Mprc \text{ atas} + Mprc \text{ bawah}}{l_u}$
2. $V_{e2} = \frac{Mprc^+ + Mprc^-}{l_u}$
3. V_u Output Etabs

Perhitungan Gaya geser desain

Perhitungan V_e

$M_{prc\ atas}$, dan $M_{prc\ bawah}$ didapat dari diagram interaksi P-M kolo. Diagram interaksi didapat dengan menggunakan $f_s = 1.25 f_y$ dan $\phi=1$. Dari gambar 5.7 dan gambar 5.8 diketahui besar $M_{prc\ atas}$, dan $M_{prc\ bawah}$:

$$M_{prc\ atas} = 3005.64 \text{ kNm}$$

$$M_{prc\ bawah} = 2582.96 \text{ kNm}$$

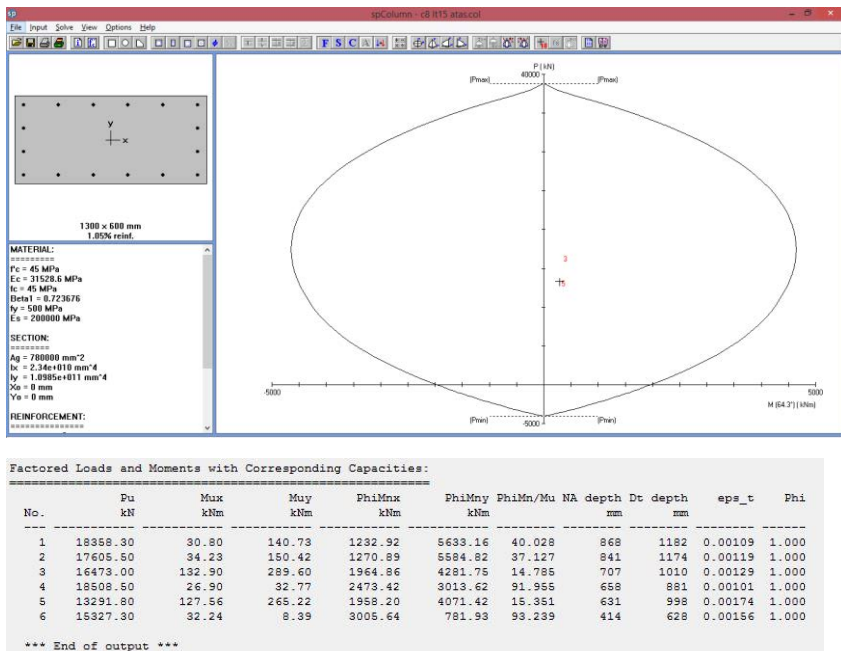
$$V_{e1} = \frac{3005.64 + 2582.96}{4.8} = 1164.292 \text{ kN}$$

V_u output etabs

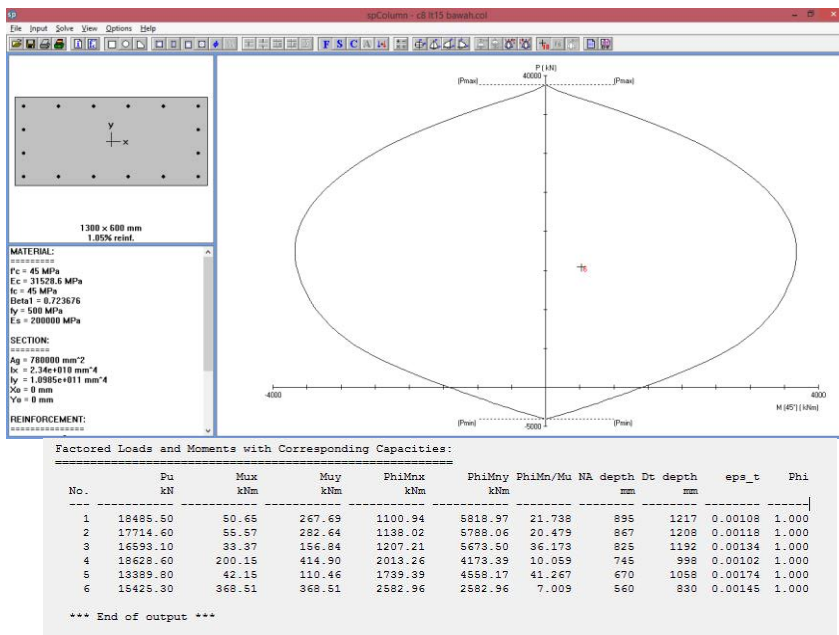
Berdasarkan output etabs didapt nilai $V_u = 173.5038 \text{ kN}$

$$V_{emaks} = 1164.292 \text{ kN}, V_e > V_u \rightarrow \text{OK}$$

Berdasarkan SNI 2847:2013 Pasal 21.6.5.1 perencanaan geser sudah memenuhi syarat dimana nilai V_e tidak boleh kurang dari nilai gaya geser terfaktor V_u .



Gambar 5. 16 Diagram Interaksi P-M Kolom Atas $f_s=1.25f_y$



**Gambar 5.17 Diagram Interaksi P-M Kolom Desain Bawah
 $fs=1.25f_y$**

Perhitungan Penulangan geser

Cek apakah kontribusi beton diabaikan atau tidak

Berdasarkan SNI 2847:2013 Pasal 21.5.4.2 kontribusi beton diabaikan dalam menahan geser rencana apabila :

- Gaya geser yang ditimbulkan gempa, V_{sway} , mewakili setengah atau lebih dari kekuatan geser perlu maksimum dalam l_o .
 $50\% V_e > V_u$
 $50\% \times 1470.684 > 173.5038$
 $735.342 \text{ kN} > 173.5038 \text{ kN} \rightarrow \text{OK}$

- Gaya tekan aksial terfaktor, $P_u = 18628.6 \text{ kN}$ kurang dari $Ag.f'c/20$

$$\frac{Ag.f'c}{20} = \frac{780000.45}{20} = 1755000N = 1755kN$$

$$P_u > \frac{Ag.f'c}{20} \rightarrow \text{diperhitungkan}$$

Berdasarkan SNI 2847:2013 Pasal 11.2.1.2 perhitungan kuat geser beton bila ikut berkontribusi menahan geser adalah :

$$V_c = 0.17 \left(1 + \frac{Nu}{14.Ag}\right) \lambda \cdot \sqrt{f'c} \cdot bw \cdot d$$

$$= 0.17 \left(1 + \frac{18628600}{14.780000}\right) \cdot 1 \cdot \sqrt{45} \cdot 1300 \cdot (600 - 40 - 16 - \frac{25}{2})$$

$$= 787957.4 \text{ N} = 787.957 \text{ kN}$$

Hitung tulangan transversal penahan geser untuk daerah sepanjang l_o dari ujung – ujung kolom. Besarnya nilai V_s dihitung berdasarkan tulangan sengkang terpasang 6D16 dengan nilai :

$$A_v = 6 \cdot 0.25 \cdot \pi \cdot d^2 = 1206.857 \text{ mm}^2 \text{ dengan } s = 100\text{mm}$$

$$V_s = \frac{As.fy.d}{s} = \frac{1206.857.420 \cdot \left(600 - 40 - 16 - \frac{25}{2}\right)}{100} =$$

$$2694067 \text{ N} = 2694.067 \text{ kN}$$

$$\emptyset(V_c + V_s) = 0.75 \cdot (787.957 + 2694.067) = 2611.518 > 1470.684 \rightarrow \text{OK}$$

Untuk tulangan transversal penahan geser berdasarkan SNI 2847:2013 Pasal 21.6.4.5 untuk daerah sepanjang sisa tinggi kolom bersih (tinggi kolom total dikurang dengan l_o di masing-masing ujung kolom) digunakan spasi minimum :

- $6d_b = 6 \cdot 25 = 150\text{mm}$
- 150mm

Digunakan sengkang diluar sendi plastis 6D16-150 mm

5.5.1.7 Sambungan lewatan

Karena seluruh tulangan pada sambungan lewatan disalurkan pada lokasi yang sama, maka sambungan lewatan yang digunakan tergolong kelas B. Berdasarkan SNI 2847:2013 Pasal 12.15.1 untuk sambungan kelas B panjang minimum sambungan lewatannya adalah 1.3 ld dengan nilai $K_{tr} = 0$ untuk penyederhanaan desain.

$$D_b = 25\text{mm}$$

$$\psi_e = 1 (\text{situasi lainnya})$$

$$\psi_t = 1.3 (\text{tulangan tanpa pelapis})$$

$$\lambda = 1 (\text{beton Normal}) f'_c = 45 \text{ Mpa}$$

$$\psi_s = 1 (\text{tulangan } > D_{25})$$

$$L_d = D_b \times \frac{f_y \times \psi_t \times \psi_e}{1.7 \times \lambda \times \sqrt{f'_c}} = 25 \times \frac{420 \times 1.3 \times 1}{1.7 \times 1 \times \sqrt{45}}$$

$$L_d = \left(\frac{f_y \cdot \psi_s \cdot \psi_t \cdot \psi_e}{1.1 \cdot \lambda \cdot \sqrt{f'_c} \cdot \left(\frac{c_b + K_{tr}}{D_b} \right)} \right) \times db$$

c_b adalah nilai terkecil dari parameter dibawah ini :

$$c_1 = 40 + 16 + 25/2 = 68.5 \text{ mm}$$

$$c_2 = \frac{600 - 2 \cdot (40 + 16) - 25 \cdot 6}{(6-1)} = 72.6 \text{ mm}$$

$$\text{Maka } c_b = 68.5 \text{ mm}$$

$$\frac{68.5 + 0}{25} = 2.74 > 2.5 \rightarrow \text{ambil } 2.5$$

$$L_d = \left(\frac{420 \cdot 1 \cdot 1.3 \cdot 1}{1.1 \cdot 1 \cdot \sqrt{45} \cdot 2.5} \right) \times 25 = 675.1234 \text{ mm}$$

$$1.3 l_d = 1.3 \cdot 675.1234 = 877.6604 \text{ mm}$$

Digunakan sambungan lewatan sepanjang 900 mm

5.5.1.8 Hubungan Balok – Kolom

A. Hubungan Balok kolom Tepi

Cek syarat panjang joint

Berdasarkan SNI 2847:2013 Pasal 21.7.2.3 dimensi kolom yang sejajar dengan tulangan balok tidak boleh kurang dari 20 kali diameter tulangan longitudinal terbesar :

$$b = 1300 \text{ mm}$$

$$h = 600 \text{ mm}$$

$$20d_b = 20 \cdot 25 = 500 \text{ mm}$$

$$b, h \geq 20d_b \rightarrow \text{OK}$$

Menghitung luas efektif joint

Berdasarkan SNI 2847:2013 Pasal 21.7.4.1 A_j merupakan perkalian tinggi joint dengan lebar efektif.

$$b = 550 \text{ mm}$$

$$h = 700 \text{ mm}$$

$$x = (600 - 550)/2 = 25\text{mm}$$

$$\text{Tinggi joint} = h = 700\text{mm}$$

Lebar joint efektif merupakan nilai terkecil dari :

- $b+h = 550 + 700 = 1250 \text{ mm}$
 - $b + 2x = 550 + 50 = 600 \text{ mm} \rightarrow \text{Dipakai}$
- $A_j = \text{tinggi joint} \times \text{lebar efektif joint} = 700 \times 600 = 420000 \text{ mm}^2$

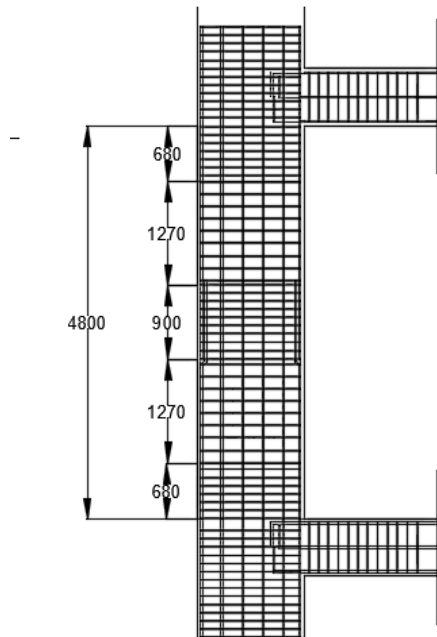
Menghitung tulangan transversal untuk confinement

Berdasarkan SNI 2847:2013 Pasal 21.7.3.2 spasi tulangan confinement diijinkan untuk diperbesar hingga 150 mm.

Dipakai s = 150 mm

Menghitung gaya geser pada joint

- Hitung M_e
Balok yang masuk pada joint mempunyai $M_{pr} = 981.601$ kNm. Pada joint, kekakuan kolom atas dan bawah adalah sama.
 $M_e = 981.601$ kNm
 - Hitung geser pada kolom atas
 $V_{sway} = \frac{Me+Me}{tu} = \frac{981.601+981.601}{4.1} = 478.8301$ kN
 - Hitung gaya pada tulangan balok longitudinal
Berdasarkan SNI 2847:2013 Pasal 21.7.2.1 dalam perhitungan diasumsikan bahwa teganan pada tulangan tarik lentur adalah 1.25fy
 ➔ Gaya tarik pada tulangan balok di bagian kanan
 A_s balok kanan 4D25 = 1964.286 mm²
 $T = A_s \times 1.25fy = 1964.286 \times 1.25 \times 420 = 1031.25$ kN
 - Hitung gaya geser pada joint
 $V_j = T - V_{sway}$
 $= 1031.25 - 478.83 = 552.42$ kN
- Cek kuat geser joint
Berdasarkan SNI 2847:2013 Pasal 21.7.4.1 kuat geser joint yang dikekang di tiga muka atau pada dua muka yang berlawanan adalah
- $$\begin{aligned}V_n &= 1.2 \sqrt{f'c} \cdot A_j \\&= 1.2 \cdot \sqrt{45} \cdot 420000 \\&= 3380934.782 \text{ N} = 3380.934 \text{ kN}\end{aligned}$$
- $FV_n = 0.75 \times 3380.934 = 2535.701 > V_j = 552.42 \rightarrow \text{OK}$



Gambar 5. 18 Detail Penulangan Kolom C8 1300x600

5.5.2 Perencanaan Kolom C16 Lt 14 - 30

5.5.2.1 Data Perencanaan

- Dimensi Kolom B = 800 mm ; H = 800 mm
- Tinggi Kolom = 4800 mm
- Decking = 40 mm
- Ø tul. Utama = 25 mm
- Ø tul. Sengkang = 16 mm

- Mutu besi (f_y) = 420 MPa

- Mutu Beton (f'_c) = 45 MPa

Tabel 5. 21 Momen dan Gaya Aksial Kolom

Kolom bawah	P	M2	M3
Kombinasi			
1.4D	-14046,7	-102,375	279,6672
1.2D+1.6L	-13396,2	-104,664	293,8114
1.2D+1.3Qe+0.1213D Max	-12961,5	-43,7117	396,3018
1.2D+1.3Qe+0.1213D Min	-13667	-256,229	23,6633
1.2D+1.3Qe-0.1213D Max	-10527,4	-25,9716	347,8395
1.2D+1.3Qe-0.1213D Min	-11232,9	-24,799	-24,799

Kolom atas	P	M2	M3
Kombinasi			
1.4D	-13938,6	62,1659	-180,826
1.2D+1.6L	-13303,6	63,6219	-189,869
1.2D+1.3Qe+0.1213D Max	-12859,4	166,379	-10,9316
1.2D+1.3Qe+0.1213D Min	-13565	20,6016	-258,305
1.2D+1.3Qe-0.1213D Max	-10444,1	155,6065	20,403
1.2D+1.3Qe-0.1213D Min	-11149,6	9,8292	-226,971

5.5.2.2 Cek Syarat Komponen Struktur Penahan Gempa

Berdasarkan SNI 2847:2013 Pasal 21.6.1 gaya aksial terfaktor maksimum yang bekerja pada kolom harus melebihi $A_g f'_c / 10$.

$$P_u = 13396.23 \text{ kN}$$

$$A_g f'_c / 10 = \frac{640000.45}{10.1000} = 2880 \text{ kN}$$

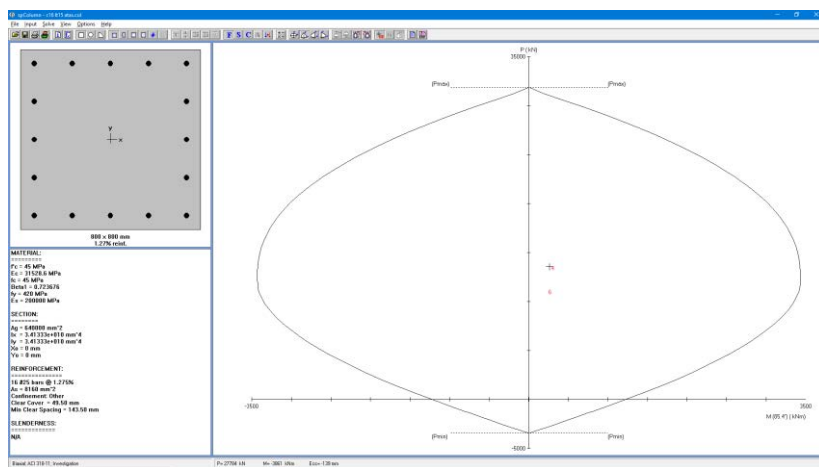
Berdasarkan SNI 2847:2013 Pasal 21.6.1.1 sisi terpendek penampang kolom tidak kurang dari 300 mm. Sisi terpendek kolom = 800 mm → memenuhi syarat

Berdasarkan SNI 2847:2013 Pasal 21.6.1.2 rasio dimensi penampang tidak kurang dari 0.4.

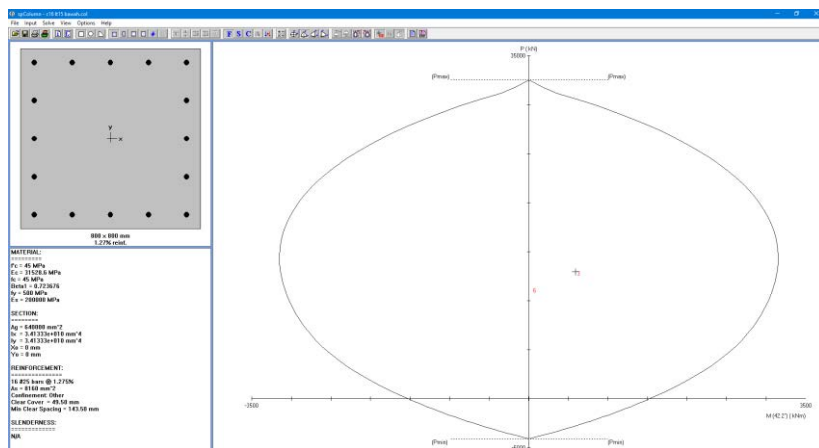
$$\frac{b}{h} = \frac{800}{800} = 1 \rightarrow \text{memenuhi syarat}$$

5.5.2.3 Tulangan Longitudinal Penahan Lentur

Berdasarkan SNI 2847:2013 Pasal 21.6.3.1 luas tulangan longitudinal penahan lentur tidak boleh kurang dari $0.01A_g$ atau lebih dari $0.06A_g$. Dengan menggunakan program bantu sp_column gaya – gaya yang bekerja pada kolom yang didapat dari program bantu ETABS diinput masuk dalam sp_column, sehingga didapatkan rasio tulangan lentur 1.05% atau 16 D25, seperti terlihat pada gambar 5.3 dan 5.4 diagram interaksi yang dibuat dengan program sp_column.



Gambar 5. 19 Diagram Interaksi P-M Kolom Atas



Gambar 5. 20 Diagram Interaksi P-M Kolom Bawah

Dari kedua gambar diatas dapat dilihat bahwa symbol positif pada Diagram interaksi masih terdapat ditengah – tengah diagram, hal ini menunjukan bahwa penampang yang digunakan masih belum cukup efektif berdasarkan beban yang diterima oleh kolom.

- Kontrol Spasi Tulangan

Berdasarkan SNI 2847:2013 Pasal 7.6.1 spasi bersih minimum antar batang tulangan sejajar dalam suatu lapis harus sebesar d_b tetapi tidak kurang dari 25mm.

$$\begin{aligned} S_1 &= \frac{b_{column} - 2d_{decking} - 2\phi_{sengkang} - n\phi_{tul.utama}}{n-1} \geq 25mm \\ &= \frac{800 - 2.40 - 2.16 - 4.25}{4-1} = 196 \geq 25mm \end{aligned}$$

5.5.2.4 Persyaratan Strong Column – Weak Beam

Berdasarkan SNI 2847:2013 Pasal 21.6.2.2 persyaratan “strong column weak beam” harus dipenuhi dalam merancang komponen struktur yang menahan tekan (kolom) yaitu $\sum M_c \geq 1.2 \sum M_g$

Dimana :

$\sum M_g$: Jumlah momen pada muka joint , yang berhubungan dengan kuat lentur nominal balok (termasuk pelat yang berada pada kondisi tension) yang merangka pada joint tersebut.

$\sum M_c$: Jumlah momen pada mka joint, yang berhubungan dengan kuat lentur nominal kolom yang merangka pada joint tersebut, yang dihitung untuk beban aksial terfaktor konsisten dengan arah gaya lateral yang ditinjau, yang menghasilkan kuat lentur terendah.

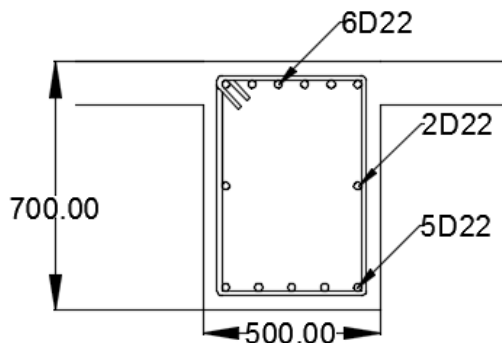
Menghitung nilai $\sum M_g$

Pada kolom yang ditinjau hanya terdapat satu balok sehingga $\sum M_g$ adalah momen nominal dari balok G57.

- M_g pada balok G57

$$b_e$$

Berdasarkan SNI 2847:2013 Pasal 13.2.4 lebar efektif flens pelat yang disertakan dengan balok yaitu :
 $b_e = b_w + 2 h_w = 500 + 2.580 = 1660 \text{ mm} \rightarrow$ menentukan
 $b_e = b_w + 8h_f = 500 + 8.120 = 1460 \text{ mm}$



Gambar 5. 21 Penampang Tumpuan Balok G57

Tinggi efektif aktual (d_{actual})

Baris	Jumlah	Diameter	Spasi	Luas	Jarak	Luas x Jarak
1	5	22	71	1907.429	64	121691.429
Jumlah	5			1907.429	64	121691.429

- Letak titik berat tulangan (dari sisi luar beton) :

$$y = \frac{121691.429}{1907.429} = 64 \text{ mm}$$

- Tinggi efektif aktual :

$$\begin{aligned}d_{\text{actual}} &= h - y \\&= 700 - 64 = 636 \text{ mm}\end{aligned}$$

Luas Tulangan (A_s)

$$\begin{aligned}A_s \text{ tekan} &= A_{s \text{ tekan}} + A_{s \text{ pelat}} \\&= 2281.714 + 2 \cdot \left(\frac{1660}{100}\right) \cdot 0.25 \cdot \pi \cdot 10^2 \cdot \frac{240}{420} \\&= 4800.848 \text{ mm}^2\end{aligned}$$

$$\begin{aligned}A_s \text{ tarik} &= A_{s \text{ tarik}} \\&= 1901.42857 \text{ mm}^2\end{aligned}$$

- Besar nilai M_g

$$M_{g1} = (A_s \times f_y - A_{s'} \times f'_s) \cdot (d - \frac{a}{2}) + A_{s'} \times f'_s \times (d - d')$$

$$M_{g1^-} = 971.0253 \text{ kNm}$$

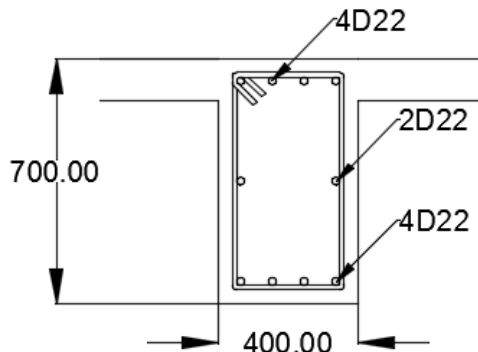
$$M_{g1^+} = 653.8305 \text{ kNm}$$

- M_g pada balok G47

b_e

Berdasarkan SNI 2847:2013 Pasal 13.2.4 lebar efektif flens yang disertakan dengan balok yaitu :

$$\begin{aligned}b_e &= b_w + 2 h_w = 400 + 2.580 = 1560 \text{ mm} \rightarrow \text{menentukan} \\b_e &= b_w + 8h_f = 400 + 8.120 = 1360 \text{ mm}\end{aligned}$$



Gambar 5. 22 Penampang Tumpuan Balok G57

Tinggi efektif aktual (d_{actual})

Baris	Jumlah	Diameter	Spasi	Luas	Jarak	Luas x Jarak
1	4	22	114	1521.143	64	97353.14286
Jumlah				1521.143	64	97353.14286

- Letak titik berat tulangan (dari sisi luar beton) :

$$y = \frac{97353.14286}{1524.143} = 64 \text{ mm}$$

- Tinggi efektif aktual :

$$\begin{aligned} d_{actual} &= h - y \\ &= 700 - 64 = 636 \text{ mm} \end{aligned}$$

Luas Tulangan (A_s)

$$\begin{aligned} A_s \text{ tekan} &= A_s \text{ tekan} + A_s \text{ pelat} \\ &= 1521.143 + 2 \cdot \left(\frac{1560}{100} \right) \cdot 0.25 \cdot \pi \cdot 10^2 \cdot \frac{240}{420} \\ &= 3888.522 \text{ mm}^2 \end{aligned}$$

$$\begin{aligned} A_s \text{ tarik} &= A_s \text{ tarik} \\ &= 1521.143 \text{ mm}^2 \end{aligned}$$

- Besar nilai Mg

$$Mg_1 = (A_s \times f_y - A_s' \times f'_s) \cdot (d - \frac{a}{2}) + A_s' \times f'_s \times (d - d')$$

$$Mg_1^- = 873.4488 \text{ kNm}$$

$$Mg_1^+ = 727.3738 \text{ kNm}$$

Menghitung Nilai $\sum M_c$

Nilai M_{nc} didapat dari diagram interaksi P-M dengan sp_column. Output dari diagram interaksi kolom atas ditunjukan pada gambar 5.11 sementara untuk diagram interaksi kolom bawah ditunjukan pada gambar 5.12. $\sum M_c$ adalah jumlah kuat nominal dari kolom dimuka sisi atas dan bawah HBK (Hubungan Balok Kolom) dari hasil penulangan terpasang akibat kombinasi beban bergaktor.

Kuat momen harus dicek pada beban aksial maksimum yang memberikan kuat momen terendah.

Factored Loads and Moments with Corresponding Capacities:											
No.	Pu kN	Mux kNm	Muy kNm	PhiMnx kNm	PhiMny kNm	PhiMn/Mu	NA depth mm	Dt mm	depth mm	eps_t	Phi
1	13938.60	62.17	180.83	1071.82	3117.67	17.241	679	970	0.00129	1.000	
2	13303.60	63.62	189.87	1047.42	3125.86	16.463	657	967	0.00141	1.000	
3	12859.40	166.38	10.93	3488.80	229.22	20.969	516	797	0.00164	1.000	
4	13565.00	20.60	258.30	276.67	3468.92	13.430	547	811	0.00145	1.000	
5	10444.10	155.61	20.40	3365.36	441.26	21.627	483	849	0.00227	1.000	
6	11149.60	9.83	226.97	151.94	3508.58	15.458	452	776	0.00216	1.000	

Gambar 5. 23 Output Diagram Interaksi P-M Kolom Atas

Factored Loads and Moments with Corresponding Capacities:											
No.	Pu kN	Mux kNm	Muy kNm	PhiMnx kNm	PhiMny kNm	PhiMn/Mu	NA depth mm	Dt mm	depth mm	eps_t	Phi
1	14046.70	102.38	279.67	1129.43	3085.36	11.032	688	978	0.00126	1.000	
2	13396.20	104.66	293.81	1102.65	3095.34	10.535	666	974	0.00139	1.000	
3	12961.50	43.71	396.30	378.97	3435.81	8.670	548	837	0.00158	1.000	
4	13667.00	256.23	23.66	3454.69	319.05	13.483	559	822	0.00142	1.000	
5	10527.40	25.97	347.84	257.75	3452.01	9.924	453	803	0.00232	1.000	
6	11232.90	24.80	24.80	2178.96	2178.96	87.865	667	1039	0.00168	1.000	

Gambar 5. 24 Output Diagram Interaksi P-M Kolom Bawah

Kontrol syarat “strong column weak beam”

Dari gambar 5.3 dan 5.4 diketahui nilai M_n atas dan M_n bawah adalah 1071.82 kNm dan 1129.43 kNm.

$$\sum M_c = M_c \text{ atas} + M_c \text{ bawah}$$

$$= 1071.82 + 1129.43 = 2201.25 \text{ kNm}$$

$$\text{Total } M_{g1} = (971.0253 + 727.3738) = 1698.399 \text{ kNm}$$

$$M_{g2} = (873.4488 + 653.8305) = 1527.279 \text{ kNm}$$

$$1.2 M_g = 1.2 \times 1698.399 = 2038.07894 \text{ kNm}$$

$\sum M_c \geq 1.2 \sum M_g \rightarrow$ Syarat "strong column weak beam" terpenuhi

5.5.2.5 Tulangan Transversal Untuk Pengekangan

Menentukan daerah pemasangan tulangan sengkang persegi(hoop). Berdasarkan SNI 2847:2013 Pasal 21.6.4.1 tulangan hoop diperlukan sepanjang l_o dari ujung – ujung kolom dengan l_o merupakan nilai terbesar dari :

- Tinggi komponen struktur di joint, $h = 800 \text{ mm}$
- $\frac{1}{6} \text{ bentang bersih komponen struktur } L_n$

$$\frac{1}{6} \cdot L_n = \frac{1}{6} \cdot 4800 - 700 = 666.667 \text{ mm}$$
- 450 mm

Menentukan spasi maksimum hoop, s_{max} , pada daerah sepanjang l_o dari ujung – ujung kolom. Berdasarkan SNI 2847:2013 Pasal 21.6.4.3 nilai s_{max} merupakan nilai terbesar dari :

- $b/4 = 800/4 = 200 \text{ mm}$
- $6 d_b = 6 \cdot 25 = 150 \text{ mm}$
- s_o, s_o tidak melebihi 150mm dan tidak perlu diambil kurang dari 100mm.

$$s_o = 100 + \frac{350 - 0.5 h s_x}{3} = \frac{350 - 0.5 \cdot (800 - (2.40) - (0.5 \cdot 16))}{3} = 98 \text{ mm} \rightarrow \text{digunakan } s = 100 \text{ mm}$$

Menentukan luas tulangan confinement. Berdasarkan SNI 2847:2013 Pasal 21.6.4.4 untuk daerah sepanjang l_o dari ujung – ujung kolom total luas penampang hoop tidak boleh kurang dari salah satu yang terbesar antara :

- $A_{sh1} = 0.3 \cdot \frac{sbc.f'c}{fyt} \cdot \left(\frac{Ag}{Ach} - 1 \right)$ dan $A_{sh2} = \frac{sbc.f'c}{fyt} \cdot 0.09$

- $b_c = \text{lebar penampang inti beton terkekang}$
 $= b - 2(ts + \frac{1}{2}ds) = 800 - 2(40 + 0.5 \cdot 16) = 704\text{mm}$
 - $A_{ch} = (b - 2ts) \cdot (h - 2ts) = (800 - 2 \cdot 40) \cdot (800 - 2 \cdot 40)$
 $= 518400 \text{ mm}^2$
 - $A_{sh1} = 0.3 \left(\frac{100.45}{420} \right) \cdot \left(\frac{640000}{518400} - 1 \right) = 530.7937 \text{ mm}^2$
 - $A_{sh2} = \frac{100.45}{420} \cdot 0.09.704 = 678.8571 \text{ mm}^2$
Digunakan 4 D16-100 mm → $A_s = 804.5714 \text{ mm}^2 > 678.8571 \text{ mm}^2 \rightarrow \text{OK}$
- Berdasarkan SNI 2847:2013 Pasal 21.6.4.5 untuk daerah sepanjang sisa tinggi kolom bersih (tinggi kolom total dikurang dengan l_o di masing-masing ujung kolom) diberi hoops dengan spasi minimum :
- $6d_b = 6 \cdot 25 = 150\text{mm}$
 - Dipakai 150mm
 - Digunakan hoop 4D16-150 mm

5.5.2.6 Tulangan Transversal untuk beban geser

Gaya geser desain yang digunakan untuk menentukan jarak dan luas tulangan transversal ditentukan dari nilai (1), tetapi tidak perlu lebih besar dari nilai (2) dan harus melebihi nilai (3).

4. $V_{e1} = \frac{M_{prc \text{ atas}} + M_{prc \text{ bawah}}}{l_u}$
5. $V_{e2} = \frac{M_{prc^+} + M_{prc^-}}{l_u}$
6. V_u Output Etabs

Perhitungan Gaya geser desain

Perhitungan V_{e1}

$M_{prc \text{ atas}}$, dan $M_{prc \text{ bawah}}$ didapat dari diagram interaksi P-M kolo. Diagram interaksi didapat dengan menggunakan $f_s = 1.25 f_y$ dan $\phi=1$. Dari gambar 5.13 dan gambar 5.14 diketahui besar $M_{prc \text{ atas}}$, dan $M_{prc \text{ bawah}}$:

$$\begin{aligned} M_{prc \text{ atas}} &= 3326.19 \text{ kNm} \\ M_{prc \text{ bawah}} &= 3404.84 \text{ kNm} \end{aligned}$$

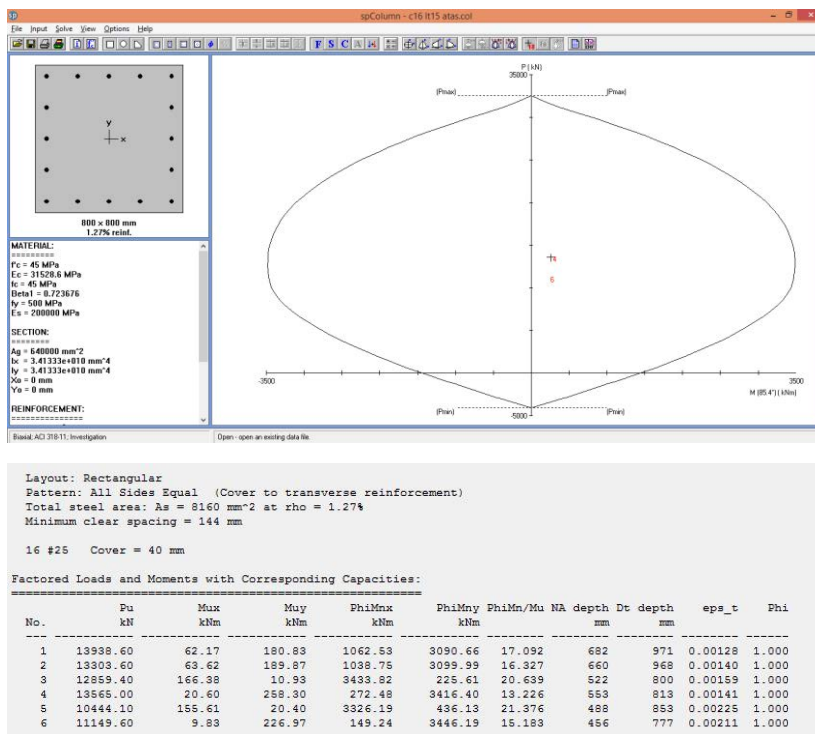
$$V_{e1} = \frac{3326.19 + 3404.84}{3.8} = 1402.298 \text{ kN}$$

V_u output etabs

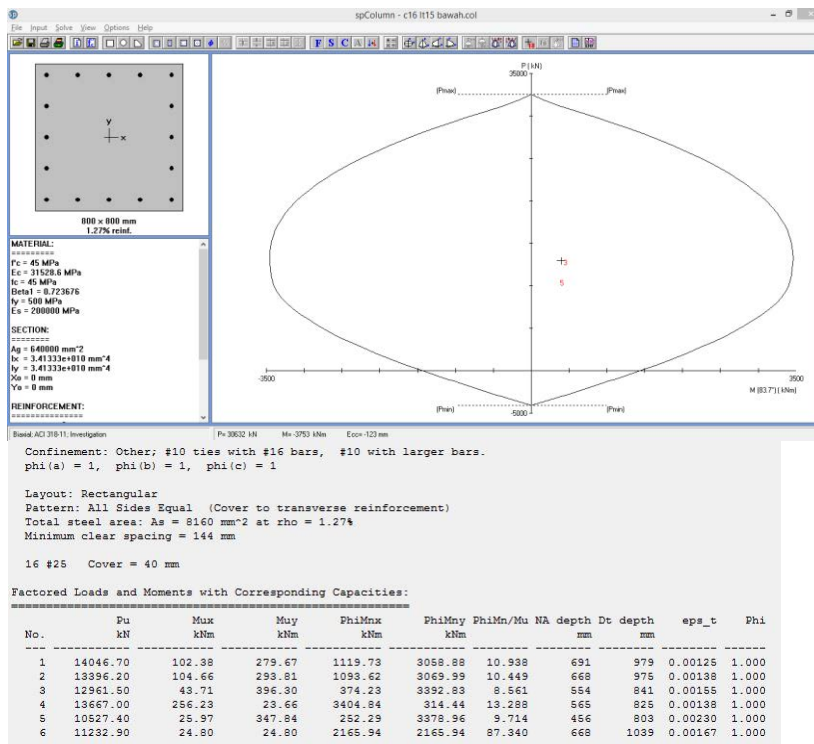
Berdasarkan output etabs didapt nilai $V_u = 163.6518 \text{ kN}$

$V_{emaks} = 1402.298 \text{ kN}, V_e > V_u \rightarrow \text{OK}$

Berdasarkan SNI 2847:2013 Pasal 21.6.5.1 perencanaan geser sudah memenuhi syarat dimana nilai V_e tidak boleh kurang dari nilai gaya geser terfaktor V_u .



Gambar 5. 25 Diagram Interaksi P-M Kolom Atas $fs=1.25f_y$



**Gambar 5. 26 Diagram Interaksi P-M Kolom Desain Bawah
 $f_s=1.25f_y$**

Perhitungan Penulangan geser

Cek apakah kontribusi beton diabaikan atau tidak

Berdasarkan SNI 2847:2013 Pasal 21.5.4.2 kontribusi beton diabaikan dalam menahan geser rencana apabila :

- Gaya geser yang ditimbulkan gempa, V_{sway} , mewakili setengah atau lebih dari kekuatan geser perlu maksimum dalam l_0 .
- $50\% V_e > V_u$

$$50\% \times 1402.298 > 163.6518$$

$$701.15 \text{ kN} > 163.6518 \text{ kN} \rightarrow \text{OK}$$

- Gaya tekan aksial terfaktor, $P_u = 14046.7 \text{ kN}$ kurang dari $A_g f'c / 20$
- $$\frac{A_g f'c}{20} = \frac{640000.45}{20} = 1440000 = 1440 \text{ kN}$$
- $$P_u > \frac{A_g f'c}{20} \rightarrow \text{diperhitungkan}$$

Berdasarkan SNI 2847:2013 Pasal 11.2.1.2 perhitungan kuat geser beton bila ikut berkontribusi menahan geser adalah :

$$\begin{aligned} V_c &= 0.17 \left(1 + \frac{Nu}{14.Ag}\right) \lambda \sqrt{f'c} \cdot bw \cdot d \\ &= 0.17 \left(1 + \frac{14046700}{14.640000}\right) \cdot 1 \cdot \sqrt{45} \cdot 800 \cdot (800 - 40 - \\ &\quad 16 - \frac{25}{2}) \\ &= 667360.6 \text{ N} = 667.360 \text{ kN} \end{aligned}$$

Hitung tulangan transversal penahan geser untuk daerah sepanjang l_o dari ujung – ujung kolom. Besarnya nilai V_s dihitung berdasarkan tulangan sengkang terpasang 4D16 dengan nilai :

$$A_v = 4 \cdot 0.25 \cdot \pi \cdot d^2 = 804.571 \text{ mm}^2 \text{ dengan } s = 100\text{mm}$$

$$\begin{aligned} V_s &= \frac{As.fy.d}{s} = \frac{804.571.420 \cdot \left(800 - 40 - 16 - \frac{25}{2}\right)}{100} = 2471885 \text{ N} \\ &= 2471.885 \text{ kN} \end{aligned}$$

$$\emptyset(V_c + V_s) = 0.75 \cdot (667.36 + 2471.885) = 2354.434 > 1402.297 \rightarrow \text{OK}$$

Untuk tulangan transversal penahan geser berdasarkan SNI 2847:2013 Pasal 21.6.4.5 untuk daerah sepanjang sisa tinggi kolom bersih (tinggi kolom total dikurang dengan l_o di masing-masing ujung kolom) digunakan spasi minimum :

- $6d_b = 6 \cdot 25 = 150 \text{ mm}$
- 150 mm

Digunakan sengkang diluar sendi plastis 4D16-150 mm

5.5.2.7 Sambungan lewatan

Karena seluruh tulangan pada sambungan lewatan disalurkan pada lokasi yang sama, maka sambungan lewatan yang digunakan tergolong kelas B. Berdasarkan SNI 2847:2013 Pasal 12.15.1 untuk sambungan kelas B panjang minimum sambungan lewatannya adalah 1.3 ld dengan nilai $K_{tr} = 0$ untuk penyederhanaan desain.

$$D_b = 25\text{mm}$$

$$\psi_e = 1 (\text{situasi lainnya})$$

$$\psi_t = 1.3 (\text{tulangan tanpa pelapis})$$

$$\lambda = 1 (\text{beton Normal}) f'_c = 45 \text{ Mpa}$$

$$\psi_s = 1 (\text{tulangan } > D_{25})$$

$$L_d = D_b \times \frac{f_y \times \psi_t \times \psi_e}{1.7 \times \lambda \times \sqrt{f'_c}} = 25 \times \frac{420 \times 1.3 \times 1}{1.7 \times 1 \times \sqrt{45}}$$

$$L_d = \left(\frac{f_y \cdot \psi_s \cdot \psi_t \cdot \psi_e}{1.1 \cdot \lambda \cdot \sqrt{f'_c} \cdot \left(\frac{c_b + K_{tr}}{d_b} \right)} \right) x db$$

c_b adalah nilai terkecil dar parameter dibawah ini :

$$c_1 = 40 + 16 + 25/2 = 68.5 \text{ mm}$$

$$c_2 = \frac{800 - 2 \cdot (40 + 16) - 25 \cdot 6}{(6-1)} = 56.3 \text{ mm}$$

Maka $c_b = 56.3 \text{ mm}$

$$\frac{56.3 + 0}{25} = 2.252 < 2.5 \rightarrow \text{ambil } 2.252$$

$$L_d = \left(\frac{420 \cdot 1 \cdot 1.3 \cdot 1}{1.1 \cdot 1 \cdot \sqrt{45} \cdot 2.252} \right) x 25 = 821.4201 \text{ mm}$$

$$1.3 l_d = 1.3 \cdot 821.4201 = 1067.846 \text{ mm}$$

Digunakan sambungan lewatan sepanjang 1100 mm

5.5.2.8 Hubungan Balok – Kolom

A. Hubungan Balok kolom Tengah

Cek syarat panjang joint

Berdasarkan SNI 2847:2013 Pasal 21.7.2.3 dimensi kolom yang sejajar dengan tulangan balok tidak boleh kurang dari 20 kali diameter tulangan longitudinal terbesar :

$$b = 800 \text{ mm}$$

$$h = 800 \text{ mm}$$

$$20d_b = 20 \cdot 25 = 500 \text{ mm}$$

$$b, h \geq 20d_b \rightarrow \text{OK}$$

Menghitung luas efektif joint

Berdasarkan SNI 2847:2013 Pasal 21.7.4.1 A_j merupakan perkalian tinggi joint dengan lebar efektif.

$$b = 500 \text{ mm}$$

$$h = 700 \text{ mm}$$

$$x = (800 - 500)/2 = 150 \text{ mm}$$

$$\text{Tinggi joint} = h = 700 \text{ mm}$$

Lebar joint efektif merupakan nilai terkecil dari :

- $b+h = 500 + 700 = 1200 \text{ mm}$
 - $b + 2x = 500 + 300 = 800 \text{ mm} \rightarrow \text{Dipakai}$
- $A_j = \text{tinggi joint} \times \text{lebar efektif joint} = 700 \times 800 = 560000 \text{ mm}^2$

Menghitung tulangan transversal untuk confinement

Berdasarkan SNI 2847:2013 Pasal 21.7.3.2 spasi tulangan confinement diijinkan untuk diperbesar hingga 150 mm.

Dipakai s = 150 mm

Menghitung gaya geser pada joint

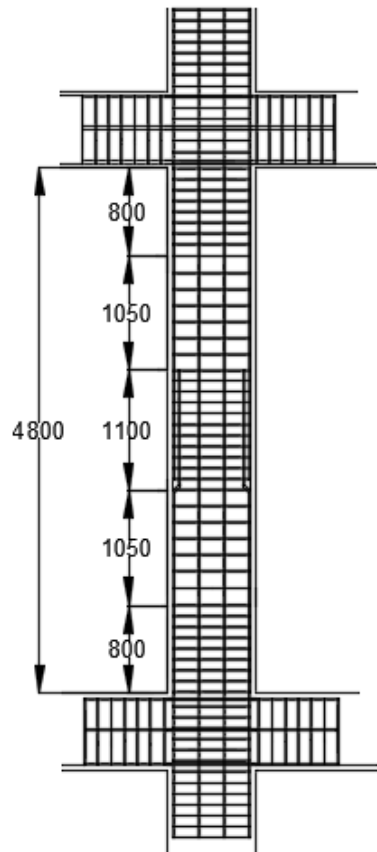
- Hitung M_e
Balok yang masuk pada joint mempunyai $M_{pr} = 939.3058$ kNm dan $M_{pr} = 674.2784$ kNm. Pada joint, kekakuan kolom atas dan bawah adalah sama.
 $M_e = (939.3058 + 674.2784)/2$ kNm = 806.792 kNm
- Hitung geser pada kolom atas
 $V_{sway} = \frac{Me + M_e}{tu} = \frac{806.792 + 806.792}{4.1} = 393.5571$ kN
- Hitung gaya pada tulangan balok longitudinal
Berdasarkan SNI 2847:2013 Pasal 21.7.2.1 dalam perhitungan diasumsikan bahwa tegangan pada tulangan tarik lentur adalah 1.25fy
 - ➔ Gaya tarik pada tulangan balok di bagian kanan
 A_s balok kanan 4D22 = 1521.143 mm²
 $T = A_s \times 1.25fy = 1521.143 \times 1.25 \times 420 = 798.6$ kN
 - ➔ Gaya tarik pada tulangan balok di bagian kiri
 A_s balok kanan 3D22 = 1140.857 mm²
 $T = A_s \times 1.25fy = 1140.857 \times 1.25 \times 420 = 598.9$ kN
- Hitung gaya geser pada joint
 $V_j = T - V_{sway}$
 $= (798.6 + 598.9) - 393.5571 = 1003.99288$ kN

Cek kuat geser joint

Berdasarkan SNI 2847:2013 Pasal 21.7.4.1 kuat geser joint yang dikekang di 4 muka yang berlawanan adalah

$$\begin{aligned}
 V_n &= 1.7 \sqrt{f'c} \cdot A_j \\
 &= 1.7 \cdot \sqrt{45} \cdot 560000 \\
 &= 6386210.144 \text{ N} = 6386.210 \text{ kN}
 \end{aligned}$$

$$FV_n = 0.75 \times 6386.210 = 4789.657 > V_j = 1003.993 \rightarrow \text{OK}$$



Gambar 5. 27 Detail Penulangan Kolom C16 800 x 800

5.6 Perencanaan Shear Wall

Pada tugas akhir ini terdapat lima buah shearwall yang akan dianalisa berdasarkan gaya – gaya dalam yang bekerja pada shearwall

5.6.1 Data Perencanaan Shear Wall P1

- Tinggi Dinding (h_w) = 3800mm
- Tebal Dinding (h) = 500 mm
- Panjang dinding P1 = 5550 mm
- Panjang dinding P2 = 3000 mm
- Panjang dinding P1 = 5550 mm
- Panjang dinding P2 = 3000 mm
- Mutu Beton (f'_c) = 45 MPa
- Mutu Baja (f_y) = 420 MPa
- Ø tulangan longitudinal = 25 mm
- Ø tulangan transversal = 16 mm

5.6.2 Kontrol Kapasitas Beban Aksial Dinding Geser

Berdasarkan SNI 2847:2013 Pasal 14.5.2 kapasitas beban aksial shearwall tidak boleh kurang dari beban aksial terfaktor hasil analisa struktural, sehingga :

$$\phi \times P_{nv} = 0.55 \times \phi \times f'_c \times Ag \times \left(1 - \left(\frac{k \times lc}{32 \times h}\right)^2\right)$$

Nilai k = 0.8 → untuk dinding yang ditahan pada bagian puncak dan dasarnya terhadap translasi lateral dan dikekang terhadap rotasi pada kedua ujungnya maka diperoleh :

- Panel 1

$$\begin{aligned}\emptyset x Pnv &= 0.55 x \emptyset x f' cx Ag x (1 - \left(\frac{k x lc}{32 x h} \right)^2) \\ &= 0.55 x 0.75 x 45 x (5500 x 500) x (1 - \\ &\quad \left(\frac{0.8 x 3800}{32 x 500} \right)^2) = 49651393 \text{ kN}\end{aligned}$$

- Panel 2

$$\begin{aligned}\emptyset x Pnv &= 0.55 x \emptyset x f' cx Ag x (1 - \left(\frac{k x lc}{32 x h} \right)^2) \\ &= 0.55 x 0.75 x 45 x (3000 x 500) x (1 - \\ &\quad \left(\frac{0.8 x 3800}{32 x 500} \right)^2) = 26838591 \text{ kN}\end{aligned}$$

- Panel 3

$$\begin{aligned}\emptyset x Pnv &= 0.55 x \emptyset x f' cx Ag x (1 - \left(\frac{k x lc}{32 x h} \right)^2) \\ &= 0.55 x 0.75 x 45 x (5500 x 500) x (1 - \\ &\quad \left(\frac{0.8 x 3800}{32 x 500} \right)^2) = 49651393 \text{ kN}\end{aligned}$$

- Panel 4

$$\begin{aligned}\emptyset x Pnv &= 0.55 x \emptyset x f' cx Ag x (1 - \left(\frac{k x lc}{32 x h} \right)^2) \\ &= 0.55 x 0.75 x 45 x (3000 x 500) x (1 - \\ &\quad \left(\frac{0.8 x 3800}{32 x 500} \right)^2) = 26838591 \text{ kN}\end{aligned}$$

5.6.3 Kontrol Dimensi Penampang Terhadap Gaya Geser

Untuk semua segmen shearwall harus memenuhi persyaratan SNI 2847:2013 Pasal 21.9.4.4 , dimana nilai V_n tidak boleh lebih besar dari $0.66 A_{cv} \sqrt{f'c}$

- Panel 1

$$V_{nx} = \frac{Vu_1}{\phi} = \frac{1460}{0.75} = 1947249 \text{ kN}$$

$$A_{cv1} = l_{wx} \times t = 5550 \times 500 = 2775000 \text{ mm}^2$$

$$0.66 A_{cv} \sqrt{f'c} = 0.66 \times 2775000 \times \sqrt{45} = 12286076 \text{ kN}$$

$$V_{nx} < 0.66 A_{cv} \sqrt{f'c} \rightarrow \text{OK}$$

- Panel 2

$$V_{nx} = \frac{Vu_1}{\phi} = \frac{567}{0.75} = 756379.9 \text{ kN}$$

$$A_{cv1} = l_{wx} \times t = 3000 \times 500 = 1500000 \text{ mm}^2$$

$$0.66 A_{cv} \sqrt{f'c} = 0.66 \times 1500000 \times \sqrt{45} = 6641122 \text{ kN}$$

$$V_{nx} < 0.66 A_{cv} \sqrt{f'c} \rightarrow \text{OK}$$

- Panel 3

$$V_{nx} = \frac{Vu_1}{\phi} = \frac{1708}{0.75} = 2277946 \text{ kN}$$

$$A_{cv1} = l_{wx} \times t = 5550 \times 500 = 2775000 \text{ mm}^2$$

$$0.66 A_{cv} \sqrt{f'c} = 0.66 \times 2775000 \times \sqrt{45} = 12286076 \text{ kN}$$

$$V_{nx} < 0.66 A_{cv} \sqrt{f'c} \rightarrow \text{OK}$$

- Panel 4

$$V_{nx} = \frac{Vu_1}{\phi} = \frac{722.38}{0.75} = 963174.1 \text{ kN}$$

$$A_{cv1} = l_{wx} \times t = 3000 \times 500 = 1500000 \text{ mm}^2$$

$$0.66 A_{cv} \sqrt{f'c} = 0.66 \times 1500000 \times \sqrt{45} = 6641122 \text{ kN}$$

$$V_{nx} < 0.66 A_{cv} \sqrt{f'c} \rightarrow \text{OK}$$

5.6.4 Perhitungan Jumlah Lapis Tulangan yang Dibutuhkan

Berdasarkan SNI 2847:2013 Pasal 21.9.2.2 bila V_u melebihi $0.17 \lambda \cdot A_{cv} \cdot \sqrt{f'c}$ harus digunakan dua tirai tulangan

- Panel 1

$$A_{cv} = 1 \times h = 2775000 \text{ mm}^2$$

$$V_{u1} \geq 0.17 \lambda \cdot A_{cv} \cdot \sqrt{f'c}$$

$$1947249 < 0.17 \cdot 1 \cdot 2775000 \cdot \sqrt{45} = 3164595 \rightarrow 1$$

Tirai

- Panel 2

$$A_{cv} = 1 \times h = 1500000$$

$$V_{u2} \geq 0.17 \lambda \cdot A_{cv} \cdot \sqrt{f'c}$$

$$756379.9 \geq 0.17 \cdot 1 \cdot 1500000 \cdot \sqrt{45} = 1710592 \rightarrow 1$$

Tirai

- Panel 3

$$A_{cv} = 1 \times h = 2775000 \text{ mm}^2$$

$$V_{u3} \geq 0.17 \lambda \cdot A_{cv} \cdot \sqrt{f'c}$$

$$2277946 < 0.17 \cdot 1 \cdot 2775000 \cdot \sqrt{45} = 3164595 \rightarrow 1$$

Tirai

- Panel 4

$$A_{cv} = 1 \times h = 1500000$$

$$V_{u4} \geq 0.17 \lambda \cdot A_{cv} \cdot \sqrt{f'c}$$

$$963174 \geq 0.17 \cdot 1 \cdot 1500000 \cdot \sqrt{45} = 1710592 \rightarrow 1$$

Tirai

5.6.5 Perhitungan Kuat Geser yang Disumbangkan Beton

Menentukan kuat geser beton (V_c) berdasarkan SNI 2847:2013 Pasal 11.9.6 dimana V_c diambil yang lebih kecil diantara persamaan berikut :

- Panel 1

$$d = 0.8 \times l_w = 4440 \text{ mm}$$

$$V_{c1} = 0.27 \cdot \lambda \cdot \sqrt{f'c} \cdot h \cdot d + \frac{Pu \cdot d}{4 \cdot l_w}$$

$$= 0.27 \cdot 1 \cdot \sqrt{45} \cdot 500 \cdot 4440 + \frac{49651393 \cdot 4440}{4.5550}$$

$$= 13951176 \text{ N}$$

$$V_{c2} = \left[0.05 \cdot \lambda \cdot \sqrt{f'c} \cdot \frac{l_w \cdot (0.1 \cdot \lambda \cdot \sqrt{f'c} + 0.2 \cdot \frac{Pu}{l_w \cdot h})}{\frac{M_{ux}}{V_{ux}} \cdot \frac{l_w}{2}} \right] \cdot h \cdot d$$

$$= \left[0.05 \cdot 1 \cdot \sqrt{45} + \frac{5550 \cdot (0.1 \cdot 1 \cdot \sqrt{45} + 0.2 \cdot \frac{49651393}{5550 \cdot 500})}{\frac{33834585700}{1460437} \cdot \frac{5550}{2}} \right] \cdot 500.4440$$

$$= 15005680 \text{ N}$$

Digunakan $V_c = 13951176 = 13951.18 \text{ kN}$

- Panel 2

$$d = 0.8 \times l_w = 2400 \text{ mm}$$

$$V_{c1} = 0.27 \cdot \lambda \cdot \sqrt{f'c} \cdot h \cdot d + \frac{Pu \cdot d}{4 \cdot l_w}$$

$$= 0.27 \cdot 1 \cdot \sqrt{45} \cdot 500.2400 + \frac{26838591 \cdot 2400}{4.3000}$$

$$= 50749927 = 50749.927 \text{ kN}$$

$$V_{c2} = \left[0.05 \cdot \lambda \cdot \sqrt{f'c} + \frac{l_w \cdot (0.1 \cdot \lambda \cdot \sqrt{f'c} + 0.2 \cdot \frac{Pu}{l_w \cdot h})}{\frac{M_{ux}}{V_{ux}} \cdot \frac{l_w}{2}} \right] \cdot h \cdot d$$

$$= \left[0.05 \cdot 1 \cdot \sqrt{45} + \frac{3000 \cdot (0.1 \cdot 1 \cdot \sqrt{45} + 0.2 \cdot \frac{26838591}{3000 \cdot 500})}{\frac{859294900}{58624.4} \cdot \frac{3000}{2}} \right] \cdot 500.2400$$

$$= 1862622 = 1862.622 \text{ kN}$$

Digunakan $V_c = 1862.622 \text{ kN}$

- Panel 3

$$d = 0.8 \times l_w = 4440 \text{ mm}$$

$$V_{c1} = 0.27 \cdot \lambda \cdot \sqrt{f'c} \cdot h \cdot d + \frac{Pu \cdot d}{4 \cdot l_w}$$

$$= 0.27 \cdot 1 \cdot \sqrt{45} \cdot 500 \cdot 4440 + \frac{49651393 \cdot 4440}{4.5550}$$

$$= 13951176 \text{ N}$$

$$V_{c2} = \left[0.05 \cdot \lambda \cdot \sqrt{f'c} \cdot \frac{l_w \cdot (0.1 \cdot \lambda \cdot \sqrt{f'c} + 0.2 \cdot \frac{Pu}{l_w \cdot h})}{\frac{M_{ux}}{V_{ux}} \cdot \frac{l_w}{2}} \right] \cdot h \cdot d$$

$$= \left[0.05 \cdot 1 \cdot \sqrt{45} + \frac{5550 \cdot (0.1 \cdot 1 \cdot \sqrt{45} + 0.2 \cdot \frac{49651393}{5550 \cdot 500})}{\frac{16185961300}{1571131} \cdot \frac{5550}{2}} \right] \cdot 500.4440$$

$$= 6725180 \text{ N}$$

Digunakan $V_c = 6725.18$

- Panel 4

$$d = 0.8 \times l_w = 2400 \text{ mm}$$

$$V_{c1} = 0.27 \cdot \lambda \cdot \sqrt{f'c} \cdot h \cdot d + \frac{P_u \cdot d}{4 \cdot l_w}$$

$$= 0.27 \cdot 1 \cdot \sqrt{45} \cdot 500.2400 + \frac{26838591 \cdot 2400}{4 \cdot 3000}$$

$$= 50749927 = 50749.927 \text{ kN}$$

$$V_{c2} = \left[0.05 \cdot \lambda \cdot \sqrt{f'c} + \frac{l_w \cdot (0.1 \cdot \lambda \cdot \sqrt{f'c}) + 0.2 \cdot \frac{P_u}{l_w \cdot h}}{\frac{M_{ux}}{V_{ux}} \cdot \frac{l_w}{2}} \right] \cdot h \cdot d$$

$$= \left[0.05 \cdot 1 \cdot \sqrt{45} + \frac{3000 \cdot (0.1 \cdot 1 \cdot \sqrt{45}) + 0.2 \cdot \frac{26838591}{3000 \cdot 500}}{\frac{1084500600}{67557.7} \cdot \frac{3000}{2}} \right] \cdot 500.2400$$

$$= 1628474 = 1628.474 \text{ kN}$$

Digunakan $V_c = 1628.474 \text{ kN}$

5.6.6 Perhitungan Tulangan Transversal Dan Longitudinal

Berdasarkan SNI 2847:2013 Pasal 11.9.9.3 spasi tulangan transversal tidak boleh melebihi dari poin berikut :

- $L_w/5 = \frac{3000}{5} = 600 \text{ mm}$
- $3.h = 3 \cdot 500 = 1500 \text{ mm}$
- 450 mm

Hitung tulangan transversal untuk menahan geser

- Panel 1

$$V_s = \frac{V_{ux}}{\emptyset} - V_c = \frac{1460437}{0.75} - 4020926 = -2073676.3$$

Digunakan tulangan transversal 2D16 dengan $s = 150\text{mm}$
 $\rightarrow A_{vt} = 402 \text{ mm}^2$

$$V_s = \frac{A_{vt} \cdot f_y \cdot d}{s} = \frac{402 \cdot 420.4440}{150} = -5001.216 \text{ kN}$$

Kontrol rasio tulangan minimum :

Berdasarkan SNI 2847:2013 Pasal 11.9.9.2, rasio dari tulangan geser horizontal terhadap luas bruto penampang vertical dinding, ρ_u , tidak boleh kurang dari 0.0025.

$$\rho_t = \frac{Avt}{t.s} = \frac{402}{500.150} = 0.00536 > 0.0025 \rightarrow \text{OK}$$

- Panel 2

$$V_s = \frac{V_{ux}}{\emptyset} - V_c = \frac{58624.4}{0.75} - 1769072 = -1690.90 \text{ kN}$$

Digunakan tulangan transversal 2D16 dengan s = 150mm
 $\rightarrow A_{vt} = 402 \text{ mm}^2$

$$V_s = \frac{Avt.fy.d}{s} = \frac{402.420.2400}{150} = 2703.36 \text{ kN}$$

Kontrol rasio tulangan minimum :

Berdasarkan SNI 2847:2013 Pasal 11.9.9.2, rasio dari tulangan geser horizontal terhadap luas bruto penampang vertical dinding, ρ_u , tidak boleh kurang dari 0.0025.

$$\rho_t = \frac{Avt}{t.s} = \frac{402}{500.150} = 0.00536 > 0.0025 \rightarrow \text{OK}$$

- Panel 3

$$V_s = \frac{V_{ux}}{\emptyset} - V_c = \frac{1571131}{0.75} - 4020926 = -1926.08 \text{ kN}$$

Digunakan tulangan transversal 2D16 dengan s = 150mm
 $\rightarrow A_{vt} = 402 \text{ mm}^2$

$$V_s = \frac{Avt.fy.d}{s} = \frac{402.420.4440}{150} = 5001.216 \text{ kN}$$

Kontrol rasio tulangan minimum :

Berdasarkan SNI 2847:2013 Pasal 11.9.9.2, rasio dari tulangan geser horizontal terhadap luas bruto penampang vertical dinding, ρ_u , tidak boleh kurang dari 0.0025.

$$\rho_t = \frac{Avt}{t.s} = \frac{402}{500.150} = 0.00536 > 0.0025 \rightarrow \text{OK}$$

- Panel 4

$$V_s = \frac{V_{ux}}{\emptyset} - V_c = \frac{67557.5}{0.75} - 1628474 = -1538.4 \text{ kN}$$

Digunakan tulangan transversal 2D16 dengan s = 150mm
 $\rightarrow A_{vt} = 402 \text{ mm}^2$

$$V_s = \frac{Avt.fy.d}{s} = \frac{402.420.2400}{150} = 2703.36 \text{ kN}$$

Kontrol rasio tulangan minimum :

Berdasarkan SNI 2847:2013 Pasal 11.9.9.2, rasio dari tulangan geser horizontal terhadap luas bruto penampang vertical dinding, ρ_u , tidak boleh kurang dari 0.0025.

$$\rho_t = \frac{Avt}{t.s} = \frac{402}{500.150} = 0.00536 > 0.0025 \rightarrow \text{OK}$$

Hitung tulangan longitudinal menahan geser

Berdasarkan SNI 2847:2013 Pasal 11.9.4, rasio dari tulangan geser vertical terhadap luas bruto penampang horizontal dinding, ρ_u , tidak boleh kurang dari :

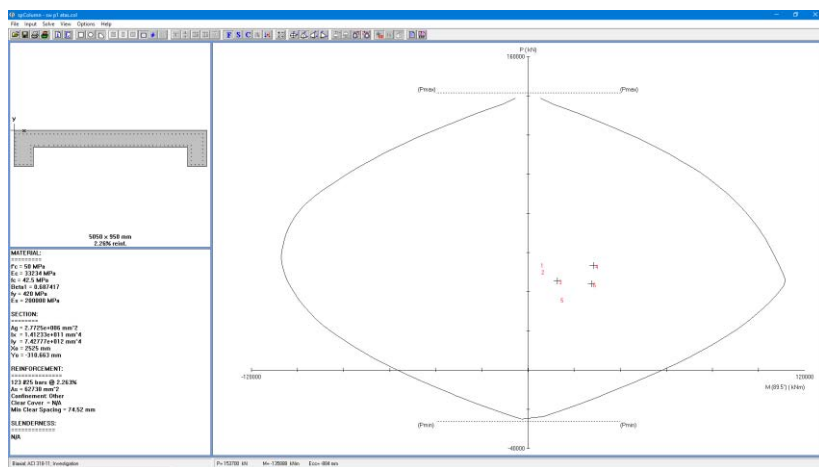
$$\begin{aligned}\rho_n &= 0.0025 + 0.5 \cdot (2.5 + \frac{hw}{lw}) \cdot (\rho_h - 0.0025) \\ &= 0.0025 + 0.5 \cdot (2.5 + \frac{3800}{5550}) \cdot (0.00536 - 0.0025) \\ &= 0.00706\end{aligned}$$

$$\begin{aligned}A_v &= \rho_n \cdot h \cdot s_1, \text{ direncanakan } s_1 = 100\text{mm} \\ &= 0.00706 \cdot 500 \cdot 100 \\ &= 353.008 \text{ mm}^2\end{aligned}$$

Digunakan tulangan longitudinal direncanakan menggunakan D25-100 ($A_v = 491.07 \text{ mm}^2$)

Kontrol tulangan penahan kombinasi aksial dan lentur

Dari hasil perhitungan sebelumnya telah didapatkan tulangan longitudinalnya yaitu D25-100. Pengecekan dilakukan dengan diagram interaksi P-M hasil program Spcolumn. Dari gambar 5.22 diketahui bahwa persyaratan tulangan shear wall yang dirancang masih memenuhi persyaratan.



Gambar 5. 28 Diagram Interaksi P-M Shear Wall

5.6.7 Kuat Geser Nominal Dinding Geser

$$\text{ØV}_n = A_{cv} (\alpha_c \cdot \sqrt{f'c} + \rho t \cdot F_y)$$

- Panel 1

$$\frac{hw}{lw} = \frac{192.6 \times 1000}{5550} = 34.7$$

$$\alpha_c = 0.17$$

$$\text{ØV}_n = A_{cv} (\alpha_c \cdot \sqrt{f'c} + \rho t \cdot F_y)$$

$$= 0.55 \times 2775000 (0.17 \cdot \sqrt{45} + 0.00536 \cdot 420)$$

$$= 5178863 \text{ N} > 1460437 \text{ N}$$

- Panel 2

$$\frac{hw}{lw} = \frac{192.6 \times 1000}{3000} = 64.2$$

$$\alpha_c = 0.17$$

$$\text{ØV}_n = A_{cv} (\alpha_c \cdot \sqrt{f'c} + \rho t \cdot F_y)$$

$$\begin{aligned}
 &= 0.55 * 1500000 (0.17. \sqrt{45} + 0.00536. 420) \\
 &= 2799386 \text{ N} > 58624.4 \text{ N}
 \end{aligned}$$

- Panel 3

$$\frac{hw}{lw} = \frac{192.6 * 1000}{5550} = 34.7$$

$$\alpha_c = 0.17$$

$$\begin{aligned}
 \bar{\Omega}V_n &= A_{cv} (\alpha_c. \sqrt{f'c} + \rho t. F_y) \\
 &= 0.55 * 2775000 (0.17. \sqrt{45} + 0.00536. 420) \\
 &= 5178863 \text{ N} > 1571131 \text{ N}
 \end{aligned}$$

- Panel 4

$$\frac{hw}{lw} = \frac{192.6 * 1000}{3000} = 64.2$$

$$\alpha_c = 0.17$$

$$\begin{aligned}
 \bar{\Omega}V_n &= A_{cv} (\alpha_c. \sqrt{f'c} + \rho t. F_y) \\
 &= 0.55 * 1500000 (0.17. \sqrt{45} + 0.00536. 420) \\
 &= 2799386 \text{ N} > 67557.5 \text{ N}
 \end{aligned}$$

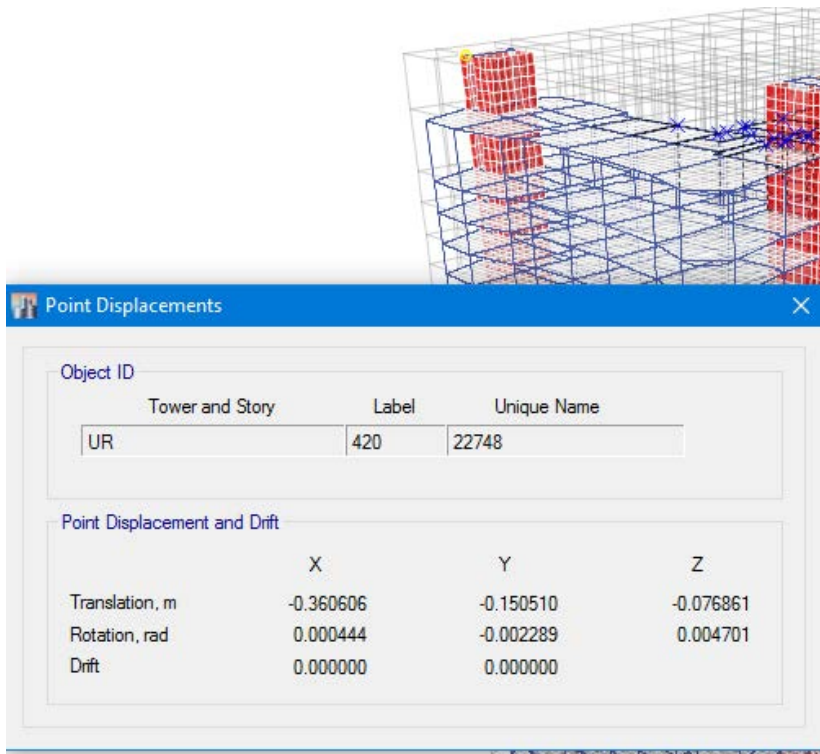
5.6.8 Kontrol dan Desain elemen pembatas

1. Perhitungan apakah dibutuhkan elemen pembatas khusus

Berdasarkan SNI 2847:2013 Pasal 21.9.6.2 penentuan elemen pembatas khusus berdasarkan pendekatan perpindahan (Displacement method) dimana elemen pembatas diperlukan apabila :

$c \geq \frac{lw}{600(\frac{\delta u}{hw})}$, dan $(\frac{\delta u}{hw})$ tidak boleh diambil kurang dari

0.007. Nilai δu adalah nilai displacement pada lantai tertinggi pada masing – masing arah.



Gambar 5.29 Besaran *Joint Displacement* Dinding Geser

Dari gambar 5.23 didapatkan nilai δu yaitu sebesar 360 mm, sehingga :

- $(\frac{\delta u}{hw}) = (\frac{360}{196200}) = 0.0018$
- $(\frac{\delta u}{hw}) < 0.007 \rightarrow$ dipakai $(\frac{\delta u}{hw}) = 0.007$
- $\frac{lw}{600 \cdot (\frac{\delta u}{hw})} = \frac{5500}{600 \cdot (0.007)} = 1309.52 \text{ mm}$

Dari output sp_column didapatkan nilai c sebesar 1724 mm.

$$1724 \geq 1309.52$$

$$c \geq \frac{l_w}{600 \cdot (\frac{\delta_u}{h_w})} \rightarrow \text{dibutuhkan elemen pembatas}$$

2. Penentuan panjang elemen pembatas khusus

Dari ketentuan diatas, panel tersebut harus diberi elemen pembatas. Berdasarkan SNI 2847:2013 pasal 21.9.6.4, elemen pembatas harus dipasang secara horizontal dari sisi serat tekan terluar tidak kurang daripada ($c - 0.1 l_w$) dan $c/2$

- $(1724 - 0.1 \cdot 5500) = 1174 \text{ mm}$
- $c/2 = 1724/2 = 862 \text{ mm}$

Direncanakan sengkang 6D16-300 ($A_s = 1206.372 \text{ mm}^2$)

Maka dengan clear cover 50mm panjang boundary element terpasang sebesar 1174 mm

Berdasarkan SNI 2847:2013 Pasal 23.6.4.4, bahwa luas tulangan sengkang tidak boleh kurang dari :

$$A_{sh} = 0.3 \times \left(\frac{s \cdot b_c \cdot f'c}{f_y t} \right) \cdot \left(\frac{A_g}{A_{ch}} - 1 \right) \text{ dan}$$

$$A_{sh} = 0.09 \cdot \left(\frac{s \cdot b_c \cdot f'c}{f_y t} \right)$$

Didapatkan :

$$A_{sh} = 0.3 \times \left(\frac{300 \cdot (500 - 2\left(50 + \frac{16}{2}\right)) \cdot 45}{420} \right) \cdot \left(\frac{1174 \times 500}{(1174 - 50) \times (500 - 50)} - 1 \right)$$

$$= 594.44 \text{ mm}^2$$

$$A_{sh} = 0.09 \cdot \left(\frac{s \cdot b_c \cdot f'c}{f_y t} \right)$$

$$= 1110.85 \text{ mm}^2 < A_v = 1206.372 \text{ mm}^2 \rightarrow \text{OK}$$

BAB VI

ANALISA P-DELTA

6.1 Prosedur Analisa P-Delta

Dalam Tugas akhir ini akan dilakukan analisa p-delta dimana analisa p-delta akan dilakukan secara otomatis pada program bantu ETABS dengan berdasar pada SNI 1726:2012 Pasal 7.8.7 , juga dengan berdasarkan analisa P-delta pada struktur gedung ini akan di cek kestabilan dari struktur.

P-Delta option yang akan digunakan pada analisa yaitu berupa iterative based on loads dimana beban yang bekerja adalah beban – beban vertical sebagai contohnya beban dead (beban sendiri) , live (beban hidup), dan Superimposed dead load (beban mati tambahan).

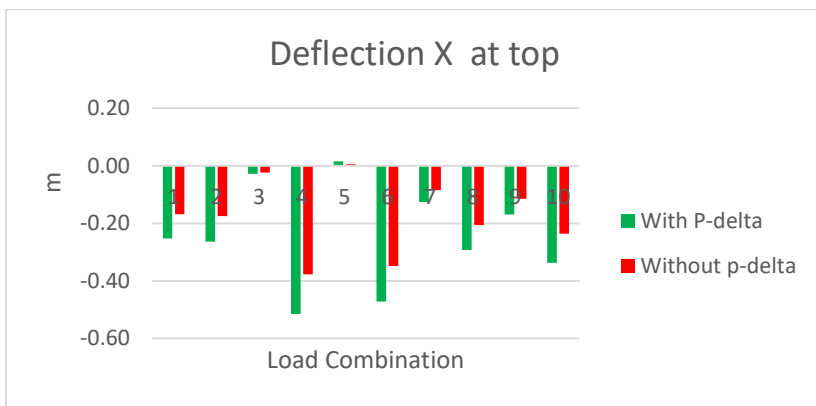
6.2 Analisa P-Delta

Pada hasil analisa sebelumnya dimana efek P-delta diabaikan akan dibandingkan dengan hasil analisa setelah efek P-delta diikutsertakan dalam analisa.Pada Tugas Akhir ini akan ditinjau bagian yang ditinjau adalah pada kolom ekterior serta balok yang berdekatan. Perbandingan Antara sebelum dan sesudah efek P-delta dapat dilihat pada table – table serta grafik – grafik berikut :

1. Pada tabel 6.1 diperoleh persen perbedaan yang apabila dirata – rata $> 10\%$ maka pengaruh P-Delta dalam analisa defleksi arah X harus dipertimbangkan dalam analisa struktur.

Tabel 6. 1 Tabel Perbandingan Defleksi Arah X Pada Atap

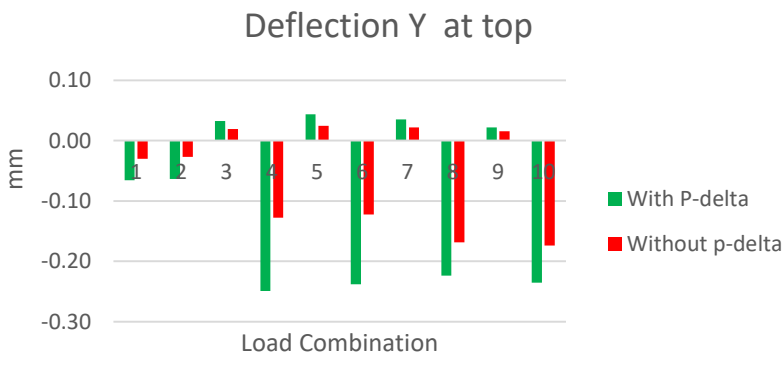
Deflection X at Top (mm)				
No	Load Case	Without p-delta	With P-delta	% Difference
1	1.4D	-0.17	-0.25	50.58%
2	1.2D+1.6L	-0.17	-0.26	50.74%
3	1.2D+1.3Qex+0.1213D Max	-0.02	-0.03	19.25%
4	1.2D+1.3Qex+0.1213D Min	-0.38	-0.52	36.62%
5	1.2D+1.3Qex-0.1213D Max	0.006	0.016	182.73%
6	1.2D+1.3Qex-0.1213D Min	-0.35	-0.47	35.45%
7	1.2D+1.3Qey+0.1213D Max	-0.09	-0.13	47.54%
8	1.2D+1.3Qey+0.1213D Min	-0.21	-0.29	41.90%
9	1.2D+1.3Qey-0.1213D Max	-0.11	-0.17	48.32%
10	1.2D+1.3Qey-0.1213D Min	-0.24	-0.34	42.97%

**Gambar 6. 1 Grafik Defleksi X Perbandingan P-Delta Dengan Tanpa P-Delta Tiap Load Combinationnya**

2. Pada tabel 6.2 diperoleh persen perbedaan yang apabila dirata – rata > 10% maka pengaruh P-Delta dalam analisa defleksi arah Y harus dipertimbangkan dalam analisa struktur.

Tabel 6. 2 Tabel Perbandingan Defleksi Arah Y Pada Atap

Deflection Y at Top (mm)				
No	Load Case	Without p-delta	With P-delta	% Difference
1	1.4D	-0.03	-0.07	117.37%
2	1.2D+1.6L	-0.03	-0.06	138.40%
3	1.2D+1.3Qex+0.1213D Max	0.02	0.03	70.10%
4	1.2D+1.3Qex+0.1213D Min	-0.13	-0.25	95.71%
5	1.2D+1.3Qex-0.1213D Max	0.02	0.04	80.28%
6	1.2D+1.3Qex-0.1213D Min	-0.12	-0.24	94.79%
7	1.2D+1.3Qey+0.1213D Max	0.02	0.04	59.65%
8	1.2D+1.3Qey+0.1213D Min	-0.17	-0.22	32.76%
9	1.2D+1.3Qey-0.1213D Max	0.02	0.02	40.31%
10	1.2D+1.3Qey-0.1213D Min	-0.17	-0.24	35.32%

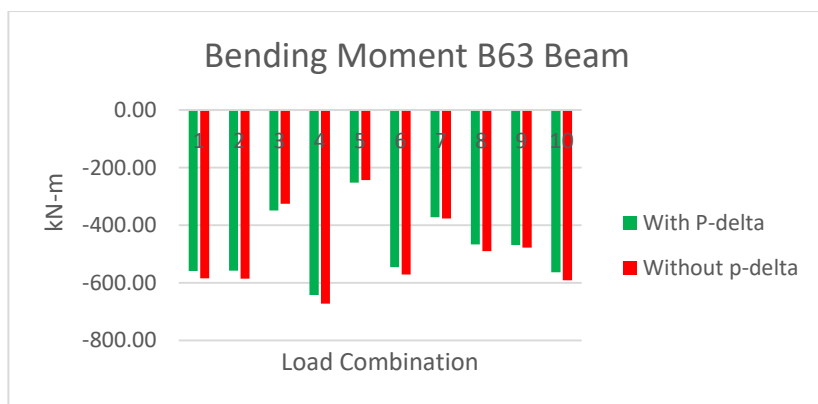


Gambar 6. 2 Grafik Defleksi Y Perbandingan P-Delta Dengan Tanpa P-Delta Tiap Load Combinationnya

3. Pada tabel 6.3 diperoleh persen perbedaan yang apabila dirata – rata < 10% maka pengaruh P-Delta dalam analisa Bending moment B63 dapat diabaikan dalam analisa struktur.

Tabel 6. 3 Tabel perbandingan Bending Moment B63

Bending moment of members (kN-m)				
No	Load Case	Without p-delta	With P-delta	% Difference
1	1.4D	-585.20	-559.33	-4.42%
2	1.2D+1.6L	-585.30	-558.37	-4.60%
3	1.2D+1.3Qex+0.1213D Max	-325.12	-348.99	7.34%
4	1.2D+1.3Qex+0.1213D Min	-672.32	-642.23	-4.48%
5	1.2D+1.3Qex-0.1213D Max	-242.72	-252.07	3.85%
6	1.2D+1.3Qex-0.1213D Min	-570.92	-545.31	-4.49%
7	1.2D+1.3Qey+0.1213D Max	-376.45	-371.84	-1.22%
8	1.2D+1.3Qey+0.1213D Min	-490.34	-466.95	-4.77%
9	1.2D+1.3Qey-0.1213D Max	-477.86	-468.76	-1.90%
10	1.2D+1.3Qey-0.1213D Min	-591.74	-563.87	-4.71%



Gambar 6. 3 Grafik Bending Moment B63 Perbandingan P-Delta Dengan Tanpa P-Delta Tiap Load Combinationnya

4. Pada tabel 6.4 diperoleh persen perbedaan yang apabila dirata – rata < 10% maka pengaruh P-Delta dalam analisa Shear Force dapat diabaikan dalam analisa struktur.

Tabel 6. 4 Tabel Perbandingan Shear Forces B63

Shear Force B63				
Shear forces of members (kN)				
No	Load Case	Without p-delta	With P-delta	% Difference
1.0	1.4D	-287.24	-282.94	-1.49%
2.0	1.2D+1.6L	-288.71	-284.09	-1.60%
3.0	1.2D+1.3Qex+0.1213D Max	-301.16	-295.94	-1.73%
4.0	1.2D+1.3Qex+0.1213D Min	-260.15	-254.56	-2.15%
5.0	1.2D+1.3Qex-0.1213D Max	-251.39	-246.91	-1.78%
6.0	1.2D+1.3Qex-0.1213D Min	-221.68	-215.61	-2.74%
7.0	1.2D+1.3Qey+0.1213D Max	-231.10	-227.30	-1.64%
8.0	1.2D+1.3Qey+0.1213D Min	-202.98	-203.28	0.15%
9.0	1.2D+1.3Qey-0.1213D Max	-280.88	-276.33	-1.62%
10.0	1.2D+1.3Qey-0.1213D Min	-252.75	-252.31	-0.17%

Shear forces B63 Beam

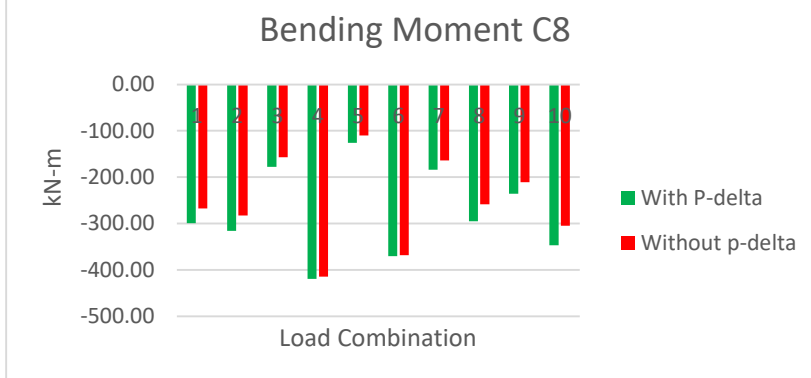


Gambar 6. 4 Grafik Shear Forces B63 Perbandingan P-Delta Dengan Tanpa P-Delta Tiap Load Combinationnya

5. Pada tabel 6.5 diperoleh persen perbedaan yang apabila dirata – rata > 10% maka pengaruh P-Delta dalam analisa Bending moment harus diperhitungkan dalam analisa struktur.

Tabel 6. 5 Tabel Perbandingan Bending Moment C8

Column C8 Fl 14				
Bending moment of members (kN-m)				
No	Load Case	Without p-delta	With P-delta	% Difference
1	1.4D	-267.69	-299.55	11.90%
2	1.2D+1.6L	-282.64	-315.61	11.67%
3	1.2D+1.3Qex+0.1213D Max	-156.84	-178.11	13.56%
4	1.2D+1.3Qex+0.1213D Min	-414.90	-419.15	1.02%
5	1.2D+1.3Qex-0.1213D Max	-110.46	-126.21	14.26%
6	1.2D+1.3Qex-0.1213D Min	-368.51	-370.52	0.55%
7	1.2D+1.3Qey+0.1213D Max	-164.20	-184.09	12.12%
8	1.2D+1.3Qey+0.1213D Min	-258.73	-295.10	14.06%
9	1.2D+1.3Qey-0.1213D Max	-210.59	-236.00	12.07%
10	1.2D+1.3Qey-0.1213D Min	-305.12	-347.00	13.73%

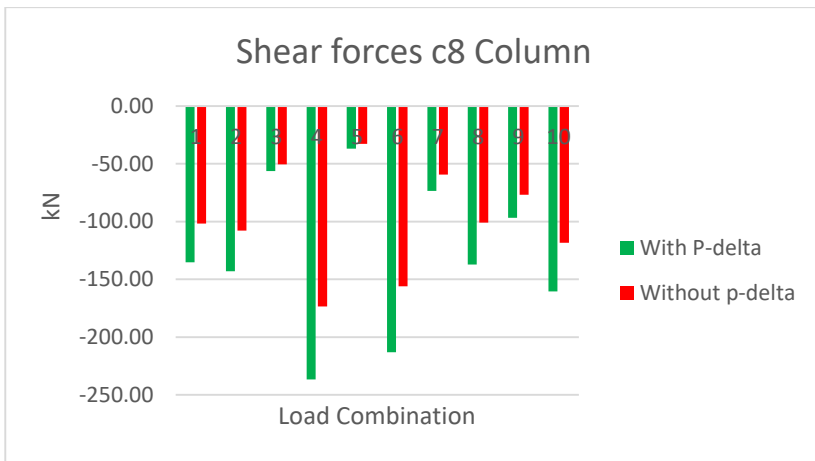


Gambar 6. 5 Grafik Bending Momen B63 Perbandingan P-Delta Dengan Tanpa P-Delta Tiap *Load Combinationnya*

6. Pada tabel 6.6 diperoleh persen perbedaan yang apabila dirata – rata > 10% maka pengaruh P-Delta dalam analisa shear forces harus dipertimbangkan dalam analisa struktur.

Tabel 6.6 Tabel Perbandingan Shear Forces C8

Shear Force Column C8 FL 14				
Shear forces of members (kN)				
No	Load Case	Without p-delta	With P-delta	% Difference
1	1.4D	-101.57	-135.18	33.09%
2	1.2D+1.6L	-107.69	-143.02	32.80%
3	1.2D+1.3Qex+0.1213D Max	-50.38	-56.14	11.43%
4	1.2D+1.3Qex+0.1213D Min	-173.50	-236.49	36.31%
5	1.2D+1.3Qex-0.1213D Max	-32.78	-36.88	12.50%
6	1.2D+1.3Qex-0.1213D Min	-155.90	-213.07	36.67%
7	1.2D+1.3Qey+0.1213D Max	-59.19	-73.35	23.93%
8	1.2D+1.3Qey+0.1213D Min	-100.77	-137.08	36.03%
9	1.2D+1.3Qey-0.1213D Max	-76.79	-96.78	26.03%
10	1.2D+1.3Qey-0.1213D Min	-118.37	-160.50	35.60%



Gambar 6. 6 Grafik Shear Forces C8 Perbandingan P-Delta Dengan Tanpa P-Delta Tiap *Load Combinationnya*

Diskusi

Dari hasil perbandingan table dan grafik diatas maka dapat diambil beberapa poin yaitu :

A. Defleksi Pada Atap

1. Perubahan Defleksi pada arah X adalah 19-182%
2. Perubahan Defleksi pada arah Y adalah 30-140%

B. Balok arah X (B63)

1. Perubahan Bending moment balok adalah -3% sampai -14%
2. Perubahan Shear force balok adalah -2% sampai -8%

C. Kolom C8 Fl 14

1. Perubahan Bending momen kolom adalah 0.5-15%
2. Perubahan Shear force kolom adalah 11-37%

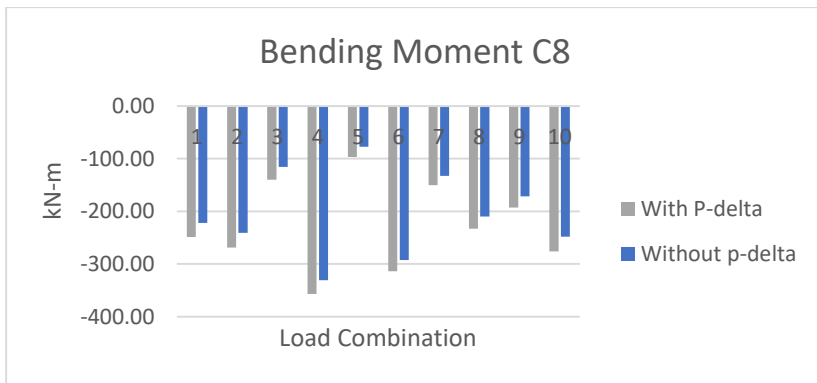
6.2.1 Perbandingan Beda Gaya Dalam Kolom Tiap Lantainya

Pada hasil rekapan berikut akan ditampilkan grafik dan tabel mengenai Bending momen dan Shear forces dari C8 tiap 10 lantai dimulai dari lantai 14 agar dapat dilakukan perbandingan :

1. Bending momen dan shear forces dari kolom C8 pada lantai 24

Tabel 6. 7 Tabel Perbandingan Bending Momen C8 Fl 24

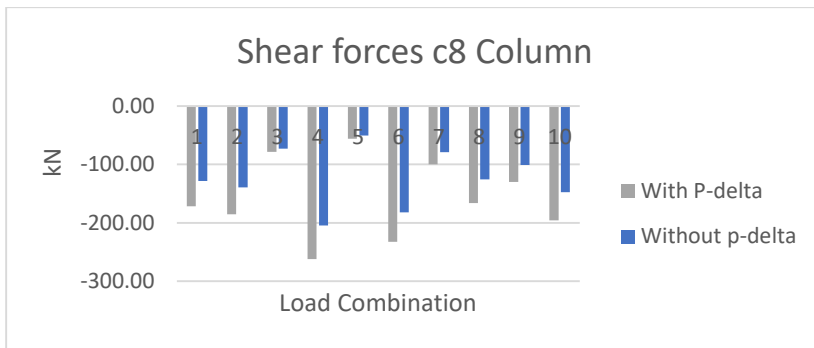
Column C8 Fl 24				
Bending moment of members (kN-m)				
No	Load Case	Without p-delta	With P-delta	% Difference
1	1.4D	-221.67	-248.82	12.25%
2	1.2D+1.6L	-240.63	-268.77	11.69%
3	1.2D+1.3Qex+0.1213D Max	-115.68	-140.06	21.07%
4	1.2D+1.3Qex+0.1213D Min	-330.68	-357.14	8.00%
5	1.2D+1.3Qex-0.1213D Max	-77.27	-96.94	25.46%
6	1.2D+1.3Qex-0.1213D Min	-292.27	-314.03	7.44%
7	1.2D+1.3Qey+0.1213D Max	-132.84	-149.94	12.87%
8	1.2D+1.3Qey+0.1213D Min	-209.64	-232.72	11.00%
9	1.2D+1.3Qey-0.1213D Max	-171.25	-193.06	12.73%
10	1.2D+1.3Qey-0.1213D Min	-248.06	-275.83	11.20%



Gambar 6. 7 Grafik Bending Momen C8 FL 24 Perbandingan P-Delta Dengan Tanpa P-Delta Tiap Load Combinationnya

Tabel 6. 8 Tabel Perbandingan Shear Forces C8 Fl 24

No	Load Case	Shear Force Column C8 FL 24		
		Without p-delta	With P-delta	% Difference
1	1.4D	-128.25	-171.78	33.93%
2	1.2D+1.6L	-139.54	-185.14	32.68%
3	1.2D+1.3Qex+0.1213D Max	-72.72	-78.49	7.94%
4	1.2D+1.3Qex+0.1213D Min	-204.36	-262.39	28.40%
5	1.2D+1.3Qex-0.1213D Max	-50.49	-55.73	10.37%
6	1.2D+1.3Qex-0.1213D Min	-182.14	-232.63	27.72%
7	1.2D+1.3Qey+0.1213D Max	-78.90	-100.04	26.80%
8	1.2D+1.3Qey+0.1213D Min	-125.36	-166.23	32.61%
9	1.2D+1.3Qey-0.1213D Max	-101.12	-129.81	28.37%
10	1.2D+1.3Qey-0.1213D Min	-147.58	-196.00	32.81%

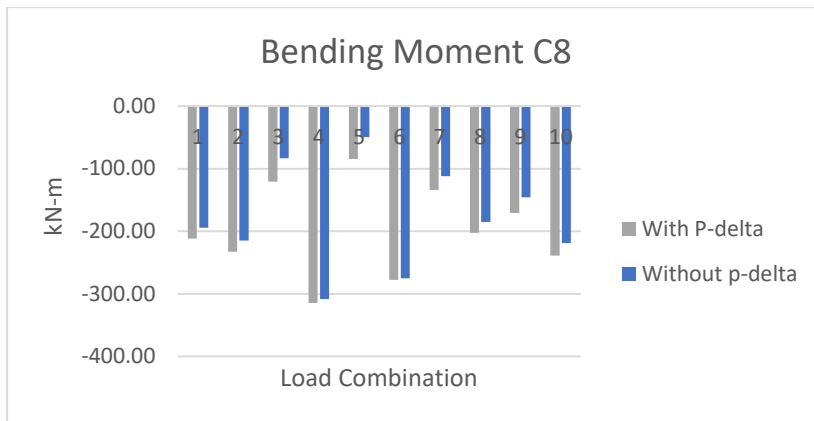


Gambar 6.8 Grafik Shear Forces C8 FL 24 Perbandingan P-Delta Dengan Tanpa P-Delta Tiap Load Combinationnya

2. Bending momen dan shear forces dari kolom C8 pada lantai 34

Tabel 6.9 Tabel Perbandingan Bending Momen C8 Fl 34

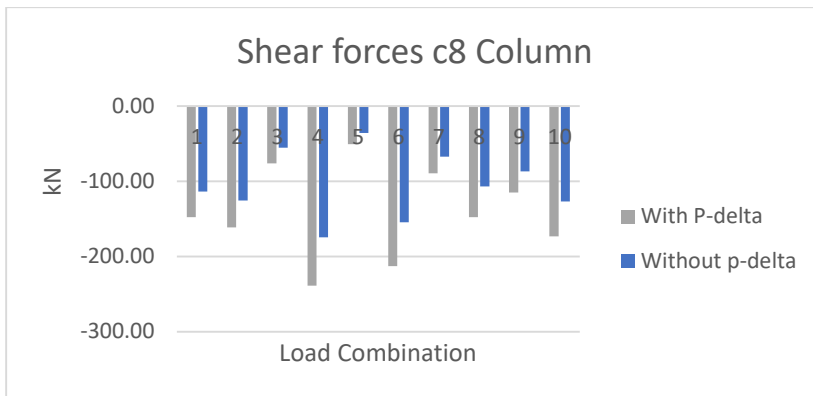
No	Load Case	Column C8 Fl 34		
		Bending moment of members (kN-m)		
1	1.4D	-194.34	-211.67	8.92%
2	1.2D+1.6L	-214.52	-232.50	8.38%
3	1.2D+1.3Qex+0.1213D Max	-83.13	-120.81	45.33%
4	1.2D+1.3Qex+0.1213D Min	-308.50	-314.52	1.95%
5	1.2D+1.3Qex-0.1213D Max	-49.45	-84.13	70.13%
6	1.2D+1.3Qex-0.1213D Min	-274.83	-277.84	1.10%
7	1.2D+1.3Qey+0.1213D Max	-111.83	-133.95	19.78%
8	1.2D+1.3Qey+0.1213D Min	-185.22	-202.21	9.17%
9	1.2D+1.3Qey-0.1213D Max	-145.51	-170.63	17.27%
10	1.2D+1.3Qey-0.1213D Min	-218.90	-238.89	9.14%



Gambar 6. 9 Grafik Bending Momen C8 FL 34 Perbandingan P-Delta Dengan Tanpa P-Delta Tiap Load Combinationnya

Tabel 6. 10 Tabel perbandingan Shear Forces C8 FL 34

Shear Force Column C8 FL 34				
Shear forces of members (kN)				
No	Load Case	Without p-delta	With P-delta	% Difference
1	1.4D	-113.72	-147.64	29.83%
2	1.2D+1.6L	-125.83	-161.39	28.26%
3	1.2D+1.3Qex+0.1213D Max	-55.32	-76.08	37.53%
4	1.2D+1.3Qex+0.1213D Min	-174.39	-238.70	36.88%
5	1.2D+1.3Qex-0.1213D Max	-35.61	-50.50	41.79%
6	1.2D+1.3Qex-0.1213D Min	-154.68	-213.12	37.78%
7	1.2D+1.3Qey+0.1213D Max	-67.37	-89.28	32.51%
8	1.2D+1.3Qey+0.1213D Min	-107.02	-147.88	38.19%
9	1.2D+1.3Qey-0.1213D Max	-87.08	-114.86	31.91%
10	1.2D+1.3Qey-0.1213D Min	-126.72	-173.47	36.89%

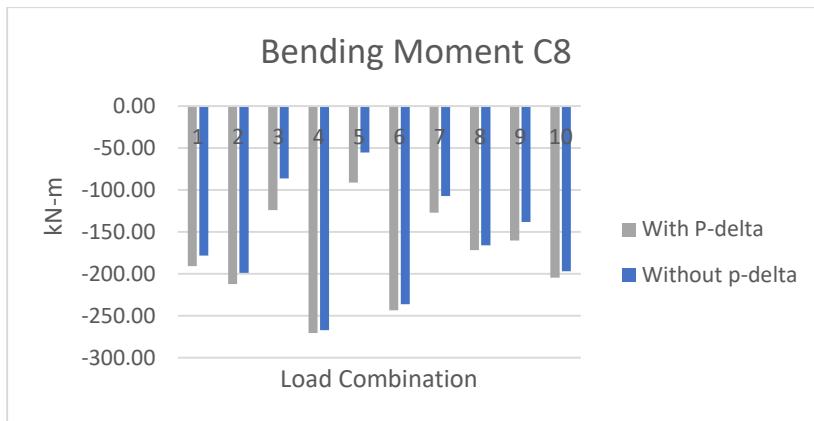


Gambar 6. 10 Grafik Shear Forces C8 FL 34 Perbandingan P-Delta Dengan Tanpa P-Delta Tiap Load Combinationnya

3. Bending momen dan shear forces dari kolom C8 pada lantai 44

Tabel 6. 11 Tabel Perbandingan Bending Momen C8 Fl 44

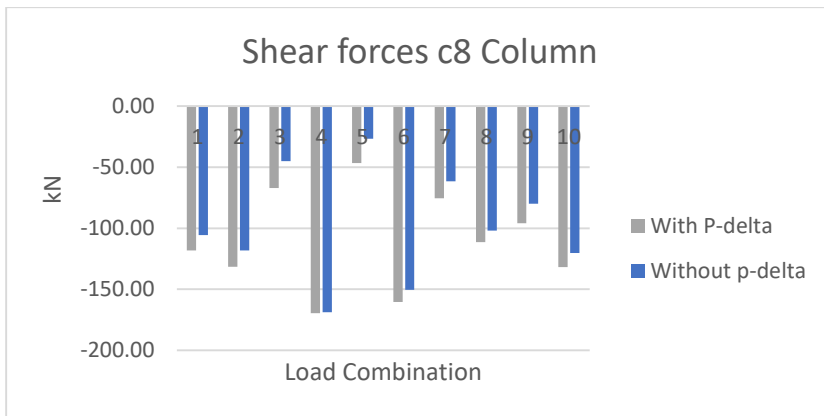
Column C8 Fl 44				
Bending moment of members (kN-m)				
No	Load Case	Without p-delta	With P-delta	% Difference
1	1.4D	-178.17	-190.77	7.07%
2	1.2D+1.6L	-198.93	-212.33	6.74%
3	1.2D+1.3Qex+0.1213D Max	-86.41	-124.15	43.67%
4	1.2D+1.3Qex+0.1213D Min	-267.17	-270.63	1.29%
5	1.2D+1.3Qex-0.1213D Max	-55.54	-91.09	64.01%
6	1.2D+1.3Qex-0.1213D Min	-236.30	-243.57	3.08%
7	1.2D+1.3Qey+0.1213D Max	-107.36	-127.27	18.55%
8	1.2D+1.3Qey+0.1213D Min	-165.99	-171.67	3.42%
9	1.2D+1.3Qey-0.1213D Max	-138.23	-160.33	15.99%
10	1.2D+1.3Qey-0.1213D Min	-196.87	-204.73	3.99%



Gambar 6. 11 Grafik Bending Momen C8 FL 44 Perbandingan P-Delta Dengan Tanpa P-Delta Tiap Load Combinationnya

Tabel 6. 12 Tabel Perbandingan Shear Forces C8 FI 44

No	Load Case	Shear Force Column C8 FL 44		
		Without p-delta	With P-delta	% Difference
1	1.4D	-105.68	-118.20	11.85%
2	1.2D+1.6L	-118.21	-131.61	11.33%
3	1.2D+1.3Qex+0.1213D Max	-45.13	-67.01	48.50%
4	1.2D+1.3Qex+0.1213D Min	-168.84	-169.62	0.46%
5	1.2D+1.3Qex-0.1213D Max	-26.81	-46.53	73.54%
6	1.2D+1.3Qex-0.1213D Min	-150.53	-160.49	6.62%
7	1.2D+1.3Qey+0.1213D Max	-61.58	-75.46	22.54%
8	1.2D+1.3Qey+0.1213D Min	-101.97	-111.44	9.28%
9	1.2D+1.3Qey-0.1213D Max	-79.89	-95.95	20.09%
10	1.2D+1.3Qey-0.1213D Min	-120.29	-131.92	9.67%

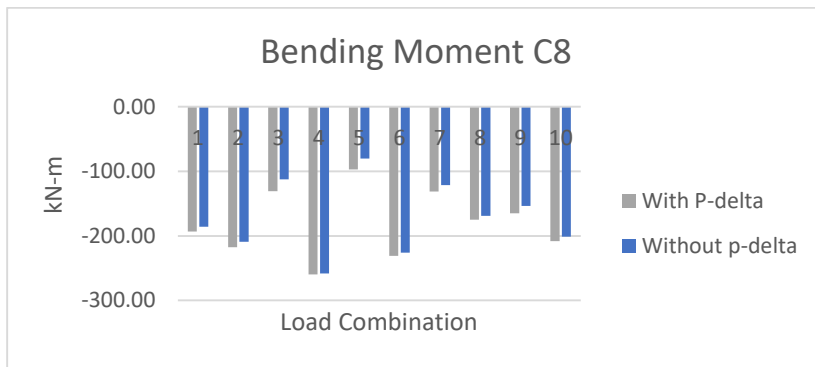


Gambar 6. 12 Grafik Shear Forces C8 FL 44 Perbandingan P-Delta Dengan Tanpa P-Delta Tiap Load Combinationnya

4. Bending momen dan shear forces dari kolom C8 pada lantai LR

Tabel 6. 13 Tabel Perbandingan Bending Momen C8 Fl LR

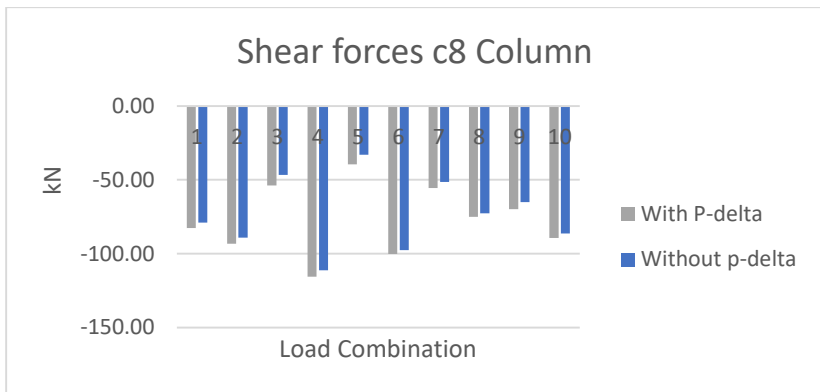
No	Load Case	Column C8 Fl LR		
		Bending moment of members (kN-m)		
1	1.4D	-185.74	-193.22	4.03%
2	1.2D+1.6L	-208.84	-217.45	4.12%
3	1.2D+1.3Qex+0.1213D Max	-112.26	-130.52	16.27%
4	1.2D+1.3Qex+0.1213D Min	-257.94	-259.43	0.58%
5	1.2D+1.3Qex-0.1213D Max	-80.07	-97.04	21.19%
6	1.2D+1.3Qex-0.1213D Min	-225.75	-230.95	2.30%
7	1.2D+1.3Qey+0.1213D Max	-121.15	-131.24	8.33%
8	1.2D+1.3Qey+0.1213D Min	-169.06	-174.85	3.43%
9	1.2D+1.3Qey-0.1213D Max	-153.34	-164.73	7.43%
10	1.2D+1.3Qey-0.1213D Min	-201.24	-208.34	3.52%



Gambar 6. 13 Grafik Bending Momen C8 FL LR Perbandingan P-Delta Dengan Tanpa P-Delta Tiap Load Combinationnya

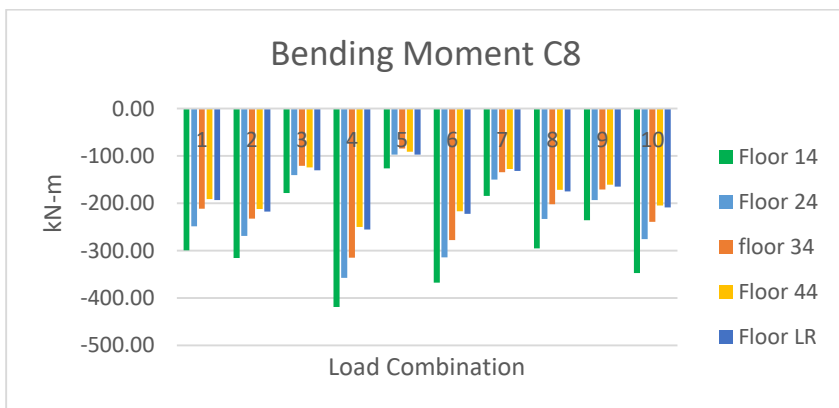
Tabel 6. 14 Tabel Perbandingan Shear Forces C8 FL LR

Shear Force Column C8 FL LR				
Shear forces of members (kN)				
No	Load Case	Without p-delta	With P-delta	% Difference
1	1.4D	-79.04	-82.60	4.51%
2	1.2D+1.6L	-89.09	-93.19	4.60%
3	1.2D+1.3Qex+0.1213D Max	-46.66	-53.74	15.17%
4	1.2D+1.3Qex+0.1213D Min	-111.20	-115.59	3.95%
5	1.2D+1.3Qex-0.1213D Max	-32.97	-39.43	19.60%
6	1.2D+1.3Qex-0.1213D Min	-97.50	-100.28	2.85%
7	1.2D+1.3Qey+0.1213D Max	-51.31	-55.50	8.18%
8	1.2D+1.3Qey+0.1213D Min	-72.60	-75.11	3.46%
9	1.2D+1.3Qey-0.1213D Max	-65.00	-69.82	7.41%
10	1.2D+1.3Qey-0.1213D Min	-86.29	-89.42	3.63%

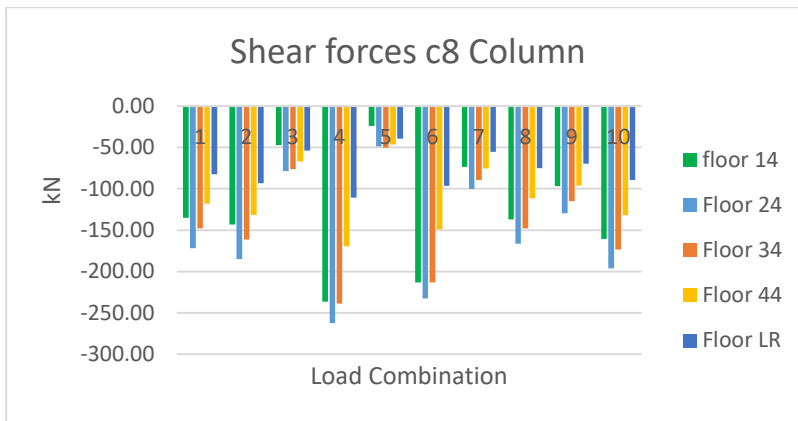


Gambar 6. 14 Grafik Shear Forces C8 FL LR Perbandingan P-Delta Dengan Tanpa P-Delta Tiap Load Combinationnya

Apabila keseluruhan gaya Bending moment serta shear forces dimasukan dalam satu grafik maka dapat dilihat pada grafik berikut :



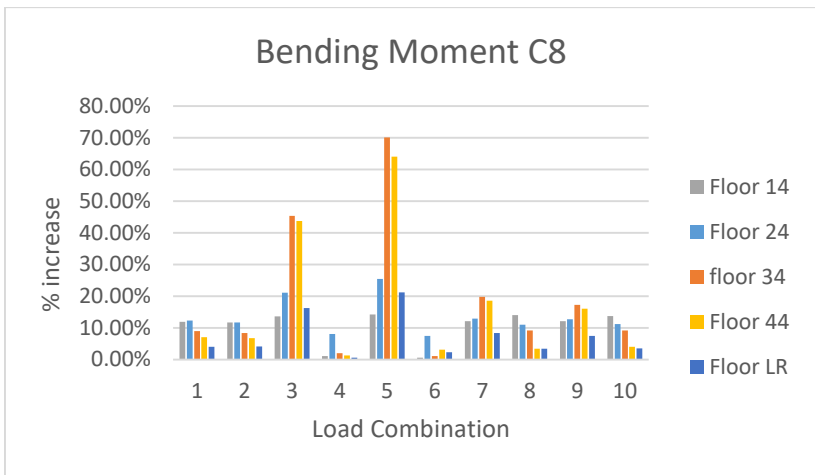
Gambar 6. 15 Grafik Bending Moment Kolom C8 Tiap Load Combination Tiap Lantainya



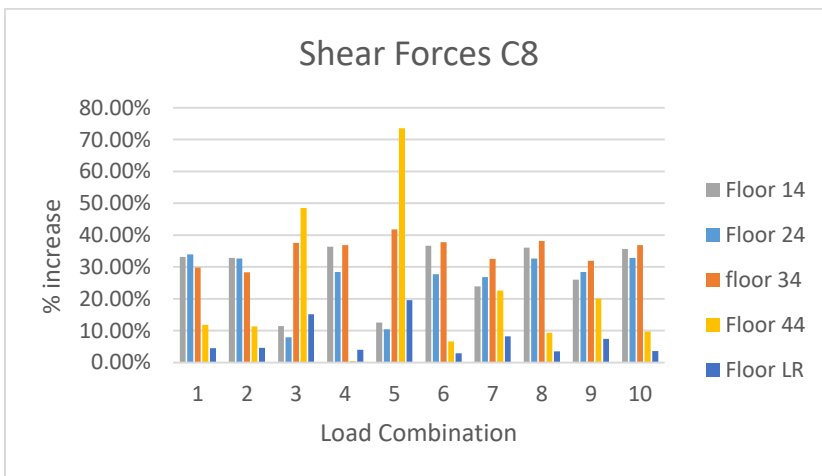
Gambar 6. 16 Grafik Shear Forces Kolom C8 Tiap Load Combination Tiap Lantainya

Diskusi

1. Dari hasil grafik bending moment kolom tiap lantainya besar momen terbesar adalah pada lantai 14 untuk tiap load combinationnya.
2. Dari hasil grafik Shear forces kolom tiap lantainya besar momen terbesar adalah pada lantai 14 untuk tiap load combinationnya.
3. Dari grafik 6.15 Bending momen pada kolom c8 terjadi peningkatan mulai dari lantai UR hingga pada lantai 14, sedangkan pada grafik 6.16 untuk shear forces nilai shear force tertinggi ada pada lantai 24.
4. Berdasarkan grafik 6.17 dan 6.18 Pertambahan bending momen serta shear forces terbesar terjadi pada load combination 5.

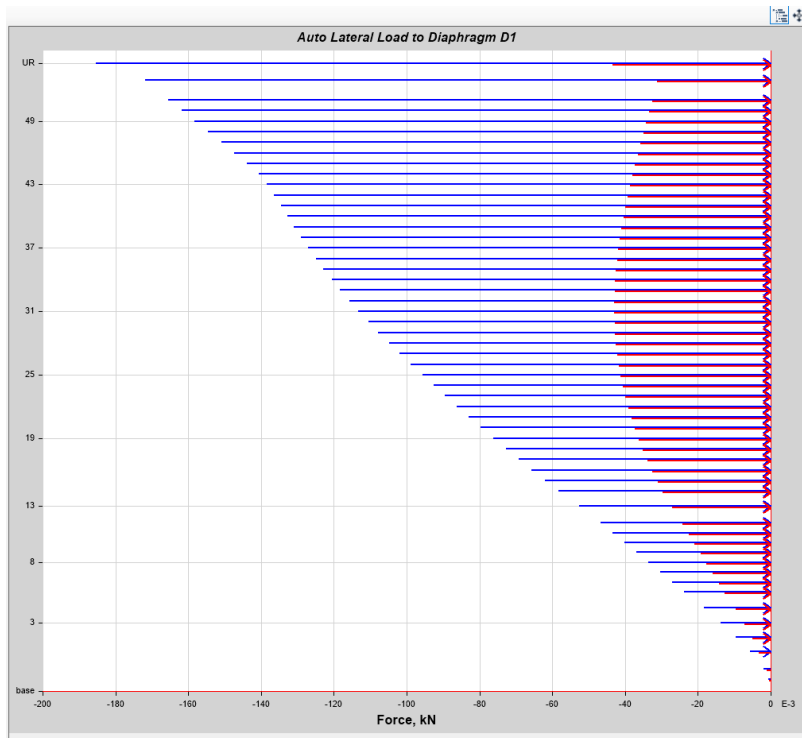


Gambar 6. 17 Grafik Pertambahan Bending Momen Kolom C8 Tiap Lantainya



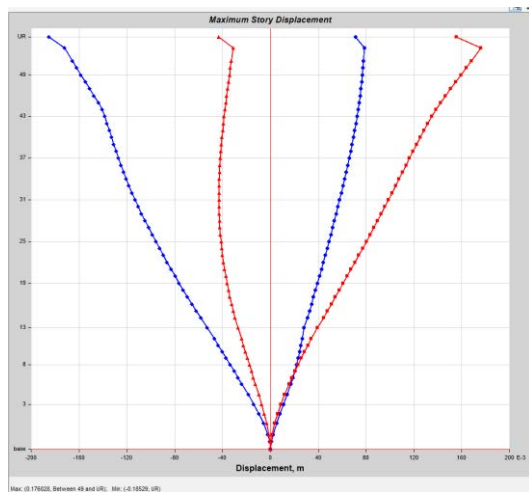
Gambar 6. 18 Grafik Pertambahan Shear Forces Kolom C8 Tiap Lantainya

6.2.2 Hasil Story Plot Dari ETABS

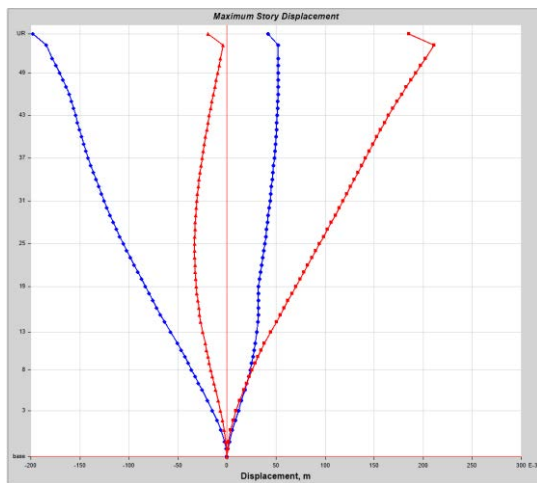


Gambar 6. 19 Auto Lateral Load Pada Diaphragm Tiap Story

Pada gambar 6.19 ditunjukkan besaran gaya gempa yang diterima pada tiap lantainya dimana untuk garis panah berwarna biru adalah gaya lateral pada arah X dan garis panah berwarna merah adalah gaya lateral pada arah Y , yang nantinya akan dipakai untuk hasil story respon seperti yang ditunjukan dibawah ini :



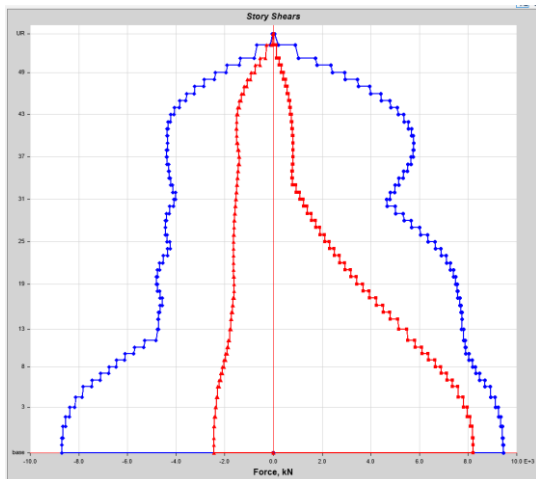
Gambar 6. 20 Maximum displacement Tanpa P-Delta Load Case Envelope



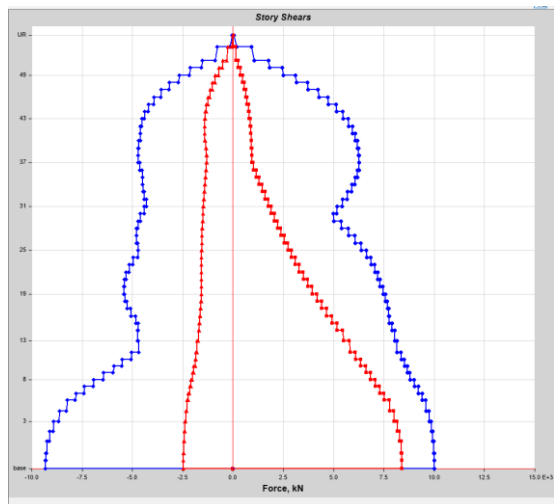
Gambar 6. 21 Maximum Displacement Dengan P-Delta Load Case Envelope

Diskusi gambar 6.20 dan gambar 6.21

1. Pada Maximum displacement tanpa P-delta (gambar 6.20) menunjukan bahwa pada garis biru yang menggambarkan maximum displacement pada arah X mempunyai nilai maximum displacement pada lantai UR sekitar kurang dari $200 \cdot 10^{-3}$ m atau 20 cm atau kasarnya sekitar $180 \cdot 10^{-3}$ m atau 18 cm untuk nilai negatifnya sedangkan pada nilai positifnya adalah sekitar $70 \cdot 10^{-3}$ m atau 7 cm.
2. Pada Maximum displacement dengan P-delta (gambar 6.21) menunjukan bahwa pada garis biru yang menggambarkan maximum displacement pada arah X mempunyai nilai maximum displacement pada lantai UR sekitar $200 \cdot 10^{-3}$ m atau 20 cm untuk nilai negatifnya sedangkan pada nilai positifnya adalah sekitar $40 \cdot 10^{-3}$ m atau 4 cm.
3. Pada Maximum displacement tanpa P-delta (gambar 6.20) menunjukan bahwa pada garis merah yang menggambarkan maximum displacement pada arah Y mempunyai nilai maximum displacement pada lantai UR sekitar lebih dari $40 \cdot 10^{-3}$ m atau 4 cm untuk nilai negatifnya sedangkan pada nilai positifnya adalah sekitar $170 \cdot 10^{-3}$ m atau 17 cm.
4. Pada Maximum displacement dengan P-delta (gambar 6.21) menunjukan bahwa pada garis merah yang menggambarkan maximum displacement pada arah Y mempunyai nilai maximum displacement pada lantai UR sekitar $30 \cdot 10^{-3}$ m atau 3 cm untuk nilai negatifnya sedangkan pada nilai positifnya adalah sekitar $190 \cdot 10^{-3}$ m atau 19 cm.



Gambar 6. 22 Story Shears Load Case Envelope Tanpa P-Delta



Gambar 6. 23 Story Shears Load Case Envelope Dengan P-Delta

Diskusi gambar 6.22 dan gambar 6.23

1. Pada Story Shear tanpa P-delta (gambar 6.22) menunjukkan bahwa pada garis biru yang menggambarkan maximum displacement pada arah X mempunyai nilai Story Shear pada base sekitar $8.5 \cdot 10^3$ kN untuk nilai negatifnya sedangkan pada nilai positifnya adalah sekitar $9 \cdot 10^3$ kN.
2. Pada Story Shear dengan P-delta (gambar 6.23) menunjukkan bahwa pada garis biru yang menggambarkan Story Shear pada arah X mempunyai nilai Story Shear pada base sekitar $9 \cdot 10^3$ kN untuk nilai negatifnya sedangkan pada nilai positifnya adalah sekitar $10 \cdot 10^3$ kN.
3. Pada Story Shear tanpa P-delta (gambar 6.22) menunjukkan bahwa pada garis merah yang menggambarkan Story Shear pada arah Y mempunyai nilai Story Shear pada base sekitar $2 \cdot 10^3$ kN untuk nilai negatifnya sedangkan pada nilai positifnya adalah sekitar $8 \cdot 10^3$ kN.
4. Pada Story Shear dengan P-delta (gambar 6.23) menunjukkan bahwa pada garis biru yang menggambarkan Story Shear pada arah X mempunyai nilai Story Shear pada base sekitar $2.5 \cdot 10^3$ kN untuk nilai negatifnya sedangkan pada nilai positifnya adalah sekitar $8 \cdot 10^3$ kN.

6.3 Koefisien Kestabilan

Berdasarkan SNI 1726:2012 menyebutkan bahwa pengaruh P-delta pada geser dan momen tingkat, gaya dan momen elemen struktur yang dihasilkan dan simpangan antar lantai tingkat yang timbul oleh pengaruh ini tidak diisyaratkan untuk diperhitungkan bila koefisien stabilitas (θ) seperti ditentukan oleh persamaan berikut sama dengan atau kurang dari 0.1 :

$$\theta = \frac{P_x \Delta I}{V_h C_d}$$

Dimana :

P_x = Beban desain vertical total pada dan diatas tingkat,x, dinyatakan dalam kilo newton (kN), bila menghitung P, faktor beban individu tidak perlu melebihi 1.

Δ = Simpangan antar lantai tingkat desain seperti didefinisikan pada 7.8.6, terjadi serentak dengan V_x , dinyatakan dalam (mm)

I_e = Faktor keutamaan gempa yang ditentukan sesuai dengan 4.1.2

V_x = Gaya geser seismic yang bekerja antar tingkat x dan x-1 (kN)

h_x = tinggi tingkat di bawah tingkat x, dinyatakan dalam millimeter (mm)

C_d = Faktor pembesaran defleksi dalam Tabel 9

Tabel 6. 15 Faktor Pembesaran Pada Tabel 9 SNI 1726:2012

D. Sistem ganda dengan rangka pemikul momen khusus yang mampu menahan paling sedikit 25 persen gaya gempa yang ditetapkan								
1. Rangka baja dengan bresing eksentris	8	2½	4	TB	TB	TB	TB	TB
2. Rangka baja dengan bresing konsentris khusus	7	2½	5½	TB	TB	TB	TB	TB
3. Dinding geser beton bertulang khusus	7	2½	5½	TB	TB	TB	TB	TB

Sedangkan untuk control kestabilan pada SNI 1726:2012 Pasal 7.8.7 telah diatur untuk Koefisien stabilitas (θ) harus tidak melebihi θ_{\max} yang ditunjukan pada persamaan berikut :

$$\theta_{\max} = \frac{0.5}{\beta \cdot cd} < 0.25$$

Dimana β adalah rasio kebutuhan geser terhadap kapasitas geser untuk tingkat x dan x – 1. Rasio ini diijinkan secara konservatif diambil sebesar 1.

6.3.1 Analisa Koefisien Kestabilan

Untuk mencari koefisien kestabilan maka diperlukan data tiap storonya yang diambil dari output ETABS, yaitu sebagai berikut :

Tabel 6. 16 Tabel Story Data

Story	h		P kN
	m	mm	
base	0	0	
LG	3.8	3800	1141110
UG	3.2	3200	1120226
1	5.45	5450	1095694
2	4.5	4500	1071534
3	4.5	4500	1047951
4	4.5	4500	1024372
5	5.05	5050	999673.4
6	3.1	3100	977831.1
7	3.1	3100	957543.7
8	3.1	3100	937248.4
9	3.1	3100	916958.1
10	3	3000	896822.8
11	3.1	3100	876531.3

Story	h		P
	m	mm	kN
12	3.1	3100	856241
13	5.1	5100	832301.2
14	4.8	4800	807339.9
15	3.3	3300	785307.1
16	3.3	3300	764555.6
17	3.3	3300	743801.7
18	3.3	3300	723053.2
19	3.3	3300	702296.6
20	3.3	3300	681545
21	3.3	3300	660791.2
22	3.3	3300	640042.6
23	3.3	3300	619291
24	3.3	3300	598537.2
25	3.3	3300	577784.5
26	3.3	3300	557023.7
27	3.3	3300	536272.1
28	3.3	3300	515518.2
29	3.3	3300	494769.7
30	3.3	3300	474008.9
31	3.3	3300	453257.4
32	3.3	3300	432499.3
33	3.3	3300	411750.8
34	3.3	3300	390999.3
35	3.3	3300	370248.4
36	3.3	3300	349499.9
37	3.3	3300	328739.1
38	3.3	3300	307987.6

Story	h		P
	m	mm	kN
39	3.3	3300	287229.6
40	3.3	3300	266476.9
41	3.3	3300	245182.6
42	3.3	3300	225590.9
43	3.3	3300	205997
44	3.3	3300	186408.4
45	3.3	3300	166807.4
46	3.3	3300	146055.9
47	3.3	3300	125297.9
48	3.3	3300	104549.4
49	3.3	3300	83797.91
50	3.3	3300	63044.15
51	3.3	3300	42295.57
LR	6.1	6100	17988.04
UR	5.4	5400	551.7262

Tabel 6. 17 Tabel Perhitungan Koefisien Kestabilan (Θ) Arah X

X direction				
Vx (kN)	Ux(mm)	Dx	Thx	Thx
	0			
7446.5079	0.616	3.388	0.024841	0.024239
7439.971	1.512	4.928	0.042159	0.040454
7421.8997	4.243	15.0205	0.073977	0.068882
7367.1811	7.248	16.5275	0.097126	0.088528
7284.4871	10.724	19.118	0.111124	0.100011
7167.8872	14.495	20.7405	0.11976	0.106951

X direction				
Vx (kN)	Ux(mm)	Dx	Thx	Thx
7014.536	18.954	24.5245	0.125836	0.111771
6820.0154	21.716	15.191	0.127744	0.113274
6691.0644	24.655	16.1645	0.135675	0.119467
6582.9196	27.774	17.1545	0.143248	0.125299
6461.3498	30.929	17.3525	0.144432	0.126204
6326.4302	34.002	16.9015	0.145208	0.126796
6234.0674	37.194	17.556	0.144776	0.126467
6181.2531	40.392	17.589	0.142901	0.125034
6108.5366	45.67	29.029	0.141008	0.123582
6039.3805	50.521	26.6805	0.1351	0.11902
6014.9847	53.715	17.567	0.126365	0.112188
5971.5279	56.806	17.0005	0.119925	0.107083
5905.3924	59.785	16.3845	0.113701	0.102093
5884.9873	62.65	15.7575	0.106668	0.096387
5858.3322	65.4	15.125	0.0999	0.090826
5804.8841	68.034	14.487	0.093714	0.085684
5723.1958	70.555	13.8655	0.088203	0.081054
5612.2902	72.964	13.2495	0.083251	0.076853
5471.5277	73.822	4.719	0.029428	0.028587
5300.8735	77.473	20.0805	0.124923	0.11105
5100.822	79.585	11.616	0.072495	0.067594
4872.2946	81.612	11.1485	0.070223	0.065615
4656.4871	83.803	12.0505	0.076464	0.071032
4429.7318	86.197	13.167	0.084426	0.077853
4180.4115	88.749	14.036	0.091527	0.083853
3910.762	92.028	18.0345	0.120435	0.107489
3642.9727	95.299	17.9905	0.123326	0.109787

X direction				
Vx (kN)	Ux(mm)	Dx	Thx	Thx
3834.1996	98.499	17.6	0.109382	0.098597
4001.5549	101.627	17.204	0.097535	0.088867
4141.3011	104.679	16.786	0.087319	0.080307
4250.1657	107.656	16.3735	0.078587	0.072861
4372.4699	110.752	17.028	0.074991	0.069759
4478.1163	113.854	17.061	0.069006	0.064551
4546.6406	116.923	16.8795	0.062998	0.059264
4574.8886	120.164	17.8255	0.061661	0.05808
4560.2082	123.538	18.557	0.059746	0.056377
4500.3145	126.901	18.4965	0.055521	0.052601
4398.397	130.25	18.4195	0.052051	0.049476
4250.994	133.605	18.4525	0.049266	0.046953
4057.6335	137.116	19.3105	0.048878	0.0466
3818.0244	140.584	19.074	0.045914	0.043898
3517.5771	144.004	18.81	0.043032	0.041256
3169.7909	147.377	18.5515	0.040403	0.038834
2776.0297	150.704	18.2985	0.03797	0.036581
2337.5906	153.984	18.04	0.035631	0.034405
1856.4074	157.22	17.798	0.033302	0.032228
1366.8548	160.417	17.5835	0.029978	0.029105
786.6272	166.273	32.208	0.021953	0.021481
141.6622	171.349	27.918	0.003661	0.003648

- V_x merupakan output dari ETABS yaitu gaya geser seismic yang bekerja antar tingkat x dan x-1 (kN), hasil dari V_x dapat dilihat pada table 6.17. Dalam contoh perhitungan ini akan diambil nilai V_x sebesar = 7446.5079 kN yaitu pada lantai LG

- U_x merupakan output dari ETABS yang merupakan perpindahan diafragma tiap lantainya. Didapatkan hasil U_x yaitu sebesar = 0.616 mm
- $D_x = (D_n - D_{n-1}) \cdot \frac{Cd}{I} = (0.616 - 0) \cdot \frac{5.5}{1} = 3.388 \text{ mm}$
- $\theta l = \frac{Px \Delta I}{V h Cd} = \frac{1141110 \cdot 3.388}{7446.51 \cdot 3800 \cdot 5.5} = 0.024841$

Berdasarkan SNI 1726:2012 Pasal 7.8.7 jika pengaruh P-delta disertakan dalam analisis otomatis, Maka θ yang didapatkan diijinkan untuk dibagi dengan $(1 + \theta)$ sebelum di control.

$$\theta n = \frac{\theta l}{(1 + \theta l)} = \frac{0.024841}{(1 + 0.024841)} = 0.024239$$

Tabel 6. 18 Tabel Perhitungan Koefisien Kestabilan (θ) Arah Y

Y direction				
Vy	Uy	Dy	Thy	Thy
	0.000			
6385.858	0.230	1.265	0.011	0.011
6377.472	0.576	1.903	0.019	0.019
6356.012	1.604	5.654	0.033	0.031
6293.268	2.671	5.869	0.040	0.039
6200.601	3.902	6.771	0.046	0.044
6071.828	5.276	7.557	0.052	0.049
5904.374	6.945	9.179	0.056	0.053
5714.636	7.958	5.572	0.056	0.053
5547.457	8.981	5.627	0.057	0.054
5367.235	10.024	5.737	0.059	0.055

Y direction				
Vy	Uy	Dy	Thy	Thy
5175.855	11.084	5.830	0.061	0.057
4975.719	12.123	5.715	0.062	0.059
4769.080	13.213	5.995	0.065	0.061
4555.983	14.330	6.144	0.068	0.063
4326.689	16.270	10.670	0.073	0.068
4048.816	19.000	15.015	0.113	0.102
3791.245	21.150	11.825	0.135	0.119
3573.692	21.350	1.100	0.013	0.013
3361.027	22.800	7.975	0.097	0.089
3154.417	25.229	13.360	0.169	0.144
2954.542	26.366	6.253	0.082	0.076
2762.118	27.467	6.055	0.082	0.076
2577.342	28.530	5.847	0.083	0.076
2400.446	29.556	5.643	0.083	0.077
2231.202	30.542	5.423	0.083	0.077
2069.355	31.494	5.236	0.083	0.077
1914.597	32.407	5.021	0.083	0.077
1766.359	33.285	4.829	0.084	0.077
1624.210	34.129	4.642	0.084	0.078
1487.479	34.993	4.752	0.091	0.083
1355.793	35.845	4.686	0.094	0.086
1228.470	36.670	4.538	0.096	0.088
1105.404	37.469	4.395	0.099	0.090
986.109	38.243	4.257	0.103	0.093
870.591	38.994	4.130	0.108	0.097
758.752	39.722	4.004	0.114	0.102
650.816	40.456	4.037	0.127	0.112

Y direction				
Vy	Uy	Dy	Thy	Thy
637.292	41.222	4.213	0.127	0.113
648.723	38.882	-12.870	-0.359	-0.561
653.932	39.680	4.389	0.114	0.102
652.917	40.458	4.279	0.104	0.094
645.673	41.220	4.191	0.095	0.087
632.286	41.966	4.103	0.088	0.081
614.341	42.768	4.411	0.089	0.082
593.917	42.480	-1.584	-0.030	-0.031
569.958	43.172	3.806	0.069	0.064
539.466	44.843	9.191	0.157	0.135
499.289	45.543	3.850	0.062	0.058
452.090	46.239	3.828	0.058	0.055
397.900	47.916	9.224	0.134	0.118
336.732	48.576	3.630	0.050	0.047
268.677	49.221	3.547	0.046	0.044
193.896	49.780	3.075	0.037	0.036
108.743	49.945	0.907	0.004	0.004
18.395	54.088	22.787	0.023	0.022

- V_y merupakan output dari ETABS yaitu gaya geser seismic yang bekerja antar tingkat x dan x-1 (kN), hasil dari V_x dapat dilihat pada table 6.10. Dalam contoh perhitungan ini akan diambil nilai V_y sebesar = 6385.858 yaitu pada lantai LG
- U_y merupakan output dari ETABS yang merupakan perpindahan diafragma tiap lantainya. Didapatkan hasil U_x yaitu sebesar = 0.230 mm

- $D_y = (D_n - D_{n-1}) \cdot \frac{Cd}{I} = (0.230 - 0) \cdot \frac{5.5}{1} = 1.265 \text{ mm}$
- $\theta l = \frac{Px \Delta I}{V h Cd} = \frac{1141110 \cdot 1.265 \cdot 1}{6385.858 \cdot 3800 \cdot 5.5} = 0.011$

Berdasarkan SNI 1726:2012 Pasal 7.8.7 jika pengaruh P-delta disertakan dalam analisis otomatis, Maka θ yang didapatkan diijinkan untuk dibagi dengan $(1 + \theta)$ sebelum di control.

- $\theta n = \frac{\theta l}{(1 + \theta l)} = \frac{0.011}{(1 + 0.011)} = 0.011$

6.4 Hasil Analisa Koefisien Kestabilan

Berdasarkan hasil analisa arah X dan Y maka dapat diambil koefisien kestabilan dari masing – masing arah yang paling kritis, didapatkan bahwa koefisien kestabilan paling kritis pada X dan Y berturut – turut adalah : 0.1267 pada story 10 dan 0.1443 pada story 18.

Dengan rumus dari SNI 1726:2012 Pasal 7.8.7 maka dapat dihitung untuk :

$$\theta_{\max} = \frac{0.5}{\beta \cdot Cd} < 0.25 = \frac{0.5}{1.5 \cdot 5} < 0.25 = 0.1 < 0.25$$

Kontrol Kestabilan Struktur

Arah X

Dari hasil analisa koefisien kestabilan pada arah X didapatkan koefisien kestabilan maksimum yaitu sebesar 0.1267 pada story 10 , maka :

$$\theta_{\max} > \theta_x = 0.1 < 0.1267 \rightarrow \text{Re-desain}$$

Arah X

Dari hasil analisa koefisien kestabilan pada arah Y didapatkan koefisien kestabilan maksimum yaitu sebesar 0.1443 pada story 18 , maka :

$$\theta_{\max} > \theta_x = 0.1 < 0.1443 \rightarrow \text{Re-desain}$$

(Halaman ini sengaja dikosongkan)

BAB VII

KESIMPULAN DAN SARAN

Dari hasil perhitungan dan analisis diatas didapatkan kesimpulan sebagai berikut :

1. Pada analisa P-Delta terjadi peningkatan bending moment shear forces dan deflection, sehingga untuk analisa bangunan tinggi harus mempertimbangkan P-delta effect agar hasil analisa semakin valid dan mendekat kondisi nyatanya.
2. Terjadi penurunan Bending momen dan shear force pada balok yang ditinjau tetapi tidak signifikan maka efek P-delta dapat diabaikan dalam perencanaan sehingga untuk perencanaan desain balok dianjurkan untuk tetap menggunakan analisa static linear atau orde satu.
3. Pada control kestabilan struktur didapatkan koefisien kestabilan arah X sebesar 0.126 dan arah Y sebesar 0.144 sedangkan untuk koefisien kestabilan maximum adalah 0.1 ini menunjukan bahwa struktur belum stabil dan butuh re-desain yang diakibatkan adanya modifikasi pada shearwall.
4. P-delta efek pada tugas akhir ini hanya ditinjau pada elemen balok dan kolom tertentu pada beberapa load combination yang mencerminkan besaran dari load combination yang nantinya akan digunakan sebagai gaya desain.
5. Dari hasil diskusi tentang gambar 6.20 sampai dengan gambar 6.23 ditunjukan adanya peningkatan Maximum displacement dan Story shear tiap lantainya, hasil story plot ini mendukung pernyataan bahwa P-delta efek harus dipertimbangkan dalam perhitungan high rise building.
6. Berdasarkan pada Gambar 6.20 sampai dengan 6.23 dapat disimpulkan bahwa semakin tinggi bangunan maka semakin besar pula efek P-delta yang diterima oleh struktur bangunan.

Perlu dilakukan studi lebih lanjut pada efek P-delta untuk high rise building untuk mengurangi bahkan menghilangkan resiko kegagalan dalam bangunan tingkat tinggi ini , berikut rekomendasi penulis dalam Tugas akhir ini :

1. Dengan menambah kekakuan pada struktur maka tingkat kestabilan pada struktur akan tercapai, sebagai contohnya adalah menggunakan pengaku atau bracing pada beberapa tingkat, ataupun damper pada bagian pondasi atau dengan memperbesar penampang dari struktur tersebut.
2. Perlu dilakukan analisa lainnya dalam menentukan perilaku serta gaya dalam struktur ini seperti analisa non-liner dan dynamic agar didapatkan hasil yang lebih kritis dan aman.

DAFTAR PUSTAKA

- Badan Standarisasi Nasional, 2012 . *Tata Cara Perencanaan Ketahanan Gempa untuk Struktur Bangunan Gedung dan Non-Gedung (SNI 1726-2012)*, Jakarta: BSN.
- Badan Standarisasi Nasional, 2013 . *Tata Cara Pembebanan Bangunan Gedung (SNI 1727-2013)*, Jakarta: BSN.
- Badan Standarisasi Nasional, 2013. *Tata Cara Perhitungan Struktur Beton Untuk Bangunan Gedung (SNI 2847-2013)*, Jakarta: BSN.
- Dhadve, P., Rao, A., Rupanvar, A. & K., D., 2015. Assessment of P-Delta Effect on High Rise Buildings. *International Journal on Recent and Innovation Trends in Computing and Communication* , 3(5), pp. 3231-3236.
- Dhawale, P. J. & Narule, P. G. N., 2016. Analysis Of P-Delta Effect On High Rise Buildings. *International Journal of Engineering Research and General Science*, 4(4), pp. 90-103.
- Dobson, R., n.d. *P-Delta Analysis*. [Online] Available at: http://www.newsteelconstruction.com/wp/wp-content/uploads/TechPaper/NSCJan03_P-Delta
- Gustafsson, D. & Hehir, J., 2005. *12 Division of Structural Engineering Concrete Structures, Stability of Tall Buildings*. Sweden: Chalmers University of Technology Goteborg.
- Nawy, G., Tavio & Kusuma, B., 2010. *Beton Bertulang: Sebuah Pendekatan mendasar (Jilid 1)*. 5th ed. Surabaya: ITS press.
- Quanfeng, W. e. a., 2001. *Effect of Shearwall Height on Earthquake Response*. Fujian – China: s.n.
- Rutenberg, A., 1982. Simplified P-Delta Analysis for Asymmetric Structures. *ASCE Journal of the Structural Division*, 108(9).

Tavio & Kusuma, B., 2010. *Desain Sistem Rangka Pemikul Momen dan Dinding Struktur Beton Bertulang Tahan Gempa.* Surabaya: ITS press.

BIOGRAPHY

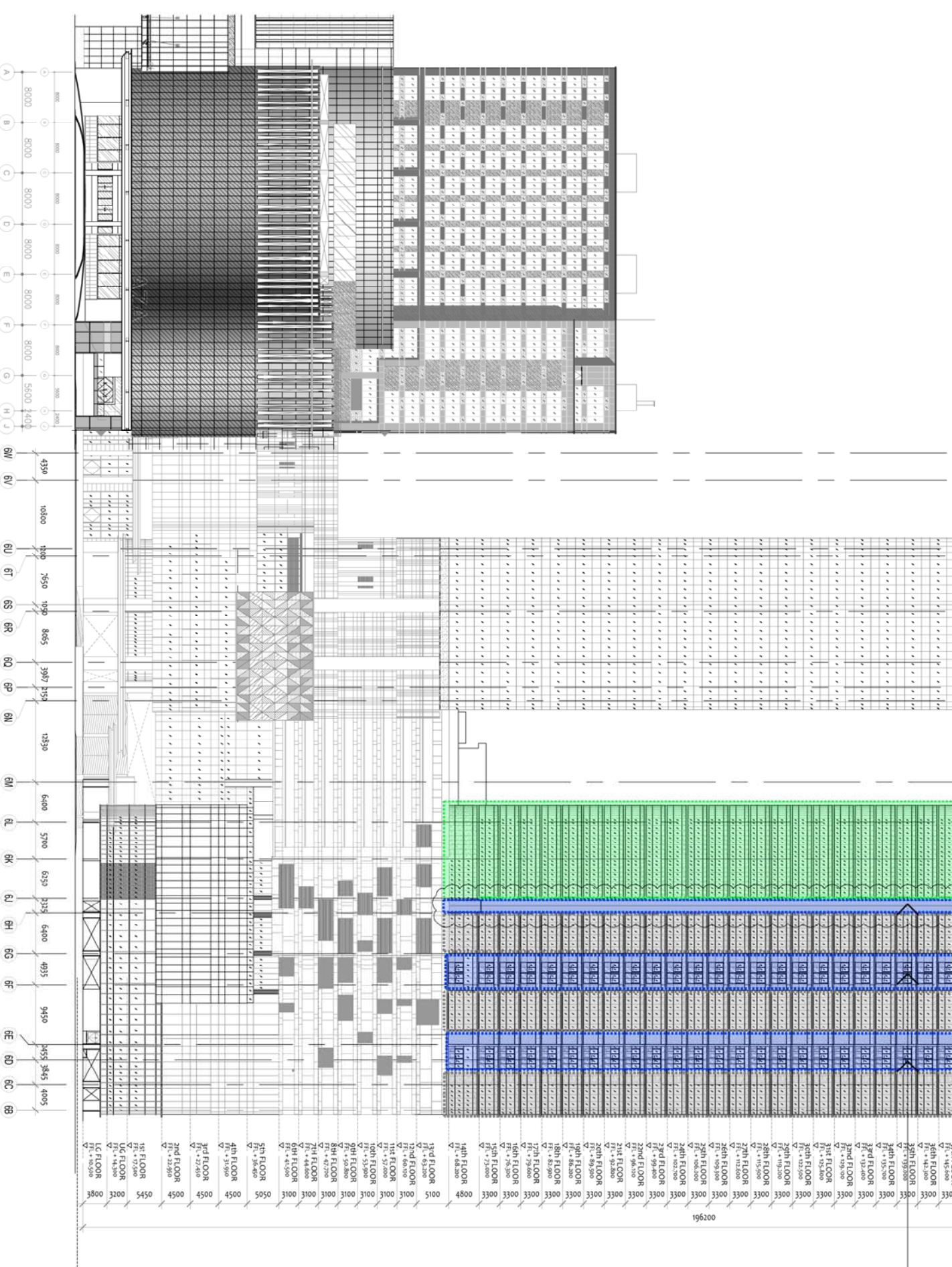


Penulis, Rendy Surya Putra, merupakan anak terakhir dalam keluarganya. Penulis dilahirkan di Malang, 31 Mei 1996. Pendidikan formal yang telah dijalani penulis adalah pada SDK Cor Jesu Malang (2002 – 2008) untuk sekolah dasar, SMPK Cor Jesu Malang (2008 – 2011) untuk sekolah menengah pertama dan SMAN 1 Malang untuk sekolah menengah atas (2011 – 2013). Pada tahun 2013, penulis memulai masa perkuliahan di jurusan Teknik Sipil, Institut Teknologi Sepuluh Nopember,

Surabaya, Indonesia. Selama masa perkuliahan penulis aktif dalam kegiatan lomba salah satunya , lomba jembatan kayu pada Universitas Kristen Petra, Surabaya sebagai peserta. Penulis juga mengikuti program kerja praktek di Tunjungan Plaza 6 Surabaya, sebagai bekal dalam menyelesaikan masalah dilapangan di kemudian hari, dimana pada kerja praktek ini penulis berada pada bidang manajemen konstruksi yang tugasnya adalah sebagai *supervisor* atau pengawas lapangan dan juga menulis *weekly* dan *monthly report* pada perusahaan induk. Penulis juga bertugas sebagai *Grader* yaitu sebagai mahasiswa yang bertanggung jawab untuk penilaian salah satu mata kuliah dimana mata kuliah tersebut adalah mekanika teknik. Penilaian yang dilakukan merupakan penilaian dari tugas – tugas dari para mahasiswa tingkat bawah yang diserahkan kepada penulis oleh dosen. Untuk keperluan yang lebih detail dan mendalam, penulis dapat dihubungi melalui email rendysuryaputra@gmail.com.

LEGEND:

CONBL1	CONSF1	CONWMS4	CONWMS3	CONWMA2	CONWMA1
FACADE TYPE: BL1: FREE STANDING GLASS BALUSTRADE AT GARDEN LEVEL 40	FACADE TYPE: SF1: ALUMINIUM FRAMED GLASS WALL WITH DOUBLE LEAF SWING DOORS AT LEVEL 14	FACADE TYPE: WMS4: UNITSED WINDOW WALL WITH ALUMINIUM CLADDING, BULLNOSE TO HUNG OPENABLE WINDOW	FACADE TYPE: WMS3: UNITSED WINDOW WALL WITH ALUMINIUM CLADDING, BULLNOSE WITH SINGLE LEAF SWING DOOR & SIDE RUNG WINDOW	FACADE TYPE: WMA2: SEMI UNITSED WINDOW WALL WITH ALUMINIUM CLADDING, BULLNOSE AT CROWN	FACADE TYPE: WMA1: UNITSED WINDOW WALL WITH ALUMINIUM CLADDING, BULLNOSE



CON-WW1

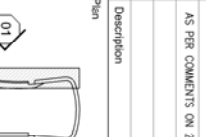
CON.WW1A

CON-WW3

CON-WW4

01 MARKIN

COPYRIGHT
No part of this document may be reproduced transmitted or recorded in any form or otherwise without the prior written permission of the developers

PROJECT TUNJUNGAN PLAZA 6 MIXED USE DEVELOPMENT	
OWNER	PT PAKUWON JATI Tbk. GODONG JADINA SQUARE, JL. KEMERIAH PUTIH MULYARA NO.9 SURABAYA 60112, INDONESIA
ARCHITECT	 DP ARCHITECTS PTE LTD 6 RAFFLES BUREAU, 32ND FLOOR SINGAPORE 039564 TEL: +65 33888888 FAX: +65 33799899
STRUCTURAL ENGINEER	 blue antz SUBRAMANIAM PARK, OFFICE BLOCK C, NO.28 JL. IAH MAS, MANSAR, JAKARTA 12355, JAKARTA, PUSAT 10220 PHONE: (62-21)5947599 FAX: (62-21)5947520 EMAIL: info@blueantz.com
MATERIALS SUPPLIER	 PT. HARITE WIDYA CONSULTING ENGINEERS Ruko Grand West Nada, Jl. Raya Tamansari Blok E-1 No. 5a-B MERTERA, UTRAMA - JAKARTA 11620 Telp: (021) 9821783 Fax: (021) 9821784 Telp: (021) 23119685
INTERIOR DESIGNER	 PT. Bina Bhakti Karyadama Bina Engineering N.I.C. Ltd BEDROOM PARK, 21 PHILLIPS STREET BEIJING, CHINA 100048 TEL: +86 10 5800 1141 NEW ZEALAND: 100 QUEEN ST, AUCKLAND 10100 TEL: +64 9 300 9000 FAX: +64 9 300 9000 TEL: +64 9 300 9000 FAX: +64 9 300 9000
LANDSCAPE CONSULTANT	 PT. Prakarsa Alam Prakarsa Consulting Engineering & Design SAMPURNA, SURABAYA, EAST JAVA, INDONESIA JL. END. SAMPURNA KAV 45-46, SURABAYA 61230, INDONESIA
LIGHTING CONSULTANT	 PT. LITAC Konsultan
DRAWING TITLE	NORTH ELEVATION
ISSUED	0 FOR TENDER
	FOR TENDER REV. 1
	05/06/15
	2 FOR TENDER REV. 2
	24/06/15
NO. Description	Date
DESCRIPTION	Check
Rev. Description	Date
Key Plan	
GENERAL REVISION ON MARKING ELEVATION	05/06/15
AS PER COMMENTS ON 22/06/2015	24/06/15
01	
PROJECT NUMBER : TP6-CON-EL-01	SCALE : 1:800 (A3)
ISSUED FOR : TENDER DRAWING	DATE : APRIL 2015
APPROVED : Project Director	DATE : APRIL 2015
OWNER APPROVAL : Owner	DATE : APRIL 2015
PHASE : TD	DRAWING NUMBER : TP6-CON-EL-01
NOTES	

LEGEND:

CON-WW1
FAÇADE TYPE WW1:
UNITSLED WINDOW/WALL
WITH ALUMINUM CLADDING PANEL

CON-WW2
FAÇADE TYPE WW2:
SEMI UNITSLED WINDOW/WALL
WITH ALUMINUM CLADDING BULLNOSE AT CROWN

CON-WW3
FAÇADE TYPE WW3:
UNITSLED WINDOW/WALL
WITH SINGLE LEAF SWING DOOR & SIDE HUNG WINDOW

CON-SF1
FAÇADE TYPE SF1:
ALUMINUM FRAMED GLASS WALL
WITH DOUBLE LEAF SWING DOORS AT LEVEL 4

CON-SF4
FAÇADE TYPE SF4:
TOP HINGE OPENABLE WINDOW
WITH ALUMINUM LOUVER
WITH SLIDING GLASS BALCONY

CON-B1
FAÇADE TYPE B1:
FREE STANDING GLASS FAÇADE
AT SKY GARDEN LEVEL 49

CON-WW4
FAÇADE TYPE WW4:
UNITSLED WINDOW/WALL
WITH ALUMINUM LOUVER
WITH SLIDING GLASS BALCONY

CON-WW1A
FAÇADE TYPE WW1A:
TOP HINGE OPENABLE WINDOW
WITH ALUMINUM LOUVER
WITH SLIDING GLASS BALCONY

CON-WW2
FAÇADE TYPE WW2:
UNITSLED WINDOW/WALL
WITH ALUMINUM LOUVER
WITH SLIDING GLASS BALCONY

CON-WW3
FAÇADE TYPE WW3:
UNITSLED WINDOW/WALL
WITH SINGLE LEAF SWING DOOR & SIDE HUNG WINDOW

CON-SF1
FAÇADE TYPE SF1:
ALUMINUM FRAMED GLASS WALL
WITH DOUBLE LEAF SWING DOORS AT LEVEL 4

CON-SF4
FAÇADE TYPE SF4:
TOP HINGE OPENABLE WINDOW
WITH ALUMINUM LOUVER
WITH SLIDING GLASS BALCONY

CON-B1
FAÇADE TYPE B1:
FREE STANDING GLASS FAÇADE
AT SKY GARDEN LEVEL 49

AMSL (200 M FROM AIRPORT LEVEL)

▼

▼

▼

▼

▼

▼

▼

▼

▼

▼

▼

▼

▼

▼

▼

▼

▼

▼

▼

▼

▼

▼

▼

▼

▼

▼

▼

▼

▼

▼

▼

▼

▼

▼

▼

▼

▼

▼

▼

▼

▼

▼

▼

▼

▼

▼

▼

▼

▼

▼

▼

▼

▼

▼

▼

▼

▼

▼

▼

▼

▼

▼

▼

▼

▼

▼

▼

▼

▼

▼

▼

▼

▼

▼

▼

▼

▼

▼

▼

▼

▼

▼

▼

▼

▼

▼

▼

▼

▼

▼

▼

▼

▼

▼

▼

▼

▼

▼

▼

▼

▼

▼

▼

▼

▼

▼

▼

▼

▼

▼

▼

▼

▼

▼

▼

▼

▼

▼

▼

▼

▼

▼

▼

▼

▼

▼

▼

▼

▼

▼

▼

▼

▼

▼

▼

▼

▼

▼

▼

▼

▼

▼

▼

▼

▼

▼

▼

▼

▼

▼

▼

▼

▼

▼

▼

▼

▼

▼

▼

▼

▼

▼

▼

▼

▼

▼

▼

▼

▼

▼

▼

▼

▼

▼

▼

▼

▼

▼

▼

▼

▼

▼

▼

▼

▼

▼

▼

▼

▼

▼

▼

▼

▼

▼

▼

▼

▼

▼

▼

▼

▼

▼

▼

▼

▼

▼

▼

▼

▼

▼

▼

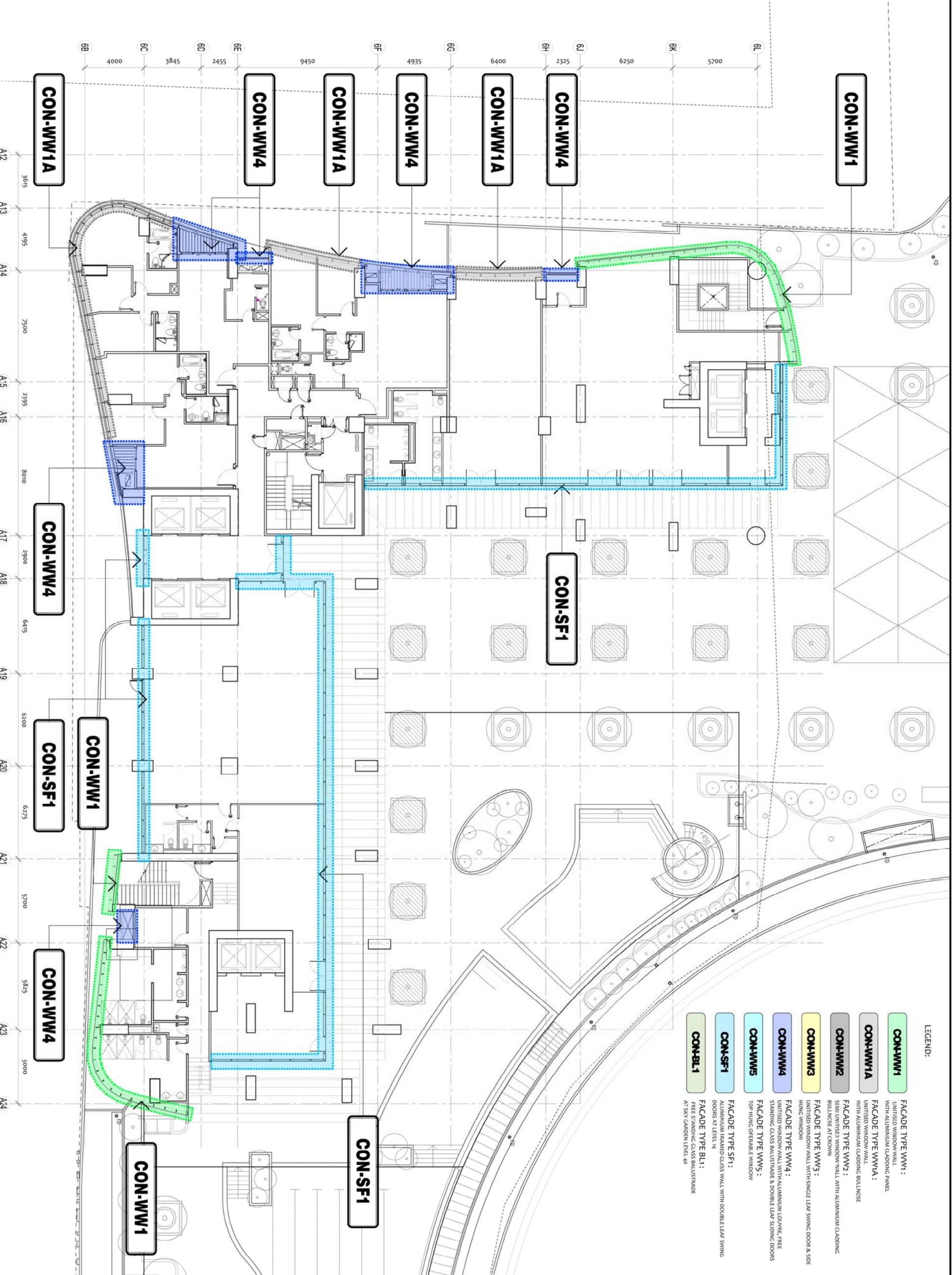
LEGEND:

©RIGHT OF THIS DOCUMENT, MAY NOT BE REPRODUCED, TRANSMITTED OR RECORDED IN ANY FORM OR OTHERWISE WITHOUT THE PRIOR WRITTEN PERMISSION OF THE DEVELOPERS

Notes

PROJECT		
ISSUED	Date	Date
0 FOR TENDER	05/06/15	
Key Plan		
Rev. Description	Date	Check
No. Description	Date	Check

TUNJUNGAN PLAZA 6 MIXED USE DEVELOPMENT		
OWNER:		
PT. PAKUWON JATI Tbk.		
A. KIJAS MANSIAR KAN. NO.9 SURABAYA 0312, INDONESIA		
6 RAFTES BLOK E200 KOTA MAMA SQUARE SINGAPORE 038941		
TEL. 65-4333 9622 FAX 65-4333 9655 F (65-21) 3231 9655		
STRUCTURAL ENGINEER:		
PT. HAERTE WIJAYA CONSULTING ENGINEERS RUKU GRAND AREN, JAKA. JL. BAYU MAMAN NO. 155, JAKARTA PUSAT 10220 PHONE: (62-21) 57947519 FAX: (62-21) 57947520		
MECHANICAL ENGINEER:		
BECA Engineering NL Ltd SOHO HOUSE, 21 FIFTH STREET NEW YORK, NY 10011 TEL: 646 9 330 0000 FAX: 646 9 330 3300		
ELECTRICAL ENGINEER:		
PT. Bratah Karyadina Konsultan Jl. Raya Bintaro Barat 200 RT.00/07 Kota Bintaro, Bintaro Jaya Kota Bintaro, Bintaro Jaya JAKARTA 12830, INDONESIA TEL: 65-21 833 7423 FAX: 65-21 833 6565 WWW.BECA.COM		
LANDSCAPE CONSULTANT:		
PT. ROLL SYSTEM Rider Levett Bucknall A. JRD. SURBANA KAN. 4-46 JL. SURBANA TRIPATI SOLOHE JAKARTA 12930, INDONESIA CONSTRUCTION MANAGEMENT:		
GENIOS LOGO PT. LTD INTERIOR ARCHITECTURE & DESIGN 1A/1, GARDEN CITY, JAKARTA 12930 TEL: 65-4333 3748 FAX: 65-4333 2353		
LIGHTING CONSULTANT:		
PT. LITAC KONSULTAN		
QANTUM SURVEYORS		
RLB Rider Levett Bucknall		
A. JRD. SURBANA KAN. 4-46 JL. SURBANA TRIPATI SOLOHE JAKARTA 12930, INDONESIA CONSTRUCTION MANAGEMENT:		
GENIOS LOGO PT. LTD INTERIOR ARCHITECTURE & DESIGN 1A/1, GARDEN CITY, JAKARTA 12930 TEL: 65-4333 3748 FAX: 65-4333 2353		
INTERIOR DESIGNER:		
G		
DRAWING NUMBER:		
TP6-CON-PL-01		

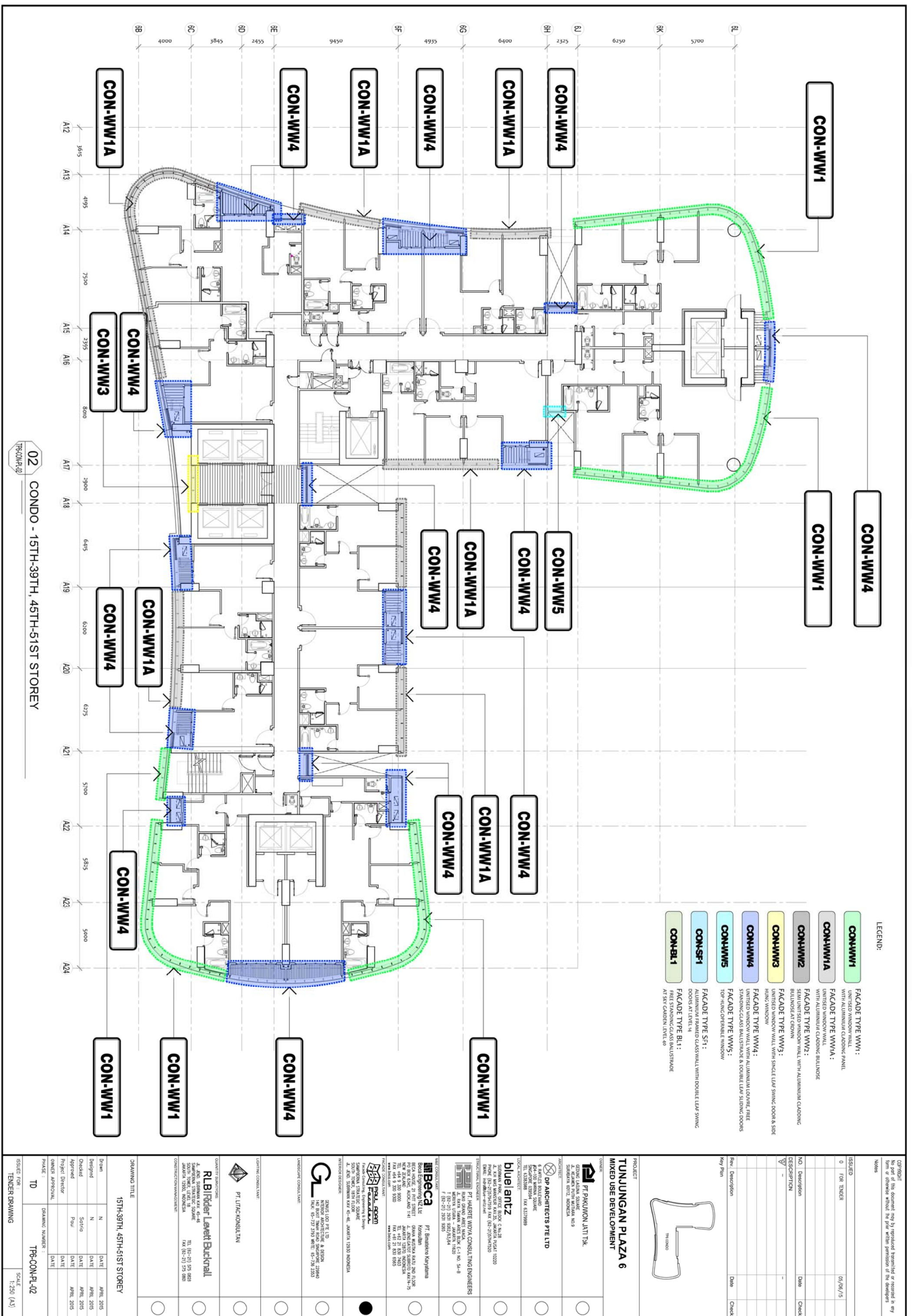


01 14TH STOREY KEY PLAN

DRAWING TITLE

14TH STOREY KEY PLAN

Drawn	N	DATE
Designed	N	APRIL 2015
Checked	Satia	APRIL 2015
Approved	Pau	APRIL 2015
Project Director		
Owner Approval		
PHASE :		
TD		
ISSUED FOR : TENDER DRAWING		SCALE : 1:250 (A3)



CON-WW1**CON-WW1****CON-WW4**

LEGEND:

CONWW1FACADE TYPE WW1:
UNITSIED WINDOW WALL
WITH ALUMINUM CLADDING PANEL**CONWWA**FACADE TYPE WW1A:
UNITSIED WINDOW WALL
WITH ALUMINUM CLADDING**CONWW2**FACADE TYPE SF1:
SEMI UNITSIED WINDOW WALL WITH ALUMINUM LOUVER; FREE
BULLNOSE AT GROWN**CONWW4**FACADE TYPE WW2:
STANDING GLASS BALUSTRADE & DOUBLE LEAF SLIDING DOORS**CONWW3**FACADE TYPE WW3:
UNITSIED WINDOW WALL WITH SINGLE LEAF SWING DOOR & SIDE
HUNG WINDOW**CONSF1**FACADE TYPE WW5:
TOP HUNG OPERABLE WINDOW**CONWW5**FACADE TYPE BL1:
FREE STANDING GLASS BALUSTRADE**CONBL1**

AT SKY GARDEN LEVEL 40

Copyright of this document, may not be reproduced, transmitted or recorded in any form or otherwise without the prior written permission of the developer
Notes

ISSUED
0 FOR TENDER
1 FOR TENDER REV. 1
2/06/15

NO. Description
DESCRIPTION
0 - = =
AS PER COMMENTS ON 22/06/2015 22/06/15

Key Plan
Rev. Description Date Check

Proj. Plan
Date

PROJECT
TUNJUNGAN PLAZA 6
MIXED USE DEVELOPMENT

OWNER:

PT. PAKUWON JANTI Tbk.
GODONG ADIPUTRA SQUARE
JL. KARTINI 1012, SURABAYA 60132, INDONESIA

ARCHITECT:

DP ARCHITECTS PTE LTD
6 RAFFLES PLACE #06-01
RAFFLES PLACE, SINGAPORE 048582
TEL: +65 6338 9394 FAX: +65 3179889

STRUCTURAL ENGINEER:

blueantz
PT. HAERTE WIJAYA CONSULTING ENGINEERS
RUKO GRAND ARENA JAKARTA
JL. KIJANG MANSAR KAV. 35, JAKARTA 10220
PHONE: (62-21) 7947591 FAX: (62-21) 7947520

MECHANICAL ENGINEER:

PT. BRIKANTAH KARYADINA
Konsultan
RECA, Jl. Raya Bintaro Barat 200 RT.10/30B
RECA, Kecamatan Bintaro Jaya, Kabupaten Tangerang
Banten, Indonesia 15314
TEL: 645 9 330 3000
FAX: 645 9 330 3000
TEL: 645 21 830 7423
FAX: 645 21 830 6565
WWW.BRIKANTAH.COM

ELECTRICAL ENGINEER:

PT. LITACK KONSULTAN
Rider Levett Bucknall
Jl. A. Jero, Surabaya 60146
South Tower, Level 18
JAKARTA 12920, INDONESIA
Telp: (62-21) 725 0833
Fax: (62-21) 725 0801

INTERIOR DESIGNER:

GL
DENIS LOGO PT.
INTERIOR ARCHITECTURE & DESIGN
JL. DURI NO. 45-46, JAKARTA 12920 INDONESIA
Telp: +62-21-727 3748 Witel: +62-21-726 2353
WWW.GL-ID.COM

LANDSCAPE CONSULTANT:

PT. BRIKANTAH KARYADINA
Konsultan
RECA, Jl. Raya Bintaro Barat 200 RT.10/30B
RECA, Kecamatan Bintaro Jaya, Kabupaten Tangerang
Banten, Indonesia 15314
TEL: 645 9 330 3000
FAX: 645 21 830 7423
FAX: 645 21 830 6565
WWW.BRIKANTAH.COM

LIGHTING CONSULTANT:

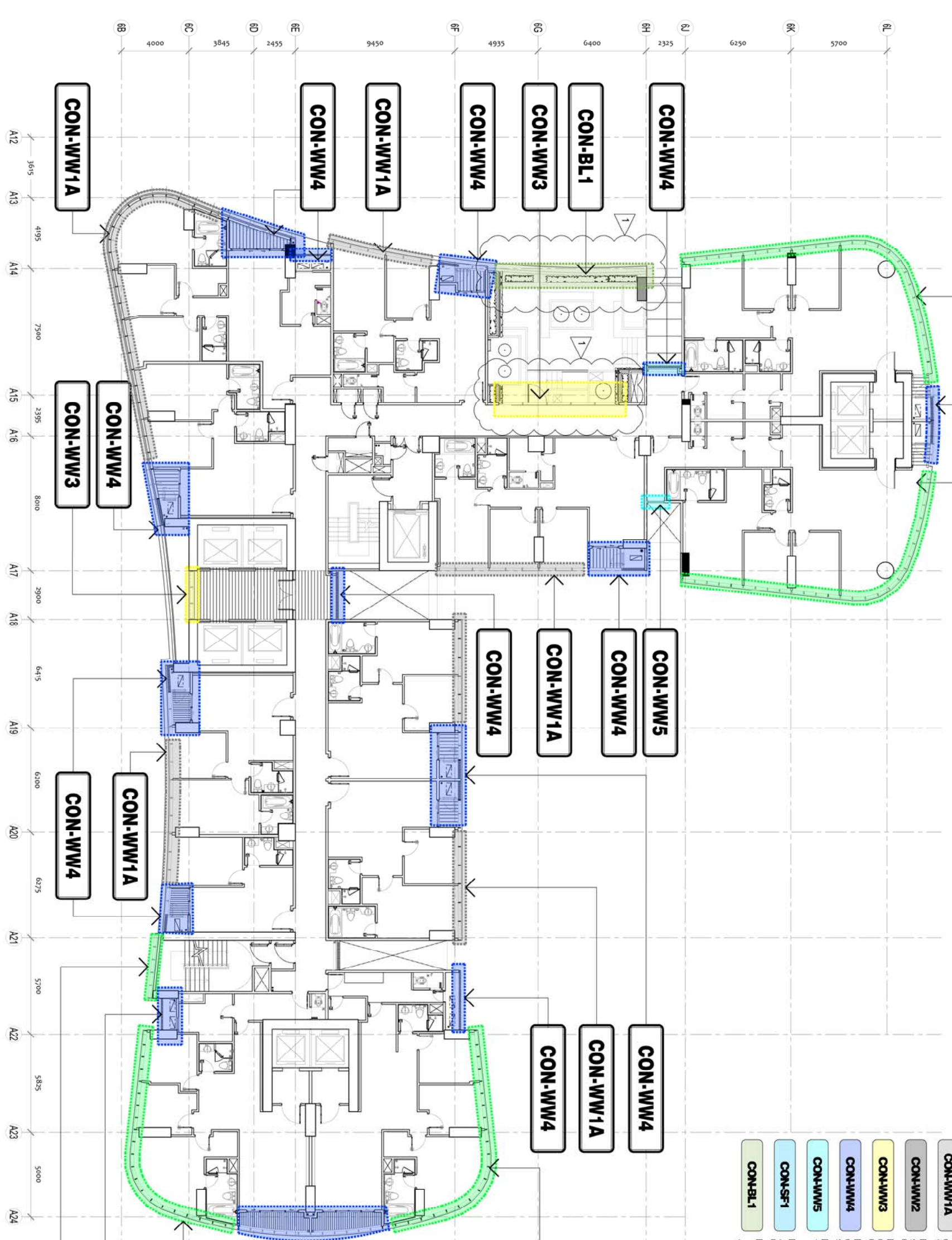
PT. LITACK KONSULTAN
Rider Levett Bucknall
Jl. A. Jero, Surabaya 60146
South Tower, Level 18
JAKARTA 12920, INDONESIA
Telp: (62-21) 725 0833
Fax: (62-21) 725 0801

CONSTRUCTION MANAGEMENT:

RLB | Rider Levett Bucknall
Jl. A. Jero, Surabaya 60146
South Tower, Level 18
JAKARTA 12920, INDONESIA
Telp: (62-21) 725 0833
Fax: (62-21) 725 0801

PHASE : **TD** DRAWING NUMBER : **TP6-CON-PL-03**

ISSUED FOR : **TENDER DRAWING** SCALE : **1:250 (A3)**



03 CONDO - 40TH STOREY

TP6-CON-PL-03

LEGEND:

CON-WW1

FACADE TYPE WW1:
UNITSLED WINDOW WALL
WITH ALUMINUM CLADDING PANEL

CON-WW1A

FACADE TYPE WW1A:
UNITSLED WINDOW WALL
WITH ALUMINUM CLADDING BULLNOSE

CON-SF1

FACADE TYPE WW2:
SEMI UNITSLED WINDOW WALL WITH ALUMINUM CLADDING

CON-WW3

FACADE TYPE WW3:
UNITLED WINDOW WALL WITH SINGLE LEAF SWING DOOR & SIDE HUNG WINDOW AT SKY GARDEN (LEVEL 40th-44th)

CON-BL1

FACADE TYPE BL1:
FREE STANDING GLASS BALUSTRADE & DOUBLE LEAF SLIDING DOORS

CON-BL1

FACADE TYPE WW4:
TOP HINGE OPERABLE WINDOW
At SKY GARDEN LEVEL 40

TUNJUNGAN PLAZA 6
MIXED USE DEVELOPMENT

OWNER:



PT. PAKUWON JATI Tbk.

(TBC)

A. KIJAS MANSAR KAV. 45-46 SURABAYA 0312, INDONESIA

6 RAFTES BLOK E/F

KL-100 MAMA SQUARE

SINGAPORE 03944

TEL. 6533988 FAX. 65379989

ARCHITECT:



DP ARCHITECTS PTE LTD

6 RAFTES BLOK E/F

KL-100 MAMA SQUARE

SINGAPORE 03944

TEL. 6533988 FAX. 65379989

STRUCTURAL ENGINEER:



PT. HAERTE WIYOTO CONSULTING ENGINEERS

JL. RUKO GRAND AREN, NO. 35, JAKARTA PUSAT 10220

PHONE. (62-21) 79475919 FAX. (62-21) 79475200

E-MAIL. info@blueantz.com

WWW.blueantz.com

MATERIAL CONSULTANT:



BECA Engineering NL. Ltd

JL. KEMANG RAYA, 21 PIH STREET

SOHO, KEMANG, JAKARTA SELATAN 12940, INDONESIA

TEL. 654 9 300 3000

FAX. 654 9 300 3000

MECHANICAL CONSULTANT:



PT. BINAAN KARYADINA

Konsultan Sipil dan Strukturnal

JL. KEMANG RAYA, 21 PIH STREET

SOHO, KEMANG, JAKARTA SELATAN 12940, INDONESIA

TEL. 654 9 300 3000

ELECTRICAL CONSULTANT:



PT. LITA CONSULTAN

JL. KEMANG RAYA, 21 PIH STREET

SOHO, KEMANG, JAKARTA SELATAN 12940, INDONESIA

TEL. 654 9 300 3000

FAX. 654 9 300 3000

PLUMBING CONSULTANT:



PT. BINAAN KARYADINA

Konsultan Sipil dan Strukturnal

JL. KEMANG RAYA, 21 PIH STREET

SOHO, KEMANG, JAKARTA SELATAN 12940, INDONESIA

TEL. 654 9 300 3000

STRUCTURAL CONSULTANT:



PT. BINAAN KARYADINA

Konsultan Sipil dan Strukturnal

JL. KEMANG RAYA, 21 PIH STREET

SOHO, KEMANG, JAKARTA SELATAN 12940, INDONESIA

TEL. 654 9 300 3000

INTERIOR DESIGNER:



PT. BINAAN KARYADINA

Konsultan Sipil dan Strukturnal

JL. KEMANG RAYA, 21 PIH STREET

SOHO, KEMANG, JAKARTA SELATAN 12940, INDONESIA

TEL. 654 9 300 3000

LANDSCAPE CONSULTANT:



PT. BINAAN KARYADINA

Konsultan Sipil dan Strukturnal

JL. KEMANG RAYA, 21 PIH STREET

SOHO, KEMANG, JAKARTA SELATAN 12940, INDONESIA

TEL. 654 9 300 3000

LIGHTING CONSULTANT:



PT. BINAAN KARYADINA

Konsultan Sipil dan Strukturnal

JL. KEMANG RAYA, 21 PIH STREET

SOHO, KEMANG, JAKARTA SELATAN 12940, INDONESIA

TEL. 654 9 300 3000

CONSTRUCTION MANAGEMENT:



PT. BINAAN KARYADINA

Konsultan Sipil dan Strukturnal

JL. KEMANG RAYA, 21 PIH STREET

SOHO, KEMANG, JAKARTA SELATAN 12940, INDONESIA

TEL. 654 9 300 3000

PHASE :

TD

DRAWING NUMBER :

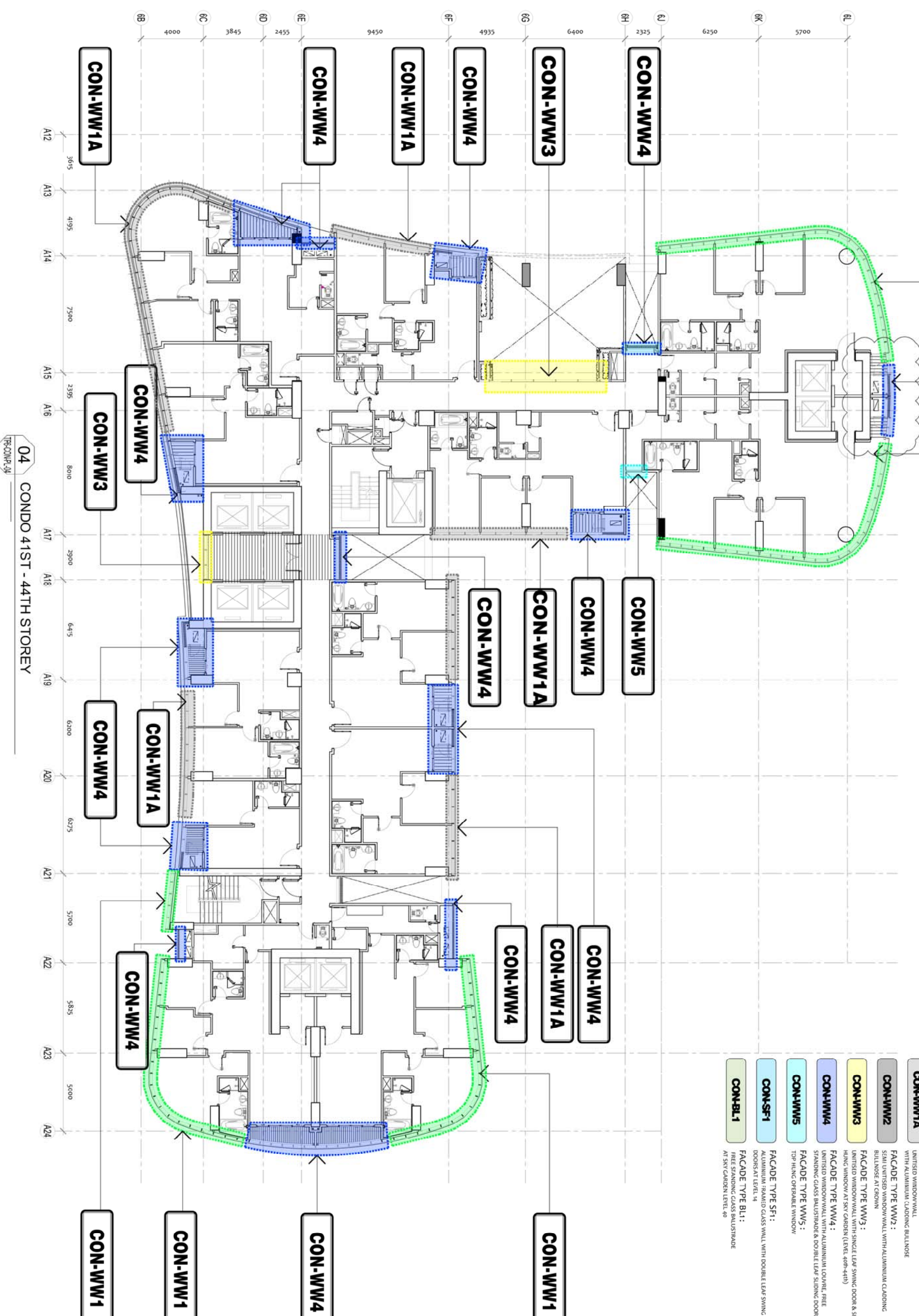
TP6-CON-PL-04

ISSUED FOR :

TENDER DRAWING

SCALE :

1:250 (A3)



LEGEND:

CON-WW1
FAÇADE TYPE WW1:
UNFITTED WINDOW/WALL
WITH ALUMINIUM CLADDING PANEL

CON-WW1A
FAÇADE TYPE WW1A:
UNFITTED WINDOW/WALL
WITH ALUMINIUM CLADDING BULLNOSE

CON-WW2
FAÇADE TYPE WW2:
SEMI UNFITTED WINDOW/WALL WITH ALUMINIUM CLADDING BULLNOSE & GROMMET

CON-WW3
FAÇADE TYPE WW3:
UNFITTED WINDOW/WALL WITH SINGLE LEAF SWING DOOR & SIDE HUNG WINDOW

CON-WW4
FAÇADE TYPE WW4:
UNFITTED WINDOW/WALL WITH ALUMINIUM LOUVER, FREE STANDING GLASS BALUSTRADE & DOUBLE LEAF SLIDING DOORS

CON-SF1
FAÇADE TYPE SF1:
ALUMINIUM FRAMED GLASS WALL WITH DOUBLE LEAF SWING DOORS AT LEVEL 14

CON-BL1
FAÇADE TYPE BL1:
FREE STANDING GLASS BALUSTRADE
TOP HINGE OPERABLE WINDOW
AT SKY GARDEN LEVEL 40

Copyright of this document, may not be reproduced, transmitted or recorded in any form or otherwise without the prior written permission of the developers

Notes

ISSUED	0 FOR TENDER	05/06/15	
0	=	=	
NO.	Description	Date	Check
0	=	=	=

Rev. Description Date Check

Key Plan



TUNJUNGAN PLAZA 6
MIXED USE DEVELOPMENT

OWNER:

-

-

-

-

-

-

-

-

-

-

-

-

-

-

-

-

-

-

-

-

-

-

-

-

-

-

-

-

-

-

-

-

-

-

-

-

-

-

-

-

-

-

-

-

-

-

-

-

-

-

-

-

-

-

-

-

-

-

-

-

-

-

-

-

-

-

-

-

-

-

-

-

-

-

-

-

-

-

-

-

-

-

-

-

-

-

-

-

-

-

-

-

-

-

-

-

-

-

-

-

-

-

-

-

-

-

-

-

-

-

-

-

-

-

-

-

-

-

-

-

-

-

-

-

-

-

-

-

-

-

-

-

-

-

-

-

-

-

-

-

-

-

-

-

-

-

-

-

-

-

-

-

-

-

-

-

-

-

-

-

-

-

-

-

-

-

-

-

-

-

-

-

-

-

-

-

-

-

-

-

-

-

-

-

-

-

-

-

-

-

-

-

-

-

-

-

-

-

-

-

-

-

-

-

-

-

-

-

-

-

-

-

-

-

-

-

LEGEND:

CON-WW2

CON-WW1
FACADE TYPE WW1:
UNITSIZED WINDOW/WALL
WITH ALUMINUM CLADDING PANEL

CON-WW1A
FACADE TYPE WW1A:
UNITSIZED WINDOW/WALL
WITH ALUMINUM CLADDING BULLNOSE

CON-WW2
FACADE TYPE WW2:
SEMI UNITSIZED WINDOW/WALL WITH ALUMINUM CLADDING
BULLNOSE & CROWN

CON-WM3
FACADE TYPE WW3:
UNITSIZED WINDOW/WALL WITH SINGLE LEAF SWING DOOR & SIDE
HUNG WINDOW

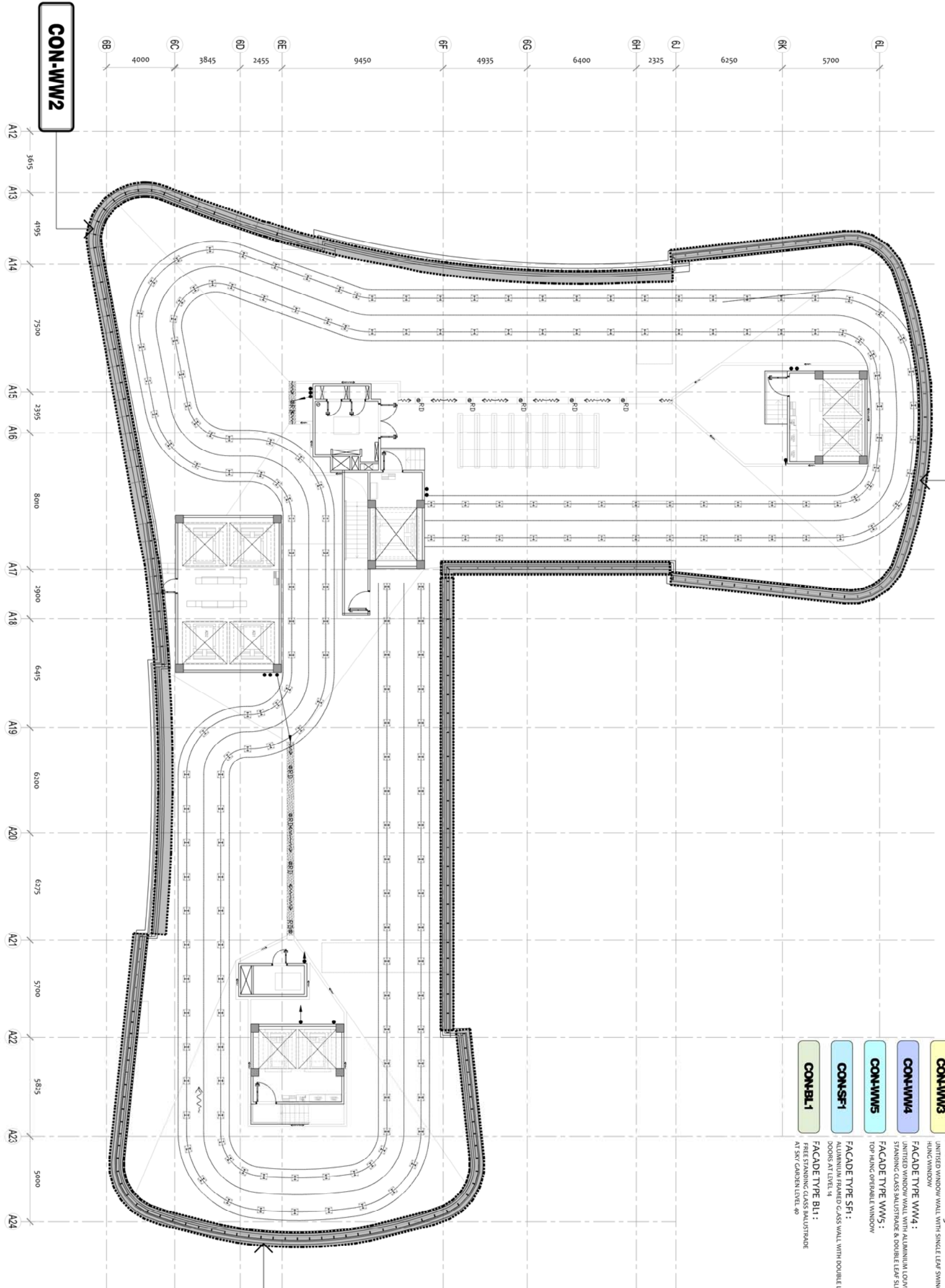
CON-WM4
FACADE TYPE WW4:
UNITSIZED WINDOW/WALL WITH ALUMINUM LOUVE FREE
STANDING CLASS BALUSTRADE & DOUBLE LEAF SLIDING DOORS

CON-SF1
FACADE TYPE SF1:
ALUMINUM FRAMED GLASS WALL WITH DOUBLE LEAF SWING
DOORS AT LEVEL 14

CON-WM5
FACADE TYPE WM5:
TOP HUNG OPERABLE WINDOW
AT SKY GARDEN LEVEL 40

Copyright © 2015 No part of this document may be reproduced, transmitted or recorded in any
form or otherwise without the prior written permission of the developer

Notes



TUNJUNGAN PLAZA 6
MIXED USE DEVELOPMENT

OWNER:



PT. PAKUWON JATI Tbk.

JL. KEGAMIAN PUTIH MULYA NO.9

SURABAYA 60122 INDONESIA

DRAFT: 09/08/2015

REV: 09/08/2015

PAGE: 06/08/2015

SHEET: 06/08/2015

DRAWN BY: 06/08/2015

CHECKED BY: 06/08/2015

APPROVED BY: 06/08/2015

PHASE: 06/08/2015

TD

DESIGNED BY:



DP ARCHITECTS PTE LTD

6 RAFFLES PLACE #06-01

RAFFLES PLACE SINGAPORE 068000

TEL: +65 6333 9898

FAX: +65 6333 9899

E-MAIL: info@dparchitects.com

WEBSITE: www.dparchitects.com

PROJECT:

CONTRACTOR:

STRUCTURAL ENGINEER:

MECHANICAL ENGINEER:

ELECTRICAL ENGINEER:

CODE:

CONTRACTOR:

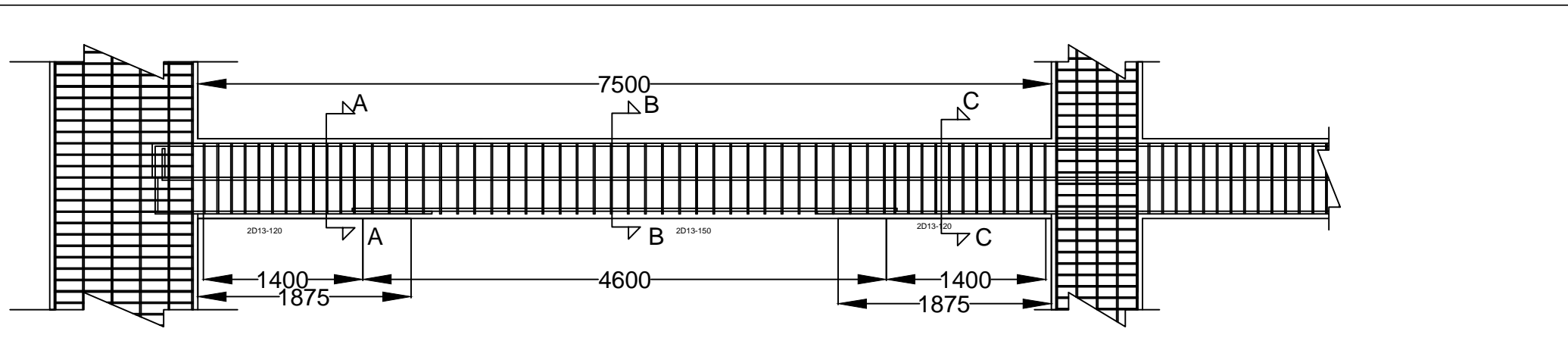
MECHANICAL CONTRACTOR:

ELECTRICAL CONTRACTOR:

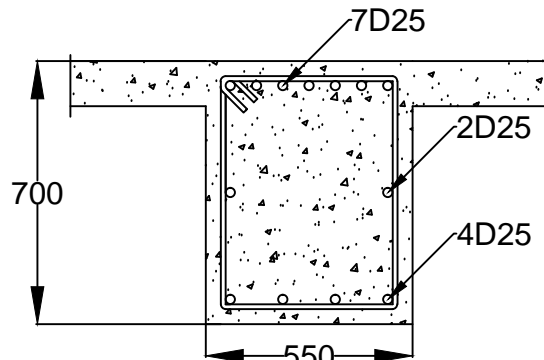
CODE:

CONTRACTOR:

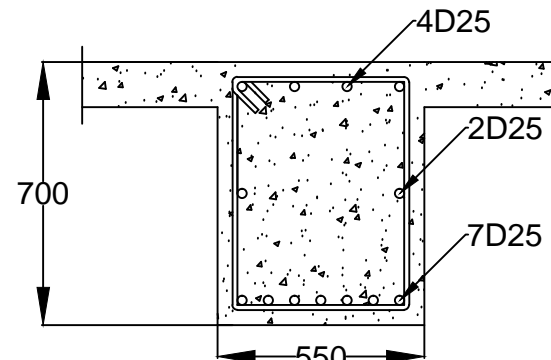
MECHANICAL CONTRACTOR:



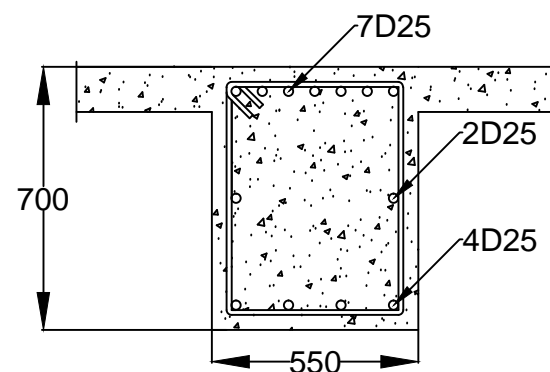
Potongan A - A



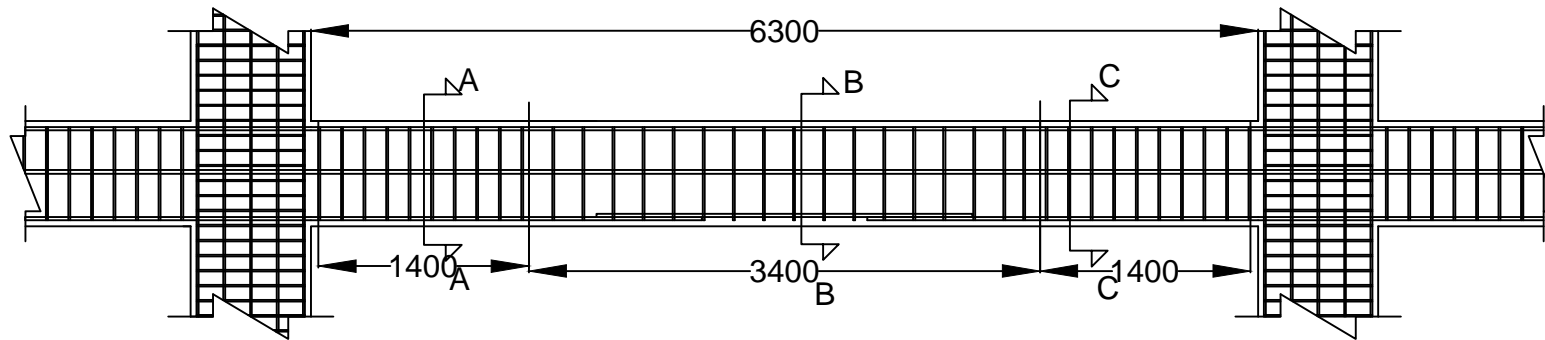
Potongan B - B



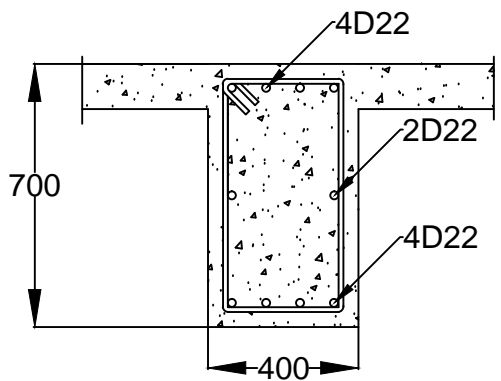
Potongan C - C



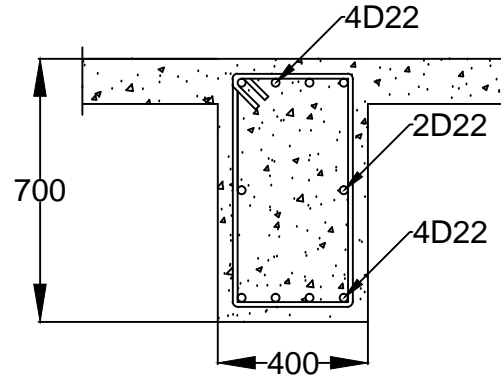
Posisi	Tumpuan	Lapangan	Tumpuan	B63 Lt 15 Balok G5A7
Ukuran Penulangan	$\frac{1}{4}$ ln	$\frac{1}{2}$ ln	$\frac{1}{4}$ ln	
Tulangan	Atas 7 D25	4 D25	7 D25	
	Bawah 4 D25	7 D25	4 D25	
Sengkang	2D13-120	2D13-150	2D13-120	
Decking		40 mm		
Mutu Beton		40 MPa		



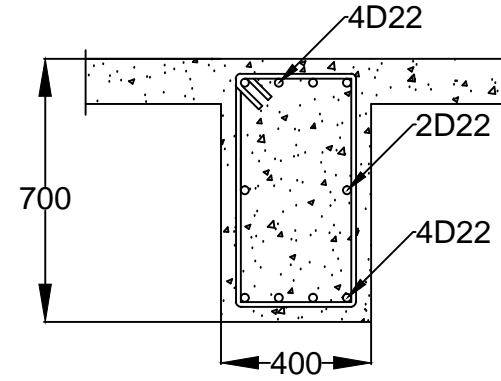
Potongan A - A



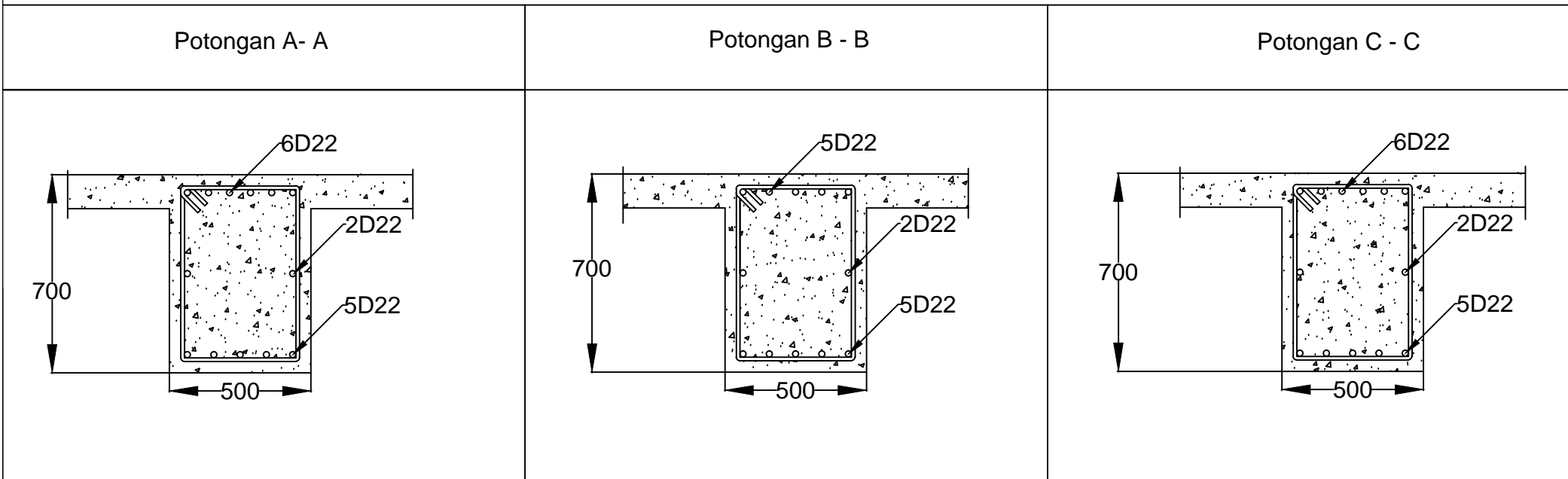
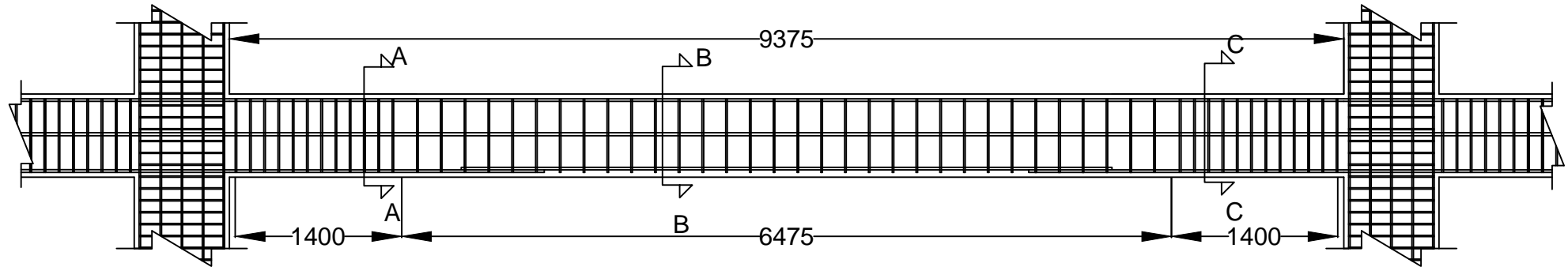
Potongan B - B



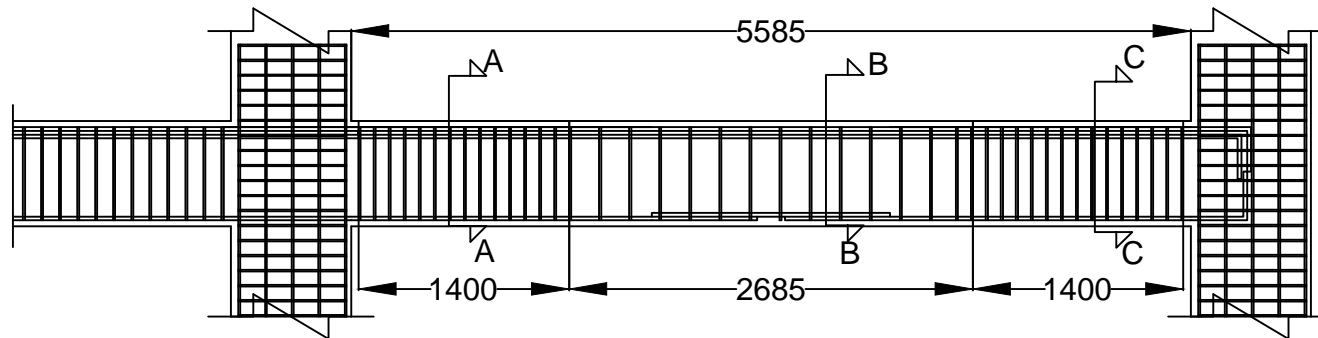
Potongan C - C



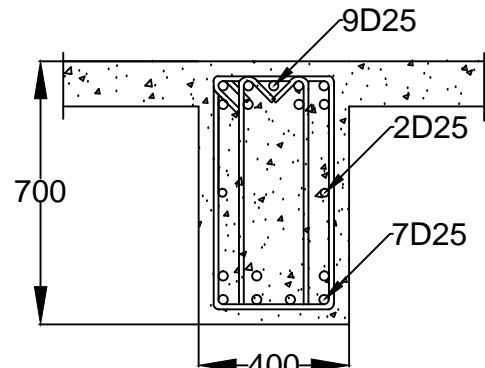
Posisi		Tumpuan	Lapangan	Tumpuan	B22 Lt 15 Balok G47
Ukuran Penulangan		$\frac{1}{4}$ ln	$\frac{1}{2}$ ln	$\frac{1}{4}$ ln	
Tulangan	Atas	4 D22	4 D22	4 D22	
	Bawah	4 D22	4 D22	4 D22	
Sengkang		2D13-150	2D13-200	2D13-150	
Decking		40 mm			
Mutu Beton		40 MPa			



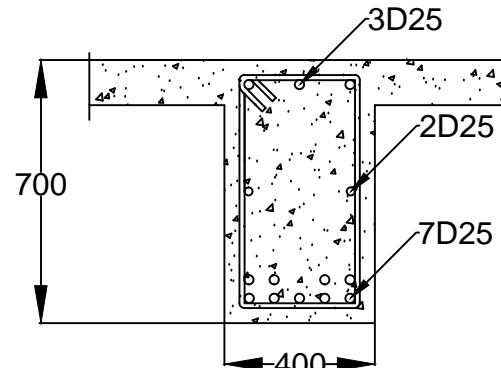
Posisi		Tumpuan	Lapangan	Tumpuan	B112 Lt 15 Balok G57
Ukuran Penulangan		$\frac{1}{4}$ ln	$\frac{1}{2}$ ln	$\frac{1}{4}$ ln	
Tulangan	Atas	6 D22	5 D22	6 D22	
	Bawah	5 D22	5 D22	5 D22	
Sengkang		2D13-120	2D13-200	2D13-120	
Decking		40 mm			
Mutu Beton		40 MPa			



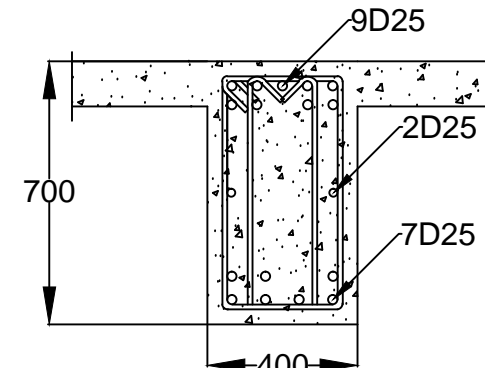
Potongan A- A



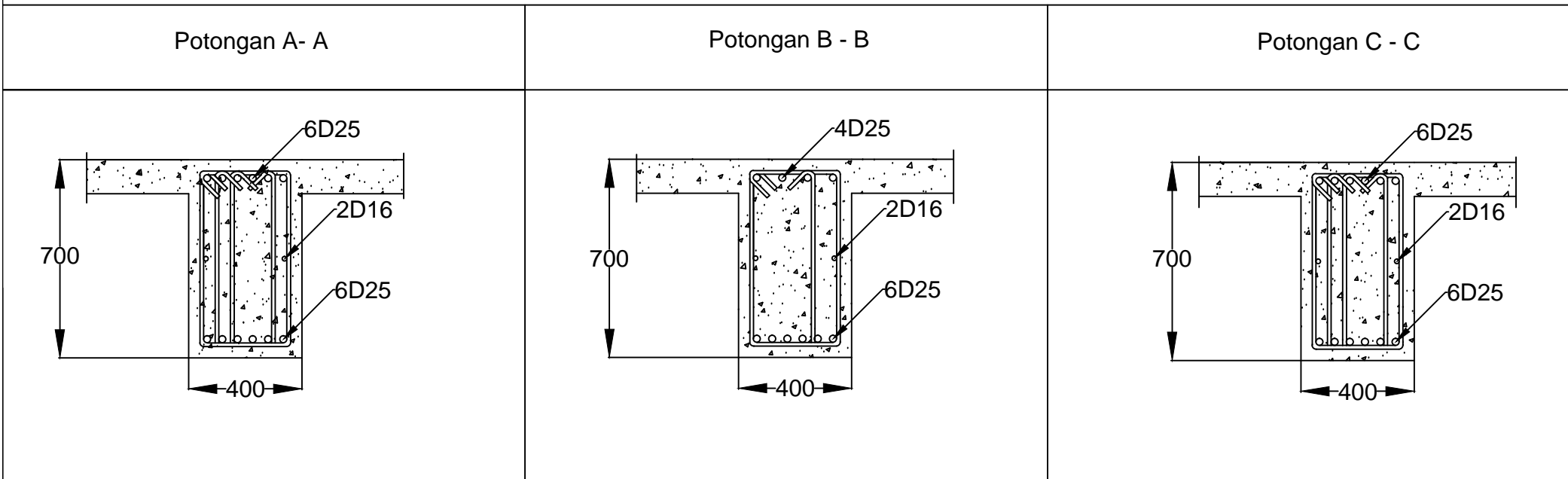
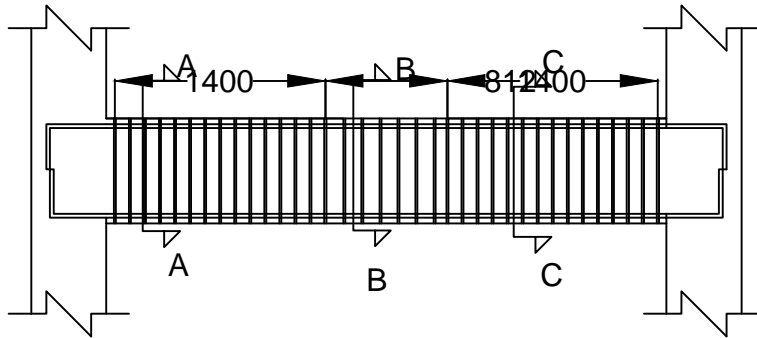
Potongan B - B



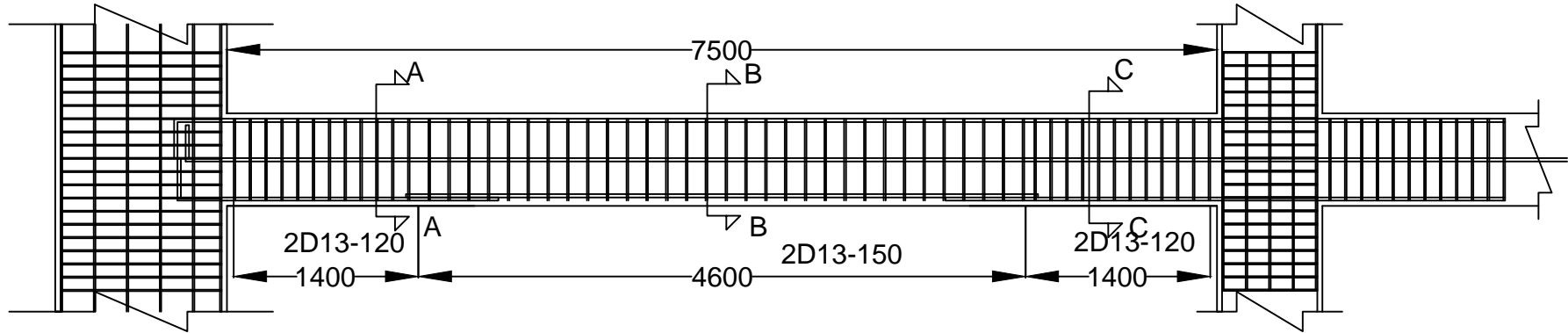
Potongan C - C



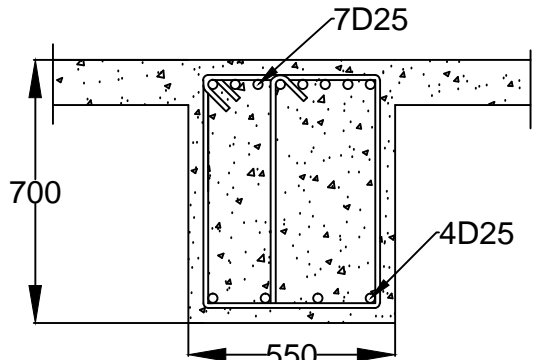
Posisi		Tumpuan	Lapangan	Tumpuan	B79 Lt 15 Balok G47
Ukuran Penulangan		$\frac{1}{4}$ ln	$\frac{1}{2}$ ln	$\frac{1}{4}$ ln	
Tulangan	Atas	9 D25	3 D25	9 D25	
	Bawah	7 D25	7 D25	7 D25	
Sengkang		4D13-100	2D13-150	4D13-100	
Decking		40 mm			
Mutu Beton		40 MPa			



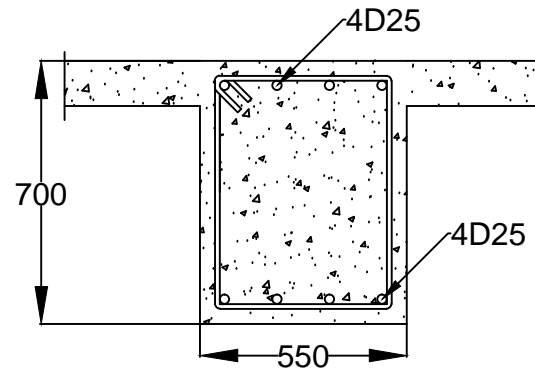
Posisi		Tumpuan	Lapangan	Tumpuan	B82 Lt 15 Balok G47
Ukuran Penulangan		$\frac{1}{4}$ ln	$\frac{1}{2}$ ln	$\frac{1}{4}$ ln	
Tulangan	Atas	6 D25	4 D25	6 D25	
	Bawah	6 D25	6 D25	6 D25	
Sengkang		5D13-100	3D13-120	5D13-100	
Decking		40 mm			
Mutu Beton		40 MPa			



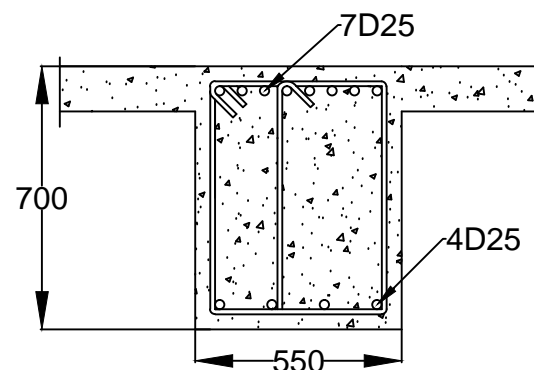
Potongan A - A



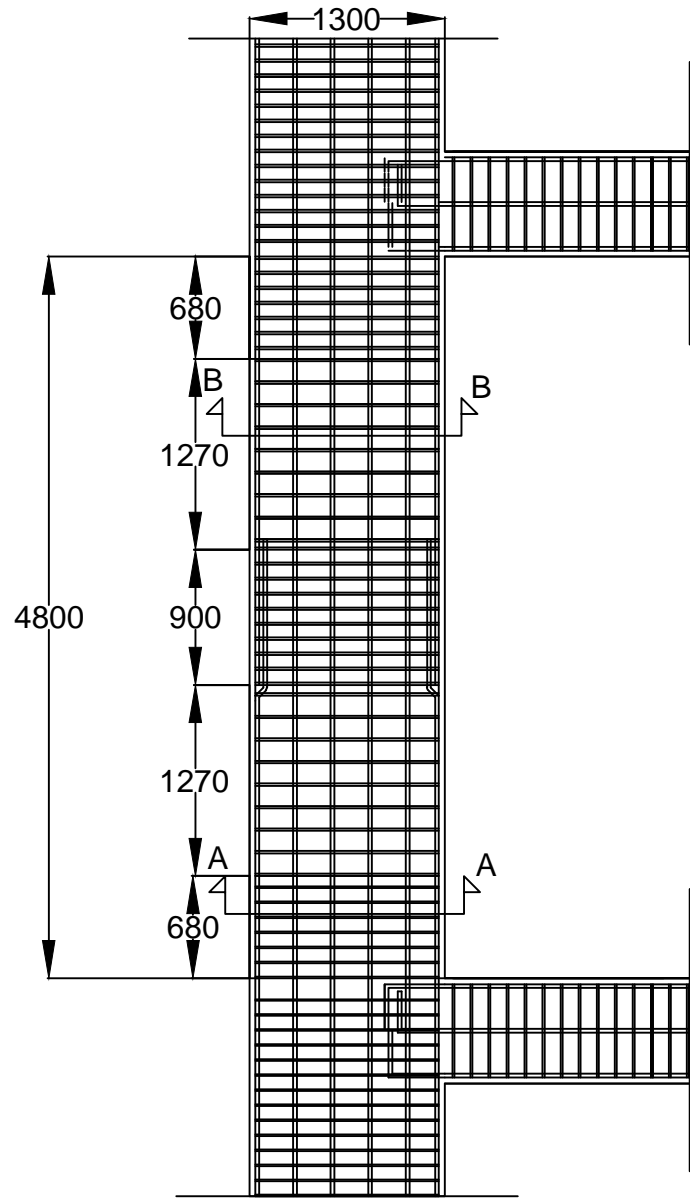
Potongan B - B



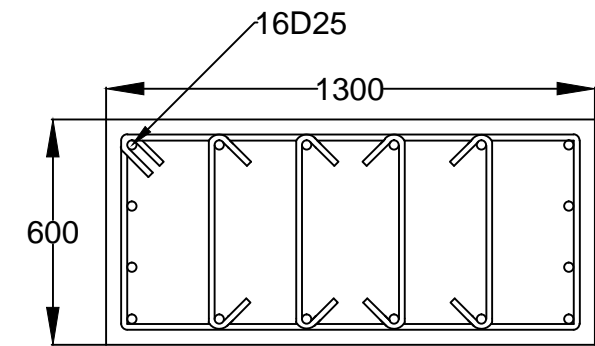
Potongan C - C



Posisi		Tumpuan	Lapangan	Tumpuan	B63 Lt 45 Balok G5A7
Ukuran Penulangan		$\frac{1}{4}$ ln	$\frac{1}{2}$ ln	$\frac{1}{4}$ ln	
Tulangan	Atas	7 D25	4 D25	7 D25	
	Bawah	4 D25	4 D25	4 D25	
Sengkang		3D13-120	2D13-150	3D13-120	
Decking		40 mm			
Mutu Beton		40 MPa			

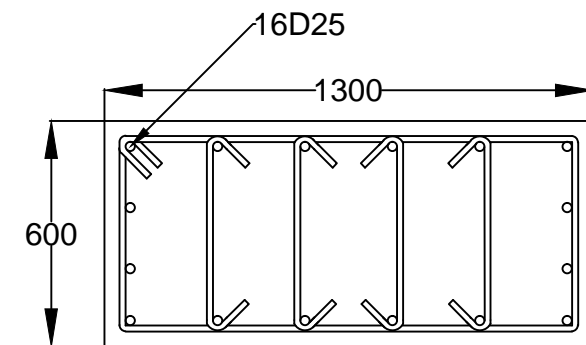


Potongan A- A



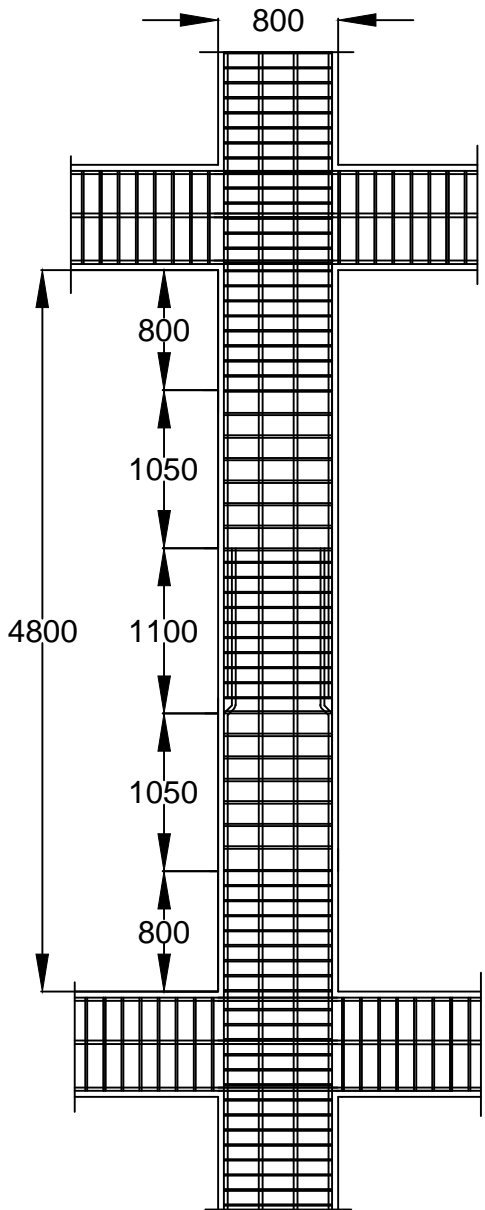
Sengkang : 6D16-150

Potongan B - B



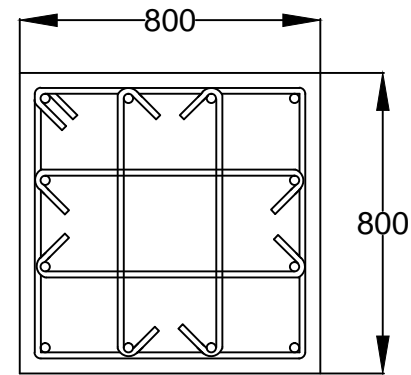
Sengkang : 6D16-100

Kolom C8
Skala 1:50



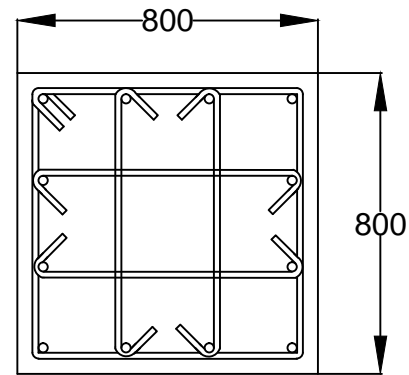
Skala 1:50

Potongan A-A

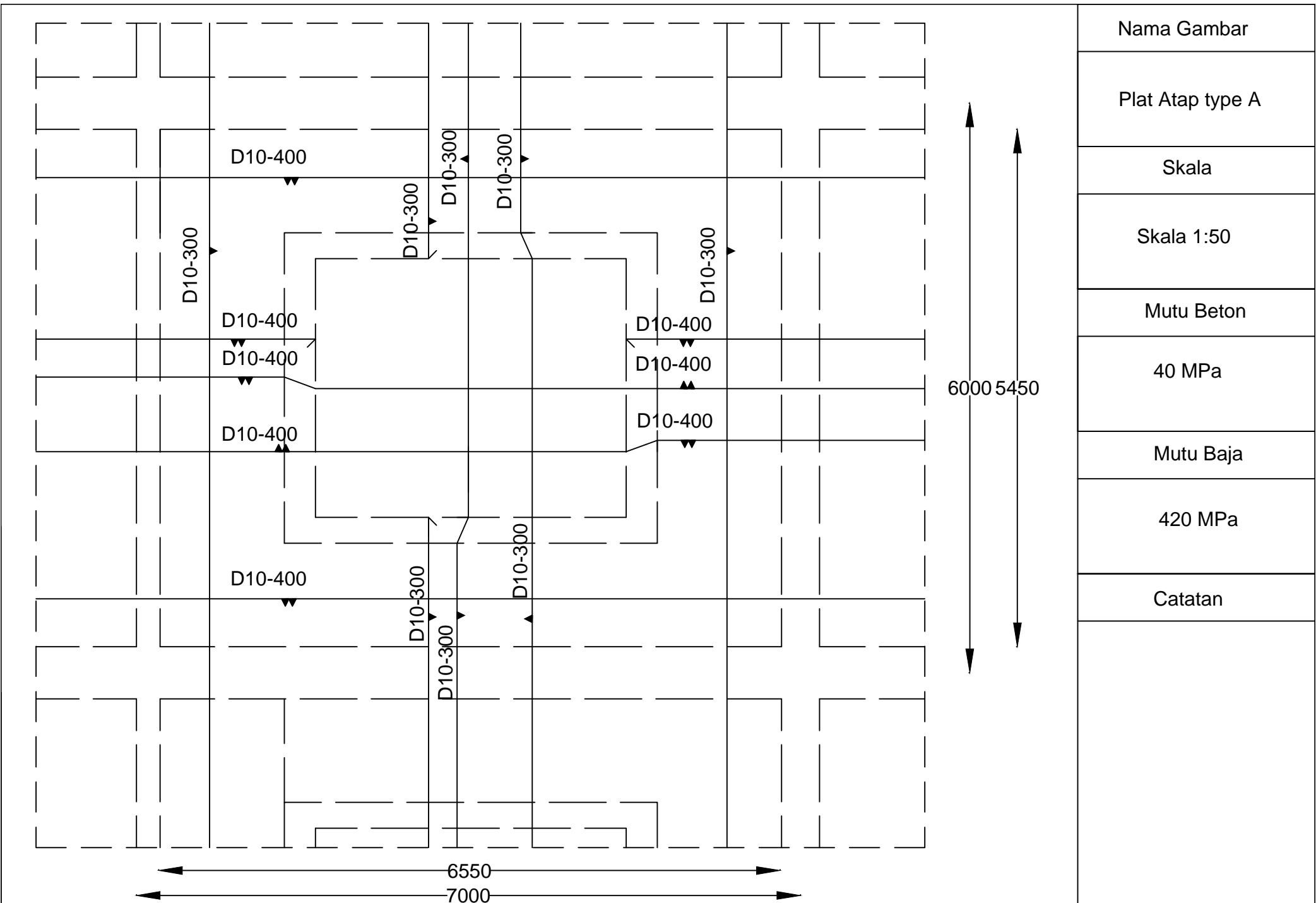


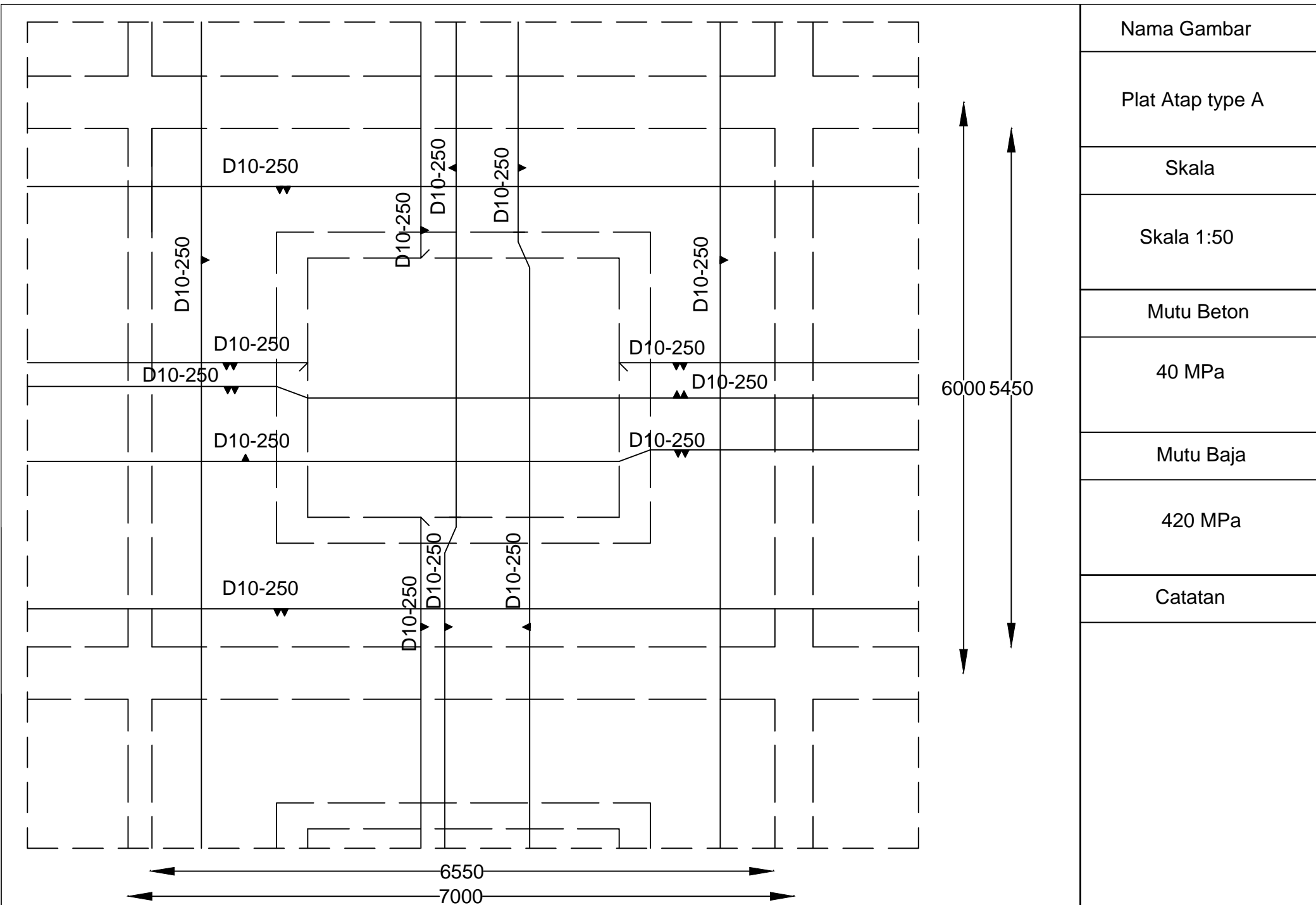
Sengkang : 4D16-150

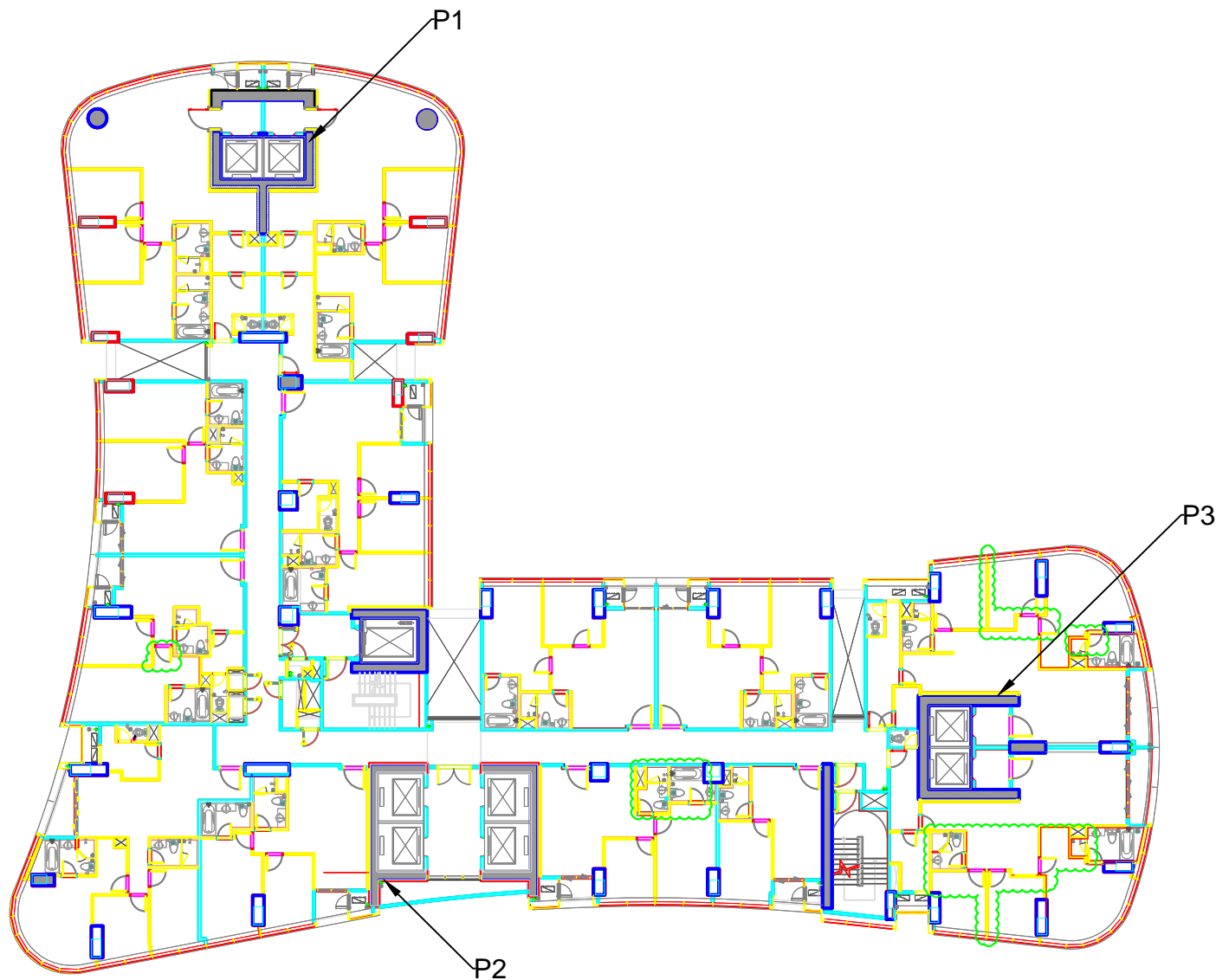
Potongan B-B



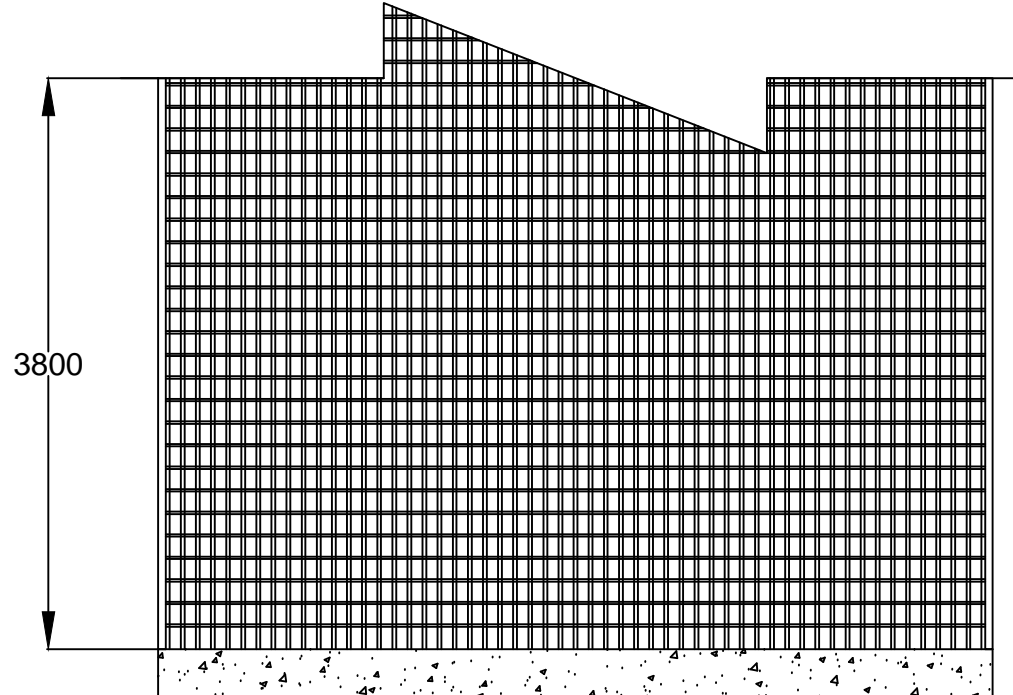
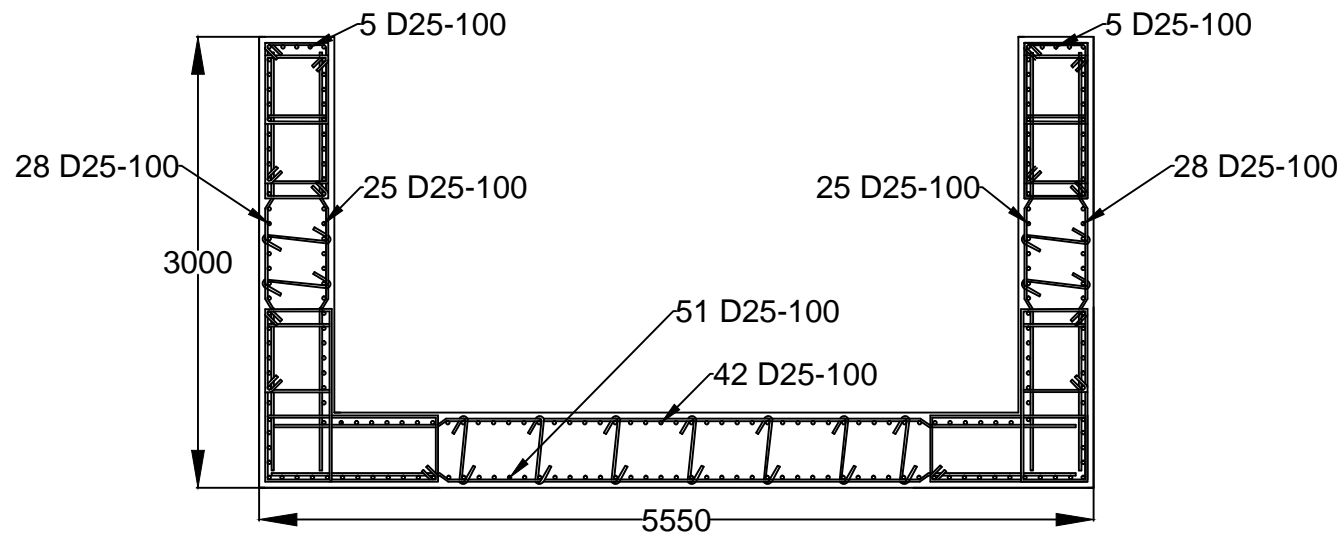
Sengkang : 4D16-100







Nama Gambar	Key Plan Shearwall
Skala	Skala 1:550
Mutu Beton	45,40 MPa
Mutu Baja	420 MPa
Catatan	
Keterangan :	<ul style="list-style-type: none">- P1 : Shearwall Type 1- P2 : Shearwall Type 2- P3 : Shearwall Type 3



Nama Gambar
Shear Wall P1
Skala
Skala 1:50
Mutu Beton
45 MPa
Mutu Baja
420 MPa
Catatan
Keterangan : - Boundary Element Sengkang 6D16-300 - Sengkang D16-150